

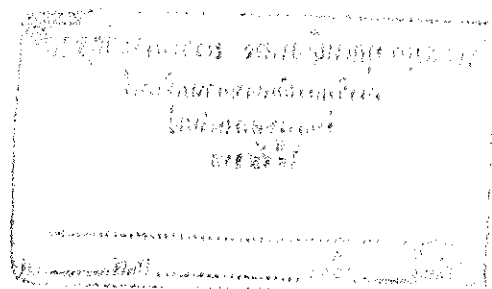


ผลผลิตเบื้องต้นของแพลงก์ตอนพืชในทะเลสาบสงขลาตอนล่าง

Primary Productivity of Phytoplankton in Lower Songkhla Lake

ธีระพล ทองเพชร

Teerapol Thongphet



วิทยานิพนธ์วิทยาศาสตรมหาบัณฑิต สาขาวิชาการจัดการสิ่งแวดล้อม

มหาวิทยาลัยสงขลานครินทร์

Master of Science Thesis in Environmental Management

Prince of Songkla University

2540

1

เลขที่.....	0K933	ผู้แต่ง.....	2540	๑๙๒
Bib Key.....	205059			
..... / /				

(1)

Thesis Title Primary Productivity of Phytoplankton in Lower Songkhla Lake
Author Mr. Teerapol Thongphet
Major Program Environmental Management
Academic Year 1996

Abstract

The objectives of this research undertaken in Lower Songkhla Lake were to investigate on primary productivity of phytoplankton, seasonal variation and the relationship between primary productivity and involving environmental factors during May 1993 - April 1994. The data was obtained from eight stations by the light and dark bottle oxygen method.

The range of gross primary productivity (GPP) at 0.5 metre depth was 59.86 - 3793.4 mgC.m.⁻³.d⁻¹, the highest mean were recorded in June at Station 4, and the lowest mean in December at Station 7. The net primary productivity (NPP) ranged from 0-1981.34 mgC.m.⁻³.d⁻¹, the highest mean were recorded in October at Station 4, and the lowest mean was obtained from the same month and station as the GPP.

At 1.0 metre depth, the GPP ranged from 59.86 - 3378.23 mgC.m.⁻³.d⁻¹, the highest mean were recorded in June at Station 3, and the lowest mean in December at Station 8. The NPP ranged from 0-1011.21 mgC.m.⁻³.d⁻¹, the highest mean and the lowest mean was obtained from the same month and station as the GPP.

The two depth average of NPP and involving environmental factors showed lowly significant and insignificant correlation. The primary productivity of phytoplankton in this research was tended to be high comparing to those reported earlier from other waters and previous studies.

กิตติกรรมประกาศ

วิทยานิพนธ์ฉบับนี้บรรยายความสำเร็จได้ผู้วิจัยขอขอบพระคุณบุคคลต่อไปนี้เป็นอย่างสูง
ผศ.ดร. ปิติวงศ์ ตันติโชค อาจารย์ที่ปรึกษาวิทยานิพนธ์ รศ. พิมพ์วนิช ตันสกุล
และ ผศ.ดร. พรศิลป์ ผลพันธิน อาจารย์ที่ปรึกษาร่วม ผู้ให้คำปรึกษาแนะนำ ช่วยเหลือและ
ตรวจทานแก้ไขข้อมูลพื้นฐานต่างๆด้วยดีตลอดมา

คุณอ่านวย แซ่ร่อง ผู้ทำให้การเก็บข้อมูลตลอดทั้งสิบสองเดือนบรรยายความสำเร็จ
ช่วยเหลือในการเก็บข้อมูลภาคสนาม และเข้ามาฝ่าฟันอุปสรรคต่างๆ

คุณบรรเทา จันทร์พุ่ม นักวิจัยจากหน่วยวิจัยและพัฒนาการเกษตร สงขลา ผู้ให้คำ
ปรึกษาแนะนำด้านการวิเคราะห์ข้อมูลทางสถิติและการนำเสนอ

อาจารย์รำง บุณยประสาท ผู้อำนวยการวิทยาลัยเกษตรกรรมพัทลุง ในฐานะผู้
บังคับบัญชาด้านสังกัดที่ให้การสนับสนุน

คณะกรรมการคุณการสอนวิทยานิพนธ์ทุกท่านที่กรุณาเสนอแนะแก้ไขเพิ่มเติมเพื่อ
ให้มีความถูกต้องและสมบูรณ์มากที่สุด

คณาจารย์และบุคลากรภาควิชาชีววิทยาที่ให้คำแนะนำและอำนวยความสะดวกต่างๆ
ในการปฏิบัติงานในห้องปฏิบัติการ

คุณพ่อคุณแม่ ครอบครัว และบุคคลผู้มีพระคุณทุกท่านที่มิได้เอียนามไว้ ณ ที่นี่ซึ่งให้
การสนับสนุน ช่วยเหลือแบ่งเบาภาระต่างๆ และเป็นกำลังใจให้วิทยานิพนธ์ฉบับนี้สำเร็จลุล่วง
ไปได้ด้วยดี

และขอขอบคุณผู้นิเทศน์ทางวิทยาลัยสงขลานครินทร์ ที่ให้ทุนอุดหนุนการวิจัยครั้งนี้

ธีรพล ทองเพชร

สารบัญ

	หน้า
บทคัดย่อ	(3)
Abstract	(4)
กิตติกรรมประกาศ	(5)
สารบัญ	(6)
รายการตราสาร	(7)
รายการภาพประกอบ	(8)
บทที่	
1 บทนำ	1
บทนำต้นเรื่อง	1
การตรวจเอกสาร	4
วัตถุประสงค์	14
2 วิธีการวิจัย	15
วัสดุอุปกรณ์	15
วิธีดำเนินการวิจัย	16
การวิเคราะห์ข้อมูลทางสถิติ	27
3 ผล	28
4 บทวิจารณ์และสรุป	90
บรรณานุกรม	100
ภาคผนวก	111
ประวัติผู้เขียน	138

รายการตาราง

ตาราง	หน้า
1 บริเวณคุณเก็บตัวอย่าง	17
2 วิธีวิเคราะห์ปัจจัยทางสภาวะแวดล้อมที่เกี่ยวข้องกับผลผลิตเบื้องต้น	25
3 ค่าสัมประสิทธิ์สหสัมพันธ์(correlation coefficient, r) ในแต่ละเดือน ในการวิเคราะห์ความสัมพันธ์ระหว่างผลผลิตเบื้องต้นสูตรชัตต์ต่อวัน เฉลี่ยทั้งสองระดับความลึกกับปริมาณคลอรอฟิลล์ เอ	96
4 ค่าผลผลิตเบื้องต้นจากการศึกษาที่ผ่านมาในบริเวณต่าง ๆ	97

รายการภาพประกอบ

ภาพประกอบ	หน้า
1 แผนที่ที่ตั้งท่าเรือสากลอาชอนอก	2
2 ตำแหน่งที่ตั้งจุดเก็บตัวอย่าง	18
3 จุดเก็บตัวอย่างที่ 1 - 3	19
4 จุดเก็บตัวอย่างที่ 4 - 6	20
5 จุดเก็บตัวอย่างที่ 7 - 8	21
6 การเปลี่ยนแปลงในรอบปีของค่าเฉลี่ยผลผลิตเบื้องต้นรวม (GPP) และสุทธิ (NPP) ต่อวัน ในแต่ละระดับความลึกของแต่ละจุดเก็บตัวอย่างที่ 1 บริเวณปากอ่าว ตรังข้ามวัดแหลมทราย อ. เมือง จ. สงขลา	30
7 ค่าเฉลี่ยผลผลิตเบื้องต้นรวม (GPP) และสุทธิ (NPP) ต่อวัน ในแต่ละระดับความลึกของแต่ละจุดเก็บตัวอย่างในเดือนมิถุนายน	31
8 ค่าเฉลี่ยผลผลิตเบื้องต้นรวม (GPP) และสุทธิ (NPP) ต่อวัน ในแต่ละระดับความลึกของแต่ละจุดเก็บตัวอย่างในเดือนธันวาคม	32
9 การเปลี่ยนแปลงในรอบปีของค่าเฉลี่ยผลผลิตเบื้องต้นรวม (GPP) และสุทธิ (NPP) ต่อวัน ในแต่ละระดับความลึกของแต่ละจุดเก็บตัวอย่างที่ 2 บริเวณบ้านท่าสะอ้าน อ. เมือง จ. สงขลา	33
10 ค่าเฉลี่ยผลผลิตเบื้องต้นรวม (GPP) และสุทธิ (NPP) ต่อวัน ในแต่ละระดับความลึกของแต่ละจุดเก็บตัวอย่างในเดือนตุลาคม	35
11 ค่าเฉลี่ยผลผลิตเบื้องต้นรวม (GPP) และสุทธิ (NPP) ต่อวัน ในแต่ละระดับความลึกของแต่ละจุดเก็บตัวอย่างในเดือนกันยายน	36
12 การเปลี่ยนแปลงในรอบปีของค่าเฉลี่ยผลผลิตเบื้องต้นรวม (GPP) และสุทธิ (NPP) ต่อวัน ในแต่ละระดับความลึกของแต่ละจุดเก็บตัวอย่างที่ 3 บริเวณบ้านสวนใหม่ ต. แกะยะ อ. เมือง จ. สงขลา	37
13 ค่าเฉลี่ยผลผลิตเบื้องต้นรวม (GPP) และสุทธิ (NPP) ต่อวัน ในแต่ละระดับความลึกของแต่ละจุดเก็บตัวอย่างในเดือนพฤษภาคม	39

ภาคประกอบ	หน้า
14 การเปลี่ยนแปลงในรอบปีของค่าเฉลี่ยผลผลิตเบื้องต้นรวม (GPP) และสุทธิ (NPP) ต่อวัน ในแต่ละระดับความลึก ณ จุดเก็บตัวอย่างที่ 4 บริเวณหน้าแหลมโพธิ์ อ. หาดใหญ่ จ. สงขลา	40
15 การเปลี่ยนแปลงในรอบปีของค่าเฉลี่ยผลผลิตเบื้องต้นรวม (GPP) และสุทธิ (NPP) ต่อวัน ในแต่ละระดับความลึก ณ จุดเก็บตัวอย่างที่ 5 บริเวณกลางทะเลสาบสงขลาตอนนอก	42
16 ค่าเฉลี่ยผลผลิตเบื้องต้นรวม (GPP) และสุทธิ (NPP) ต่อวัน ในแต่ละระดับความลึก ของแต่ละจุดเก็บตัวอย่าง ในเดือนมีนาคม	43
17 ค่าเฉลี่ยผลผลิตเบื้องต้นรวม (GPP) และสุทธิ (NPP) ต่อวัน ในแต่ละระดับความลึก ของแต่ละจุดเก็บตัวอย่าง ในเดือนกุมภาพันธ์	44
18 ค่าเฉลี่ยผลผลิตเบื้องต้นรวม (GPP) และสุทธิ (NPP) ต่อวัน ในแต่ละระดับความลึกของแต่ละจุดเก็บตัวอย่าง ในเดือนมกราคม	45
19 การเปลี่ยนแปลงในรอบปีของค่าเฉลี่ยผลผลิตเบื้องต้นรวม (GPP) และสุทธิ (NPP) ต่อวัน ในแต่ละระดับความลึก ณ จุดเก็บตัวอย่างที่ 6 บริเวณบ้านสะทึ้งหม้อ อ. สิงหนคร จ. สงขลา	47
20 ค่าเฉลี่ยผลผลิตเบื้องต้นรวม (GPP) และสุทธิ (NPP) ต่อวัน ในแต่ละระดับความลึกของแต่ละจุดเก็บตัวอย่าง ในเดือนกรกฎาคม	49
21 การเปลี่ยนแปลงในรอบปีของค่าเฉลี่ยผลผลิตเบื้องต้นรวม (GPP) และสุทธิ (NPP) ต่อวัน ในแต่ละระดับความลึก ณ จุดเก็บตัวอย่างที่ 7 บริเวณบ้านปากบาง อ. รัตภูมิ จ. สงขลา	50
22 ค่าเฉลี่ยผลผลิตเบื้องต้นรวม (GPP) และสุทธิ (NPP) ต่อวัน ในแต่ละระดับความลึกของแต่ละจุดเก็บตัวอย่าง ในเดือนสิงหาคม	51
23 การเปลี่ยนแปลงในรอบปีของค่าเฉลี่ยผลผลิตเบื้องต้นรวม (GPP) และสุทธิ (NPP) ต่อวัน ในแต่ละระดับความลึก ณ จุดเก็บตัวอย่างที่ 8 บริเวณปากคลองปากขอ อ. รัตภูมิ จ. สงขลา	53
24 ค่าเฉลี่ยผลผลิตเบื้องต้นรวม (GPP) และสุทธิ (NPP) ต่อวัน ในแต่ละระดับความลึกของแต่ละจุดเก็บตัวอย่าง ในเดือนเมษายน	55

ภาคประกอบ	หน้า
25 ผลผลิตเบื้องต้นรวม (GPP) และสุทธิ (NPP) ต่อวันเฉลี่ยทั้งปี ในแต่ละระดับความลึกของแต่ละจุดเก็บตัวอย่าง	56
26 การเปลี่ยนแปลงในรอบปีของผลผลิตเบื้องต้นรวม (GPP) และสุทธิ (NPP) ต่อวัน ในแต่ละระดับความลึก เฉลี่ยทุกจุดเก็บตัวอย่าง	58
27 อุณหภูมิเฉลี่ยในแต่ละเดือนของจุดเก็บตัวอย่างที่ 1 - 4	60
28 อุณหภูมิเฉลี่ยในแต่ละเดือนของจุดเก็บตัวอย่างที่ 5 - 8	61
29 ความสัมพันธ์ระหว่างผลผลิตเบื้องต้นสุทธิต่อวันเฉลี่ย ทั้งสองระดับความลึกกับอุณหภูมิ	62
30 ความสัมพันธ์ระหว่างผลผลิตเบื้องต้นสุทธิต่อวันเฉลี่ย ทั้งสองระดับความลึกกับความเป็นกรด-เบส	62
31 ความเป็นกรด-เบสเฉลี่ยในแต่ละเดือนของจุดเก็บตัวอย่างที่ 1 - 4	63
32 ความเป็นกรด-เบสเฉลี่ยในแต่ละเดือนของจุดเก็บตัวอย่างที่ 5 - 8	64
33 ความเค็มเฉลี่ยในแต่ละเดือนของจุดเก็บตัวอย่างที่ 1 - 4	66
34 ความเค็มเฉลี่ยในแต่ละเดือนของจุดเก็บตัวอย่างที่ 5 - 8	67
35 ความสัมพันธ์ระหว่างผลผลิตเบื้องต้นสุทธิต่อวันเฉลี่ย ทั้งสองระดับความลึกกับความเค็ม	68
36 ความสัมพันธ์ระหว่างผลผลิตเบื้องต้นสุทธิต่อวันเฉลี่ย ทั้งสองระดับความลึกกับความลึก	68
37 ความลึกเฉลี่ยในแต่ละเดือนของจุดเก็บตัวอย่างที่ 1 - 4	69
38 ความลึกเฉลี่ยในแต่ละเดือนของจุดเก็บตัวอย่างที่ 5 - 8	70
39 ปริมาณของแข็งแขวนลอยเฉลี่ยในแต่ละเดือนของจุดเก็บตัวอย่างที่ 1 - 4	72
40 ปริมาณของแข็งแขวนลอยเฉลี่ยในแต่ละเดือนของจุดเก็บตัวอย่างที่ 5 - 8	73
41 ความสัมพันธ์ระหว่างผลผลิตเบื้องต้นสุทธิต่อวันเฉลี่ย ทั้งสองระดับความลึกกับปริมาณของแข็งแขวนลอย	74
42 ความสัมพันธ์ระหว่างผลผลิตเบื้องต้นสุทธิต่อวันเฉลี่ย ทั้งสองระดับความลึกกับปริมาณในไตรมาส	74

ภาพประกอบ	หน้า
43 ปริมาณในไตรท์เฉลี่ยในแต่ละเดือนของจุดเก็บตัวอย่างที่ 1 - 4	75
44 ปริมาณในไตรท์เฉลี่ยในแต่ละเดือนของจุดเก็บตัวอย่างที่ 5 - 8	76
45 ปริมาณในเดรಥเฉลี่ยในแต่ละเดือนของจุดเก็บตัวอย่างที่ 1 - 4	78
46 ปริมาณในเดรಥเฉลี่ยในแต่ละเดือนของจุดเก็บตัวอย่างที่ 5 - 8	79
47 ความสัมพันธ์ระหว่างผลผลิตเบื้องต้นสุทธิต่อวันเฉลี่ย ทั้งสองระดับความลึกกับปริมาณในเดรಥ	80
48 ความสัมพันธ์ระหว่างผลผลิตเบื้องต้นสุทธิต่อวันเฉลี่ย ทั้งสองระดับความลึกกับปริมาณฟ้อสเฟต	80
49 ปริมาณฟ้อสเฟตเฉลี่ยในแต่ละเดือนของจุดเก็บตัวอย่างที่ 1 - 4	82
50 ปริมาณฟ้อสเฟตเฉลี่ยในแต่ละเดือนของจุดเก็บตัวอย่างที่ 5 - 8	83
51 ปริมาณชิลิกาตเฉลี่ยในแต่ละเดือนของจุดเก็บตัวอย่างที่ 1 - 4	84
52 ปริมาณชิลิกาตเฉลี่ยในแต่ละเดือนของจุดเก็บตัวอย่างที่ 5 - 8	85
53 ความสัมพันธ์ระหว่างผลผลิตเบื้องต้นสุทธิต่อวันเฉลี่ย ทั้งสองระดับความลึกกับปริมาณชิลิกาต	87
54 ความสัมพันธ์ระหว่างผลผลิตเบื้องต้นสุทธิต่อวันเฉลี่ย ทั้งสองระดับความลึกกับปริมาณคลอโรฟิลล์ เย	87
55 ปริมาณคลอโรฟิลล์ เ酵เฉลี่ยในแต่ละเดือนของจุดเก็บตัวอย่างที่ 1 - 4	88
56 ปริมาณคลอโรฟิลล์ เ酵เฉลี่ยในแต่ละเดือนของจุดเก็บตัวอย่างที่ 5 - 8	89

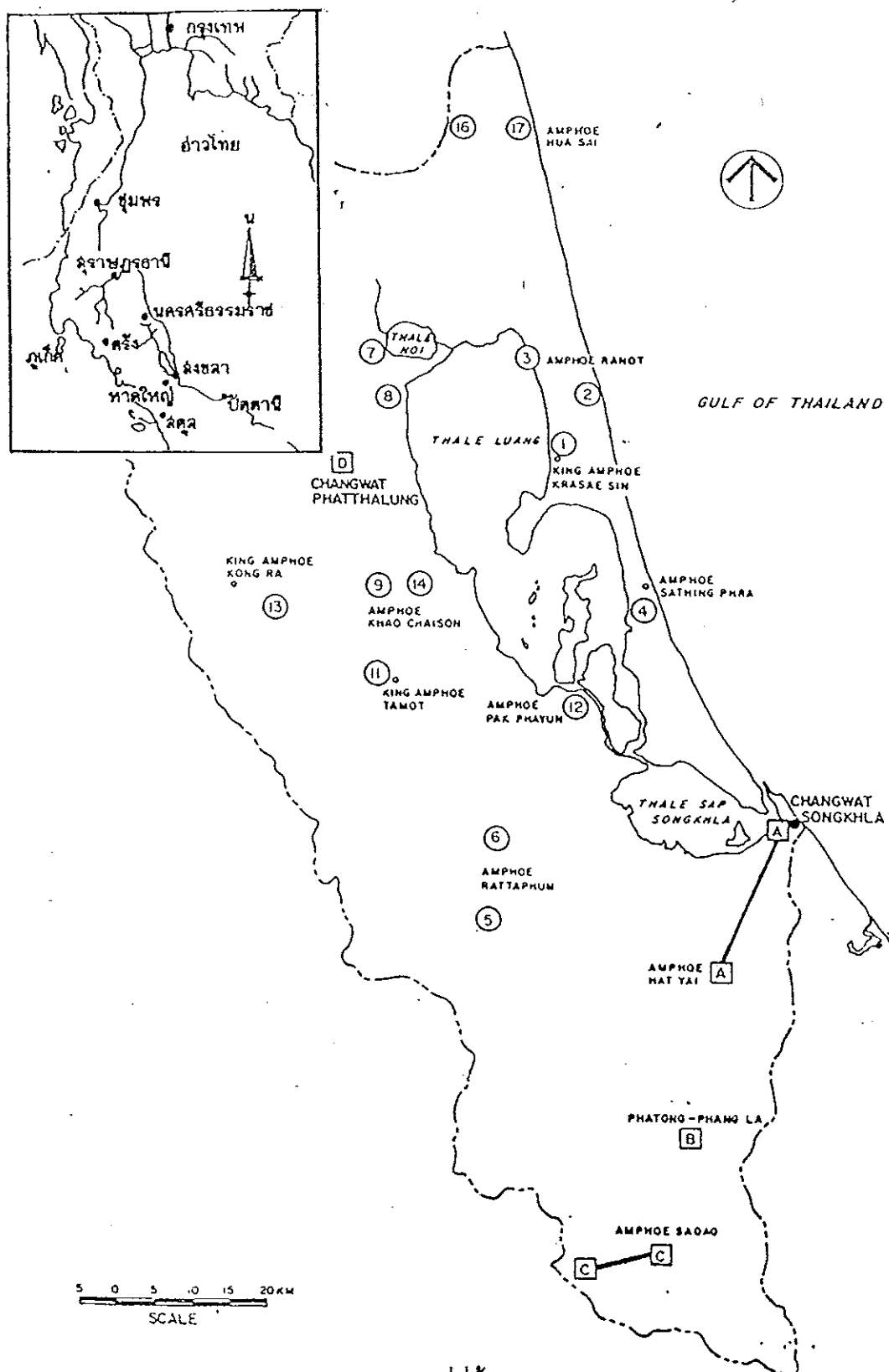
บทที่ 1

บทนำ

บทนำต้นเรื่อง

ทะเลสาบสงขลาตอนนอก หรือ ทะเลสาบสงขลาตอนล่าง (Lower Songkhla Lake) หรือเรียกว่า ทะเลสาบสงขลา (Songkhla Lake) เป็นตอนหนึ่งของทะเลสาบสงขลาที่อยู่ บริเวณล่างสุด มีขนาดพื้นที่ประมาณ 223 ตารางกิโลเมตร ติดต่อกับอ่าวไทยโดยมีทางเปิดออกสู่อ่าวไทย บริเวณตำบลหัวเขากแดง อำเภอเมือง จังหวัดสงขลา ซึ่งเป็นทางปิดแคบๆ (ภาคประกอบ 1) แหล่งน้ำตอนนี้มีลักษณะเป็นน้ำคืบและน้ำกร่อย มีความเขตตั้งแต่ช่วงปากทะเลสาบไปถึงช่องแคบปากขอ อุณหภูมิได้อิทธิพลน้ำเขื่อนน้ำลังของน้ำทะเลในอ่าวไทย (เริงชัย ตันสกุล, 2535 : 40) บริเวณตั้งแต่ตำบลหัวเขากแดงถึงเกาะยอด ความคืบของน้ำอยู่ในช่วง 25-28 ส่วนในพื้นส่วน (ppt) โดยจะมีสภาพเป็นน้ำเค็ดในฤดูฝนแต่จะคงอยู่ได้ไม่นานเนื่องจากอิทธิพลของน้ำเขื่อนน้ำลัง พื้นทะเลสาบมีลักษณะเป็นทรายโคลนเล็กน้อยจนถึงลักษณะโคลนเป็นทราย ในบริเวณที่ถัดจากปากทะเลสาบเข้าไปมีความลึกโดยเฉลี่ย 1.2 เมตร ส่วนบริเวณตั้งแต่เกาะยอดถึงปากทะเลสาบเป็นโคลนเหลวมีความลึกโดยเฉลี่ยประมาณ 1.9 เมตร อุณหภูมิของน้ำในบริเวณทะเลสาบสงขลาตอนนอกนี้ มีค่าอยู่ในช่วง 25 - 33 องศาเซลเซียส มีค่าเฉลี่ย 27.4 องศาเซลเซียส ฝนตกมากมากในฤดูฝน ระหว่างเดือนตุลาคมถึงเดือนมกราคม ปริมาณน้ำฝนสูงสุดพบในเดือนพฤษจิกายนถึงเดือนธันวาคมประมาณ 600 มิลลิเมตรต่อเดือน ระดับน้ำเขื่อนลงบริเวณทะเลสาบสงขลาตอนนอก วัดที่ท่าเที่ยบเรือสงขลาประมาณ 50 เมตรต่อเมตร ความเร็วกระแสน้ำ 0.8 - 1.2 เมตรต่อวินาที โดยค่าเฉลี่ยเหล่านี้จะลดลงตามลำดับในบริเวณอื่นของทะเลสาบสงขลา คือ ทะเลหลวงและทะเลน้อย (ไฟโรจัน ศิริมนตราราภรณ์, 2533 : 386- 453)

ทรัพยากรสำคัญที่สุดของทะเลสาบสงขลาตอนนอก คือ ทรัพยากรสัตว์น้ำ ซึ่งหล่อเลี้ยงชุมชนโดยรอบมาเป็นเวลาหลายริเวณนี้จัดได้วาเป็นแหล่งน้ำที่มีความสำคัญอย่างยิ่งและมีคุณค่าในด้านการผลิตทรัพยากรสัตว์น้ำและการประมงแห่งหนึ่ง โดยเฉพาะอย่างยิ่งเป็นแหล่งอาหารให้และเลี้ยงตัวของสัตว์น้ำวัยอ่อน เช่น บริเวณด้านหลังเกาะยอด (ณรงค์ ณ เรียงใหม่, 2525 : 251)



ภาพประกอบ 1 แผนที่ที่ตั้งทะเลสาบสงขลาตอนนอก

ที่มา : John Taylor and Sons, 1985 : 13-4

และเป็นบริเวณที่มีการทำการประมงอย่างหนาแน่น ซึ่งกลุ่มทรัพยากรสัตว์น้ำที่ชุกชุม
ประกอบด้วย ปลาไส้ตัน ปลากระตัก ปลานุ่ง และหุ้งตะกาด ปริมาณผลผลิตปะรังมีค่า
โดยเฉลี่ย 0.9385 กิโลกรัมต่อตร.กม. ต่อครึ่งชั่วโมง (ไฟโจรน์ สิริมนตรภรณ์ และคณะ, 2528 :
1 - 7) ทั้งยังเป็นบริเวณที่มีการเพาะเลี้ยงสัตว์น้ำชายฝั่งเป็นอันมาก

การเจริญเติบโตของทรัพยากรสัตว์น้ำ เช่น ปู ปลา หุ้ง หอย ฯลฯ ในระบบ
 ในเวศทางจะห่วงโซ่ออาหารนั้นมีความสัมพันธ์กับผลผลิตเบื้องต้นของแพลงก์ตอนพืช
 (primary productivity of phytoplankton) เนื่องจากแพลงก์ตอนพืชเป็นผู้ผลิตเบื้องต้น
 (primary producers) ซึ่งเป็นแหล่งอาหารหรือแหล่งพลังงานขั้นต้นของสัตว์น้ำชนิดต่างๆ
 ในห่วงโซ่ออาหารทั้งทางตรงและทางอ้อม เป็นตัวเริ่มต้นหรือเป็นรากฐานของการถ่ายทอด
 พลังงานในระบบนิเวศของแหล่งน้ำ เป็นตัวขับเคลื่อนความอุดมสมบูรณ์ของแหล่งน้ำ โดย
 แพลงก์ตอนพืชจะผลิตสารอินทรีย์ที่มีพลังงานศักย์สูงหรือผลผลิตเบื้องต้น โดยกระบวนการ
 สำคัญที่สุดในห่วงโซ่ออาหาร คือ การสังเคราะห์แสง ซึ่งแพลงก์ตอนพืชจะดูดกลืน
 พลังงานแสงจากดวงอาทิตย์ และเปลี่ยนให้เป็นพลังงานเคมีสะสมไว้ในรูปของสารอินทรีย์
 ตั้งแต่ล่าง ถ่ายทอดไปในห่วงโซ่ออาหารตามลำดับขั้นของผู้นิริภัย (trophic level)
 ต่อไป

ปัจจุบันบริเวณทะเลสาบสงขลาตอนนอกเป็นแหล่งรองรับน้ำเสียนำทิ้ง ของเสีย
จากชุมชนและโรงงานอุตสาหกรรมของเมืองสงขลา หาดใหญ่ รวมทั้งชุมชนโดยรอบ
บริเวณทะเลสาบที่ขยายตัวอย่างรวดเร็วลดลงจนเกิดการทำลายเกษตร น้ำทิ้งจากนาหุ้ง และ
การเพาะเลี้ยงสัตว์น้ำชายฝั่ง แหล่งน้ำล้วนเป็นสาเหตุให้เกิดการเปลี่ยนแปลงคุณภาพน้ำไป
ในทางที่เลวลง ซึ่งการเปลี่ยนแปลงของคุณภาพน้ำอันเนื่องจากน้ำทิ้งและน้ำเสียต่างๆ ล่าง
ย่อมมีผลกระทบต่อผลผลิตเบื้องต้นของแพลงก์ตอนพืช (Patra, Nayak and Patnaik, 1984 :
153 - 157) และในที่สุดก็จะส่งผลกระทบต่อวงจรชีวิตของทรัพยากรสัตว์น้ำที่เป็นส่วนหนึ่ง
ของห่วงโซ่ออาหารทั้งทางตรงและทางอ้อมเย็นกัน

ดังนั้นการศึกษาการเปลี่ยนแปลงตามฤดูกาลของผลผลิตเบื้องต้นของแพลงก์ตอน
 พืช และความสัมพันธ์ของปัจจัยทางสภาพแวดล้อมที่เกี่ยวข้องกับผลผลิตเบื้องต้นของ
 แพลงก์ตอนพืชในบริเวณทะเลสาบสงขลาตอนนอกจึงมีความสำคัญต่อการนำไปเป็นข้อมูล
 ที่ฐานในการประเมินศักยภาพการผลิตทรัพยากรสัตว์น้ำ และการเพิ่มกำลังการผลิตของ
 แหล่งน้ำ ความอุดมสมบูรณ์ของแหล่งน้ำ เป็นตัวชี้วัดการเปลี่ยนแปลงของผังแนวลักษณะ

ระบบนิเวศแหล่งน้ำที่เกิดจากกระบวนการทำขยะของมนุษย์ เช่น การขยายตัวของชุมชนโดยรอบ การเพิ่มจำนวนของโรงงานอุตสาหกรรม การใช้ทรัพยากรับแบบท่าชายหาดสภาพสมดุลของ ระบบนิเวศ และโครงการพัฒนาต่างๆ ที่มีผลผลกระทบต่อสิ่งแวดล้อมหรือการเปลี่ยนแปลง ตามธรรมชาติ ทั้งยังใช้เป็นข้อมูลสนับสนุนการประเมินผลกระทบสิ่งแวดล้อมการสร้าง คันกันน้ำเค้มทะเลسابแสงอาทิตย์ ภาระงานแผนและจัดการทรัพยากรสัตว์น้ำ และการเพาะ เลี้ยงสัตว์น้ำชายฝั่งในทะเลسابแสงอาทิตย์นอกอีกด้วย

การตรวจเอกสาร

1. คำนิยามศัพท์เฉพาะ

การศึกษาเกี่ยวกับผลผลิตเบื้องต้นของแพลงก์ตอนพืช มีนิยามศัพท์เฉพาะที่ เกี่ยวข้องดังนี้

1.1 standing crop หรือ standing stock

หมายถึง น้ำหนักของสารอินทรีย์ที่สามารถวัดหรือตรวจสอบได้ด้วยวิธีการทั่วไป ณ เวลาใดเวลาหนึ่งในพื้นที่ที่กำหนด ในการศึกษาเกี่ยวกับแพลงก์ตอนมีความหมายเดียวกันกับคำว่า biomass หรือมวลชีวภาพซึ่งหมายถึง น้ำหนักของสิ่งมีชีวิตในพื้นที่หนึ่งหน่วย ณ เวลาใดเวลาหนึ่ง (Wetzel, 1975 : 316 - 317) เนื่องเดียวกับความหมายที่ กรอสส์ (Gross, 1977 : 324) ได้ให้ไว้ว่าหมายถึง น้ำหนักของพืช (หรือสัตว์) ที่วัดได้ในพื้นที่ที่กำหนด ขณะใดขณะหนึ่ง ส่วนเลฟวินตัน (Levinton, 1982 : 165 - 166) ให้นิยามไว้ว่า เป็นการวัด น้ำหนักแห้งของสิ่งมีชีวิตในปริมาตรหนึ่งหน่วย (mg.l^{-1} , g.m^{-3}) หรือในwater column ที่มีพื้นที่ผิวน้ำหนา 1 ตารางเมตร (g.m^{-3}) และ เปี่ยมศักดิ์ เมนะเศต (2524 : 98) ให้ ความหมายผลิตผลในระบบบิเวศ หรือ standing crop ไว้ว่า หมายถึง ปริมาณของสิ่งมีชีวิต ต่อหนึ่งหน่วยพื้นที่หรือหนึ่งหน่วยปริมาตรในขณะใดขณะหนึ่ง

1.2 production

หมายถึงน้ำหนักของสารอินทรีย์ที่สร้างขึ้นใหม่ในช่วงเวลาหนึ่งรวมทั้งบางส่วนที่ สูญเสียไปในช่วงเวลาดังกล่าว หรือหมายถึง การเพิ่มขึ้นของมวลชีวภาพ (biomass) ใน ช่วงเวลาหนึ่งรวมทั้งบางส่วนที่สูญเสียไปโดยการหายใจ การขับถ่าย การตายหรือถูกกิน (Wetzel, 1975 : 317) หรือหมายถึง ปริมาณสารอินทรีย์ทั้งหมดที่ผลิตขึ้นในบริเวณใดบริเวณ

หนึ่ง และช่วงเวลาที่กำหนดซึ่น (Thienemann, 1931 ข้างถึงใน คำพัน เหลือสินทรัพย์, 2524 : 185-199)

1.3 primary production

หมายถึง ปริมาณสารอินทรีย์ที่สร้างขึ้นโดยผู้ผลิตเบื้องต้น (Person, Takahashi and Hargrave, 1984 : 61) หรือเป็นปริมาณสารอินทรีย์ที่สร้างขึ้นโดยการสังเคราะห์แสง หรือ การสังเคราะห์ทางเคมี (chemosynthesis) (Wetzel, 1975 : 316 - 318)

1.4 productivity

หมายถึง ปริมาณของอาหารที่ผลิตหรือสร้างขึ้นในพื้นที่ที่กำหนดต่อช่วงเวลาหนึ่ง โดยผู้ผลิตเบื้องต้นหรือผู้ผลิตทุติยภูมิ (secondary producers) มีค่าเป็นอัตรา (Gross, 1977 : 324) หรือหมายถึง อัตราการผลิตต่อช่วงเวลาหนึ่ง มักเป็นอัตราเฉลี่ยต่อช่วงเวลา เช่น ต่อวันหรือต่อปี (Wetzel, 1975 : 317) สมາลี พิตรากุล (2532 : 10) ให้นิยามอัตราการผลิต (rate of production) ไว้ว่า หมายถึง ผลิตผลหรือผลิตภัณฑ์ใด ๆ ที่ได้รับในระบบนิเวศต่อหน่วยเวลา หรือหมายถึง ปริมาณของพลังงานที่สะสมไว้ต่อหน่วยเวลา ส่วนเปี่ยมศักดิ์ มนະเศວດ (2534 : 98) ให้นิยามไว้ว่า หมายถึง อัตราการเกิดขของผลิตผล ซึ่งคือผลิตผลต่อหนึ่งหน่วยเวลา เช่น ต่อเดือน หรือต่อปี

1.5 primary productivity

หมายถึง ปริมาณเนื้อเยื่อของพืช (living tissue) ที่สร้างขึ้นต่อหน่วยเวลา โดยวัด จากปริมาณคาร์บอนในสารอินทรีย์ ซึ่งแสดงค่าเป็น ปริมาณคาร์บอนที่สร้างขึ้นใน water column ที่มีพื้นผิวน้ำ 1 ตารางเมตรต่อวัน ($\text{mg C.m}^{-2}.\text{d}^{-1}$, $\text{g C.m}^{-2}.\text{d}^{-1}$) หรือปริมาณคาร์บอนที่สร้างขึ้นในน้ำปริมาตร 1 ลูกบาศก์เมตรต่อวัน ($\text{mg C.m}^{-3}.\text{d}^{-1}$, $\text{g C.m}^{-3}.\text{d}^{-1}$) (Levinton, 1982 : 165)

1.6 gross primary productivity, GPP

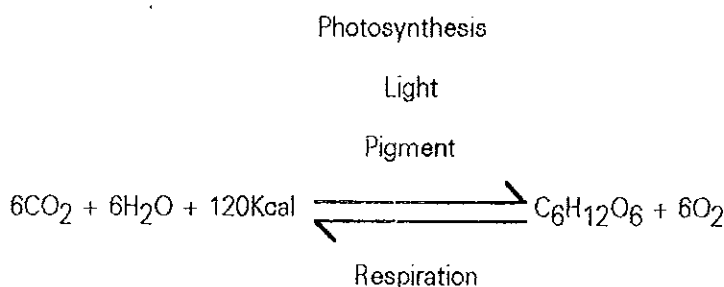
หมายถึง อัตราการสังเคราะห์อินทรีย์carbonในพืชหรือสร้างเนื้อเยื่อของพืช ทั้งหมดจากกระบวนการสังเคราะห์แสงโดยมีได้หักออกด้วยอัตราการหายใจ เป็นอัตราการสังเคราะห์แสงรวม (gross photosynthesis) หรือ อัตราผลผลิตเบื้องต้นรวม (gross primary productivity) (คำพัน เหลือสินทรัพย์, 2528 : 20 ; มูลดี หังษพุกษ, 2532 : 154)

1.7 net primary productivity, NPP

หมายถึง อัตราการสังเคราะห์อินทรีย์ carbon ในพืชหรือสร้างเนื้อเยื่อของพืชจากกระบวนการสังเคราะห์แสงแล้วหักออกตัวโดยอัตราการหายใจของพืชขณะที่ทำการวัด เป็นพัฒนาที่เหลือเก็บจริงในรูปของสารอินทรีย์ โดยหักเอาส่วนที่ใช้ไปในการดำรงชีพออกแล้ว เป็นอัตราการสังเคราะห์แสงสุทธิ (net photosynthesis) หรือ อัตราผลผลิตเบ็ดเตล็ดตันสุทธิ (net primary productivity) วัดหน่วยเป็นน้ำหนักarbon อนต์ปริมาตรหรือต่อพื้นที่ของน้ำ ทะเลในเวลาหนึ่งอาทิตย์ต่อชั่วโมง ต่อวันหรือต่อปีก็ได้ เช่น มิลลิกรัมcarbon อนต์ต่อลูกบาศก์ เมตรต่อชั่วโมง ($\text{mgC.m}^{-3}.\text{hr}^{-1}$), มิลลิกรัมcarbon อนต์ต่อลูกบาศก์เมตรต่อวัน ($\text{mgC.m}^{-3}.\text{d}^{-1}$), มิลลิกรัมcarbon อนต์ต่อตารางเมตรต่อวัน ($\text{mgC.m}^{-2}.\text{d}^{-1}$), มิลลิกรัมcarbon อนต์ต่อตารางเมตรต่อปี ($\text{mgC.m}^{-2}.\text{yr}^{-1}$) ซึ่ง day หมายถึง จำนวนชั่วโมงที่มีแสงอาทิตย์ หรือตลอดเวลากลางวัน คือ จำนวนชั่วโมงที่พืชสามารถทำการสังเคราะห์แสงได้ (มนูดี หั้งสพฤกษ์, 2532 : 154 ; สุมาสี พิตรากุล, 2532 : 10 และ Wetzel, 1975 : 318)

2. วิธีการวัดผลผลิตเบ็ดเตล็ดของแพลงก์ตอนพืช

การวัดค่าผลผลิตเบ็ดเตล็ดตัวของแพลงก์ตอนพืชในแหล่งน้ำให้ถูกต้องเที่ยงตรงจริงๆ กระทำได้ยาก ค่าที่ได้จากการวัดโดยวิธีการต่าง ๆ เป็นเพียงการประเมิน การวัดจะอาศัยหลักทั่วไปจากสมการการสังเคราะห์แสง



ที่นิยมใช้กันทั่วไปมีอยู่ 3 วิธี (มนูดี หั้งสพฤกษ์, 2532 : 154 - 157 ; วุฒิรัชย์ เจنمการ, 2535 : 2-3 ; สุมาสี พิตรากุล, 2532 : 41 ; Gross, 1977 : 325 ; Kennish, 1989 : 261 ; Levinton, 1982 : 213-214 ; Valiela, 1984 : 22-30 ; Wetzel, 1975 : 321) คือ

2.1 light and dark bottle oxygen technique (oxygen method)

ผู้คิดค้นวิธีนี้คือ Gaarder และ Gran ในปี 1927 วิธีนี้นิยมใช้กันมานาน เป็นวิธีการวัดค่าออกซิเจนที่เกิดขึ้นดังสมการข้างบน ซึ่งแพลงก์ตอนพืชจะใช้คาร์บอนไดออกไซด์ในการสังเคราะห์แสงได้carbo-xydoreตและออกซิเจน วิธีนี้เป็นการวัดผลผลิตเบื้องต้นโดยข้อม หรือเป็นการวัดอัตราการหายออกซิเจน เนื่องจากปริมาณออกซิเจนที่หายออกมานะจะเป็นสัดส่วนตรงกับปริมาณอินทรีย์คาร์บอนที่สังเคราะห์มา ใน การวัดจะนำน้ำทะเลตัวอย่างบรรจุในขวดแก้วใสและทึบแสงแข็งไว้ (incubator) ณ ระดับความลึกต่างๆ แสงส่องลงไปถึงในช่วงเวลาหนึ่งเป็นเวลาประมาณ 3-8 ชั่วโมง แล้ววัดปริมาณออกซิเจนละลายน้ำ (dissolved oxygen : DO) ในขวดทั้งสองชนิดเบริร์บเทียบเที่ยวกับปริมาณออกซิเจนละลายน้ำในน้ำตัวอย่างก่อนเริ่มการทดลอง(initial bottle) วิธีที่นิยมใช้ในการวัดปริมาณออกซิเจนละลายน้ำคือ วิธีวิงเคลลอร์ (Winkler method) ปริมาณออกซิเจนที่ผลิตขึ้นมากี่ไบท์ในขวดจะนำไปคำนวนหาค่าผลผลิตเบื้องต้นที่แพลงก์ตอนพืชผลิตขึ้นมากี่ไบท์ ส่วนปริมาณออกซิเจนที่ลดลงในขวดมีดีเป็นการใช้ออกซิเจนในการหายใจ โดยความแตกต่างระหว่างระดับของออกซิเจนในขวดทั้งสองชนิดสามารถประเมินค่าผลผลิตเบื้องต้นรวม (GPP) ส่วนความแตกต่างระหว่างระดับของออกซิเจนในขวดใสกับขวดน้ำตัวอย่างก่อนเริ่มการทดลองในน้ำตัวอย่างก่อนเริ่มการทดลองใช้ประเมินค่าผลผลิตเบื้องต้นสูทธิ (NPP) วิธีการวัดนี้เป็นวิธีที่ให้ความถูกต้องแม่นยำในการคำนวนหาค่าผลผลิตเบื้องต้นได้ดี สำหรับบริเวณที่ทำการศึกษามีค่าผลผลิตเบื้องต้นไม่ต่ำกว่ากิโลกรัมต่อวันต่ำกว่า หรือมีการเปลี่ยนแปลงที่เกิดขึ้นได้ แต่ถ้าหากทำการศึกษาต้องมีความละเอียดลออในการทำงานพอสมควร เนื่องจากความผิดพลาดเกิดขึ้นได้ง่าย

2.2 pigment analysis หรือ chlorophyll analysis

เป็นวิธีการวัดค่าผลผลิตเบื้องต้นด้วยวิธีการคำนวนจากปริมาณคลอโรฟิลล์ในเซลล์ของแพลงก์ตอนพืช จากหลักการดำเนินเซลล์ของแพลงก์ตอนพืชมีคลอโรฟิลล์มากการสังเคราะห์แสงจะเกิดขึ้นมากค่าผลผลิตเบื้องต้นก็จะมากตามไปด้วย การวัดจะทำโดยเก็บตัวอย่างน้ำในบริเวณที่จะทำการศึกษามากของผ่านลงบนกระดาษกรองแล้วนำแพลงก์ตอนพืชที่ติดค้างอยู่บนกระดาษกรองไปวิเคราะห์หาปริมาณคลอโรฟิลล์ จำนวนนี้คำนวนหาค่าผลผลิตเบื้องต้นจากปริมาณคลอโรฟิลล์ที่วิเคราะห์ได้ วิธีนี้จะทำได้รวดเร็ว ง่ายต่อการเก็บตัวอย่างและจะทำได้ทั่วทั้งพื้นที่ศึกษาในเวลาจำกัด แต่ข้อด้อยของวิธีนี้คือคลอโรฟิลล์สลายตัวได้ง่ายเมื่อถูกแสง การเปลี่ยนค่าคลอโรฟิลล์ให้เป็นน้ำหนักcarbonนั้นมีค่าไม่

ค่าไม่แน่นอน เนื่องจาก c: chl-a ratio ที่ใช้เป็น conversion factor มีค่าไม่คงที่ โดยมีค่าแปรในช่วง 50-60 เพราะคดดิจิตอล และ ในแพลงก์ตอนพืชมีการเปลี่ยนแปลงไปตามอัตราการเจริญเติบโต สภาพแวดล้อมต่างๆและฤดูกาล (Eppley, 1972 : 1063-1085 ; Banse, 1977 : 199-212) ทำให้ค่าผลผลิตเบื้องต้นไม่น่าเชื่อถือ

2.3 ^{14}C technique

วิธีนี้คิดคันโดย Steemann Nielsen ในปี 1952 เป็นวิธีที่แพร่หลายมีความถูกต้อง แม่นยำและตรงกว่าวิธีการวัดปริมาณออกซิเจน เป็นการวัดอัตราการใช้คาร์บอนไดออกไซด์ จากน้ำ มีความໄວต่อการหาค่าอินทรียสารเน่าที่จะใช้น้ำที่มีความอุดมสมบูรณ์ต่ำ (oligotrophic water) ซึ่งมีการเปลี่ยนแปลงปริมาณออกซิเจนลดลงน้อยมากเกินกว่าที่จะวัดได้ในช่วงเวลาสั้น ๆ และในน้ำที่มีความอุดมสมบูรณ์สูง (eutrophic water) โดยในตัวอย่างน้ำทะเลจะเติมสารละลายไปคาร์บอนเดตที่มี放射笥ของคาร์บอนเป็นคาร์บอน-14 เช่น ทึ้งไนโตร ระดับความลึกที่ต้องการวัด จากนั้นนำตัวอย่างน้ำไปกรองเอาแพลงก์ตอนพืช โดยผ่านแผ่นกรองเมมเบรน (membrane filter) แล้ววัดปริมาณคาร์บอน-14 ซึ่งเป็นสารกัมมันตรังสีด้วยเครื่อง geiger counter หรือ scintillation counter จากนั้นนำไปคำนวนหาค่าผลผลิตเบื้องต้น

วิธีนี้ให้ค่าผลผลิตเบื้องต้นที่ต่ำกว่าวิธีวัดปริมาณออกซิเจน (Levinton, 1982 : 215) เป็นวิธีที่นิยมใช้และยอมรับกันอย่างกว้างขวางในงานวิจัยศึกษาด้านแพลงก์ตอนพืชทะเล และผลผลิตเบื้องต้นแม้มีข้อจำกัดบ้างบางประการ

3. ปัจจัยทางสภาวะแวดล้อมที่มีอิทธิพลต่อผลผลิตเบื้องต้น

3.1 แสง (light)

แสงเป็นปัจจัยทางสภาวะแวดล้อมที่สำคัญ เพราะในการสังเคราะห์แสงแพลงก์ตอนพืชจะใช้พลังงานแสงอาทิตย์ในปฏิกิริยาทางชีวเคมีที่จะเปลี่ยนคาร์บอนไดออกไซด์และน้ำให้เป็นคาร์บอไฮเดรตและออกซิเจน ถ้าไม่มีแสงปฏิกิริยาจะไม่เกิดขึ้น ความเข้มของแสงมีความสัมพันธ์ไปทางเดียวกันกับอัตราการผลิต แต่ถ้าความเข้มของแสงมากเกินไปจะทำให้อัตราการผลิตลดน้อยลง ความเข้มของแสงที่จะดีที่สุดเรียกว่า optimum light ซึ่งในเขตท้องฟ้ามีค่าถึง 30,000 lux (ฤทธิ์ยุ เจนกาน, 2535 : 7) แต่พบว่า การสังเคราะห์แสงของแพลงก์ตอนพืชจะถูกยับยั้งถ้าแสงแคลมีความเข้มแสงมากกว่า 22,000 lux (Okino

and Lim, 1982 : 256 - 258) ชั้นน้ำที่มีแสงเพียงพอแก่การสังเคราะห์แสงของแพลงก์ตอนพืช เรียกว่า euphotic layer หรือ euphotic zone แพลงก์ตอนพืชสังเคราะห์แสงเมื่อมีแสงส่องผ่านทะเลอย่างเพียงพอโดยปกติไม่เกินความลึก 100 เมตร (Weisberg and Parish, 1974 : 257) และสังเคราะห์แสงได้ดีที่ระดับใด้ผิวน้ำซึ่งมีความเข้มแสงไม่ต่างกว่า 60% ของความเข้มแสงที่ระดับผิวน้ำ (ฤดูชัย เจนกาน, 2535 : 7) กิจกรรมการสังเคราะห์แสงของแพลงก์ตอนพืชจะลดลงตามความเข้มแสง (Watanabe, Kumano and Ikusima, 1982: 259 - 262) หรือตามความลึกที่เพิ่มขึ้น (Kifle and Belay, 1980 : 217 - 227) ความลึกของ euphotic zone จะเปลี่ยนตามกับ standing crop ของแพลงก์ตอนพืช (Fraleigh, et al., 1980 : 492 - 499) โดยทั่วไปผลผลิตเบื้องต้นของแพลงก์ตอนพืชจะลดลงตามระดับความลึกที่เพิ่มขึ้น ถ้าความโปร่งแสงของน้ำ (water transparency) มีค่าต่ำผลผลิตเบื้องต้นของแพลงก์ตอนพืชก็จะมีค่าต่ำตามไปด้วย (Adeniji, 1983 : 33 - 35) ที่ระดับความลึกซึ่งอนุทريยสารในอัตราการผลิตเท่ากับในอัตราการหายใจเรียกว่า compensation depth ซึ่งมีความเข้มแสงประมาณ 1% ของความเข้มแสงที่ระดับผิวน้ำหรือ 100-200 lux

ผลผลิตเบื้องต้นของแพลงก์ตอนพืชจากชั้นอยู่กับ photon flux density (PFD) แล้ว ยังขึ้นอยู่กับการกระจายของแสง ระยะเวลาที่ได้รับแสงและการเปลี่ยนแปลงชั้นลงในช่วงสั้น ๆ ของ PFD (Nicklisch and Koh, 1989 : 451- 455) การส่องผ่านของแสงมีผลกราบทต่อการสังเคราะห์แสงของแพลงก์ตอนพืชมากกว่าปัจจัยด้านอื่น มักพบเสมอว่า ผลผลิตเบื้องต้นของแพลงก์ตอนพืชลดลงจากผิวน้ำจนถึงพื้นน้ำ (Khan, Khan and Haque, 1988 : 858 - 862) และบริเวณที่มีแสงแเดดตีผลผลิตเบื้องต้นมีค่าสูงได้แม้ว่ามีปริมาณสาขาวาหารต่ำก็ตาม (Schmidt, 1982 : 335 - 348)

3.2 สาขาวาหาร (nutrients)

เป็นปัจจัยสำคัญอย่างหนึ่งที่ควบคุมการเปลี่ยนแปลงเพิ่มขึ้นหรือลดลงของผลผลิตเบื้องต้นของแพลงก์ตอนพืช (Kimmel and Groeger, 1983 : 1-22) แพลงก์ตอนพืชต้องได้รับสาขาวาหารในปริมาณที่เพียงพอในการเจริญเติบโตเพิ่มจำนวนประชากร สาขาวาหารที่สำคัญได้แก่ ไนโตรเจน พอสฟอรัส และซิลิคอน (Kennish, 1989 : 262) นอกจากสาขาวาหารดังกล่าวแล้วยังมีสาขาวาหารอื่นๆ ที่จำเป็นต่อการเจริญเติบโตของแพลงก์ตอนพืชแต่ไม่ใช่ปัจจัยจำഗดการเจริญเติบโต แบ่งออกเป็นธาตุหลักได้แก่ แคลเซียม คาร์บอน แมกนีเซียม ออกซิเจน และโปตassium ส่วนธาตุรองและปริมาณน้อย ได้แก่ โคบอลท์

ท่องแตง เหล็ก ไมโลดีนัม วานเดียร์ และ สังกะสี รวมทั้งสารอินทรีย์ เช่น ไบโอดิน ไกอาเรน และวิตามินบี 12 (Kennish, 1989 : 263 ; Levinton, 1982 : 188) ในโทรศูนและฟอสฟอรัส เป็นธาตุที่มีผลกระทบต่อผลผลิตเบื้องต้นของแพลงก์ตอนพืชเป็นอย่างมากเนื่องจากจำเป็นในการดำรงชีพ เป็นปัจจัยที่ก่อให้เกิดและควบคุมผลผลิตเบื้องต้น (Kennish, 1989 : 262-263 ; Robarts, 1984 : 91-105) บริเวณทะเลสาบที่มีน้ำภักขั่นอยและมีปริมาณธาตุอาหารต่างหรือมีการเคลื่อนย้ายสารอาหารลงสู่ทะเลสาบลดลง ผลผลิตเบื้องต้นจะลดลงเช่นกัน (Rybick, 1988 : 21-26 ; Zdoroweski, 1988 : 79 - 95)

ในโทรศูนเป็นธาตุอาหารหลักที่จำกัดผลผลิตเบื้องต้นในน้ำบริเวณแอสริช (estuary) และ มหาสมุทรหรือทะเลเปิด (oceanic) โดยมีรูปอนินทรีย์ในโทรศูนละลายในน้ำได้ 3 รูป คือ ในไตรท (NO₂) แอมโมเนีย (NH₃) และในเทราท (NO₃) ซึ่งในเขตเป็นรูปที่พบได้ในปริมาณมากที่สุด และมักพบบ่อยใน eutrophic coastal waters การเกิดปราการภารณ์น้ำผุด (upwelling) และกระแสตนจะเป็นตัวนำในเขตชั้นสูญบริเวณ euphotic zone (Levinton, 1982 : 188) ส่วนรูปอนินทรีย์สารที่ละลายน้ำได้แก่ ยูเรีย กรดอะมิโน และ peptides ซึ่งแอมโมเนีย และสารประกอบอินทรีย์ในโทรศูน เป็นรูปที่แพลงก์ตอนพืชมักนำไปใช้เพื่อประโยชน์ได้โดยตรงโดยไม่ต้องผ่านการออกซิเดชัน โดยแอมโมเนียที่ละลายในน้ำจะมีผลยับยั้งการดึงคุตในเขตและมีประสิทธิภาพในการนำไปใช้ได้มากกว่าในเขต ในบริเวณที่มีปริมาณความเข้มแสงน้อย (Dugdale and Goering, 1967 : 196 quoted in Levinton, 1982 : 180)

ในไตรท เป็นรูปที่พบได้น้อยที่สุดและมีคุณสมบัติคล้ายคลึงกับในเขตในการดึงคุตไปใช้ของแพลงก์ตอนพืช (Levinton, 1982 : 188) ปริมาณของธาตุในโทรศูนจะเปลี่ยนตามลักษณะของมวลน้ำ ถูกาก และความลึก (Gross, 1977 : 317) ปริมาณในเขตที่มีอยู่มากจะกระตุ้นให้เกิดผลผลิตเบื้องต้น (Henry, et al., 1985 : 561- 573)

ฟอสฟอรัส เป็นปัจจัยจำกัดที่สำคัญต่อผลผลิตเบื้องต้น (Gianessello-Galvao, 1985 : 81-88 ; Robart, 1984 : 91- 105) พบรูปอนินทรีย์ฟอสเฟต อินทรีย์ฟอสเฟตที่ละลายน้ำได้ และparticulate phosphorus โดยที่ออร์โธฟอสเฟต (orthophosphate) เป็นอนินทรีย์ฟอสเฟตที่แพลงก์ตอนพืชนำไปใช้ ซึ่งอนุមูลที่พบมากในน้ำทะเลคือ HPO₄²⁻ (Valiela, 1984 : 312) และมีการแลกเปลี่ยนอย่างรวดเร็วระหว่างแพลงก์ตอนพืชกับน้ำทะเล (Levinton, 1982 : 189) ปริมาณฟอสเฟตในน้ำจะเป็นตัวจำกัด standing crop (Shellito and Decosta, 1981 : 415- 431) และจะเปลี่ยนตามลักษณะของมวลน้ำ ถูกาก และความลึก (Gross, 1977 :

317) ปริมาณฟอสเฟตที่มีจำกัดในน้ำจะมีผลทำให้ปริมาณ คลอโรฟิลล์ เอ และผลผลิตเบื้องต้นลดลง (Millard and Johnson, 1986 : 110-113) การขาดฟอสเฟตจะเป็นอันตรายต่อเซลล์ของแพลงก์ตอนพืช เพราะมีผลต่อปฏิกิริยาของเอนไซม์ และกระบวนการเคมีใน การสังเคราะห์แสง บทบาทของฟอสฟอรัสในระบบเศรษฐกิจแตกต่างจากในต่อเจน เพราะฟอสฟอรัสเกี่ยวข้องกับวงจรพลังงานภายในเซลล์ ในขณะที่การขาดในต่อเจนจะทำให้ ประชากรของแพลงก์ตอนพืชลดลง (Levinton, 1982 : 190) ฟอสฟอรัสที่ละลายน้ำได้จะ จำกัดการเจริญเติบโตของแพลงก์ตอนพืช (Schanz and Kiefer, 1990 : 947) ปริมาณ ฟอสฟอรัสที่เพิ่มขึ้น ในระยะเวลาสั้น ๆ ไม่ทำให้เกิดการเปลี่ยนแปลงอย่างมีนัยสำคัญของ ผลผลิตเบื้องต้นของแพลงก์ตอนพืชมีน้อยครั้งมากที่มีการเปลี่ยนแปลงเพิ่มขึ้น (Khatavkar, Kulkarni and Goel, 1988 : 92 - 98)

การเพิ่มขึ้นของผลผลิตเบื้องต้นนั้น ต้องการทั้งฟอสฟอรัสและไนโตรเจน (Welch, Legault and Kling, 1989 : 90 - 107) เพราะรายงาน แสงสุก (2529 : 57) ได้ศึกษาการเปลี่ยน แปลงตามฤดูกาลของฟอสฟอรัสที่สิ่งมีชีวิตนำไปใช้ได้ในทะเลสาบสงขลา พนวณว่ามีการ เปลี่ยนแปลงปริมาณความถูกคาด แสดงให้เห็นถึงการแลกเปลี่ยนฟอสฟอรัสระหว่างน้ำกับ ตะกอนของทะเลสาบสงขลา และทะเลสาบมีการปรับสมดุล ระหว่างปริมาณฟอสฟอรัส กับอัตราการนำฟอสฟอรัสไปใช้ของแพลงก์ตอนพืชตลอดเวลา

ชีวิค่อน เป็นธาตุที่จำเป็นต่อโครงสร้างของไดอะตوم การขาดชีวิค่อนจะยับยั้ง การแบ่งเซลล์ กิจกรรมเมtabolism ในเซลล์ จำกัดการเกิดผลผลิตเบื้องต้นของ แพลงก์ตอนพืช (Werner, 1977 : 110 ; Kennish, 1989 : 263) และจำกัดการเพิ่มจำนวน ประชากรของแพลงก์ตอนพืช (Smayda, 1970 : 353 - 414) โดยเฉพาะอย่างยิ่งการเจริญ เติบโตของไดอะตอมจะลดลงอย่างเห็นได้ชัด เมื่อความเข้มข้นเฉลี่ยของชีวิค่อนต่ำกว่า 0.2 g.m^{-3} (Schanz and Kiefer, 1990 : 947)

3.3 อุณหภูมิ (temperature)

มีความสำคัญต่อการแพร่กระจายของแพลงก์ตอนพืช (กุลมิชัย เจนกาน, 2535 : 8) โดยแต่ละชนิดสามารถแพร่พันธุ์ได้ในช่วงอุณหภูมินึงเท่านั้น ศิริเพ็ญ ตรัยไชยapha (2520 : บทคัดย่อ) ศึกษาพบว่าอุณหภูมิที่ดีที่สุดสำหรับการเพิ่มปริมาณของแพลงก์ตอนพืช 5 ชนิด คือ 23 องศาเซลเซียส และการเจริญเติบโตจะลดลงเรื่อยๆ เมื่ออุณหภูมิเพิ่มขึ้นจน ถึงที่ 34 องศาเซลเซียส และจะซังกัดการเจริญเติบโตที่ 37 องศาเซลเซียส อุณหภูมิที่

อิทธิพลต่อกระบวนการทางเคมีในน้ำทะเล การหายใจและเมtabolismusของสิ่งมีชีวิต อัตราการลดลงของการสังเคราะห์แสงเปลี่ยนตามช่วงอุณหภูมิที่แตกต่างกัน (Watanabe, Kumano and Ikusima, 1982 : 259-262) และค่า gross primary production มีความสัมพันธ์เกี่ยวข้องกับอุณหภูมิของน้ำอย่างมีนัยสำคัญ (Takamura, Iwakuma and Yasuno, 1987 : S13-S38 ; Berger, 1989 : 233 - 244 ; Vijaykumar, Paul and Kadadevary, 1991 : 38 - 41) น้ำที่มีอุณหภูมิต่ำเป็นปัจจัยจำกัดในการสังเคราะห์แสงของแพลงก์ตอนพืช (Eloranta and Salminen, 1984 : 267- 274) การเปลี่ยนแปลงของอุณหภูมิขึ้นอยู่กับฤดูกาลและสภาพทางภูมิศาสตร์ อุณหภูมิเป็นตัวแปรสำคัญที่มีอิทธิพลต่อการเจริญเติบโตของแพลงก์ตอนพืช การเพิ่มอุณหภูมิของน้ำในเขตหนาวหรือเขตอุ่นจะช่วยเพิ่มอัตราผลผลิต แต่ในเขต้อนจะทำให้แพลงก์ตอนพืชหยุดชะงักการเจริญเติบโต (ฤทธิ์ชัย เจนกาน, 2535 : 8)

3.4 ความเค็ม (salinity)

มีความสำคัญต่อองค์ประกอบชนิดของแพลงก์ตอนพืช และการแพร่กระจายในแนวตั้งความสามารถต่อการเปลี่ยนแปลงของความเค็มได้ในช่วงหนึ่งๆ ซึ่งอยู่กับชนิดของแพลงก์ตอนพืช ค่าความเค็มกับอุณหภูมิมักจะมีความสัมพันธ์กันในทางที่มีอิทธิพลต่อการเจริญเติบโตของแพลงก์ตอนพืช การที่ฝนตกลงมาทำให้ความเค็มลดต่ำลงหรือในฤดูร้อนน้ำบริเวณผิวทะเลไป ทำให้ค่าความเค็มต่ำลง (ฤทธิ์ชัย เจนกาน, 2535: 8) และจากการศึกษาสภาพแวดล้อมที่มีผลต่อการกระจายของแพลงก์ตอนพืชและการสังเคราะห์แสงบริเวณอ่าว Shimoda ประเทศญี่ปุ่น พบร่องรอยความอุดมสมบูรณ์และปริมาณการสังเคราะห์แสงของแพลงก์ตอนพืชจะเกี่ยวข้องน้อยมากกับปริมาณความเค็มที่สูงขึ้นแต่ถ้ามีพั้งความเค็มและสารอาหารมากจะทำให้เกิดการสังเคราะห์แสงได้ดี (Takufi and Eiichimara, 1979 ข้างต้นใน สาгал ฐานะกุล, 2534 : 2)

3.5 คลอโรฟิลล์ (chlorophyll)

คลอโรฟิลล์เป็นองค์ประกอบในการสังเคราะห์แสง (pigments) อย่างหนึ่งมีอยู่ 3 ชนิดคือ คลอโรฟิลล์ เอ, บี และ ซี โดยที่คลอโรฟิลล์ เอ เป็นชนิดที่มีมากที่สุด เป็นเวลาสามมาแล้วที่ใช้ปริมาณคลอโรฟิลล์แทนมวลชีวภาพของแพลงก์ตอนพืช และพบว่า คลอโรฟิลล์ เอ มีความสัมพันธ์กับมวลชีวภาพอย่างมีนัยสำคัญในระดับสูง แต่ระดับนี้สำคัญจะเปลี่ยนตามฤดูกาล การเปลี่ยนแปลงของปริมาณคลอโรฟิลล์ เอ มีความสัมพันธ์อย่างมากกับการเปลี่ยนแปลงจำนวนประชากรของแพลงก์ตอนพืชในกลุ่มต่างๆ (El-Shoarawi and Munawar, 1978 : 443- 455) ปริมาณคลอโรฟิลล์ เอ ของแพลงก์ตอนพืชใช้เป็นตัวบอกค่า

ผลผลิตเบื้องต้นได้และปริมาณคลอโรฟิลล์ เอ ที่สร้างขึ้นจะซึ่งอยู่กับปริมาณของแอมโมเนีย และฟอสเฟตในน้ำ (Vince and Valiela, 1973 : 69-73 ช้างถึงใน ศรีเพ็ญ ตรัยไชยaph, 2520 : 4) การเปลี่ยนแปลงในแนวติงและตามฤดูกาลของคลอโรฟิลล์ เอ กับผลผลิตเบื้องต้น มีลักษณะคล้ายคลึงกัน (Vaquer and El Hafa, 1991 : 203-217) และ Gross primary production มีความสัมพันธ์อย่างมีนัยสำคัญกับปริมาณคลอโรฟิลล์ เอ (Takamura, Iwakuma and Yasuno, 1987 : S13 - S38) เพราพรรณ แสงสุก (2529 : 57) ได้สกัดวงควัตฤทธิ์ในการ สังเคราะห์แสงในทะเลสาบสงขลา ได้แก่คลอโรฟิลล์ และคาโรทีนอยด์ พบว่า วงควัตฤทธิ์ใน การสังเคราะห์แสงส่วนใหญ่เป็นคลอโรฟิลล์ เอ มีปริมาณเฉลี่ย 25.8 mg.m^{-3} รองลงมา คือ คลอโรฟิลล์ ซี มีปริมาณเฉลี่ย 13.56 mg.m^{-3} และ คาโรทีนอยด์ มีปริมาณเฉลี่ย 9.2 mg.m^{-3} ส่วนคลอโรฟิลล์ บี มีปริมาณน้อยที่สุดโดยมี ปริมาณเฉลี่ยเท่ากับ 7.68 mg.m^{-3}

การวัดคลอโรฟิลล์ เอ บางครั้งจะมีปริมาณที่คลาดเคลื่อนไปจากความเป็นจริง บ้าง เนื่องจากมีการสลายไปเป็นฟีโอลิฟิน (phaeophytin) ในขณะที่ทำการสกัดได้อย่าง จ่ายดายทำให้ค่าที่วัดได้ต่างกว่าความเป็นจริง (Lawrenzen, 1967 : 343-346 ช้างถึงใน ศรีเพ็ญ ตรัยไชยaph, 2520 : 4)

การศึกษาผลผลิตเบื้องต้นของแพลงก์ตอนพืชในประเทศไทย นิยมใช้วิธีการวัดค่า 3 วิธีดังที่ได้กล่าวมา ส่วนการศึกษาผลผลิตเบื้องต้นของแพลงก์ตอนพืชบริเวณทะเลสาบ สงขลาตอนนอกนั้น อำเภอ เหลือสินทรัพย์ คตณิชา ไชยาคำ และไฟโรคาน สิริมนตราราภรณ์ (2529 : 6-7) ได้ประเมินกำลังผลิตขั้นต้นในรอบ 15 เดือน ตั้งแต่เดือนมกราคม 2526 - เมษายน 2527 โดยวิธีของ Margalef ซึ่งเป็นวิธี pigment analysis คำนวณค่าผลผลิตเบื้องต้น ของแพลงก์ตอนพืชจากค่าคลอโรฟิลล์ พบร่วมกับค่าผลิตขั้นต้นสูงสุดเกิดขึ้นในเดือนมกราคม 2527 และมีค่าต่างๆ ในช่วงเดือนพฤษภาคมถึงมีนาคม ซึ่งแสดงว่ากำลังผลิตขั้นต้นใน ฤดูมรสุมตะวันตกเฉียงใต้ต่างกว่าฤดูมรสุมตะวันออกเฉียงเหนือ ส่วนเพราพรรณ แสงสุก (2529 : 57) ทำการวัดค่ากำลังผลิตขั้นต้นในทะเลสาบสงขลาด้วยวิธีเดียวกันพบว่ามีค่าสูง มากในเดือนกรกฎาคมและเมษายน และปริมาณวงควัตฤทธิ์ในการสังเคราะห์แสงในเดือน เมษายน มีค่าสูงกว่าเดือนกรกฎาคม

เท่าที่ผ่านมาการศึกษาผลผลิตเบื้องต้นของแพลงก์ตอนพืชในทะเลสาบสงขลา ตอนนอก เป็นการวัดโดยวิธี pigment analysis หรือ chlorophyll analysis ที่วัดค่าคลอโรฟิลล์ ในเซลล์ของแพลงก์ตอนพืชแล้วแปลงให้เป็นค่าผลผลิตเบื้องต้นของแพลงก์ตอนพืชโดยใช้ $c : \text{chl-a ratio}$ ซึ่งในความเป็นจริงแล้วคลอโรฟิลล์เป็นเพียงค่า standing stock ในบริเวณ

นั้น แต่ผลผลิตเบื้องต้นเป็นค่าของอัตราการผลิตต่อหน่วยเวลา จึงทำให้เกิดความคลาดเคลื่อนขึ้นได้ และการหาค่าคลอร์ฟิลล์ที่แท้จริงถูกต้องนั้นจะทำได้ยากเนื่องจากสลายตัวได้ง่ายเมื่อถูกแสง การวัดค่าคลอร์ฟิลล์ให้ถูกต้องเม่นยำต้องอาศัยเครื่องมือที่มีประสิทธิภาพสูงเช่น spectrofluorometer แต่ข้อดีของวิธีนี้คือสามารถทำได้ทั้งพื้นที่ที่ศึกษาภายในเวลาจำกัดและกราฟทำได้รวดเร็ว ส่วนการวัดโดยวิธี light and dark bottle oxygen method และการบอน-14 ในทะเลสาบสังขลาตอนนอกยังไม่ปรากฏ วิธีการทำทั้งสองวิธีนี้เป็นการวัดค่าผลผลิตเบื้องต้นของแพลงก์ตอนพืชที่เป็นอัตราผลผลิตต่อหน่วยเวลา แม้ว่าจะมีข้อด้อยในการกราฟทำให้ทั้งพื้นที่ในเวลาจำกัดก็ตาม ในการวิจัยครั้งนี้ผู้วิจัยได้เลือกใช้วิธี light and dark bottle oxygen method เป็นวิธีการวัดค่าผลผลิตเบื้องต้นของแพลงก์ตอนพืช แม้ว่าวิธีการบอน-14 จะเป็นวิธีที่ได้รับการยอมรับว่าดีที่สุดในการวัดอัตราการผลิตเบื้องต้น ก็ตามแต่ด้วยเหตุผลข้อจำกัดในด้านงบประมาณ และอุปกรณ์เครื่องมือที่จำเป็นในการวิเคราะห์

วัตถุประสงค์

- เพื่อศึกษาหาค่าผลผลิตเบื้องต้นของแพลงก์ตอนพืช และเป็นข้อมูลในการประเมินศักยภาพความอุดมสมบูรณ์ของแหล่งน้ำ
- เพื่อศึกษาการเปลี่ยนแปลงตามฤดูกาลของผลผลิตเบื้องต้นของแพลงก์ตอนพืช ในทะเลสาบสังขลาตอนนอก
- เพื่อศึกษาความสัมพันธ์ของปัจจัยทางสภาพแวดล้อมบางประการกับการเปลี่ยนแปลงของผลผลิตเบื้องต้นของแพลงก์ตอนพืช

บทที่ 2

วิธีการวิจัย

วัสดุอุปกรณ์

วัสดุและอุปกรณ์ที่ใช้ในการศึกษาวิจัยประกอบด้วย

1. วัสดุและอุปกรณ์สำหรับเก็บตัวอย่างน้ำ

- ขวดพลาสติก polyethylene ขนาด 1,000 มิลลิลิตร
- ถังน้ำแข็งสำหรับแช่ตัวอย่างน้ำ
- เครื่องมือเก็บตัวอย่างน้ำ แบบ Van Dorn

2. วัสดุและอุปกรณ์สำหรับวัดค่าผลผลิตเบื้องต้นของแพลงก์ตอนพีช

- ขวด BOD ขนาด 250 มิลลิลิตร
- ทุ่นลอยสำหรับแขวนขวด ระดับความลึก 50 เซนติเมตร และ 100 เซนติเมตร
- สารเคมีตามวิธีวิเคราะห์ปริมาณออกซิเจนละลายน้ำของสตอร์คแลนด์และพาร์สัน
- เครื่องวัดความเข้มแสง (photometer) LICOR, Model LI-185 B

3. วัสดุและอุปกรณ์สำหรับการวิเคราะห์ปัจจัยทางสภาวะแวดล้อมที่เกี่ยวข้อง

- เทอร์โมมิเตอร์
- เครื่องวัดความเป็นกรด-เบส (water quality monitor YSI)
- UV/ VIS Spectrophotometer (JASCO model 7800)
- เครื่องวัดความเค็ม (salinometer)
- เทปวัดความลึก
- เครื่องกรอง millipore
- vacuum pump
- กระดาษกรองไยแก้ว (glass fiber filter) "Whatman" GF/C ขนาดเส้นผ่าศูนย์กลาง 4.7 เซนติเมตร
- เครื่องชั่งแบบละเอียด (analytical balance)

- ตู้อบแห้ง (hot air oven)
- โถทำแห้ง (desiccator)
- เครื่องปั่น (centrifuge)
- เครื่องแกะที่จำเป็น
- เครื่องปั่นกระดาษกรอง (tissue grinder)
- สารเคมีตามวิธีวิเคราะห์ปัจจัยทางสภาระแวดล้อม

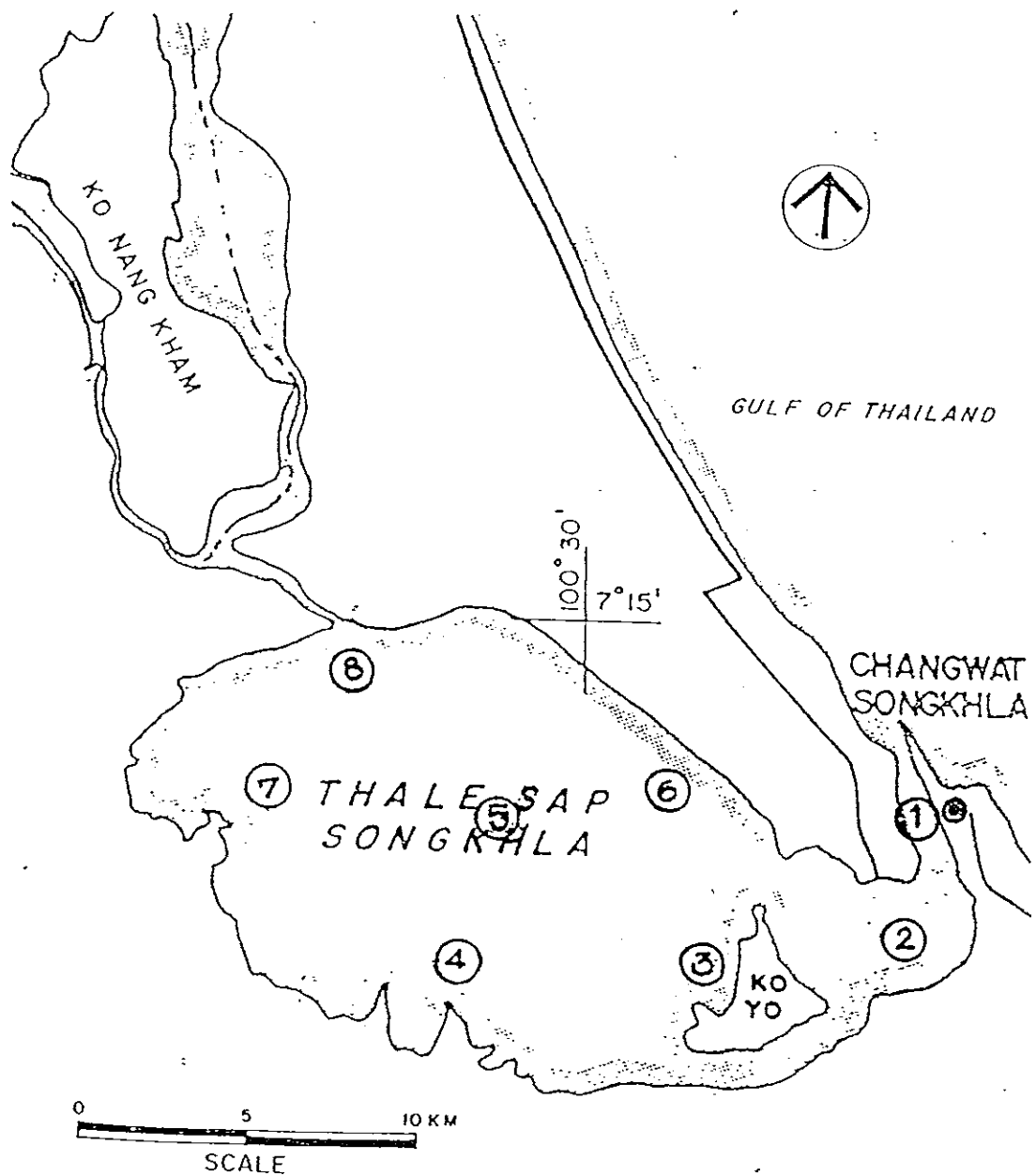
วิธีดำเนินการวิจัย

1. กำหนดคุณเก็บตัวอย่างแบบเจาะจง (purposive sampling) โดยคำนึงถึงการเพื่อ
กระจายให้ครอบคลุมทั่วพื้นที่ทั่วโลก การเปลี่ยนแปลงความเด็มของน้ำ
การได้รับผลกระทบจากน้ำเสียน้ำทิ้งจากชุมชนโดยรอบบริเวณ จากชุมชนเมืองสังคมและ
หาดใหญ่ จากโรงงานอุตสาหกรรมและแหล่งสาธารณูปัทช์แหล่งอาหารที่ปล่อยทิ้งลง
สู่ลำน้ำธรรมชาติแล้วไหลลงสู่ทั่วโลกแห่งนี้ และเป็นคุณเก็บตัวอย่างที่ได้ศึกษาในงาน
วิจัยที่ผ่านมา (จำพัน หลีอสินทรัพย์ คณิต "เรียนรู้ และพัฒนา ศิริมนตรากรณ์, 2529
: 30 ; ไวยา รัตน์, 2534 : 22-24) เพื่อให้เป็นตัวแทนของพื้นที่ที่ทำการศึกษา ได้กำหนด
คุณเก็บตัวอย่างน้ำไว้ 8 คุณ (ตาราง 1 และภาพประกอบ 2 3 4 และ 5)

ตาราง 1 บริเวณจุดเก็บตัวอย่าง

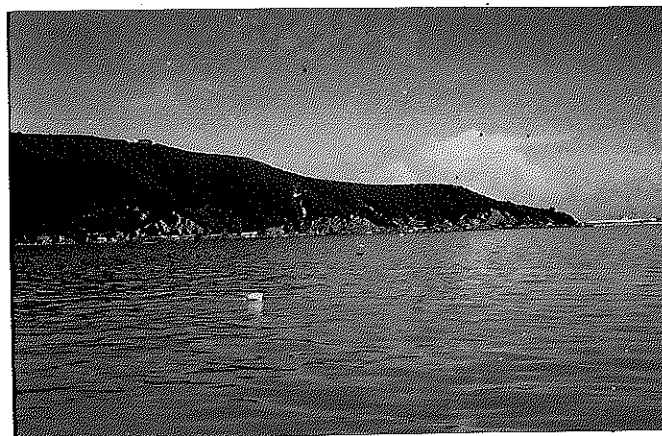
ลำดับที่	บริเวณจุดเก็บตัวอย่าง
1	บริเวณปากอ่าว ตรงข้ามวัดแหลมทราย อำเภอเมือง จังหวัดสงขลา
2	บริเวณบ้านท่าสะป้าน อำเภอเมือง จังหวัดสงขลา
3	บริเวณบ้านสวนใหม่ ตำบลเกาะยอ อำเภอเมือง จังหวัดสงขลา
4	บริเวณหน้าแหลมโพธิ์ อำเภอหาดใหญ่ จังหวัดสงขลา
5	บริเวณกลางทะเลสาบสงขลาตอนนอก
6	บริเวณบ้านสะทึ่งหม้อ อำเภอสิงหนคร จังหวัดสงขลา
7	บริเวณบ้านปากบาง อำเภอรัตนภูมิ จังหวัดสงขลา
8	บริเวณปากคลองปากขอ อำเภอรัตนภูมิ จังหวัดสงขลา

2. กำหนดเวลาวัดผลผลิตเบื้องต้น และวิเคราะห์ปัจจัยทางสภาวะแวดล้อมที่เกี่ยวข้องทุกเดือน โดยเริ่มจากเดือนพฤษภาคม 2536 ถึงเดือนเมษายน 2537 รวม 12 เดือน ครั้งละ 4 วัน ดำเนินการวันละ 2 จุดเก็บตัวอย่าง โดยแต่ละจุดทำการทดลอง 3 ชั้้า

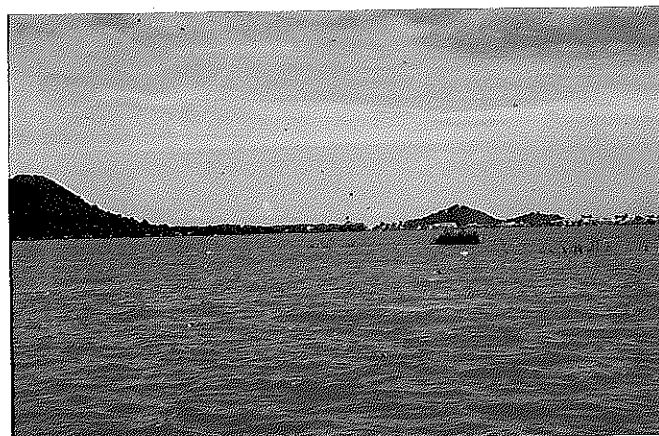


ภาพประกอบ 2 ตำแหน่งที่ตั้งจุดเก็บตัวอย่าง

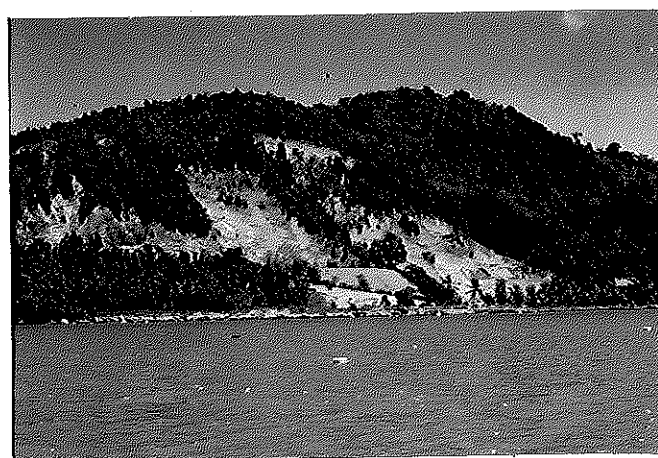
แผนที่ตัดแปลงจาก John Taylor and Sons, 1985 : 11-77



จุดที่ 1 บริเวณปากช่อง ตระหง่านวัดแหลมทราย จังหวัดสงขลา



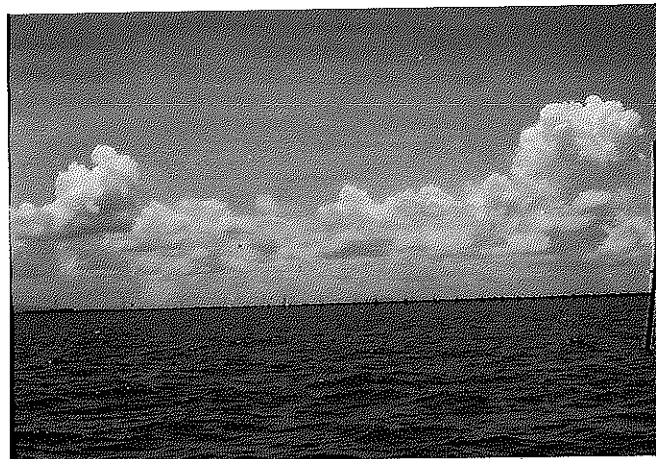
จุดที่ 2 บริเวณบ้านท่าสะป้าน อำเภอเมือง จังหวัดสงขลา



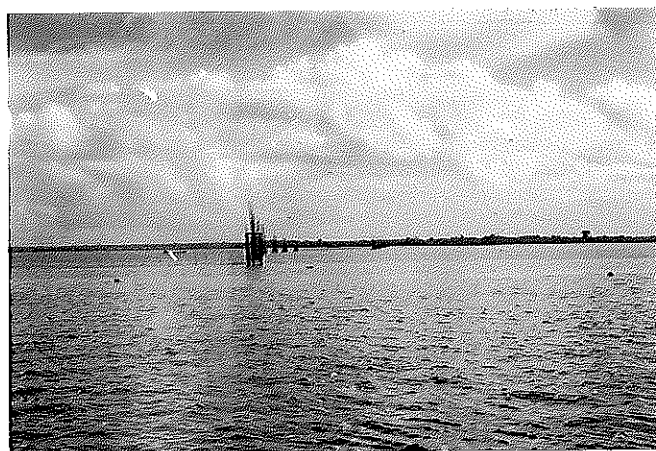
จุดที่ 3 บริเวณบ้านสวนใหม่ ตำบลเกาภายอ อำเภอเมือง จังหวัดสงขลา
ภาพประกอบ 3 จุดเดียบตัวอย่างที่ 1 - 3



รูดที่ 4 บริเวณหน้าแหลมโพธิ์ อำเภอหาดใหญ่



รูดที่ 5 บริเวณกลางทะเลสาบสงขลาตอนนอก



รูดที่ 6 บริเวณบ้านสะพึ่งหม้อ อำเภอสิงหนคร จังหวัดสงขลา
ภาพประกอบ 4 รูดเก็บตัวอย่างที่ 4 - 6



จุดที่ 7 บริเวณบ้านปากบาง อำเภอรัตภูมิ จังหวัดสงขลา



จุดที่ 8 บริเวณปากคลองปากขอ อำเภอรัตภูมิ จังหวัดสงขลา

ภาพประกอบ 5 จุดเก็บตัวอย่างที่ 7 - 8

3. การวัดผลผลิตเบื้องต้น กระทำในบริเวณที่เก็บตัวอย่างน้ำตามวิธี light and dark bottle oxygen method การวัดจะเริ่มดำเนินการตั้งแต่เวลา 7.30 นาฬิกา ในแต่ละครั้งที่ทำการวัดจะกำหนดให้อยู่ในเวลาเดียวกันหรือใกล้เคียงกัน ตรวจสอบการขึ้นลงของกระแสน้ำจากมาตรฐานของกรมอุตสาหกรรม

การวัดผลผลิตเบื้องต้นกระทำโดยเก็บตัวอย่างน้ำด้วยกระบอกเก็บตัวอย่างน้ำแบบ Van Dorn จากระดับความลึก 0.5 เมตร และ 1.0 เมตร แบ่งตัวอย่างน้ำในแต่ละระดับด้วยวิธีกาลกั้น โดยระดับรองไว้ให้เกิดฟองอากาศลงในขวด BOD 3 ชุด คือ ขาวดสว่าง (light bottle) ขาวมืด (dark bottle: ขวด BOD ห่อหุ้มมิดชิดด้วยกระถุงป้องกันแสงอาทิตย์) และขวดควบคุมซึ่งมีปริมาณออกซิเจนละลายน้ำที่มีอยู่เดิมหรือตั้งต้น (initial bottle) นำขวดมีดและขาวดสว่างผูกหุ้นโดยแยกไว้ ณ ระดับความลึกเดียวกับที่ทำการเก็บตัวอย่างน้ำจากนั้นแข็งให้เป็นเวลา 4 ชั่วโมง แล้วนำเข้ามาวิเคราะห์นำปริมาณออกซิเจนละลายน้ำ (DO) ในขวดนีดและขาวดสว่างเปรียบเทียบกับขวดควบคุมซึ่งมีปริมาณออกซิเจนละลายน้ำที่มีอยู่เดิม โดยวิธีวิเคราะห์ของสตริคแอลนด์และพาร์สัน (Strickland and Parson, 1972 : 21-26) คำนวนค่าผลผลิตเบื้องต้นโดยใช้สูตรการคำนวณตัดแปลงจากสูตรของสตริคแอลนด์และพาร์สัน (Strickland and Parson, 1972 : 263 - 265) ดังนี้

สูตรของสตริคแอลนด์และพาร์สัน

$$\text{Gross photosynthesis, mgC.m}^{-3} \text{ per hour} = \frac{605 \times f \times [V_{LB} - V_{DB}]}{PQ \times N}$$

N = จำนวนชั่วโมงที่แข็งไว้

สูตรตัดแปลง

$$\text{Gross photosynthesis, mgC.m}^{-3} \text{ per incubation period} = \frac{605 \times f \times [V_{LB} - V_{DB}]}{PQ}$$

incubation period = ช่วงเวลาที่แข็งไว้ = 4 ชม.

$$\text{Net photosynthesis, mgC.m}^{-3} \text{ per incubation period} = \frac{605 \times f \times [V_{LB} - V_{DB}]}{PQ}$$

$$\text{Respiration, mgC.m}^{-3} \text{ per incubation period} = 605 \times f \times [V_{LB} - V_{DB}] \times RQ$$

โดยที่ $V_{(LB)} =$ ปริมาตรสารละลายน้ำ thiosulphate ที่ใช้ไห้เทเรตในขวดส่วน (ml)

$V_{(DB)} =$ ปริมาตรสารละลายน้ำ thiosulphate ที่ใช้ไห้เทเรตในขวดมีด (ml)

$V_{(IB)} =$ ปริมาตรสารละลายน้ำ thiosulphate ที่ใช้ไห้เทเรตในขวดควบคุมปริมาณ
ออกซิเจนละลายน้ำที่มีอยู่เดิม (ml)

f = titration factor
 $= \frac{5.0}{V}$

$V =$ ปริมาตรสารละลายน้ำ thiosulphate (ml) ที่ใช้ในการเทียบมาตรฐาน
(calibration)

PQ = photosynthetic quotient
 $= \frac{+\Delta O_2}{-\Delta CO_2}$
 $= \frac{\text{ไม่เลกฤทธิ์ของออกซิเจนทั้งหมดที่เกิดขึ้นในระหว่างการสังเคราะห์แสง}}{\text{ไม่เลกฤทธิ์ของคาร์บอนไดออกไซด์ที่ดูดซึมไปได้}}$

โดยทั่วไปมีค่า 1.2

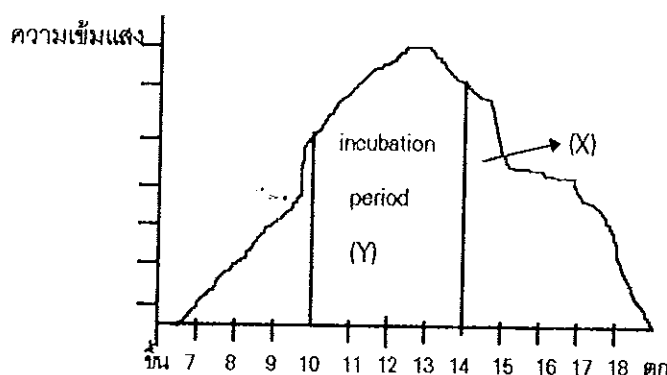
RQ = respiratory quotient
 $= \frac{+\Delta CO_2}{-\Delta O_2}$
 $= \frac{\text{ไม่เลกฤทธิ์ของคาร์บอนไดออกไซด์ที่หายออกในขณะหายใจ}}{\text{ไม่เลกฤทธิ์ของออกซิเจนที่ใช้ไปในการหายใจ}}$

โดยทั่วไปมีค่า 1.0

ค่า PQ และ RQ จะเปรียบันไปตามชนิดของแพลงก์ตอนพืช องค์ประกอบทางเคมีและสภาพแวดล้อม ซึ่งโดยทั่วไป PQ จะเท่ากับ 1.2 และ RQ เท่ากับ 1.0 (Wetzel and Likens , 1979 : 261)

4. การวิเคราะห์ปัจจัยทางสภาวะแวดล้อมที่เกี่ยวข้องกับผลผลิตเบื้องต้น กระทำโดยวัดความลึกของน้ำบริเวณจุดเก็บตัวอย่าง วัดอุณหภูมิ ความเป็นกรด-เบส และความเค็ม ณ จุดเก็บตัวอย่างความลึก ส่วนความเข้มแสงน้ำวัดทุก 1 ชั่วโมงในบริเวณที่ทำการวัดผลผลิตเบื้องต้น ตั้งแต่ดวงอาทิตย์ขึ้นจนกระทั่งดวงอาทิตย์ตก นำค่าที่ได้ไปเขียนกราฟเพื่อ

หาอัตราส่วนพื้นที่ใต้กราฟของความเข้มแสงทั้งวัน (ช่วงเวลาที่มีแสง) กับพื้นที่ใต้กราฟของความเข้มแสงในขณะทำการ incubate ซึ่งอัตราส่วนดังกล่าวนี้จะเป็นค่าแฟคเตอร์ที่ใช้ในการคำนวณค่าผลผลิตเบื้องต้นต่อวันดังนี้



ให้ พื้นที่ใต้กราฟทั้งหมดมีค่าเท่ากับ X ตารางหน่วย
 พื้นที่ใต้กราฟ incubation period มีค่าเท่ากับ Y ตารางหน่วย
 ผลผลิตเบื้องต้นของแพลงก์ตอนพืช/ incubation period มีค่าเท่ากับ A mgC.m^{-3}
 คำนวณค่า ผลผลิตเบื้องต้นของแพลงก์ตอนพืชต่อวัน
 พื้นที่ใต้กราฟ incubation period Y ตารางหน่วยได้ค่าผลผลิตเบื้องต้น A mgC.m^{-3}
 พื้นที่ใต้กราฟทั้งหมด X ตารางหน่วยได้ค่าผลผลิตเบื้องต้น $A \times \frac{X}{Y} \text{ mgC.m}^{-3.d^{-1}}$

$$\text{ดังนั้น อัตราส่วน} = \frac{\text{พื้นที่ใต้กราฟทั้งหมด}}{\text{พื้นที่ใต้กราฟ incubation period}} = \frac{X}{Y}$$

ค่าอัตราส่วนนี้นำไปคูณกับค่าผลผลิตเบื้องต้นต่อ incubation period ที่ได้จากสูตร
การคำนวณดัดแปลงข้างต้น

การเก็บตัวอย่างน้ำเพื่อนำไปวิเคราะห์หาปริมาณของเยื่อเยวนลอย ปริมาณ
ในไครท์ ในเตรอท ชิลิกेट พอสเพต และคลอโรฟิลล์ เอ กระทำที่ดูดกึ่งกลางความลึก
เช่นเดียวกับการวัดอุณหภูมิ ความเป็นกรด-เบส และความเค็ม จากนั้นนำตัวอย่างน้ำไป
วิเคราะห์โดยวิธีวิเคราะห์ในตาราง 2

ตาราง 2 วิธีวิเคราะห์ปัจจัยทางสภาวะแวดล้อมที่เกี่ยวข้องกับผลผลิตเบื้องต้น

ปัจจัยทางสภาวะแวดล้อม	ระดับที่เก็บ	วิธีวิเคราะห์
1. อุณหภูมิ	กึ่งกลางความลึก	วิเคราะห์ที่จุดเก็บ ด้วยเทอร์โมมิเตอร์
2. ความเป็นกรด-เบส	กึ่งกลางความลึก	วิเคราะห์ที่จุดเก็บ ด้วย water quality monitor YSI
3. ความเค็ม	กึ่งกลางความลึก	วิเคราะห์ที่จุดเก็บด้วย salinometer
4. ความลึก	-	วิเคราะห์ที่จุดเก็บด้วย เทปวัดความลึก
5. ความเข้มแสง	-	ทำการวัดทุก 1 ซม. ด้วย photometer
6. *ปริมาณไนโตรเจน (nitrite)	กึ่งกลางความลึก เก็บตัวอย่างใส่ขวด พลาสติกได้ที่อุณหภูมิ 4 องศาเซลเซียส	วิเคราะห์ในห้องปฏิบัติการ ด้วยวิธี Determination of nitrite
7. *ปริมาณไนโตรเจน (nitrate)	กึ่งกลางความลึก เก็บตัวอย่างใส่ขวด พลาสติกได้ที่อุณหภูมิ 4 องศาเซลเซียส	วิเคราะห์ในห้องปฏิบัติการ ด้วยวิธี Determination of nitrate
8. *ปริมาณซิลิกาเต (silicate)	กึ่งกลางความลึก เก็บตัวอย่างใส่ขวด พลาสติกได้ที่อุณหภูมิ 4 องศาเซลเซียส	วิเคราะห์ในห้องปฏิบัติการ ด้วยวิธี Determination of silicate

ตาราง 2 (ต่อ)

ปัจจัยทางสภาวะแวดล้อม	ระดับที่เก็บ	วิธีวิเคราะห์
9. **ปริมาณฟอสเฟต (phosphate)	กึ่งกลางความถึก เก็บตัวอย่างใส่ขวด พลาสติกไว้ที่อุณหภูมิ 4 องศาเซลเซียส	วิเคราะห์ในห้องปฏิบัติการ ด้วยวิธี Ascorbic acid method
10. **ปริมาณของแข็งแขวนลอย (Total suspended solids)	กึ่งกลางความถึก เก็บตัวอย่างใส่ขวด พลาสติกไว้ที่อุณหภูมิ 4 องศาเซลเซียส	วิเคราะห์ในห้องปฏิบัติการ ด้วยวิธี Total suspended solids dried at 103 -105 °C
11. **ปริมาณคลอโรฟิลล์ a (chlorophyll a)	กึ่งกลางความถึก เก็บตัวอย่างใส่ขวด พลาสติกไว้ที่อุณหภูมิ 4 องศาเซลเซียส	วิเคราะห์ในห้องปฏิบัติการ ด้วยวิธี chlorophyll

หมายเหตุ * เป็นวิธีวิเคราะห์จาก A Manual of Chemical and Biological Methods for Seawater Analysis (Parsons, Maita and Lalli, 1984 : 3-28)

** เป็นวิธีวิเคราะห์จาก Standard Methods for the Examination of Water and Wastewater (American Public Health Association, 1989)

การวิเคราะห์ข้อมูลทางสถิติ

ค่าผลผลิตเบื้องต้นของแพลงก์ตอนพืชรวม(GPP)ต่อวัน ค่าผลผลิตเบื้องต้นของแพลงก์ตอนพืชสูง (NPP) ต่อวันที่วัดได้ และปัจจัยทางสภาพแวดล้อมที่เกี่ยวข้องซึ่งวิเคราะห์ณ จุดเก็บตัวอย่างและในห้องปฏิบัติการ นำมาวิเคราะห์ข้อมูลทางสถิติ โดยวิเคราะห์ความแปรปรวนแบบแฟกทอร์เรย์ล ซึ่งใช้แผนกราฟทดลองแบบสุ่มคลอต(Completely Randomized Design, CRD) การเปรียบเทียบค่าเฉลี่ยด้วยวิธี Duncan's New Multiple Range Test (DMRT) และการวิเคราะห์สหสัมพันธ์เส้นตรง (Linear Correlation Analysis) ระหว่างผลผลิตเบื้องต้นของแพลงก์ตอนพืชสูงต่อวันเฉลี่ยทั้งสองระดับความลึกกับปัจจัยทางสภาพแวดล้อมที่เกี่ยวข้อง ซึ่งการวิเคราะห์ทางสถิติทั้งหมดได้โปรแกรมสำเร็จรูปทางสถิติ IRRISTAT version 3/93, SPSS/PC⁺, และ STATISTICA

บทที่ 3

ผล

การศึกษาผลผลิตเบื้องต้นของแพลงก์ตอนพืชในทะเลสาบสงขลาตอนอกในช่วงเดือนพฤษภาคม 2536 ถึง เดือนเมษายน 2537 ในบริเวณจุดเก็บตัวอย่าง 8 จุด ครอบคลุมพื้นที่ทะเลสาบสงขลาตอนอกทั้งหมด ด้วยวิธีการวัดแบบ light and dark bottle oxygen method ที่ระดับความลึก 0.5 เมตรและ 1.0 เมตรจากผิวน้ำ วิเคราะห์ปัจจัยทางสภาวะแวดล้อมที่เกี่ยวข้องในบริเวณจุดเก็บตัวอย่าง และในห้องปฏิบัติการจากตัวอย่างน้ำที่เก็บ ณ จุดเก็บกลางความลึกทุกจุดเก็บตัวอย่าง ปรากฏผลดังต่อไปนี้

ผลผลิตเบื้องต้นของแพลงก์ตอนพืช

จากการวิเคราะห์ข้อมูลทางสถิติ (ตารางภาคผนวก 15) พบว่า ผลผลิตเบื้องต้นของแพลงก์ตอนพืชรวม (GPP) ต่อวันในแต่ละระดับความลึก จุดเก็บตัวอย่าง และเดือนไม่มีปฏิสัมพันธ์กัน ($D \times S \times M$) แต่จุดเก็บตัวอย่างมีปฏิสัมพันธ์กับเดือน ($S \times M$) ระดับความลึก มีปฏิสัมพันธ์กับเดือน ($D \times M$) จุดเก็บตัวอย่างมีปฏิสัมพันธ์กับระดับความลึก ($S \times D$) และในแต่ละเดือน แต่ละจุดเก็บตัวอย่าง และแต่ละระดับความลึก มีความแตกต่างกันทางสถิติ

สรุปผลผลิตเบื้องต้นของแพลงก์ตอนพืชสุทธิ (NPP) ต่อวัน (ตารางภาคผนวก 16) ในแต่ละระดับความลึก จุดเก็บตัวอย่าง และเดือน มีปฏิสัมพันธ์กัน ($D \times S \times M$) จุดเก็บตัวอย่างมีปฏิสัมพันธ์กับเดือน ($S \times M$) ระดับความลึกมีปฏิสัมพันธ์กับเดือน ($D \times M$) จุดเก็บตัวอย่างมีปฏิสัมพันธ์กับระดับความลึก ($S \times D$) และในแต่ละเดือน แต่ละจุดเก็บตัวอย่าง และแต่ละระดับความลึก มีความแตกต่างกันทางสถิติ

1. ในแต่ละจุดเก็บตัวอย่าง

1.1 จุดเก็บตัวอย่างที่ 1 (ภาพประกอบ 6)

1.1.1 ระดับความลึก 0.5 เมตร

ผลผลิตเบื้องต้นของแพลงก์ตอนพืชรวมต่อวัน มีค่าเฉลี่ยสูงสุดในเดือนมิถุนายน $1207.27 \text{ mgC.m}^{-3}.\text{d}^{-1}$ ซึ่งไม่มีความแตกต่างกันทางสถิติกับเดือนพฤษจิกายน เดือนตุลาคม เดือนพฤษภาคม และ เดือนกุมภาพันธ์ แต่มีความแตกต่างกันทางสถิติกับเดือนอื่นๆ โดยเดือนธันวาคม มีค่าเฉลี่ยต่ำสุด $92.78 \text{ mgC.m}^{-3}.\text{d}^{-1}$ (ตารางภาคผนวก 1)

เมื่อเปรียบเทียบกับทุกฤดูกาลเก็บตัวอย่างในเดือนมิถุนายน พบร้า ฤดูกาลเก็บตัวอย่างที่ 3 มีค่าเฉลี่ยสูงสุด $3793.40 \text{ mgC.m}^{-3}.\text{d}^{-1}$ และฤดูกาลเก็บตัวอย่างที่ 7 มีค่าเฉลี่ยต่ำสุด $312.06 \text{ mgC.m}^{-3}.\text{d}^{-1}$ (ภาพประกอบ 7 และตารางภาคผนวก 3) ส่วนเดือนธันวาคม ฤดูกาลเก็บตัวอย่างที่ 3 มีค่าเฉลี่ยสูงสุด $305.44 \text{ mgC.m}^{-3}.\text{d}^{-1}$ และฤดูกาลเก็บตัวอย่างที่ 2 มีค่าเฉลี่ยต่ำสุด $59.86 \text{ mgC.m}^{-3}.\text{d}^{-1}$ (ภาพประกอบ 8 และตารางภาคผนวก 3)

ผลผลิตเบื้องต้นของแพลงก์ตอนพืชสูงต่อวัน มีค่าเฉลี่ยสูงสุดในเดือนมิถุนายน $899.62 \text{ mgC.m}^{-3}.\text{d}^{-1}$ ซึ่งไม่มีความแตกต่างกันทางสถิติกับเดือนพฤษจิกายน และเดือนพฤษภาคม แต่มีความแตกต่างกันทางสถิติกับเดือนอื่นๆ โดยเดือนธันวาคมมีค่าเฉลี่ยต่ำสุด $0 \text{ mgC.m}^{-3}.\text{d}^{-1}$ (อัตราการสร้างหรือผลผลิตเบื้องต้นสูงต่อวัน = อัตราการใช้หรืออัตราการหายใจ) (ตารางภาคผนวก 2)

1.1.2 ระดับความลึก 1.0 เมตร

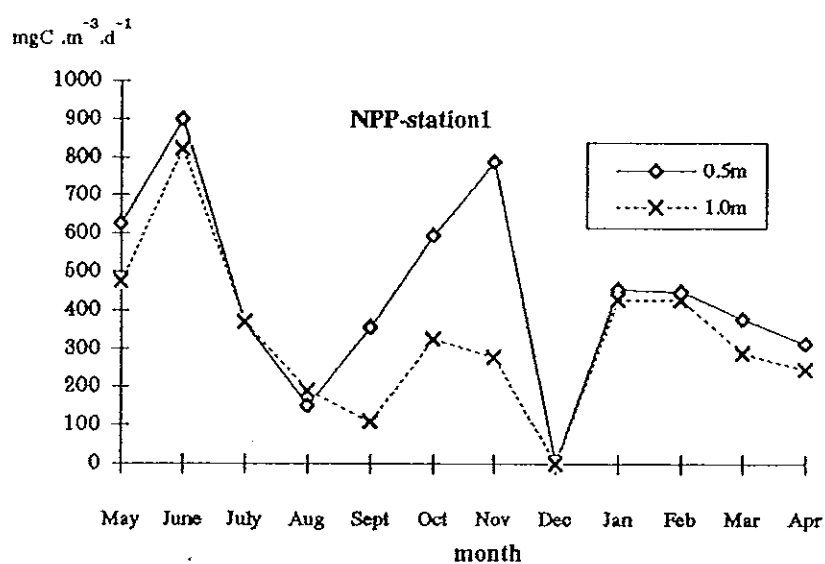
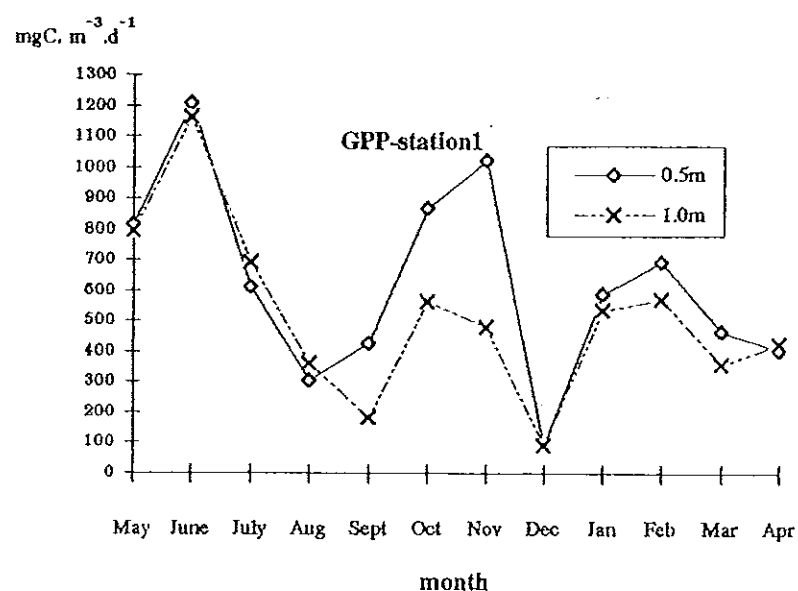
ผลผลิตเบื้องต้นของแพลงก์ตอนพืชสูงต่อวัน มีค่าเฉลี่ยสูงสุดในเดือนมิถุนายน $1164.83 \text{ mgC.m}^{-3}.\text{d}^{-1}$ ซึ่งไม่มีความแตกต่างกันทางสถิติกับเดือนพฤษจิกายน และเดือนกรกฎาคม แต่มีความแตกต่างกันทางสถิติกับเดือนอื่นๆ โดยเดือนธันวาคมมีค่าเฉลี่ยต่ำสุด $92.78 \text{ mgC.m}^{-3}.\text{d}^{-1}$ (ตารางภาคผนวก 1)

ผลผลิตเบื้องต้นของแพลงก์ตอนพืชสูงต่อวันมีค่าเฉลี่ยสูงสุด ในเดือนมิถุนายน $821.94 \text{ mgC.m}^{-3}.\text{d}^{-1}$ ซึ่งมีความแตกต่างกันทางสถิติกับเดือนพฤษจิกายน และเดือนอื่นๆ โดยเดือนธันวาคม มีค่าเฉลี่ยต่ำสุด $0 \text{ mgC.m}^{-3}.\text{d}^{-1}$ (ตารางภาคผนวก 2)

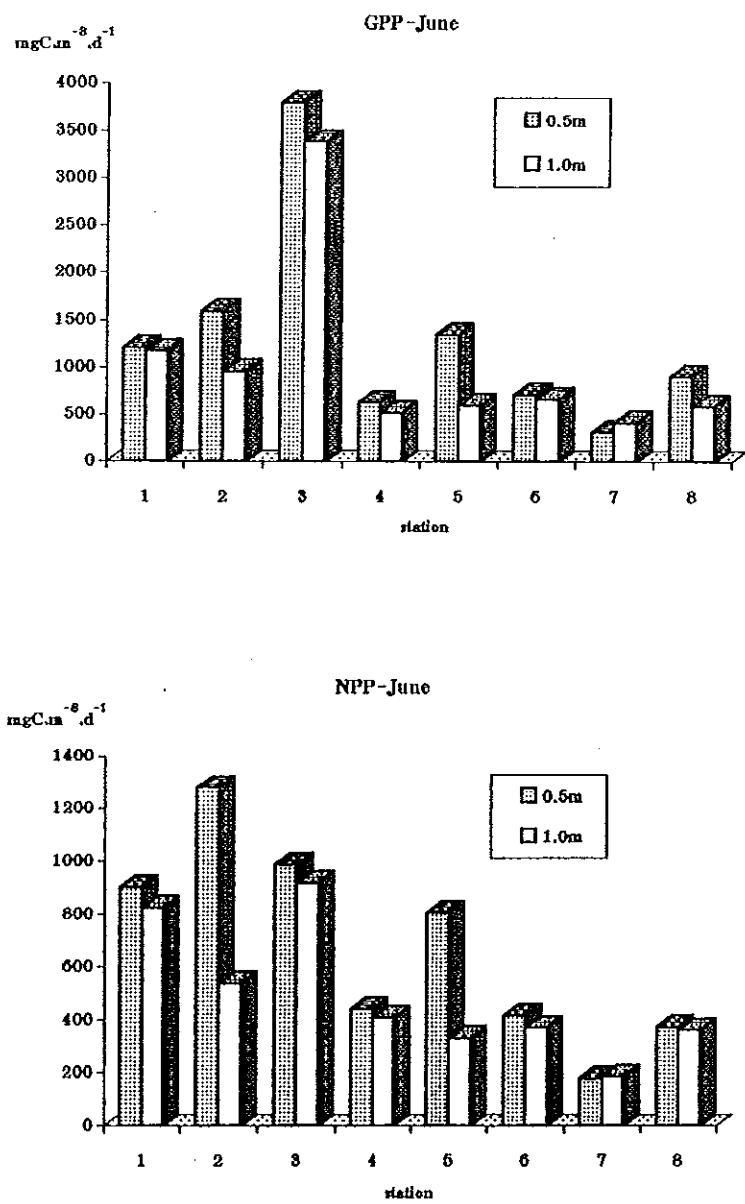
1.2 ฤดูกาลเก็บตัวอย่างที่ 2 (ภาพประกอบ 9)

1.2.1 ระดับความลึก 0.5 เมตร

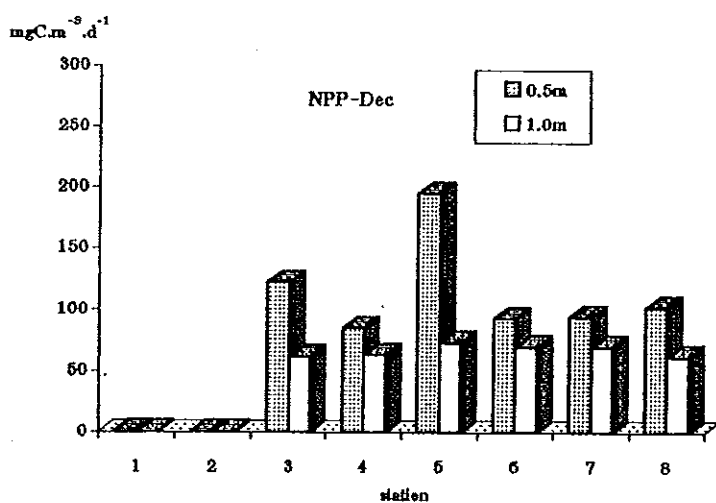
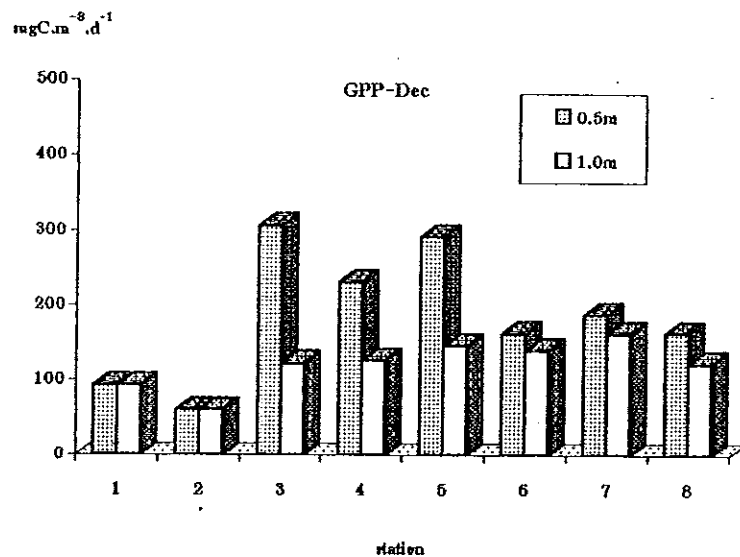
ผลผลิตเบื้องต้นของแพลงก์ตอนพืชรวมต่อวัน มีค่าเฉลี่ยสูงสุดในเดือนมิถุนายน $1588.88 \text{ mgC.m}^{-3}.\text{d}^{-1}$ ซึ่งไม่มีความแตกต่างกันทางสถิติกับเดือนตุลาคม แต่มีความแตกต่างกันทางสถิติกับเดือนอื่นๆ โดยเดือนธันวาคมมีค่าเฉลี่ยต่ำสุด $59.86 \text{ mgC.m}^{-3}.\text{d}^{-1}$



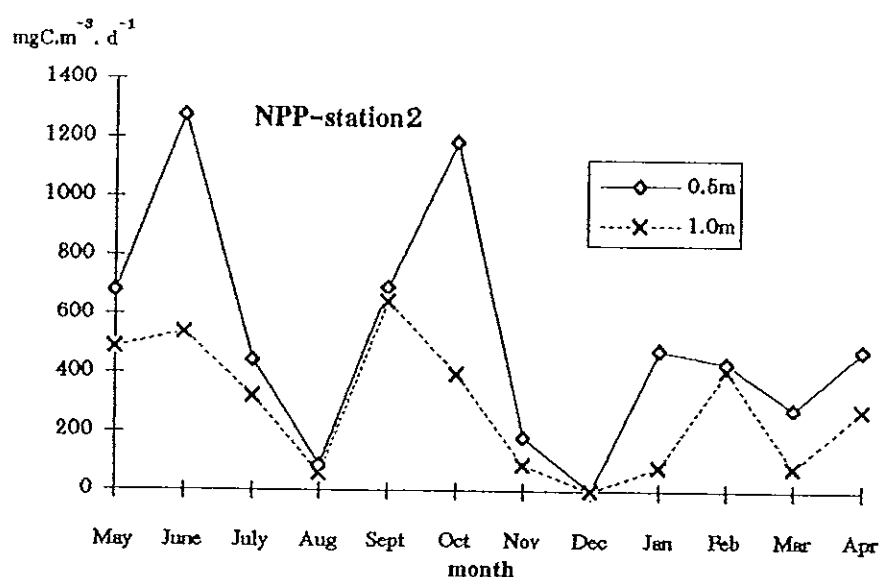
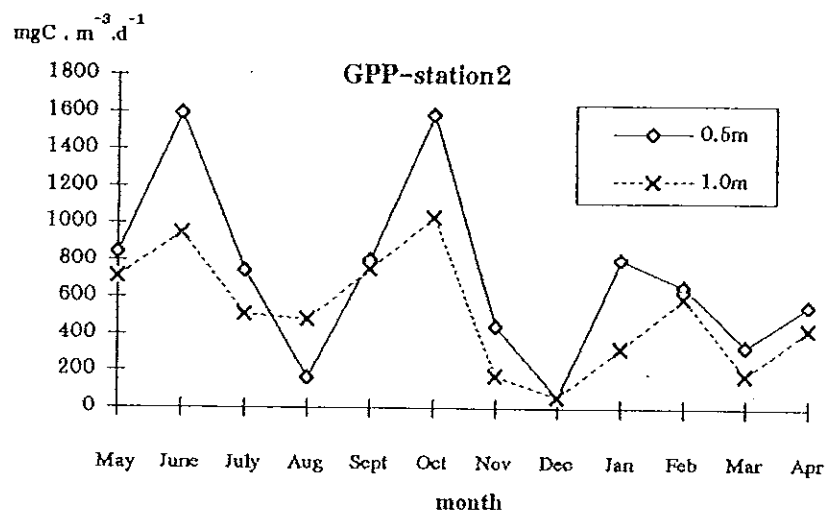
ภาพประกอบ 6 การเปลี่ยนแปลงในรอบปีของค่าเฉลี่ยผลผลิตเบื้องต้นรวม (GPP) และสุทธิ(NPP) ต่อวัน ในแต่ละระดับความลึก ณ จุดเก็บตัวอย่างที่ 1 บริเวณปากอ่าว หนองขามวัดแหลมหาราย อ. เมือง จ. สงขลา



ภาพประกอบ 7 ค่าเฉลี่ยผลผลิตเบื้องต้นรวม (GPP) และสุทธิ (NPP) ต่อวันในแต่ละ ระดับความลึกของแต่ละจุดเก็บตัวอย่าง ในเดือนมิถุนายน



ภาพประกอบ 8 ค่าเฉลี่ยผลผลิตเบื้องต้นรวม (GPP) และสุทธิ (NPP) ต่อวันในแต่ละ
ระดับความลึกของแต่ละจุดเก็บตัวอย่าง ในเดือนธันวาคม



ภาพประกอบ 9 การเปลี่ยนแปลงในรอบปีของค่าเฉลี่ยผลผลิตเบื้องต้นรวม (GPP) และ ผุทพิ(NPP) ต่อวัน ในแต่ละระดับความลึก ณ จุดเก็บตัวอย่างที่ 2
บริเวณบ้านท่าสะอ้าน อ. เมือง จ. สงขลา

ผลผลิตเบื้องต้นของแพลงก์ตอนพืชสุทธิต่อวัน มีค่าเฉลี่ยสูงสุดในเดือนมิถุนายน $1276.05 \text{ mgC.m}^{-3}.\text{d}^{-1}$ ซึ่งไม่มีความแตกต่างกันทางสถิติกับเดือนตุลาคม แต่มีความแตกต่างกันทางสถิติกับเดือนอื่นๆ โดยเดือนธันวาคมมีค่าเฉลี่ยต่ำสุด $0 \text{ mgC.m}^{-3}.\text{d}^{-1}$ (ตารางภาคผนวก 2)

1.2.2 ระดับความลึก 1.0 เมตร

ผลผลิตเบื้องต้นของแพลงก์ตอนพืชรวมต่อวัน มีค่าเฉลี่ยสูงสุดในเดือนตุลาคม $1029.43 \text{ mgC.m}^{-3}.\text{d}^{-1}$ ซึ่งไม่มีความแตกต่างกันทางสถิติกับเดือนมิถุนายน เดือนกันยายน เดือนพฤษภาคม เดือนกุมภาพันธ์ และเดือนกรกฎาคม แต่มีความแตกต่างกันทางสถิติกับเดือนอื่นๆ โดยเดือนธันวาคม มีค่าเฉลี่ยต่ำสุด $59.86 \text{ mgC.m}^{-3}.\text{d}^{-1}$ (ตารางภาคผนวก 1)

ในเดือนตุลาคม จุดเก็บตัวอย่างที่ 4 มีค่าเฉลี่ยสูงสุด $1202.98 \text{ mgC.m}^{-3}.\text{d}^{-1}$ และ จุดเก็บตัวอย่างที่ 7 มีค่าเฉลี่ยต่ำสุด $229.96 \text{ mgC.m}^{-3}.\text{d}^{-1}$ (ภาพประกอบ 10 และตารางภาคผนวก 3)

ผลผลิตเบื้องต้นของแพลงก์ตอนพืชสุทธิต่อวัน มีค่าเฉลี่ยสูงสุดในเดือนกันยายน $642.45 \text{ mgC.m}^{-3}.\text{d}^{-1}$ ซึ่งไม่มีความแตกต่างกันทางสถิติกับเดือนมิถุนายน เดือนพฤษภาคม เดือนกุมภาพันธ์ และเดือนตุลาคม แต่มีความแตกต่างกันทางสถิติกับเดือนอื่นๆ โดยเดือนธันวาคม มีค่าเฉลี่ยต่ำสุด $0 \text{ mgC.m}^{-3}.\text{d}^{-1}$ (ตารางภาคผนวก 3)

ในเดือนกันยายน จุดเก็บตัวอย่างที่ 2 เป็นจุดที่มีค่าเฉลี่ยสูงสุด โดยจุดเก็บตัวอย่างที่ 4 มีค่าเฉลี่ยต่ำสุด $77.63 \text{ mgC.m}^{-3}.\text{d}^{-1}$ (ภาพประกอบ 11 และตารางภาคผนวก 4)

1.3 จุดเก็บตัวอย่างที่ 3 (ภาพประกอบ 12)

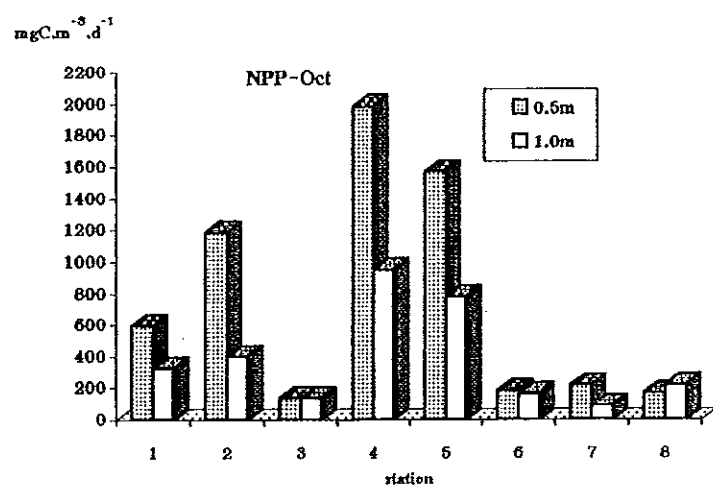
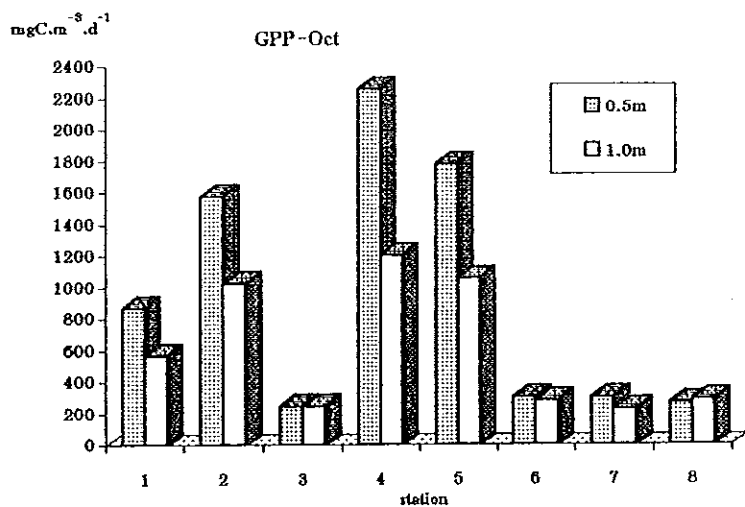
1.3.1 ระดับความลึก 0.5 เมตร

ผลผลิตเบื้องต้นของแพลงก์ตอนพืชรวมต่อวัน มีค่าเฉลี่ยสูงสุดในเดือนมิถุนายน $3793.4 \text{ mgC.m}^{-3}.\text{d}^{-1}$ ซึ่งมีความแตกต่างกันทางสถิติกับเดือนกุมภาพันธ์ และเดือนอื่นๆ โดยเดือนตุลาคม มีค่าเฉลี่ยต่ำสุด $248.11 \text{ mgC.m}^{-3}.\text{d}^{-1}$ (ตารางภาคผนวก 1)

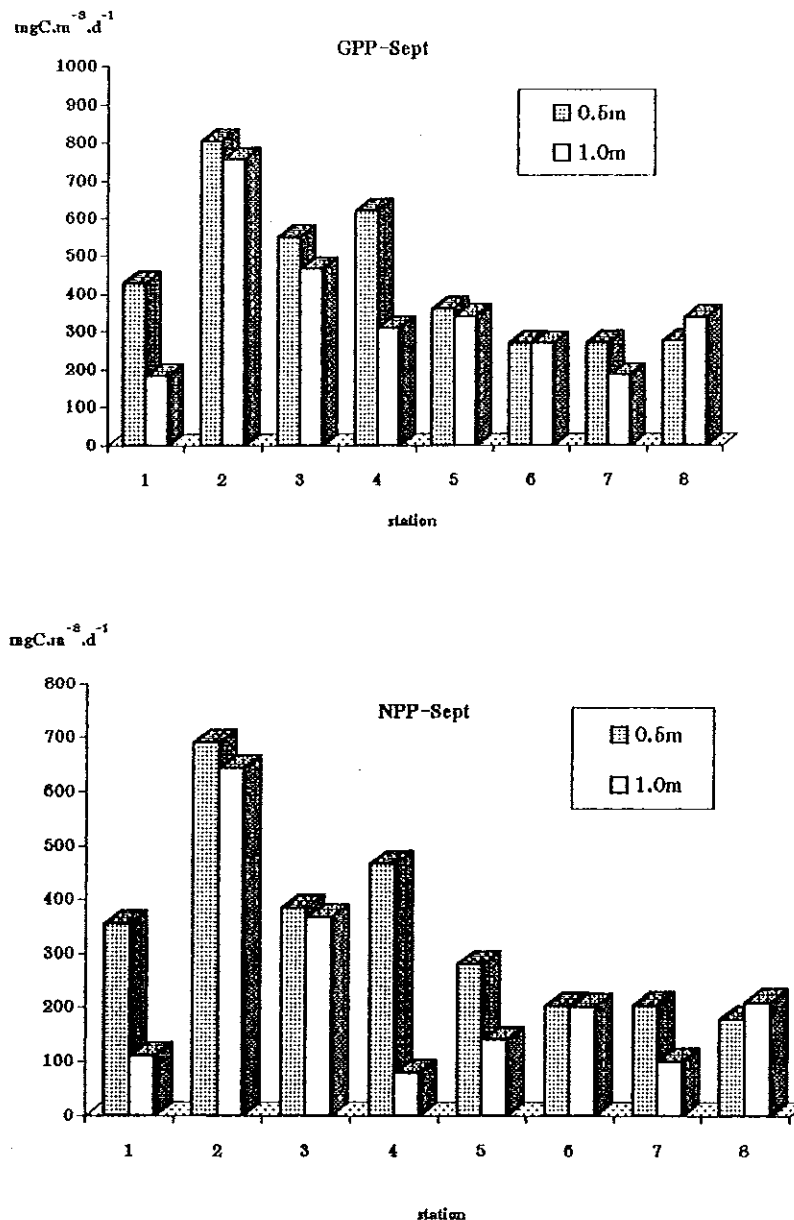
ผลผลิตเบื้องต้นของแพลงก์ตอนพืชสุทธิต่อวัน มีค่าเฉลี่ยสูงสุดในเดือนมิถุนายน $984.7 \text{ mgC.m}^{-3}.\text{d}^{-1}$ ซึ่งมีความแตกต่างกันทางสถิติกับเดือนกุมภาพันธ์ และเดือนอื่นๆ โดยเดือนธันวาคม มีค่าเฉลี่ยต่ำสุด $122.18 \text{ mgC.m}^{-3}.\text{d}^{-1}$ (ตารางภาคผนวก 2)

1.3.2 ระดับความลึก 1.0 เมตร

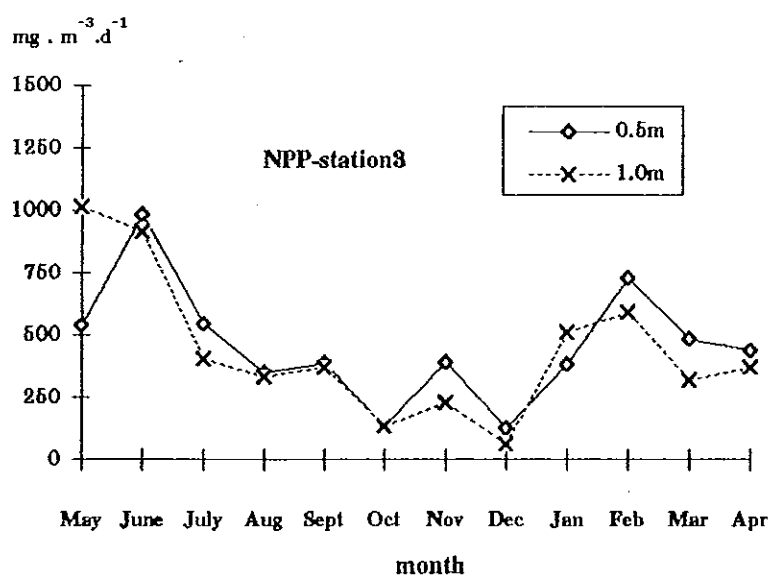
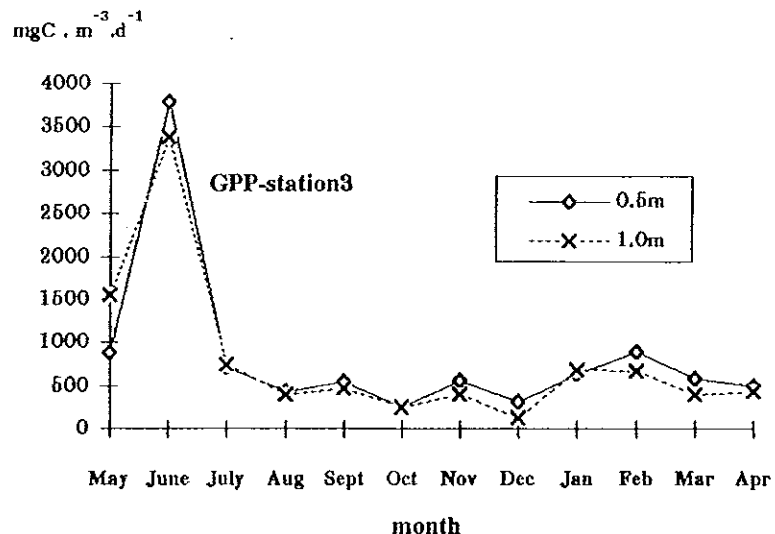
ผลผลิตเบื้องต้นของแพลงก์ตอนพืชรวมต่อวัน มีค่าเฉลี่ยสูงสุดในเดือนมิถุนายน



ภาพประกอบ 10 ค่าเฉลี่ยผลผลิตเบื้องต้นรวม (GPP) และสุทธิ (NPP) ต่อวันในแต่ละ
ระดับความลึกของแต่ละชุดเก็บตัวอย่าง ในเดือนตุลาคม



ภาพประกอบ 11 ค่าเฉลี่ยผลผลิตเบื้องต้นรวม (GPP) และสุทธิ (NPP) ต่อวันในแต่ละ ระดับความลึกของแต่ละจุดเก็บตัวอย่าง ในเดือนกันยายน



ภาพประกอบ 12 การเปลี่ยนแปลงในรอบปีของค่าเฉลี่ยผลผลิตเบื้องต้นรวม (GPP) และสุทธิ(NPP) ต่อวัน ในแต่ละระดับความลึก ณ จุดเก็บตัวอย่างที่ 3 บริเวณบ้านสวนใหม่ ต. แกะยอ อ. เมือง จ. สงขลา

$3378.23 \text{ mgC.m}^{-3}.\text{d}^{-1}$ ซึ่งมีความแตกต่างกันทางสถิติกับเดือนพฤษภาคมและเดือนธันวาคม โดยเดือนธันวาคม มีค่าเฉลี่ยต่ำสุด $122.18 \text{ mgC.m}^{-3}.\text{d}^{-1}$ (ตารางภาคผนวก 1)

ผลผลิตเบื้องต้นของแพลงก์ตอนพืชสูงอิฐต่อวัน มีค่าเฉลี่ยสูงสุดในเดือนพฤษภาคม $1011.21 \text{ mgC.m}^{-3}.\text{d}^{-1}$ ซึ่งไม่มีความแตกต่างกันทางสถิติกับเดือนมิถุนายน แต่มีความแตกต่างกันทางสถิติกับเดือนธันวาคม มีค่าเฉลี่ยต่ำสุด $61.09 \text{ mgC.m}^{-3}.\text{d}^{-1}$ (ตารางภาคผนวก 2)

ในเดือนพฤษภาคม จุดเก็บตัวอย่างที่ 3 นี้มีค่าเฉลี่ยสูงสุด และจุดเก็บตัวอย่างที่ 4 มีค่าเฉลี่ยต่ำสุด $149.83 \text{ mgC.m}^{-3}.\text{d}^{-1}$ (ภาพประกอบ 13 และตารางภาคผนวก 4)

1.4 จุดเก็บตัวอย่างที่ 4 (ภาพประกอบ 14)

1.4.1 ระดับความลึก 0.5 เมตร

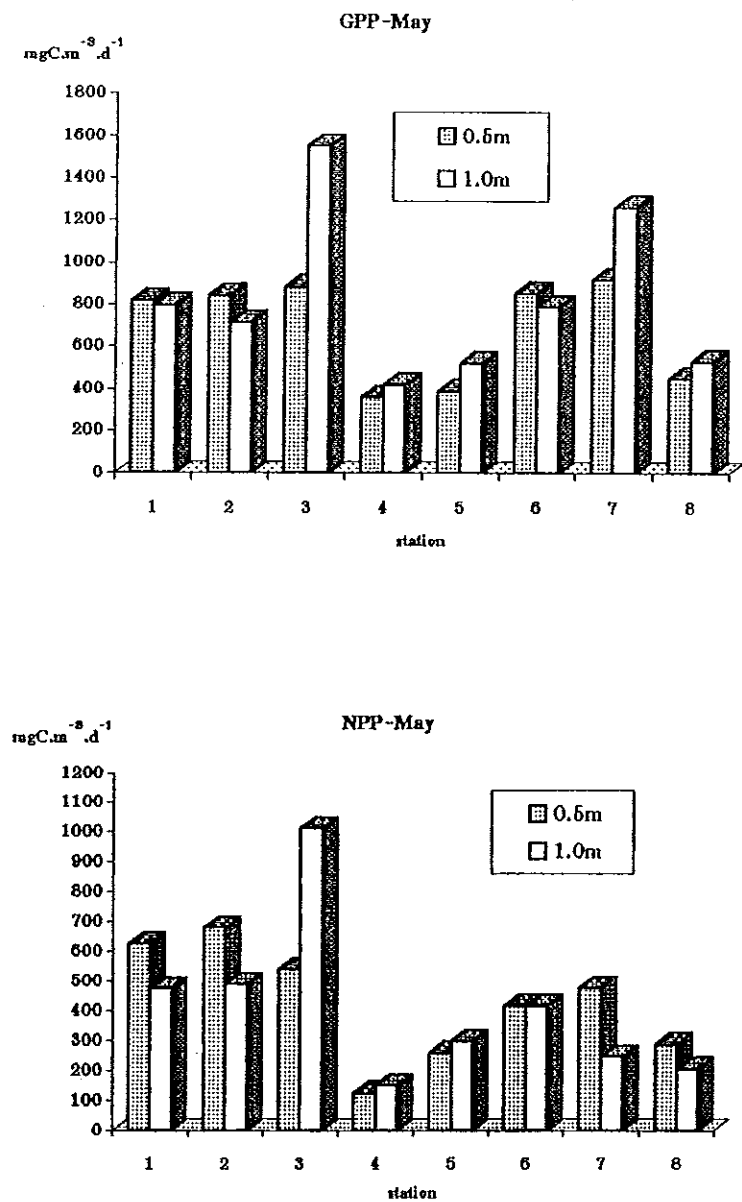
ผลผลิตเบื้องต้นของแพลงก์ตอนพืชรวมต่อวัน มีค่าเฉลี่ยสูงสุดในเดือนตุลาคม $2252.09 \text{ mgC.m}^{-3}.\text{d}^{-1}$ ซึ่งไม่มีความแตกต่างกันทางสถิติกับเดือนเมษายน แต่มีความแตกต่างกันทางสถิติกับเดือนธันวาคม มีค่าเฉลี่ยต่ำสุด $229.87 \text{ mgC.m}^{-3}.\text{d}^{-1}$ (ตารางภาคผนวก 1)

ผลผลิตเบื้องต้นของแพลงก์ตอนพืชสูงอิฐต่อวัน มีค่าเฉลี่ยสูงสุดในเดือนตุลาคม $1981.34 \text{ mgC.m}^{-3}.\text{d}^{-1}$ ซึ่งไม่มีความแตกต่างกันทางสถิติกับเดือนเมษายน แต่มีความแตกต่างกันทางสถิติกับเดือนธันวาคม มีค่าเฉลี่ยต่ำสุด $84.59 \text{ mgC.m}^{-3}.\text{d}^{-1}$ (ตารางภาคผนวก 2)

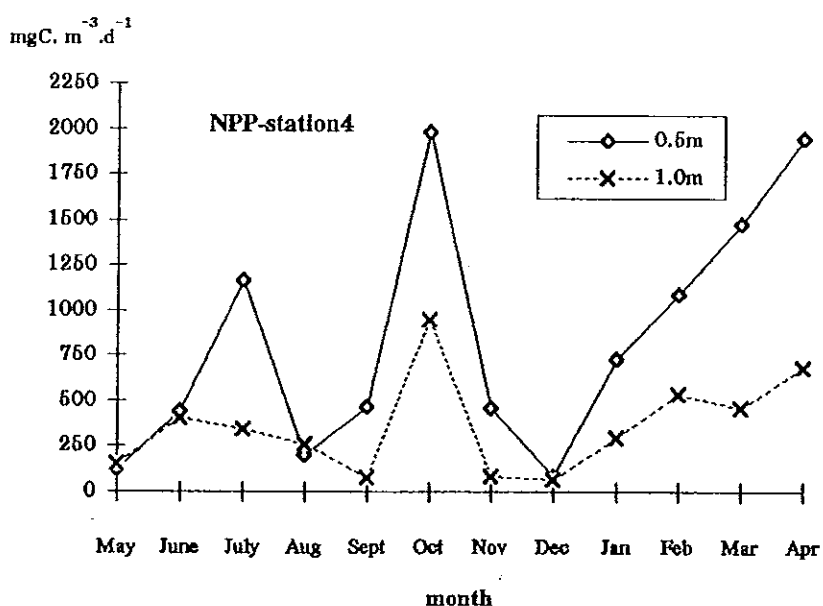
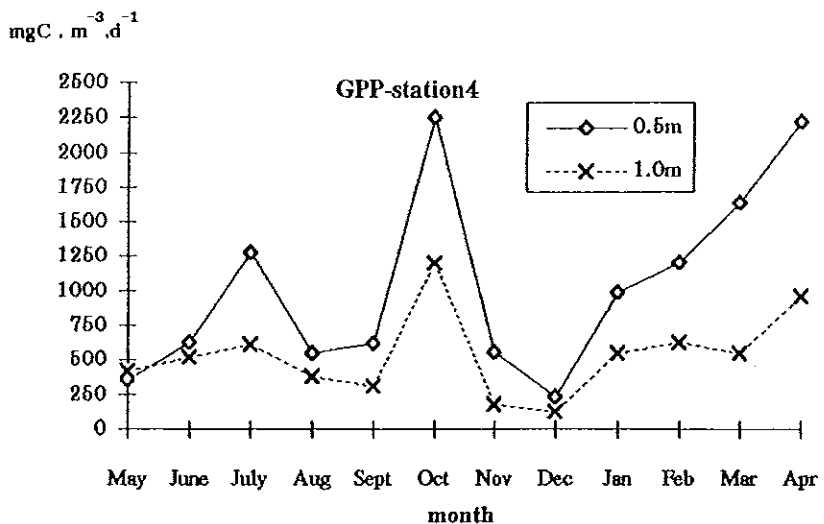
1.4.2 ระดับความลึก 1.0 เมตร

ผลผลิตเบื้องต้นของแพลงก์ตอนพืชรวมต่อวัน มีค่าเฉลี่ยสูงสุดในเดือนตุลาคม $1202.98 \text{ mgC.m}^{-3}.\text{d}^{-1}$ ซึ่งไม่มีความแตกต่างกันทางสถิติกับเดือนเมษายน แต่มีความแตกต่างกันทางสถิติกับเดือนธันวาคม มีค่าเฉลี่ยต่ำสุด $125.33 \text{ mgC.m}^{-3}.\text{d}^{-1}$ (ตารางภาคผนวก 1)

ผลผลิตเบื้องต้นของแพลงก์ตอนพืชสูงอิฐต่อวัน มีค่าเฉลี่ยสูงสุดในเดือนตุลาคม $948.7 \text{ mgC.m}^{-3}.\text{d}^{-1}$ ซึ่งมีความแตกต่างกันทางสถิติกับเดือนเมษายน และเดือนธันวาคม โดยเดือนธันวาคม มีค่าเฉลี่ยต่ำสุด $62.67 \text{ mgC.m}^{-3}.\text{d}^{-1}$ (ตารางภาคผนวก 2)



ภาพประกอบ 13 ค่าเฉลี่ยผลผลิตเบื้องต้นรวม (GPP) และสุทธิ (NPP) ต่อวันในแต่ละ
ระดับความลึกของแต่ละจุดเก็บตัวอย่าง ในเดือนพฤษภาคม



ภาพประกอบ 14 การเปลี่ยนแปลงในรอบปีของค่าเฉลี่ยผลผลิตเบื้องต้นรวม (GPP) และ ตุ่นหิม(NPP) ต่อวัน ในแต่ละระดับความลึก ณ จุดที่ 4 บุรีราษฎร์ แหล่งน้ำแม่น้ำโพธิ์ อ. หาดใหญ่ จ. สงขลา

1.5 จุดเก็บตัวอย่างที่ 5 (ภาพประกอบ 15)

1.5.1 ระดับความลึก 0.5 เมตร

ผลผลิตเบื้องต้นของแพลงก์ตอนพืชรวมต่อวัน มีค่าเฉลี่ยสูงสุดในเดือนตุลาคม $1779.05 \text{ mgC.m}^{-3}.\text{d}^{-1}$ ซึ่งไม่มีความแตกต่างกันทางสถิติกับเดือนมิถุนายน และมีความแตกต่างกันทางสถิติกับเดือนอื่นๆ โดยเดือนมีนาคม มีค่าเฉลี่ยต่ำสุด $107.68 \text{ mgC.m}^{-3}.\text{d}^{-1}$ (ตารางภาคผนวก 1)

ในเดือนมีนาคม จุดเก็บตัวอย่างที่ 4 มีค่าเฉลี่ยสูงสุด $1638.40 \text{ mgC.m}^{-3}.\text{d}^{-1}$ และในจุดเก็บตัวอย่างที่ 5 มีค่าเฉลี่ยต่ำสุด $107.69 \text{ mgC.m}^{-3}.\text{d}^{-1}$ (ภาพประกอบ 16 และตารางภาคผนวก 3)

ผลผลิตเบื้องต้นของแพลงก์ตอนพืชสูงสุดต่อวัน มีค่าเฉลี่ยสูงสุดในเดือนตุลาคม $1567.82 \text{ mgC.m}^{-3}.\text{d}^{-1}$ ซึ่งมีความแตกต่างกันทางสถิติกับเดือนมิถุนายน และเดือนอื่นๆ โดยเดือนมีนาคม มีค่าเฉลี่ยต่ำสุด $53.84 \text{ mgC.m}^{-3}.\text{d}^{-1}$

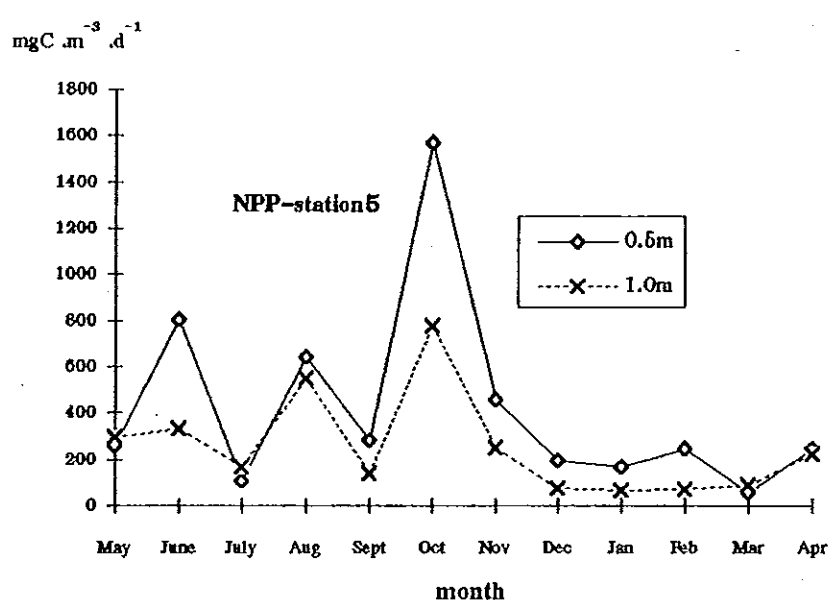
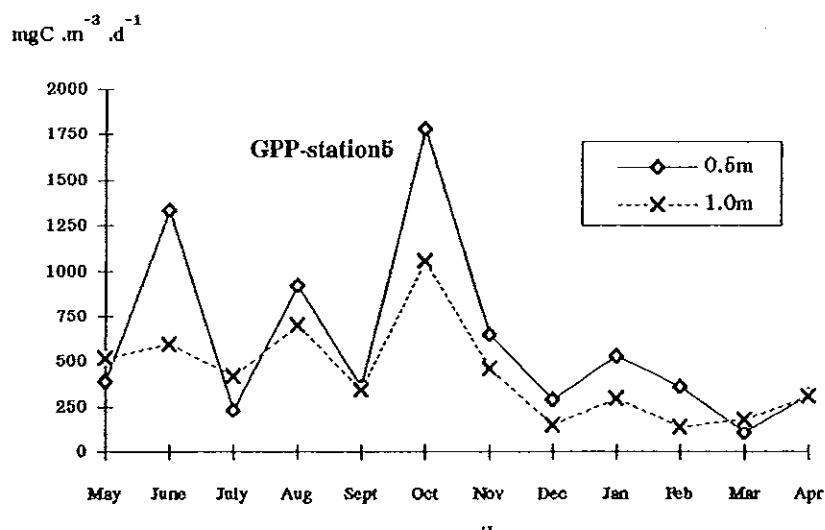
1.5.2 ระดับความลึก 1.0 เมตร

ผลผลิตเบื้องต้นของแพลงก์ตอนพืชรวมต่อวัน มีค่าเฉลี่ยสูงสุดในเดือนตุลาคม $1057.76 \text{ mgC.m}^{-3}.\text{d}^{-1}$ ซึ่งไม่มีความแตกต่างกันทางสถิติกับเดือนสิงหาคม และเดือนมิถุนายน และมีความแตกต่างกันทางสถิติกับเดือนอื่นๆ โดยเดือนกุมภาพันธ์มีค่าเฉลี่ยต่ำสุด $133.89 \text{ mgC.m}^{-3}.\text{d}^{-1}$

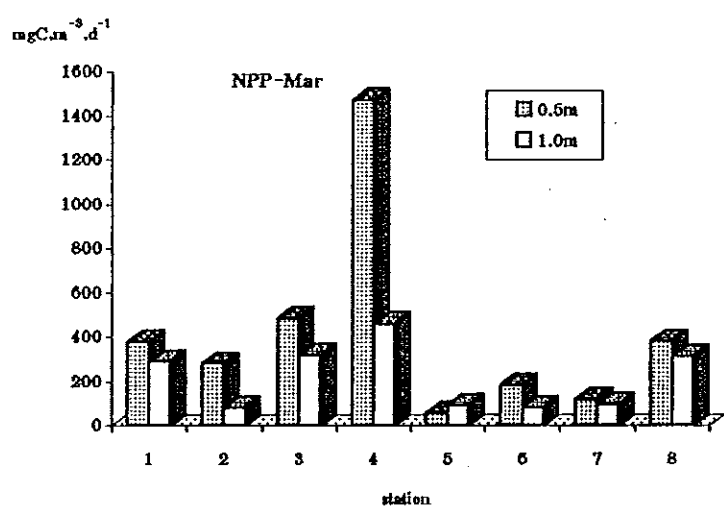
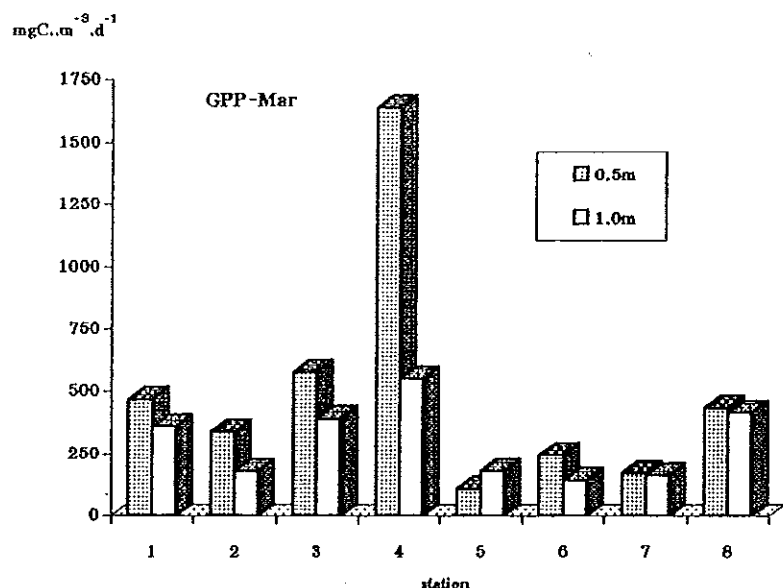
ในเดือนกุมภาพันธ์ จุดเก็บตัวอย่างที่ 3 มีค่าเฉลี่ยสูงสุด $669.88 \text{ mgC.m}^{-3}.\text{d}^{-1}$ และในจุดเก็บตัวอย่างที่ 5 มีค่าเฉลี่ยต่ำสุด $133.89 \text{ mgC.m}^{-3}.\text{d}^{-1}$ (ภาพประกอบ 17 และตารางภาคผนวก 3)

ผลผลิตเบื้องต้นของแพลงก์ตอนพืชสูงสุดต่อวัน เดือนตุลาคมมีค่าเฉลี่ยสูงสุด $775.41 \text{ mgC.m}^{-3}.\text{d}^{-1}$ ซึ่งไม่มีความแตกต่างกันทางสถิติกับเดือนสิงหาคม และมีความแตกต่างกันทางสถิติกับเดือนอื่นๆ โดยเดือนมกราคม มีค่าเฉลี่ยต่ำสุด $62.67 \text{ mgC.m}^{-3}.\text{d}^{-1}$

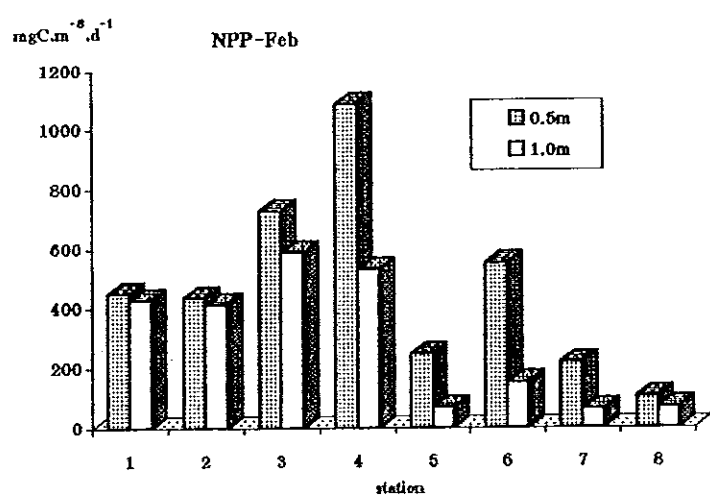
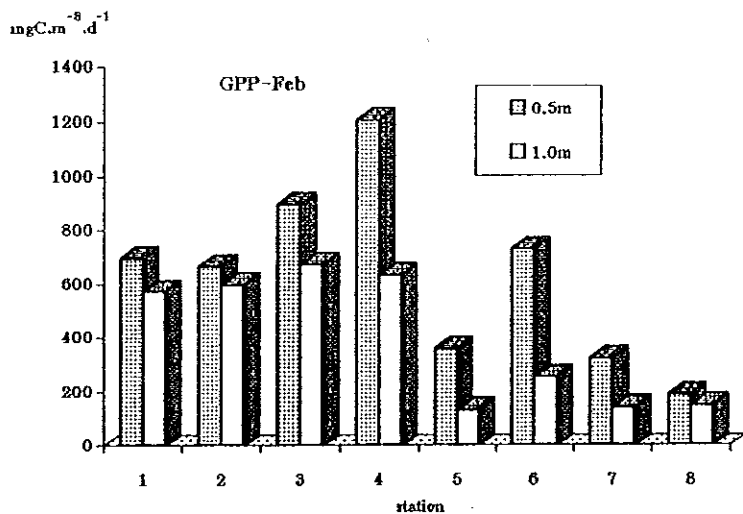
ในเดือนมกราคม จุดเก็บตัวอย่างที่ 3 มีค่าเฉลี่ยสูงสุด $507.11 \text{ mgC.m}^{-3}.\text{d}^{-1}$ และในจุดเก็บตัวอย่างที่ 5 มีค่าเฉลี่ยต่ำสุด $62.67 \text{ mgC.m}^{-3}.\text{d}^{-1}$ (ภาพประกอบ 18 และตารางภาคผนวก 4)



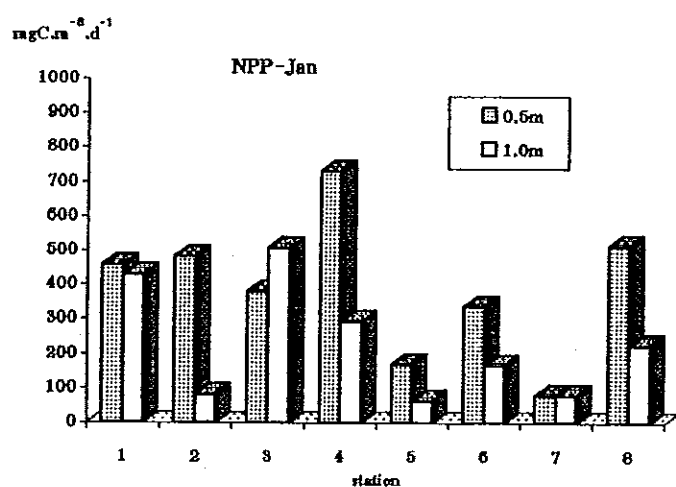
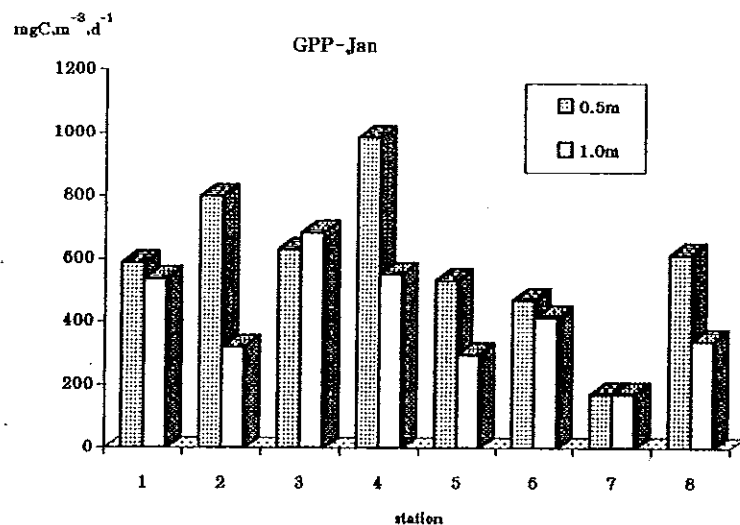
ภาพประกอบ 15 การเปลี่ยนแปลงในรอบปีของค่าเฉลี่ยผลผลิตเบื้องต้นรวม (GPP) และ สรุทธิ(NPP) ต่อวัน ในแต่ละระดับความลึก ณ จุดเก็บตัวอย่างที่ 5
บริเวณกลางหงส์เส้าสังขลาตอนนอก



ภาพประกอบ 16 ค่าเฉลี่ยผลผลิตเบื้องต้นรวม (GPP) และสุทธิ (NPP) ต่อวันในแต่ละ
ระดับความลึกของแต่ละชุดเก็บตัวอย่าง ในเดือนมีนาคม



ภาพประกอบ 17 ค่าเฉลี่ยผลผลิตเบื้องต้นรวม (GPP) และสุทธิ (NPP) ต่อวันในแต่ละ ระดับความลึกของแต่ละชุดเก็บตัวอย่าง ในเดือนกุมภาพันธ์



ภาพประกอบ 18 ค่าเฉลี่ยผลผลิตเบื้องต้นรวม (GPP) และสุทธิ (NPP) ต่อวันในแต่ละ
ระดับความลึกของแต่ละชุดเก็บตัวอย่าง ในเดือนมกราคม

1.6 จุดเก็บตัวอย่างที่ 6 (ก้าวประกอบ 19)

1.6.1 ระดับความลึก 0.5 เมตร

ผลผลิตเบื้องต้นของแพลงก์ตอนพืชรวมต่อวัน มีค่าเฉลี่ยสูงสุดในเดือนพฤษภาคม $851.92 \text{ mgC.m}^{-3}.\text{d}^{-1}$ ซึ่งไม่มีความแตกต่างกันทางสถิติกับเดือนกุมภาพันธ์ เดือนมิถุนายน เดือนพฤษภาคม เดือนกรกฎาคม เดือนมกราคม และเดือนเมษายน แต่มีความแตกต่าง กันทางสถิติกับเดือนอื่นๆ โดยเดือนธันวาคม มีค่าเฉลี่ยต่ำสุด $161.90 \text{ mgC.m}^{-3}.\text{d}^{-1}$ (ตารางภาคผนวก 1)

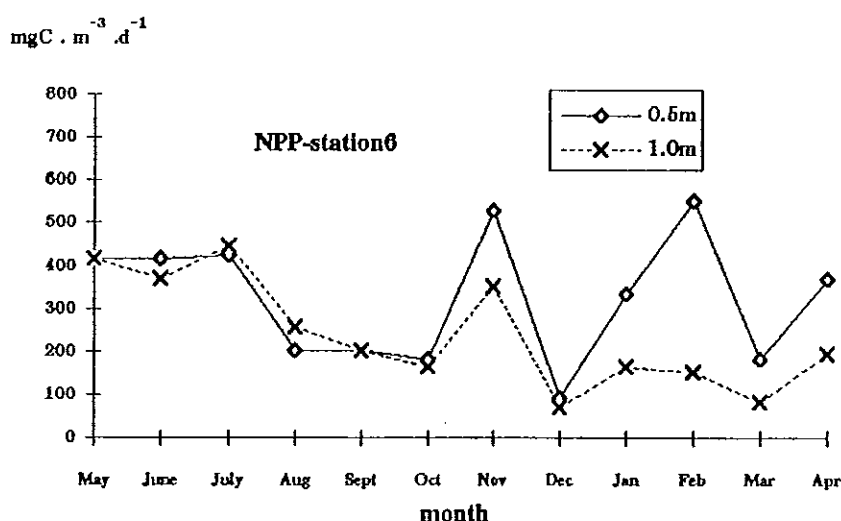
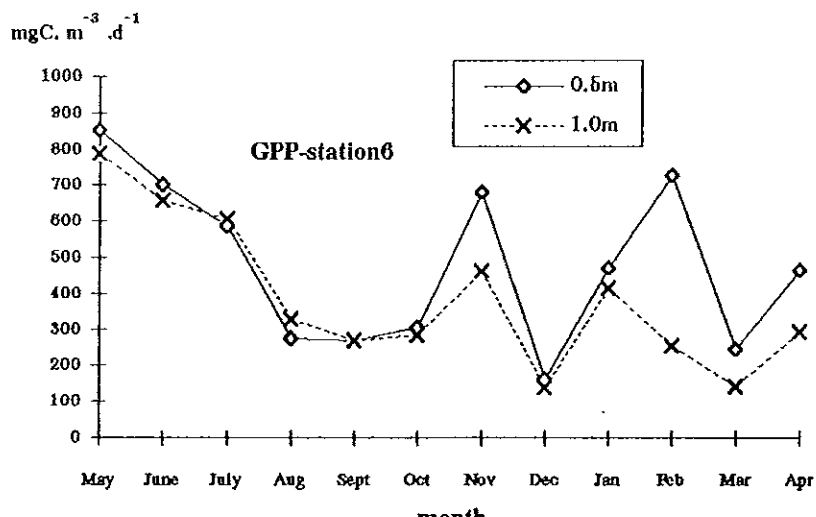
ผลผลิตเบื้องต้นของแพลงก์ตอนพืชสูงอีกด้วยในเดือนกุมภาพันธ์ $551.02 \text{ mgC.m}^{-3}.\text{d}^{-1}$ ซึ่งไม่มีความแตกต่างกันทางสถิติกับเดือนพฤษศิจิกายน เดือนกรกฎาคม เดือนพฤษภาคม เดือนมิถุนายน เดือนเมษายน และเดือนมกราคม แต่มีความแตกต่าง กันทางสถิติกับเดือนอื่นๆ โดยเดือนธันวาคม มีค่าเฉลี่ยต่ำสุด $92.45 \text{ mgC.m}^{-3}.\text{d}^{-1}$ (ตารางภาคผนวก 2)

ในเดือนกุมภาพันธ์ จุดเก็บตัวอย่างที่ 4 มีค่าเฉลี่ยสูงสุด $1084.69 \text{ mgC.m}^{-3}.\text{d}^{-1}$ และ จุดเก็บตัวอย่างที่ 8 มีค่าเฉลี่ยต่ำสุด $103.18 \text{ mgC.m}^{-3}.\text{d}^{-1}$ (ก้าวประกอบ 17 และตารางภาคผนวก 4)

1.6.2 ระดับความลึก 1.0 เมตร

ผลผลิตเบื้องต้นของแพลงก์ตอนพืชรวมต่อวัน มีค่าเฉลี่ยสูงสุดในเดือนพฤษภาคม $788.14 \text{ mgC.m}^{-3}.\text{d}^{-1}$ ซึ่งไม่มีความแตกต่างกันทางสถิติกับเดือนมิถุนายน เดือนกรกฎาคม เดือนพฤษศิจิกายน เดือนมกราคม เดือนสิงหาคม เดือนเมษายน เดือนตุลาคม และ เดือนกันยายน แต่มีความแตกต่างกันทางสถิติกับเดือนอื่นๆ โดยเดือนธันวาคม มีค่าเฉลี่ย ต่ำสุด $138.90 \text{ mgC.m}^{-3}.\text{d}^{-1}$ (ตารางภาคผนวก 1)

ผลผลิตเบื้องต้นของแพลงก์ตอนพืชสูงอีกด้วยในเดือนกรกฎาคม มีค่าเฉลี่ยสูงสุด $445.15 \text{ mgC.m}^{-3}.\text{d}^{-1}$ ซึ่งไม่มีความแตกต่างกันทางสถิติกับเดือนพฤษภาคม เดือนมิถุนายน เดือนพฤษศิจิกายน เดือนสิงหาคม เดือนกันยายน และเดือนเมษายน แต่มีความแตกต่าง กันทางสถิติกับเดือนอื่นๆ โดยเดือนธันวาคม มีค่าเฉลี่ยต่ำสุด $69.44 \text{ mgC.m}^{-3}.\text{d}^{-1}$ (ตารางภาคผนวก 2)



ภาพประกอบ 19 การเปลี่ยนแปลงในรอบปีของค่าเฉลี่ยผลผลิตเบื้องต้นรวม (GPP) และ⁵ ศุภชี(NPP) ต่อวัน ในแต่ละระดับความลึก ณ จุดเก็บตัวอย่างที่ 6
บริเวณบ้านสะพิงหม้อ อ. สิงหนคร จ. สงขลา

ในเดือนกรกฎาคม จุดเก็บตัวอย่างที่ 6 มีค่าเฉลี่ยสูงสุด และจุดเก็บตัวอย่างที่ 7 มีค่าเฉลี่ยต่ำสุด $60.98 \text{ mgC.m}^{-3}.\text{d}^{-1}$ (ภาพประกอบ 20 และตารางภาคผนวก 4)

1.7 จุดเก็บตัวอย่างที่ 7 (ภาพประกอบ 21)

1.7.1 ระดับความลึก 0.5 เมตร

ผลผลิตเบื้องต้นของแพลงก์ตอนพืชรวมต่อวัน มีค่าเฉลี่ยสูงสุดในเดือนพฤษภาคม $917.23 \text{ mgC.m}^{-3}.\text{d}^{-1}$ ซึ่งไม่มีความแตกต่างกันทางสถิติกับเดือนเมษายน และเดือนพฤษจิกายน แต่มีความแตกต่างกันทางสถิติกับเดือนอื่นๆ โดยเดือนสิงหาคมมีค่าเฉลี่ยต่ำสุด $150.29 \text{ mgC.m}^{-3}.\text{d}^{-1}$ (ตารางภาคผนวก 1)

ในเดือนสิงหาคม จุดเก็บตัวอย่างที่ 5 มีค่าเฉลี่ยสูงสุด $920.04 \text{ mgC.m}^{-3}.\text{d}^{-1}$ และจุดเก็บตัวอย่างที่ 7 มีค่าเฉลี่ยต่ำสุด (ภาพประกอบ 22 และตารางภาคผนวก 3)

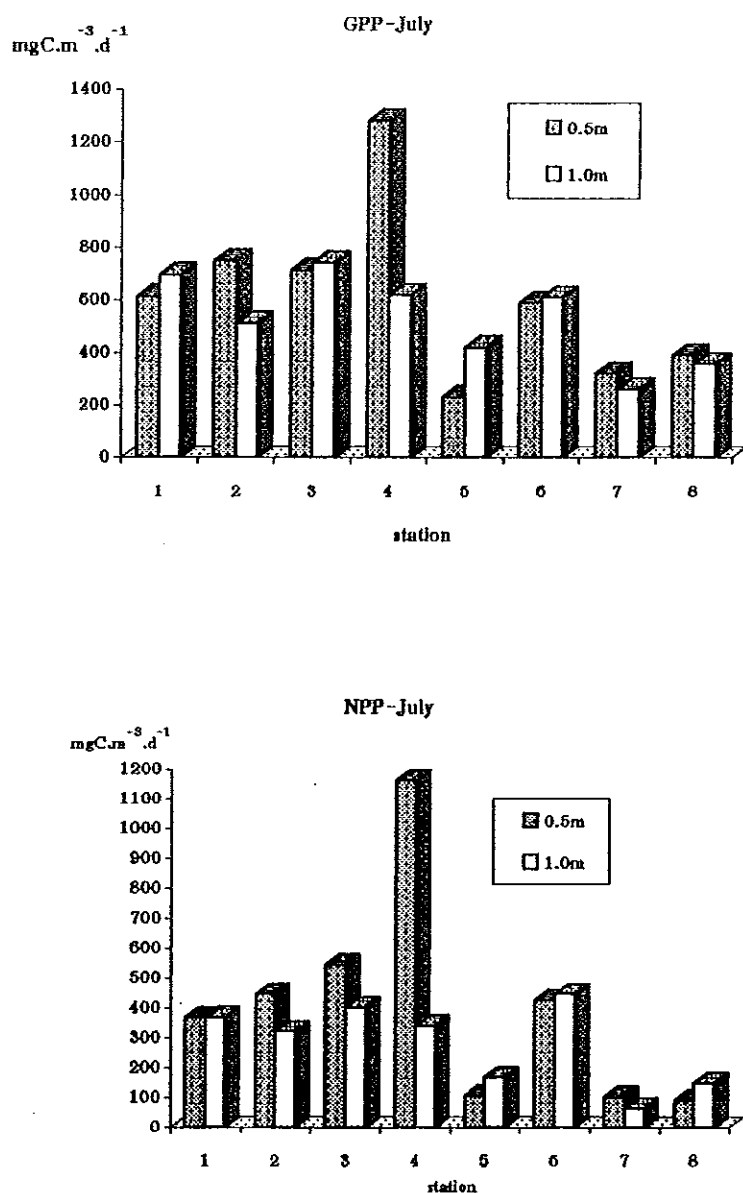
ผลผลิตเบื้องต้นของแพลงก์ตอนพืชสูงต่อวัน มีค่าเฉลี่ยสูงสุดในเดือนพฤษภาคม $477.32 \text{ mgC.m}^{-3}.\text{d}^{-1}$ ซึ่งไม่มีความแตกต่างกันทางสถิติกับเดือนเมษายน และเดือนพฤษจิกายน แต่มีความแตกต่างกันทางสถิติกับเดือนอื่นๆ โดยเดือนสิงหาคม มีค่าเฉลี่ยต่ำสุด $60.64 \text{ mgC.m}^{-3}.\text{d}^{-1}$ (ตารางภาคผนวก 2)

ในเดือนพฤษภาคม จุดเก็บตัวอย่างที่ 2 มีค่าเฉลี่ยสูงสุด $679.14 \text{ mgC.m}^{-3}.\text{d}^{-1}$ และจุดเก็บตัวอย่างที่ 4 มีค่าเฉลี่ยต่ำสุด $121.88 \text{ mgC.m}^{-3}.\text{d}^{-1}$ (ภาพประกอบ 13 และตารางภาคผนวก 4) ส่วนในเดือนสิงหาคม จุดเก็บตัวอย่างที่ 5 มีค่าเฉลี่ยสูงสุด $643.64 \text{ mgC.m}^{-3}.\text{d}^{-1}$ และจุดเก็บตัวอย่างที่ 7 มีค่าเฉลี่ยต่ำสุด $60.64 \text{ mgC.m}^{-3}.\text{d}^{-1}$ (ภาพประกอบ 22 และตารางภาคผนวก 4)

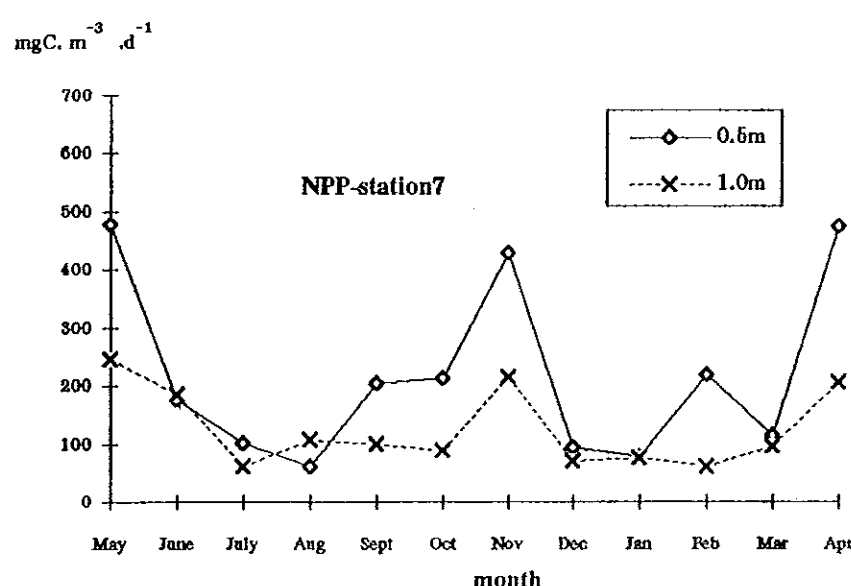
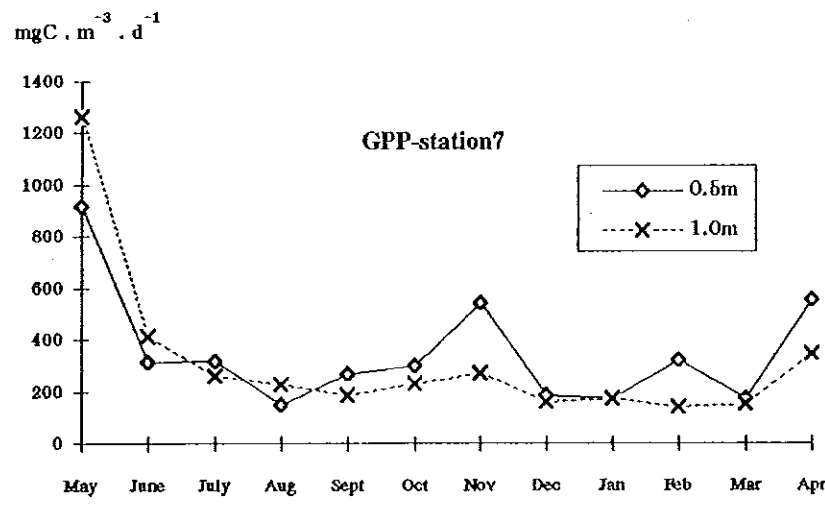
1.7.2 ระดับความลึก 1.0 เมตร

ผลผลิตเบื้องต้นของแพลงก์ตอนพืชรวมต่อวัน มีค่าเฉลี่ยสูงสุดในเดือนพฤษภาคม $1265.04 \text{ mgC.m}^{-3}.\text{d}^{-1}$ ซึ่งมีความแตกต่างกันทางสถิติกับเดือนมิถุนายน และเดือนอื่นๆ โดยเดือนกุมภาพันธ์ มีค่าเฉลี่ยต่ำสุด $142.26 \text{ mgC.m}^{-3}.\text{d}^{-1}$ (ตารางภาคผนวก 1)

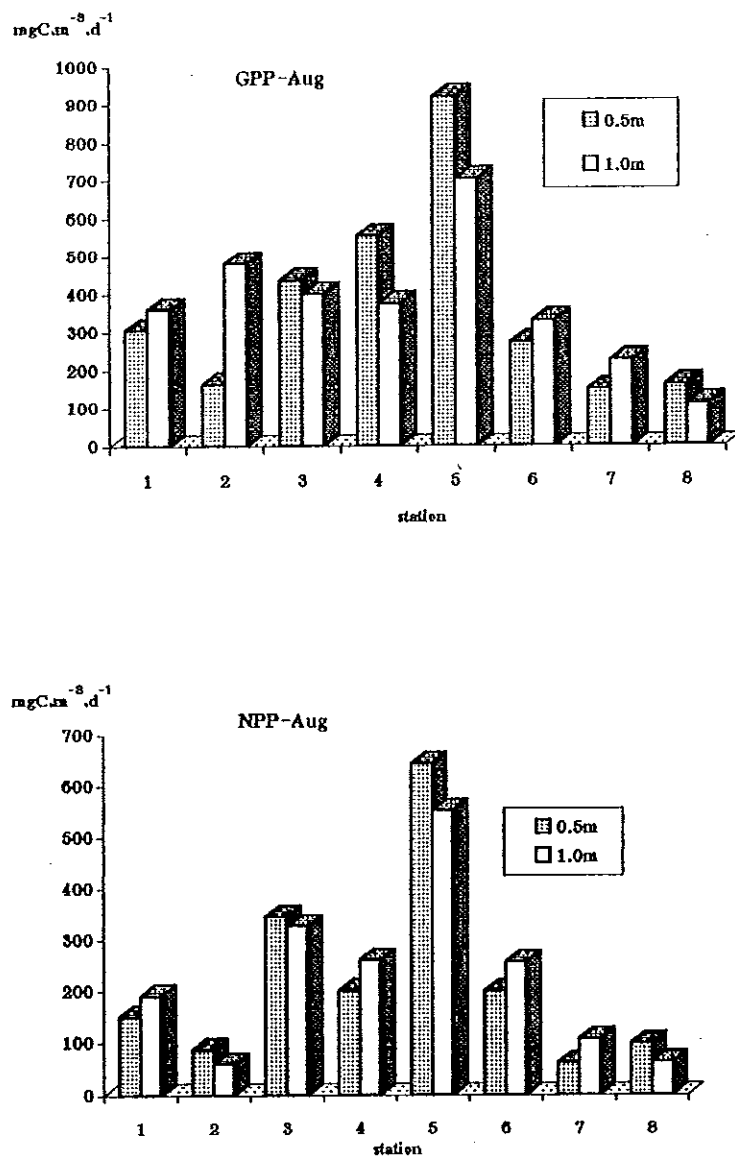
ในเดือนพฤษภาคม จุดเก็บตัวอย่างที่ 3 มีค่าเฉลี่ยสูงสุด $1550.40 \text{ mgC.m}^{-3}.\text{d}^{-1}$ และจุดเก็บตัวอย่างที่ 4 มีค่าเฉลี่ยต่ำสุด $418.72 \text{ mgC.m}^{-3}.\text{d}^{-1}$ (ภาพประกอบ 13 และตารางภาคผนวก 3)



ภาพประกอบ 20 ค่าเฉลี่ยผลผลิตเบื้องต้นรวม (GPP) และสุทธิ (NPP) ต่อวันในแต่ละ
ระดับความลึกของแต่ละจุดเก็บตัวอย่าง ในเดือนกรกฎาคม



ภาพประกอบ 21 การเปลี่ยนแปลงในรอบปีของค่าเฉลี่ยผลผลิตเบื้องต้นรวม (GPP) และ¹ ลูกน้ำ(NPP) ต่อวัน ในแต่ละเดือน ณ จุดเก็บตัวอย่างที่ 7
บริเวณบ้านปากบาง อ. รัตภูมิ จ. สงขลา



ภาพประกอบ 22 ค่าเฉลี่ยผลผลิตเบื้องต้นรวม (GPP) และสุทธิ (NPP) ต่อวันในแต่ละระดับความลึกของแต่ละจุดเก็บตัวอย่าง ในเดือนสิงหาคม

ผลผลิตเบื้องต้นของแพลงก์ตอนพืชสุทธิต่อวัน เดือนพฤษภาคม มีค่าเฉลี่ยสูงสุด $245.30 \text{ mgC.m}^{-3}.\text{d}^{-1}$ ซึ่งค่าเฉลี่ยในทุกเดือนของจุดเก็บตัวอย่างนี้ไม่มีความแตกต่างกันมาก สถิติ โดยเดือนกุมภาพันธ์ มีค่าเฉลี่ยต่ำสุด $60.54 \text{ mgC.m}^{-3}.\text{d}^{-1}$ (ตารางภาคผนวก 2)

ในเดือนกุมภาพันธ์ จุดเก็บตัวอย่างที่ 3 มีค่าเฉลี่ยสูงสุด $587.98 \text{ mgC.m}^{-3}.\text{d}^{-1}$ และ จุดเก็บตัวอย่างที่ 7 นี้ มีค่าเฉลี่ยต่ำสุด (ภาพประกอบ 17 และตารางภาคผนวก 4)

1.8 จุดเก็บตัวอย่างที่ 8 (ภาพประกอบ 23)

1.8.1 ระดับความลึก 0.5 เมตร

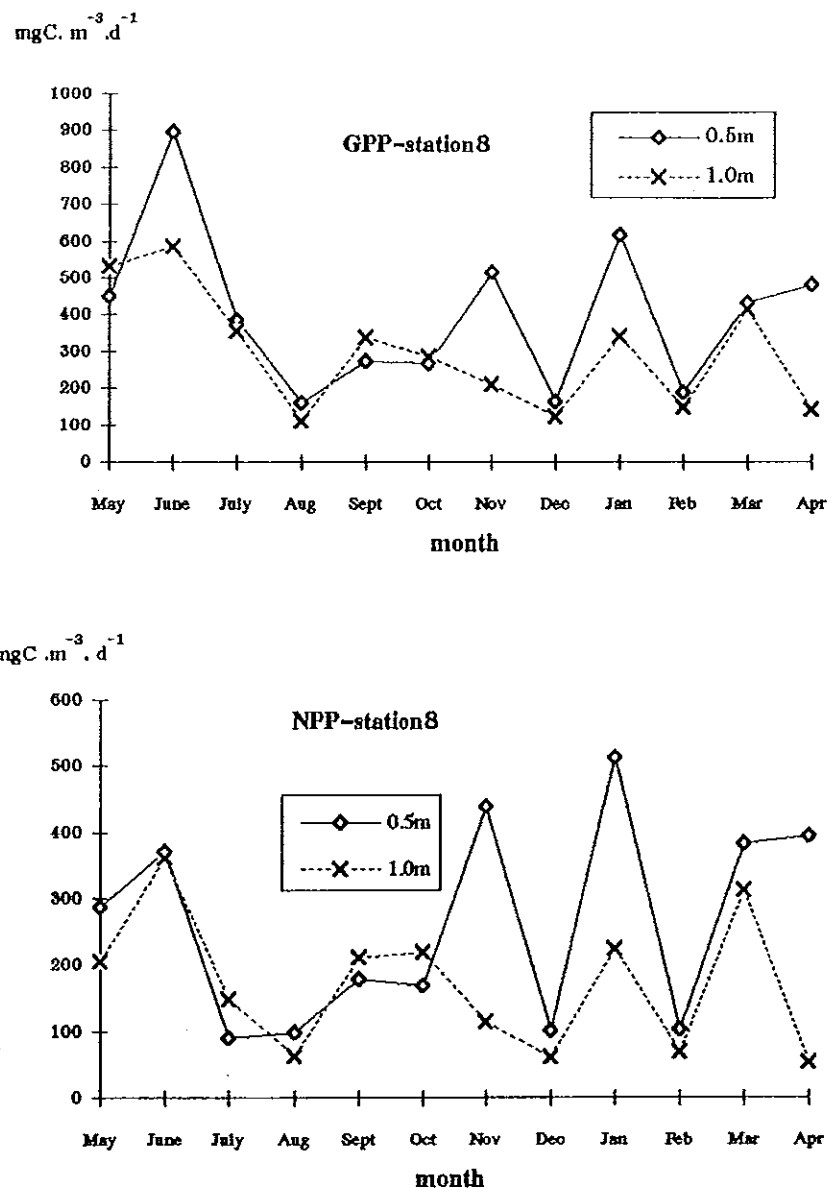
ผลผลิตเบื้องต้นของแพลงก์ตอนพืชรวมต่อวัน มีค่าเฉลี่ยสูงสุดในเดือนมิถุนายน $894.28 \text{ mgC.m}^{-3}.\text{d}^{-1}$ ซึ่งไม่มีความแตกต่างกันทางสถิติกับเดือนมกราคม เดือนพฤษจิกายน เดือนเมษายน เดือนพฤษภาคม เดือนมีนาคม และเดือนกรกฎาคม แต่มีความแตกต่าง กันทางสถิติกับเดือนอื่น โดยเดือนสิงหาคม มีค่าเฉลี่ยต่ำสุด $160.32 \text{ mgC.m}^{-3}.\text{d}^{-1}$ (ตารางภาคผนวก 1)

ผลผลิตเบื้องต้นของแพลงก์ตอนพืชสุทธิต่อวัน มีค่าเฉลี่ยสูงสุดในเดือนมกราคม $511.31 \text{ mgC.m}^{-3}.\text{d}^{-1}$ ซึ่งไม่มีความแตกต่างกันทางสถิติกับเดือนพฤษจิกายน เดือนเมษายน เดือนมีนาคม เดือนมิถุนายน และเดือนพฤษภาคม แต่มีความแตกต่างกันทางสถิติกับ เดือนอื่นๆ โดยเดือนกรกฎาคม มีค่าเฉลี่ยต่ำสุด $89.32 \text{ mgC.m}^{-3}.\text{d}^{-1}$ (ตารางภาคผนวก 2)

ในเดือนมกราคม จุดเก็บตัวอย่างที่ 4 มีค่าเฉลี่ยสูงสุด $731.29 \text{ mgC.m}^{-3}.\text{d}^{-1}$ โดยจุด เก็บตัวอย่างที่ 7 มีค่าเฉลี่ยต่ำสุด $76.57 \text{ mgC.m}^{-3}.\text{d}^{-1}$ (ภาพประกอบ 18 และตารางภาคผนวก 4)

1.8.2 ระดับความลึก 1.0 เมตร

ผลผลิตเบื้องต้นของแพลงก์ตอนพืชรวมต่อวัน มีค่าเฉลี่ยสูงสุดในเดือนมิถุนายน $585.13 \text{ mgC.m}^{-3}.\text{d}^{-1}$ ซึ่งค่าเฉลี่ยในทุกเดือนของจุดเก็บตัวอย่างนี้ไม่มีความแตกต่างกันทาง สถิติไม่มีความแตกต่างกันทางสถิติ โดยเดือนสิงหาคมมีค่าเฉลี่ยต่ำสุด $110.27 \text{ mgC.m}^{-3}.\text{d}^{-1}$ (ตารางภาคผนวก 1)



ภาพประกอบ 23 การเปลี่ยนแปลงในรอบปีของค่าเฉลี่ยผลผลิตเบื้องต้นรวม (GPP) และ¹ ลูกชิ้น(NPP) ต่อวัน ในแต่ละระดับความลึก ณ จุดเก็บตัวอย่างที่ 8
บริเวณปากคลองปากขอ อ. รัตภูมิ จ. สงขลา

ผลผลิตเบื้องต้นของแพลงก์ตอนพืชสุทธิต่อวัน มีค่าเฉลี่ยสูงสุดในเดือนมิถุนายน $361.55 \text{ mgC.m}^{-3}.\text{d}^{-1}$ ซึ่งไม่มีความแตกต่างกันทางสถิติกับเดือนมีนาคม เดือนมกราคม เดือนตุลาคม เดือนกันยายน เดือนพฤษภาคม เดือนกรกฎาคม และเดือนพฤษจิกายน แต่มีความแตกต่างกันทางสถิติกับเดือนอื่นๆ โดยเดือนเมษายนมีค่าเฉลี่ยต่ำสุด $53.65 \text{ mgC.m}^{-3}.\text{d}^{-1}$ (ตารางภาคผนวก 2)

ในเดือนเมษายนฤดูเก็บตัวอย่างที่ 4 มีค่าเฉลี่ยสูงสุด $629.27 \text{ mgC.m}^{-3}.\text{d}^{-1}$ โดยฤดูเก็บตัวอย่างที่ 8 มีค่าเฉลี่ยต่ำสุด $53.65 \text{ mgC.m}^{-3}.\text{d}^{-1}$ (ภาพประกอบ 24 และตารางภาคผนวก 4)

2. ภาพรวม

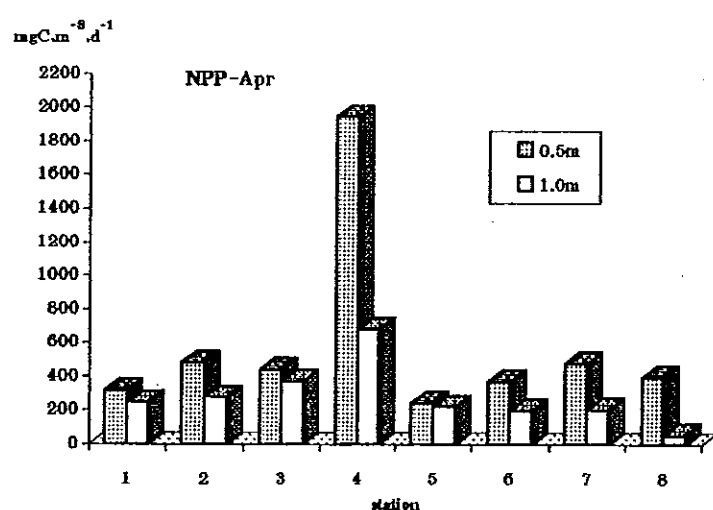
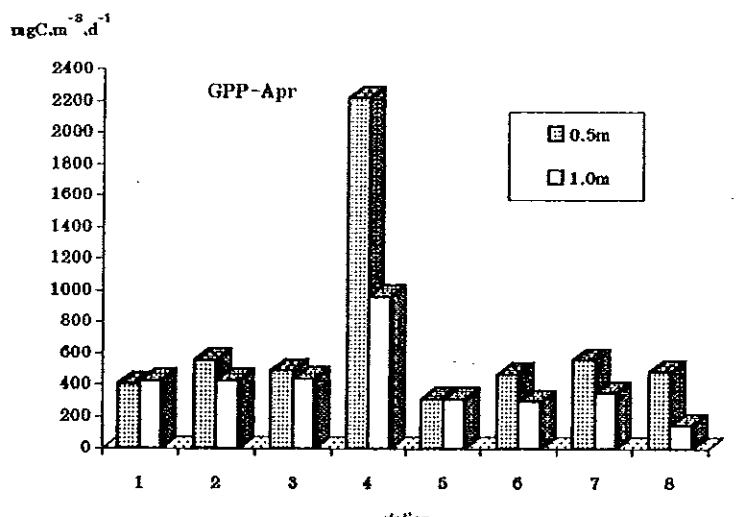
2.1 ในแต่ละฤดูเก็บตัวอย่าง (ภาพประกอบ 25 และ ตารางภาคผนวก 1 และ 2)

ค่าผลผลิตเบื้องต้นของแพลงก์ตอนพืชรวมต่อวันเฉลี่ยทั้ง 12 เดือน พบว่า ที่ระดับความลึก 0.5 เมตร ฤดูเก็บตัวอย่างที่ 4 มีค่าเฉลี่ยสูงสุด $1043.91 \text{ mgC.m}^{-3}.\text{d}^{-1}$ รองลงมาคือ ฤดูเก็บตัวอย่างที่ 3 และ 2 มีค่าเฉลี่ย $839.67 \text{ mgC.m}^{-3}.\text{d}^{-1}$ และ $715.35 \text{ mgC.m}^{-3}.\text{d}^{-1}$ ตามลำดับ โดยฤดูเก็บตัวอย่างที่ 7 มีค่าเฉลี่ยต่ำสุด $351.9 \text{ mgC.m}^{-3}.\text{d}^{-1}$

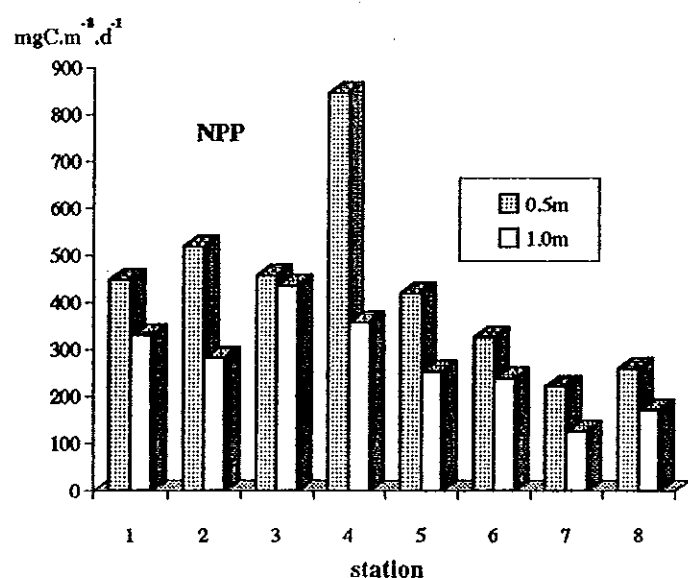
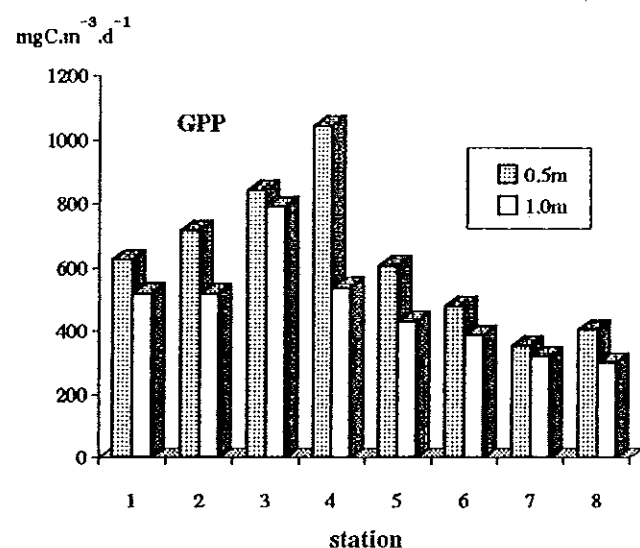
ที่ระดับความลึก 1.0 เมตร ฤดูเก็บตัวอย่างที่ 3 มีค่าเฉลี่ยสูงสุด $789.81 \text{ mgC.m}^{-3}.\text{d}^{-1}$ รองลงมาคือ ฤดูเก็บตัวอย่างที่ 4 และ 1 มีค่าเฉลี่ย $536.21 \text{ mgC.m}^{-3}.\text{d}^{-1}$ และ $518.79 \text{ mgC.m}^{-3}.\text{d}^{-1}$ ตามลำดับ โดยฤดูเก็บตัวอย่างที่ 8 มีค่าเฉลี่ยต่ำสุด $298.86 \text{ mgC.m}^{-3}.\text{d}^{-1}$

ค่าผลผลิตเบื้องต้นของแพลงก์ตอนพืชรวมต่อปีที่ระดับความลึก 0.5 เมตรมีค่าอยู่ในช่วง $128,443.5 - 381,027.15 \text{ mgC.m}^{-3}.\text{yr}^{-1}$ ส่วนที่ระดับความลึก 1.0 เมตร มีค่าอยู่ในช่วง $116694.15 - 288,280.65 \text{ mgC.m}^{-3}.\text{yr}^{-1}$

ค่าผลผลิตเบื้องต้นของแพลงก์ตอนพืชสุทธิต่อวันเฉลี่ยทั้ง 12 เดือน พบว่า ที่ระดับความลึก 0.5 เมตร ฤดูเก็บตัวอย่างที่ 4 มีค่าเฉลี่ยสูงสุด $845.64 \text{ mgC.m}^{-3}.\text{d}^{-1}$ รองลงมาคือ ฤดูเก็บตัวอย่างที่ 2 และ 3 มีค่าเฉลี่ย $518.28 \text{ mgC.m}^{-3}.\text{d}^{-1}$ และ $455.97 \text{ mgC.m}^{-3}.\text{d}^{-1}$ ตามลำดับ โดยฤดูเก็บตัวอย่างที่ 7 มีค่าเฉลี่ยต่ำสุด $219.79 \text{ mgC.m}^{-3}.\text{d}^{-1}$



ภาพประกอบ 24 ค่าเฉลี่ยผลผลิตเบื้องต้นรวม (GPP) และสุทธิ (NPP) ต่อวันในแต่ละ
ระดับความลึกของแต่ละจุดเก็บตัวอย่าง ในเดือนเมษายน



ภาพประกอบ 25 ผลผลิตเบื้องต้นรวม(GPP) และสุทธิ(NPP)ต่อวันเฉลี่ยทั้งปี ในแต่ละ
ระดับความลึกของแต่ละจุดเก็บตัวอย่าง

ที่ระดับความลึก 1.0 เมตร จุดเก็บตัวอย่างที่ 3 มีค่าเฉลี่ยสูงสุด $435.09 \text{ mgC.m}^{-3}.\text{d}^{-1}$ รองลงมาคือ จุดเก็บตัวอย่างที่ 4 และ 1 มีค่าเฉลี่ย $357.31 \text{ mgC.m}^{-3}.\text{d}^{-1}$ และ $329.72 \text{ mgC.m}^{-3}.\text{d}^{-1}$ ตามลำดับ โดยจุดเก็บตัวอย่างที่ 7 มีค่าเฉลี่ยต่ำสุด $125.65 \text{ mgC.m}^{-3}.\text{d}^{-1}$

ค่าผลผลิตเบื้องต้นของแพลงก์ตอนพืชสูงต่อปีที่ระดับความลึก 0.5 เมตรมีค่าอยู่ในช่วง $80,223.35-308,658.6 \text{ mgC.m}^{-3}.\text{yr}^{-1}$ ส่วนที่ระดับความลึก 1.0 เมตร มีค่าอยู่ในช่วง $45,862.25-158,807.85 \text{ mgC.m}^{-3}.\text{yr}^{-1}$

2.2 การเปลี่ยนแปลงตามฤดูกาล (ภาพประกอบ 26 และ ตารางภาคผนวก 3 และ 4)

ค่าผลผลิตเบื้องต้นของแพลงก์ตอนพืชรวมต่อวันเฉลี่ยทุกจุดเก็บตัวอย่าง พบว่า ที่ระดับความลึก 0.5 เมตร เดือนมิถุนายน มีค่าเฉลี่ยสูงสุด $1307.59 \text{ mgC.m}^{-3}.\text{d}^{-1}$ รองลงมาคือ เดือนตุลาคม และเดือนพฤษภาคม มีค่าเฉลี่ย $950.19 \text{ mgC.m}^{-3}.\text{d}^{-1}$ และ $688.68 \text{ mgC.m}^{-3}.\text{d}^{-1}$ ตามลำดับ โดยมีค่าเฉลี่ยต่ำสุดในเดือนธันวาคม $186.15 \text{ mgC.m}^{-3}.\text{d}^{-1}$

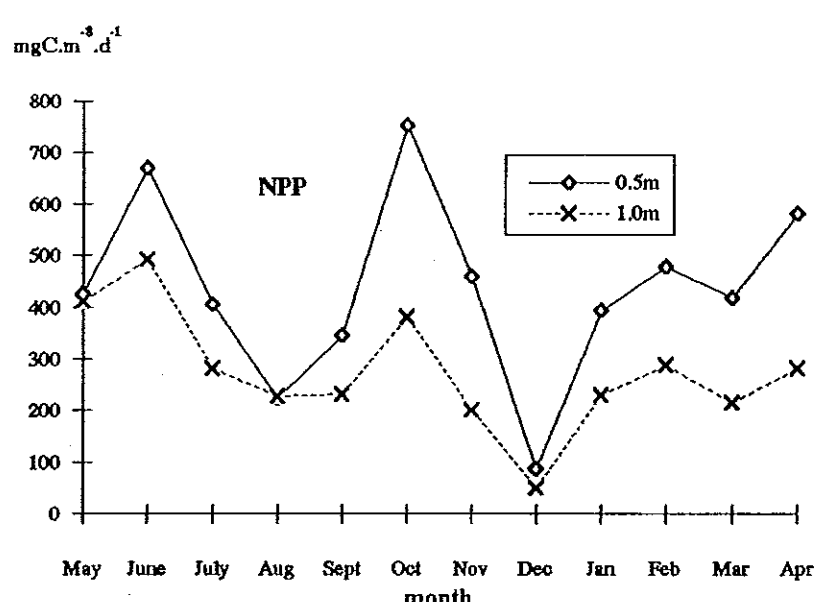
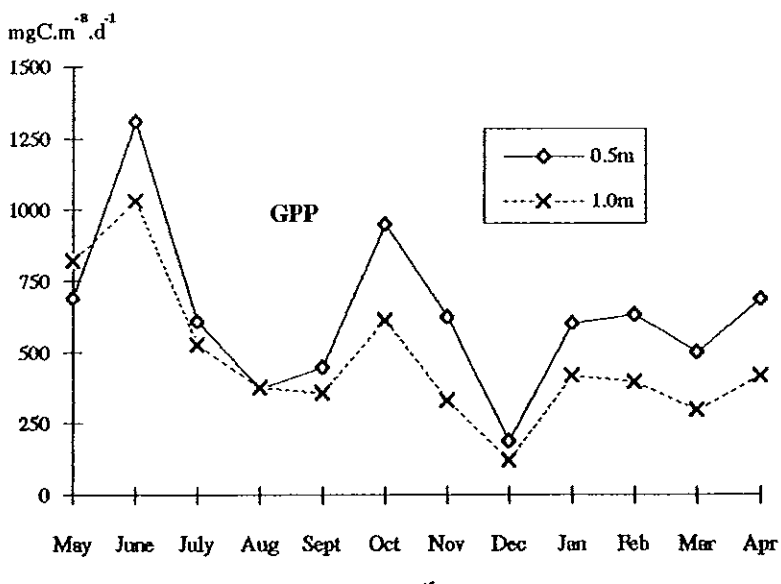
ที่ระดับความลึก 1.0 เมตร เดือนมิถุนายนมีค่าเฉลี่ยสูงสุด $1032.9 \text{ mgC.m}^{-3}.\text{d}^{-1}$ รองลงมาคือ เดือนพฤษภาคม และเดือนตุลาคม ซึ่งมีค่าเฉลี่ย $823.04 \text{ mgC.m}^{-3}.\text{d}^{-1}$ และ $612.88 \text{ mgC.m}^{-3}.\text{d}^{-1}$ ตามลำดับ โดยมีค่าเฉลี่ยต่ำสุดในเดือนธันวาคม $121.04 \text{ mgC.m}^{-3}.\text{d}^{-1}$

ค่าผลผลิตเบื้องต้นของแพลงก์ตอนพืชสูงต่อวันเฉลี่ยทุกจุดเก็บตัวอย่าง พบว่า ที่ระดับความลึก 0.5 เมตร เดือนตุลาคม มีค่าเฉลี่ยสูงสุด $753.01 \text{ mgC.m}^{-3}.\text{d}^{-1}$ รองลงมาคือ เดือนมิถุนายนและเดือนเมษายน มีค่าเฉลี่ย $670.69 \text{ mgC.m}^{-3}.\text{d}^{-1}$ และ $581.8 \text{ mgC.m}^{-3}.\text{d}^{-1}$ ตามลำดับ โดยมีค่าเฉลี่ยต่ำสุดในเดือนธันวาคม $86.13 \text{ mgC.m}^{-3}.\text{d}^{-1}$

ที่ระดับความลึก 1.0 เมตร เดือนมิถุนายนมีค่าเฉลี่ยสูงสุด $491.25 \text{ mgC.m}^{-3}.\text{d}^{-1}$ รองลงมาคือ เดือนพฤษภาคมและเดือนตุลาคม มีค่าเฉลี่ย $410.91 \text{ mgC.m}^{-3}.\text{d}^{-1}$ และ $381.15 \text{ mgC.m}^{-3}.\text{d}^{-1}$ ตามลำดับ โดยมีค่าเฉลี่ยต่ำสุดในเดือนธันวาคม $49.54 \text{ mgC.m}^{-3}.\text{d}^{-1}$

ปัจจัยทางสภาวะแวดล้อมที่เกี่ยวข้องกับผลผลิตเบื้องต้น

การวิเคราะห์ปัจจัยทางสภาวะแวดล้อมที่เกี่ยวข้องกับผลผลิตเบื้องต้นของแพลงก์ตอนพืชทางกายภาพ (อุณหภูมิ ความเป็นกรด-เบส ความเค็ม ความลึก ปริมาณร่องรอย



ภาพประกอบ 26 การเปลี่ยนแปลงในรอบปีของผลผลิตเบื้องต้นรวม (GPP) และสุทธิ(NPP)ต่อวันในแต่ละระดับความลึก เกลี่ยทุกฤดูเก็บตัวอย่าง

แขวนโดย) และทางเคมี (ปริมาณในไตรท์ ในเทวท พอสเฟต ชิลิกเกต และคลอริฟีลล์ เอ) ซึ่งจะทำ ณ บริเวณจุดเก็บตัวอย่าง และในห้องปฏิบัติการปฐกฏผลดังต่อไปนี้

1. อุณหภูมิ (ภาพประกอบ 27-28)

ค่าอุณหภูมิในแต่ละจุดเก็บตัวอย่างมีปฏิสัมพันธ์กับเดือน (SxM) และในแต่ละจุด เก็บตัวอย่าง ในแต่ละเดือน มีความแตกต่างกันทางสถิติ (ตารางภาคผนวก 17)

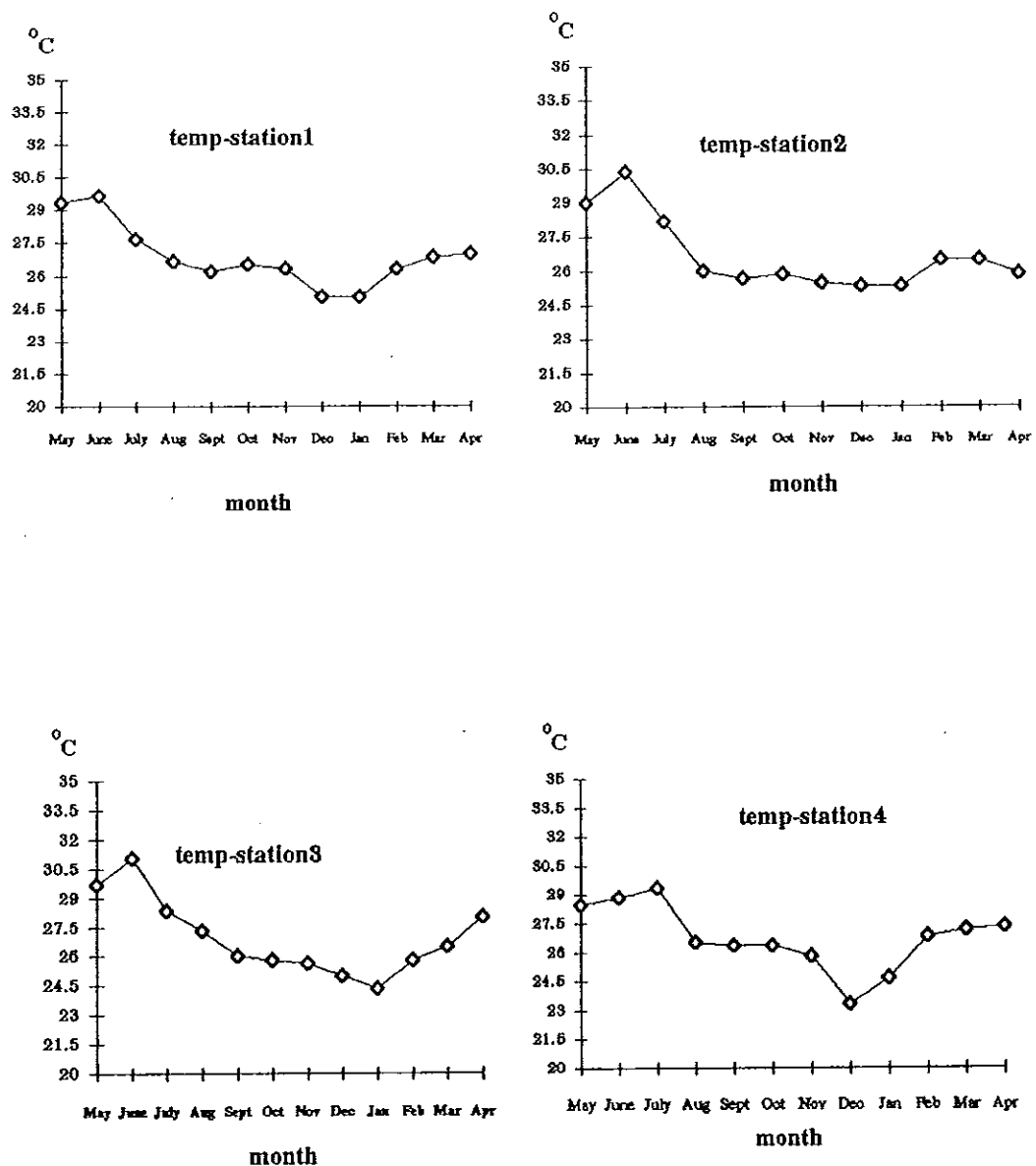
อุณหภูมนี้ค่าเฉลี่ยสูงสุดในเดือนมิถุนายนก่อนทุกจุดเก็บตัวอย่าง ยกเว้นจุดเก็บ ตัวอย่างที่ 4 ที่มีค่าเฉลี่ยสูงสุดในเดือนกรกฎาคม ค่าเฉลี่ยสูงสุดในจุดเก็บตัวอย่างที่ 1 4 5 6 และ 7 ไม่มีความแตกต่างกันทางสถิติกับเดือนพฤษภาคม แต่แตกต่างกันทางสถิติกับ เดือนอื่นๆ ค่าเฉลี่ยต่ำสุดปฐกฏในเดือนธันวาคมและมกราคม ค่าเฉลี่ยทั้งปีของแต่ละ จุดมีค่าใกล้เคียงกัน โดยมีค่าเฉลี่ยสูงสุด ในจุดเก็บตัวอย่างที่ 1 3 และ 8 เท่ากับ 26.9°C และต่ำสุดในจุดเก็บตัวอย่างที่ 5 6 และ 7 เท่ากับ 26.5°C (ตารางภาคผนวก 5)

ในการวิเคราะห์ทางสถิติเพื่อหาความสัมพันธ์ระหว่างอุณหภูมิกับผลผลิตเบื้องต้น ของแพลงก์ตอนพืชสุทธิต่อวันเฉลี่ยทั้งสองระดับความลึก ปฐกฏว่าไม่มีความสัมพันธ์กัน (ภาพประกอบ 29)

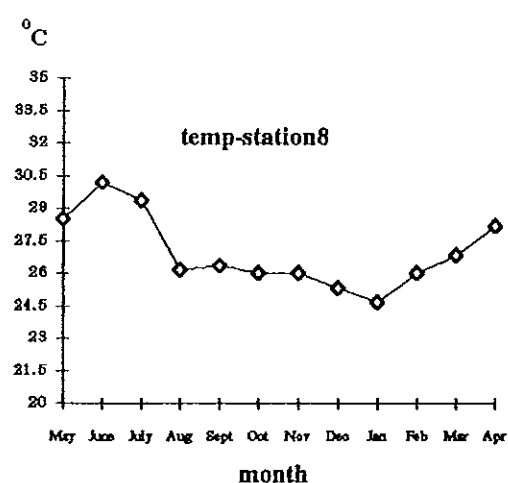
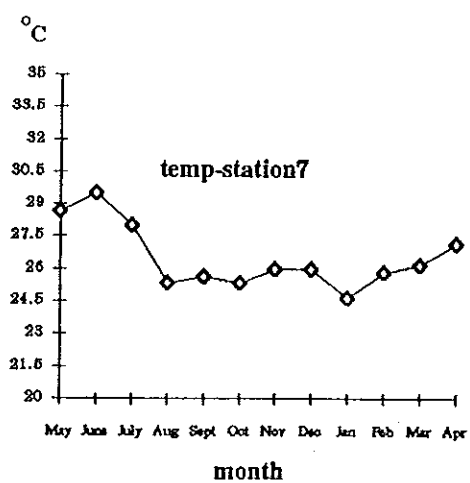
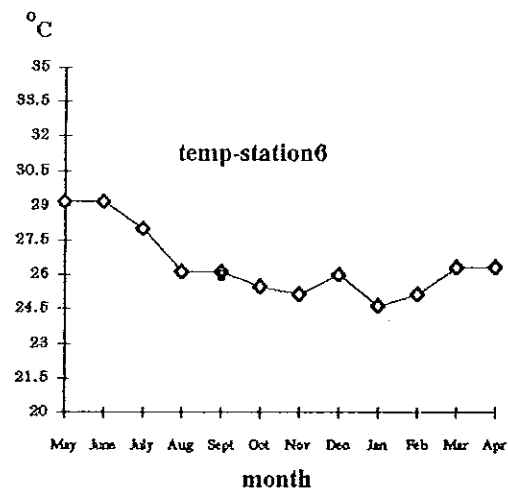
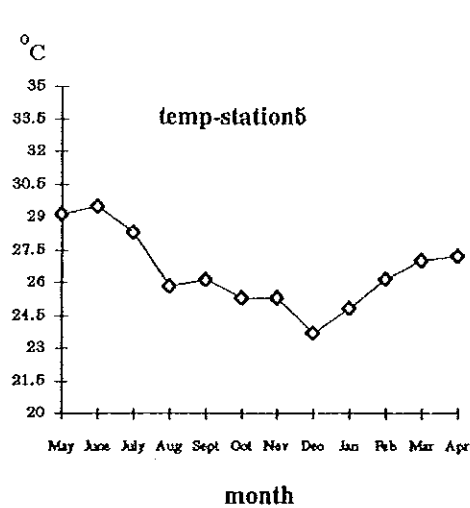
2. ความเป็นกรด-เบส (ภาพประกอบ 31-32)

ความเป็นกรด-เบสในแต่ละจุดเก็บตัวอย่างมีปฏิสัมพันธ์กับเดือน และในแต่ละ จุดเก็บตัวอย่าง ในแต่ละเดือน มีความแตกต่างกันทางสถิติ (ตารางภาคผนวก 18)

จุดเก็บตัวอย่างที่ 1 2 5 และ 6 มีค่าเฉลี่ยสูงสุดในเดือนมิถุนายน ต่ำสุดในเดือน มกราคม และพฤษจิกายนตามลำดับ จุดเก็บตัวอย่างที่ 3 มีค่าเฉลี่ยสูงสุดในเดือนมกราคม ต่ำสุดในเดือนสิงหาคม จุดเก็บตัวอย่างที่ 4 และ 8 มีค่าเฉลี่ยสูงสุดในเดือนสิงหาคม ต่ำสุด ในเดือนพฤษจิกายน และกรกฎาคมตามลำดับ ค่าเฉลี่ยทั้งปีมีค่าสูงสุดในจุดเก็บตัวอย่างที่ 3 เท่ากับ 7.59 และต่ำสุดในจุดเก็บตัวอย่างที่ 7 เท่ากับ 7.32 (ตารางภาคผนวก 6)



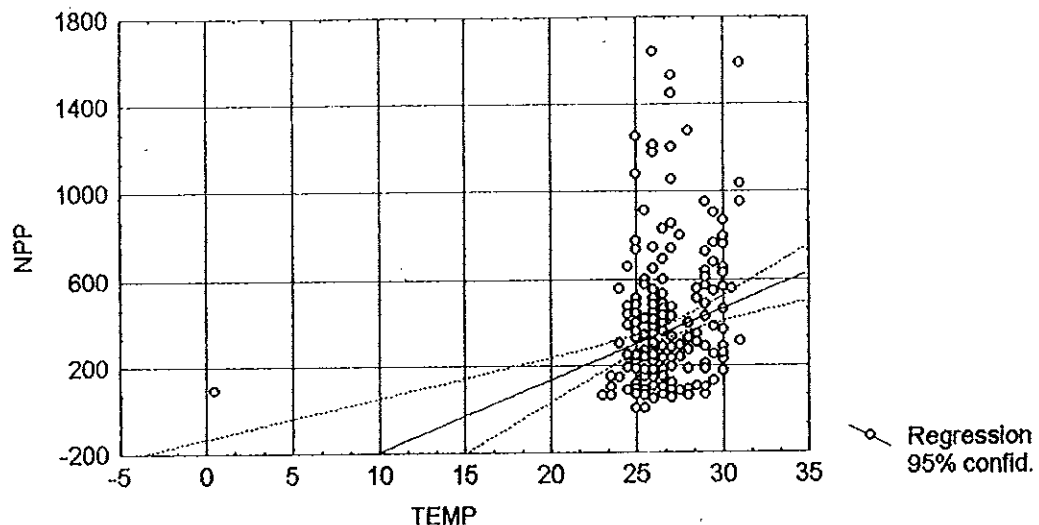
ภาพประกอบ 27 อุณหภูมิเฉลี่ยในแต่ละเดือนของจุดเก็บตัวอย่างที่ 1-4



ภาพประกอบ 28 ชุมชนมีเนื้อที่ในแต่ละเดือนของจุดเก็บตัวอย่างที่ 5-8

TEMP vs. NPP (Casewise MD deletion)

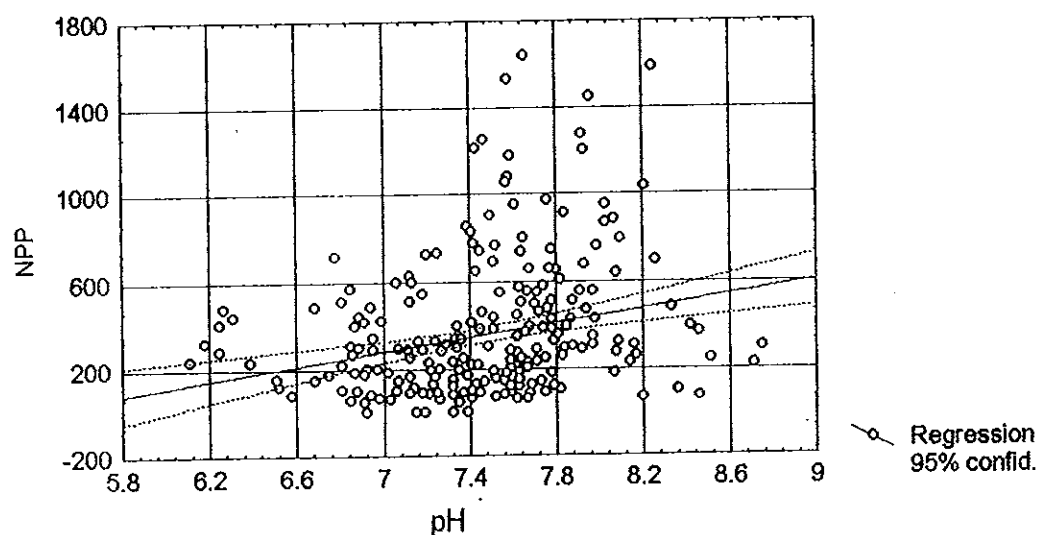
$$NPP = -524.0 + 32.992 * TEMP$$

Correlation: $r = .25334$ 

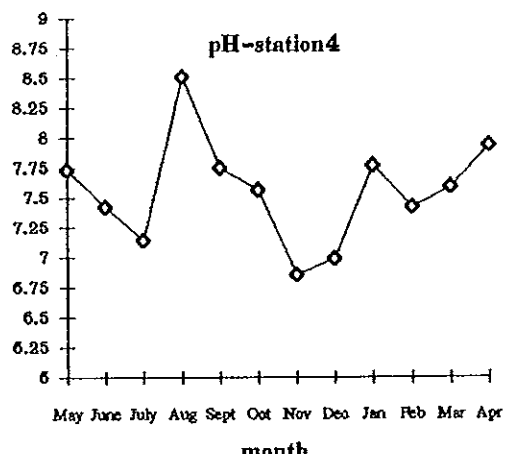
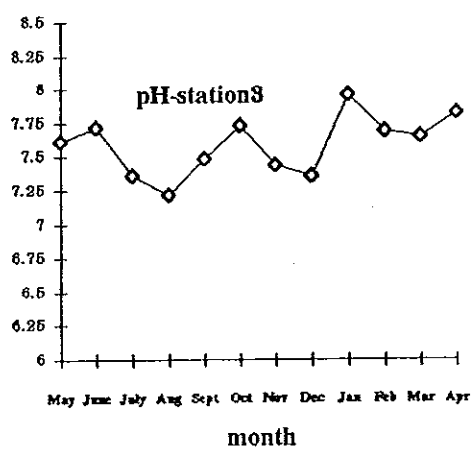
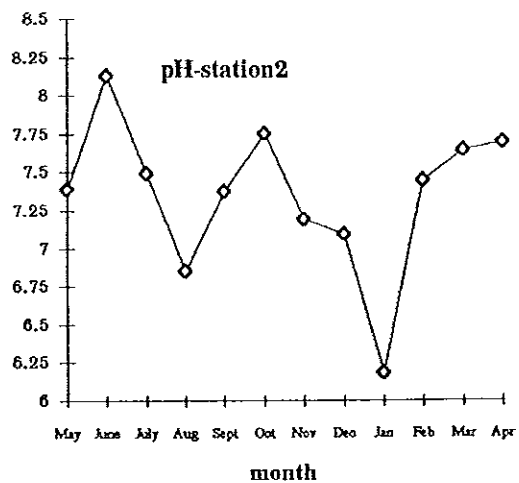
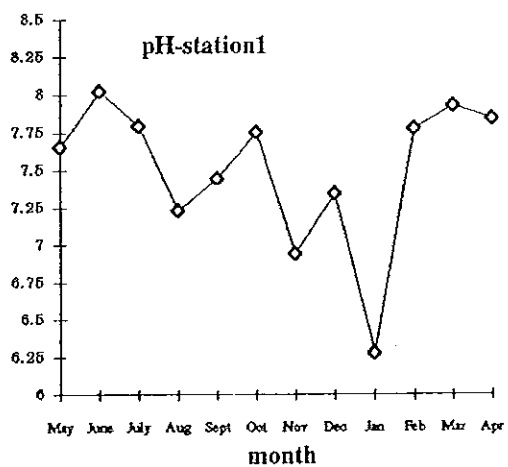
ภาพประกอบ 29 ความสัมพันธ์ระหว่างผลผลิตเบื้องต้นสุทธิต่อวันเฉลี่ยทั้งสอง
ระดับความลึกกับอุณหภูมิ

pH vs. NPP (Casewise MD deletion)

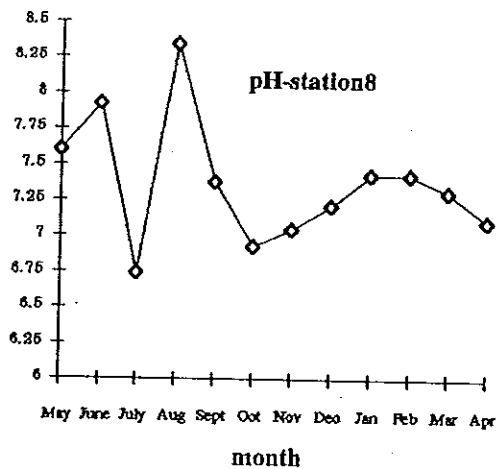
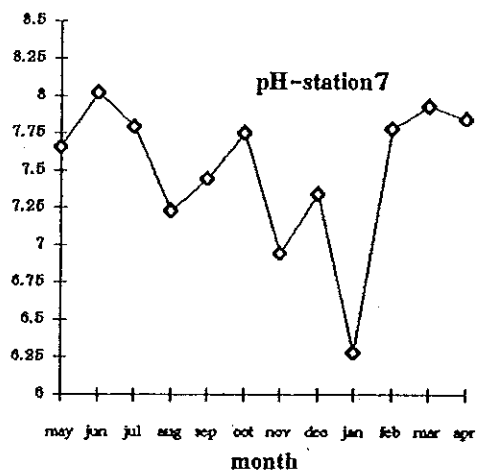
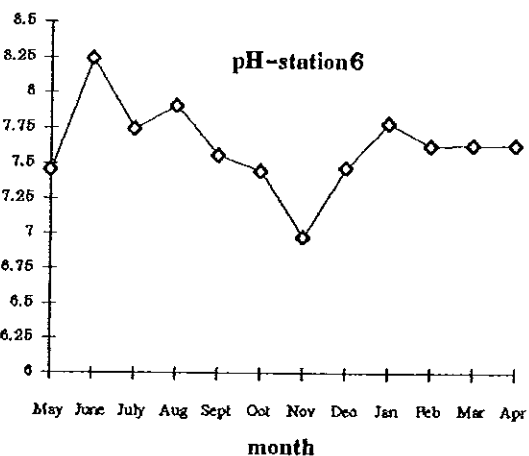
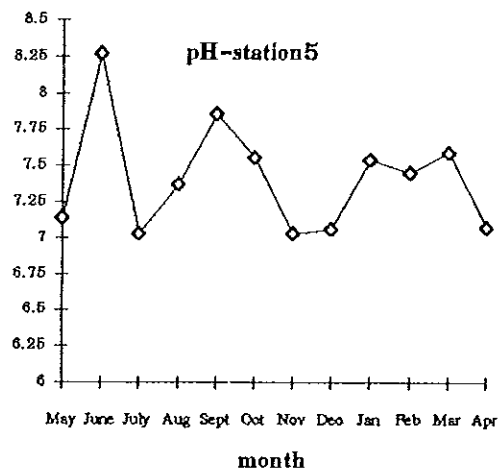
$$NPP = -863.4 + 163.22 * pH$$

Correlation: $r = .24338$ 

ภาพประกอบ 30 ความสัมพันธ์ระหว่างผลผลิตเบื้องต้นสุทธิต่อวันเฉลี่ยทั้งสอง
ระดับความลึกกับความเป็นกรด-เบส



ภาพประกอบ 31 ความเป็นกรด-เบสเฉลี่ยในแต่ละเดือนของจุดเก็บตัวอย่างที่ 1-4



ภาพประกอบ 32 ความเป็นกรด-เบสเฉลี่ยในแต่ละเดือนของจุดเก็บตัวอย่างที่ 5-8

ในการวิเคราะห์ทางสถิติเพื่อหาความสัมพันธ์ระหว่างความเป็นกรด-เบสกับผลผลิตเมื่องต้นของแพลงก์ตอนพืชสูทธิ์ต่อวันเฉลี่ยทั้งสองระดับความลึก ปรากฏว่าไม่มีความสัมพันธ์กัน (ภาพประกอบ 30)

3. ความเค็ม (ภาพประกอบ 33-34)

ความเค็มในแต่ละจุดเก็บตัวอย่างมีปฏิสัมพันธ์กับเดือน และในแต่ละจุดเก็บตัวอย่าง ในแต่ละเดือน มีความแตกต่างกันทางสถิติ (ตารางภาคผนวก 19)

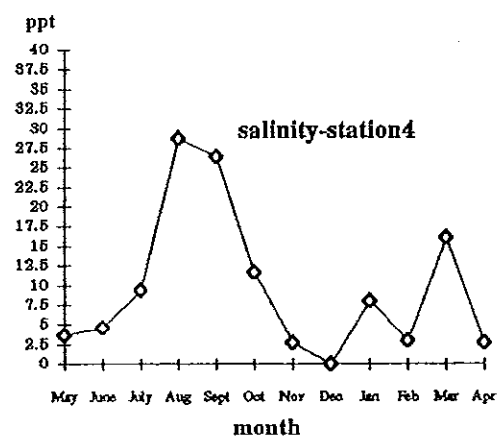
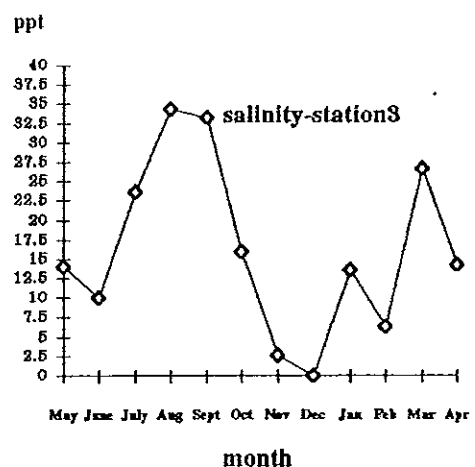
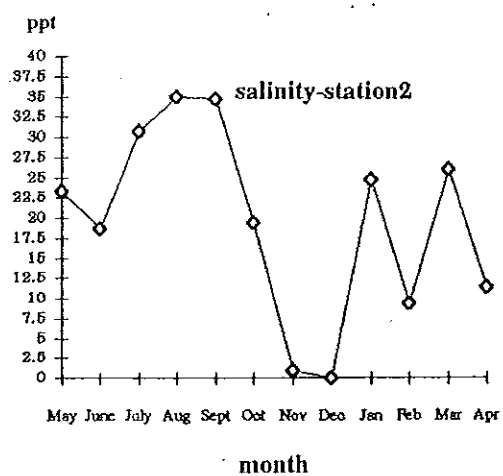
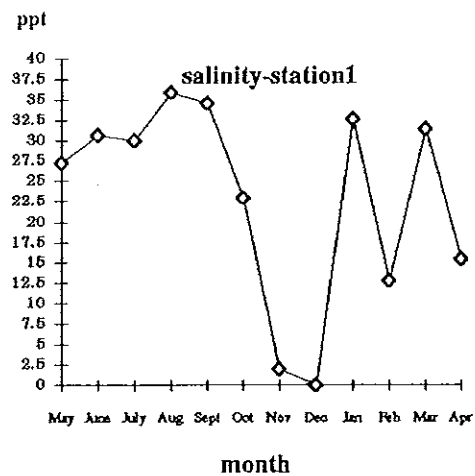
ความเค็มมีค่าเฉลี่ยสูงสุดในเดือนสิงหาคมเกือบทุกจุดเก็บตัวอย่าง ยกเว้นจุดเก็บตัวอย่างที่ 6 ที่มีค่าเฉลี่ยสูงสุดในเดือนกันยายน ค่าเฉลี่ยสูงสุดในจุดเก็บตัวอย่างที่ 2 3 และ 8 ไม่มีความแตกต่างกันทางสถิติกับเดือนกันยายน แต่แตกต่างกันทางสถิติกับเดือนอื่นๆ ค่าเฉลี่ยสูงสุดในจุดเก็บตัวอย่างที่ 1 และ 7 มีความแตกต่างกันทางสถิติกับทุกเดือน ค่าเฉลี่ยต่ำสุดในทุกจุดเก็บตัวอย่างปรากฎในเดือนธันวาคม ค่าเฉลี่ยทั้งปีมีค่าสูงสุดในจุดเก็บตัวอย่างที่ 1 เท่ากับ 22.97 ส่วนในพันส่วน และต่ำสุดในจุดเก็บตัวอย่างที่ 8 เท่ากับ 6.06 ส่วนในพันส่วน (ตารางภาคผนวก 7)

ในการวิเคราะห์ทางสถิติเพื่อหาความสัมพันธ์ระหว่างความเค็มกับผลผลิตเมื่องต้นของแพลงก์ตอนพืชสูทธิ์ต่อวันเฉลี่ยทั้งสองระดับความลึก ปรากฏว่าไม่มีความสัมพันธ์กัน (ภาพประกอบ 35)

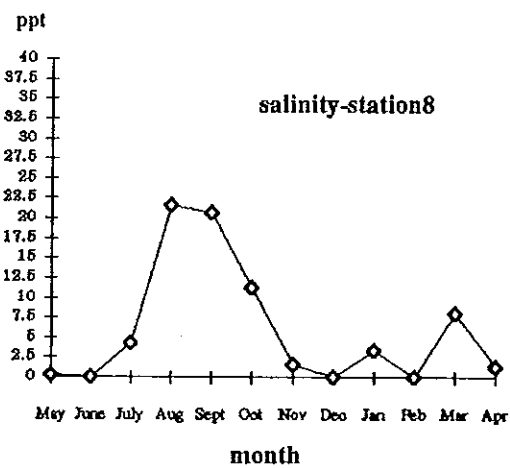
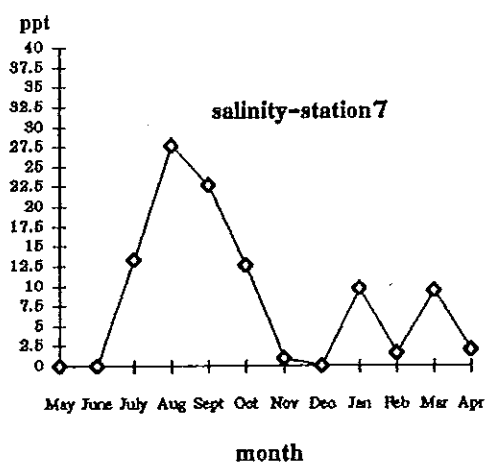
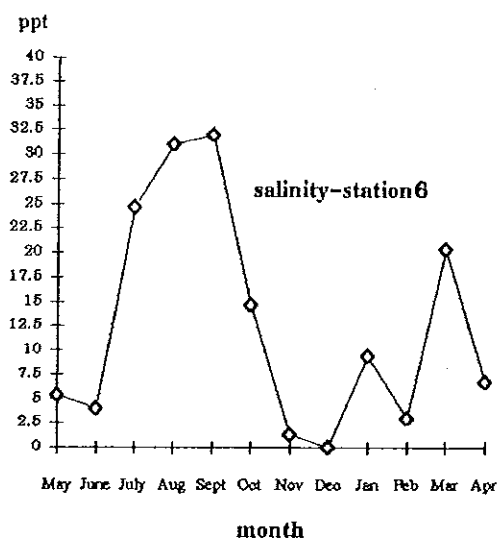
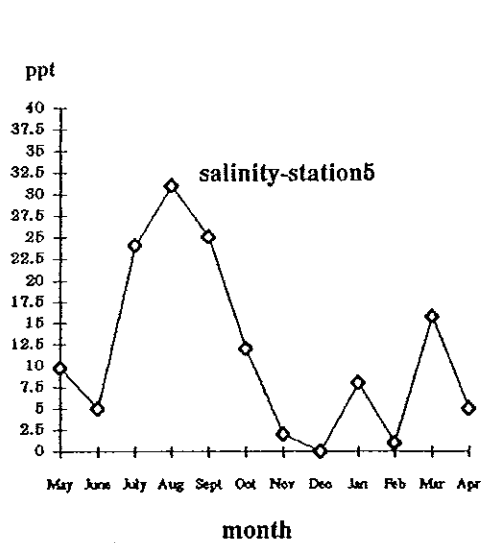
4. ความลึก (ภาพประกอบ 37-38)

ความลึกในแต่ละจุดเก็บตัวอย่างมีปฏิสัมพันธ์กับเดือน และในแต่ละจุดเก็บตัวอย่าง ในแต่ละเดือน มีความแตกต่างกันทางสถิติ (ตารางภาคผนวก 20)

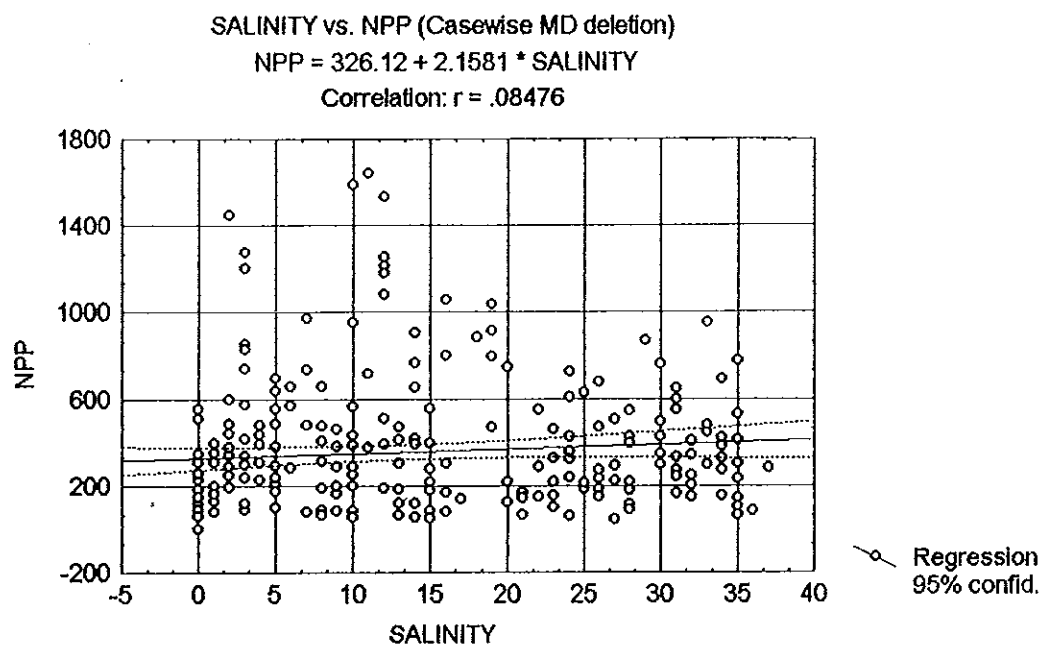
ความลึกในทุกจุดเก็บตัวอย่างมีค่าเฉลี่ยสูงสุดในเดือนธันวาคม ซึ่งมีความแตกต่างกันทางสถิติกับทุกเดือน ค่าเฉลี่ยทั้งปีมีค่าสูงสุดในจุดเก็บตัวอย่างที่ 1 เท่ากับ 1.62 เมตร ต่ำสุดในจุดเก็บตัวอย่างที่ 7 เท่ากับ 1.25 เมตร (ตารางภาคผนวก 8)



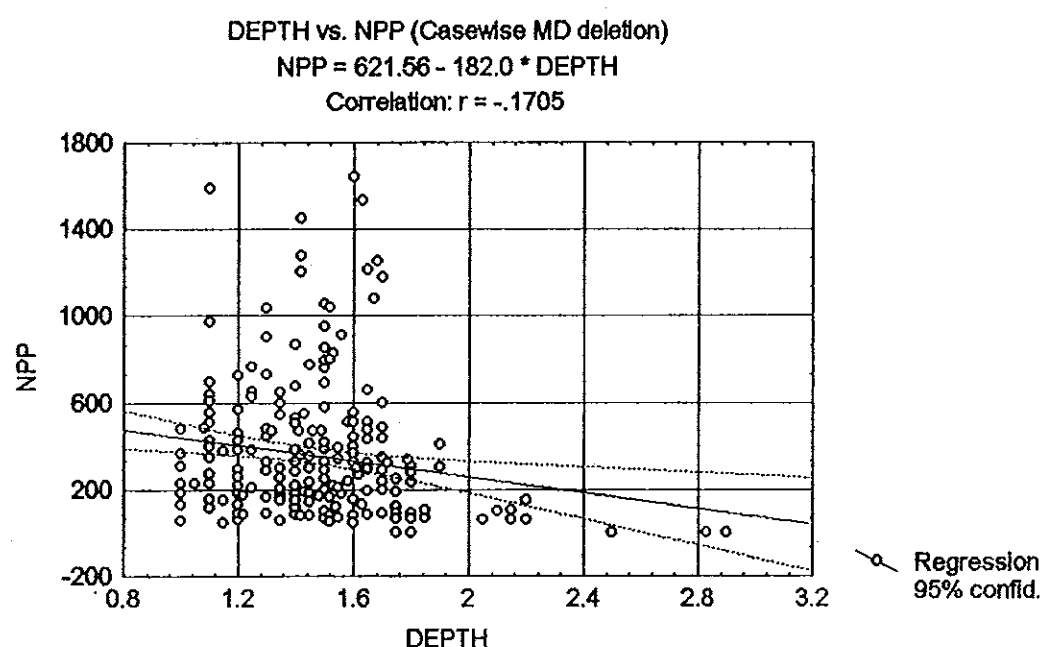
ภาพประกอบ 33 ความเค็มเฉลี่ยในแต่ละเดือนของจุดเก็บตัวอย่างที่ 1-4



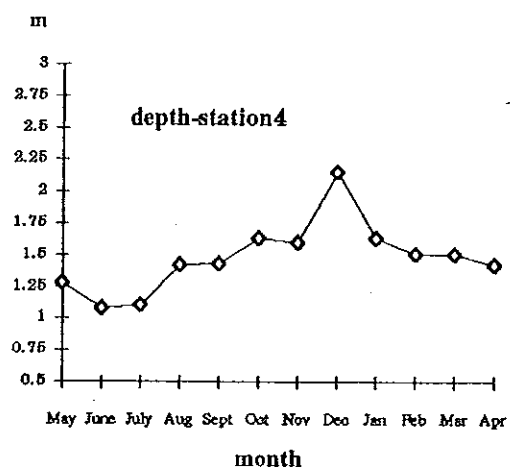
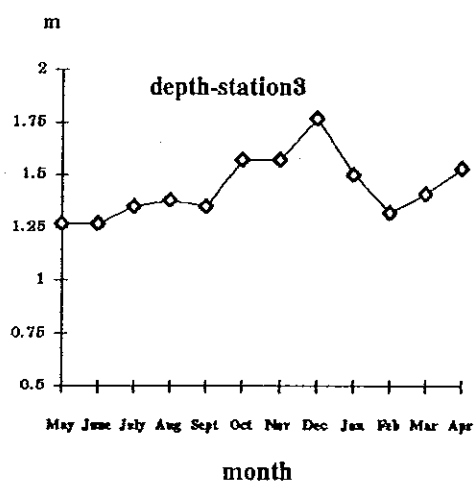
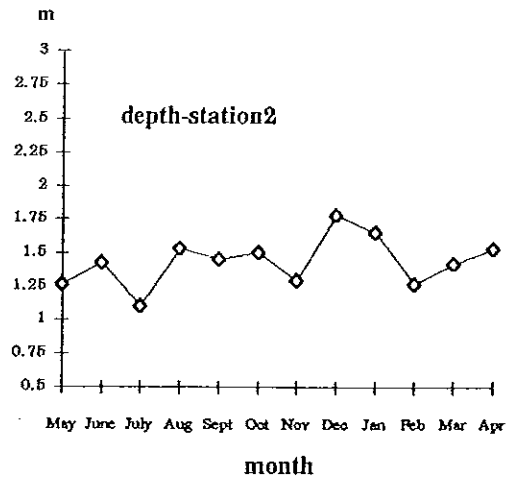
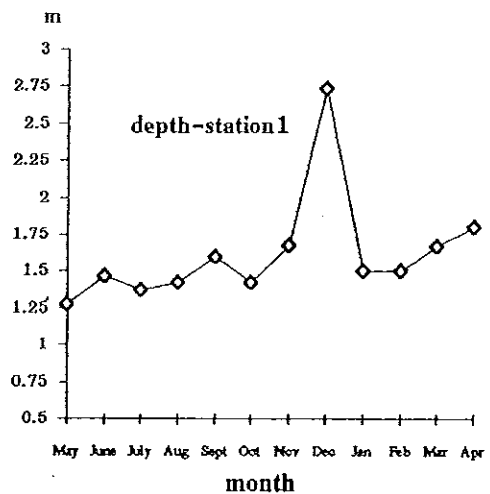
ภาพประกอบ 34 ความเค็มเฉลี่ยในแต่ละเดือนของจุดเก็บตัวอย่างที่ 5-8



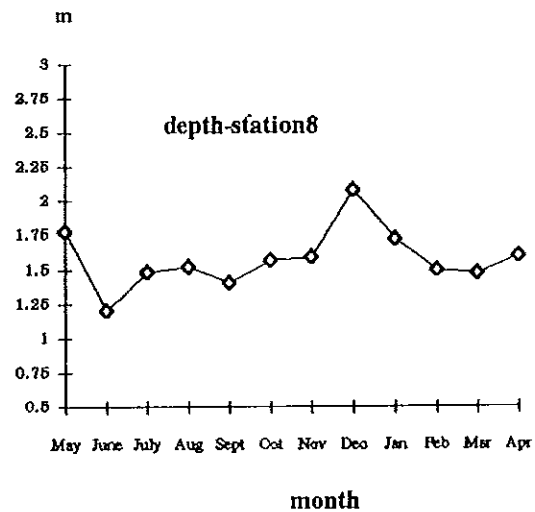
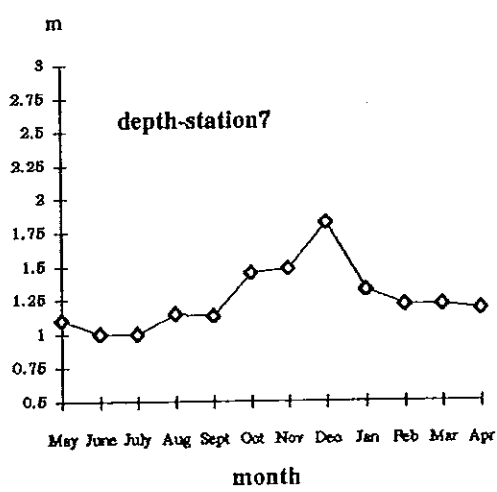
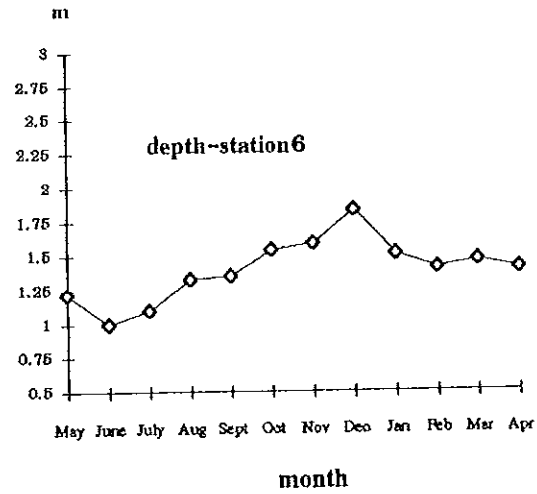
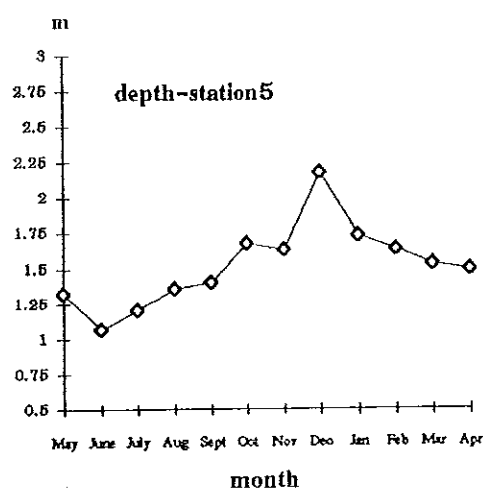
ภาพประกอบ 35 ความสัมพันธ์ระหว่างผลผลิตเบื้องต้นสูตรที่ต่อวันเฉลี่ยทั้งสองระดับความลึกกับความเค็ม



ภาพประกอบ 36 ความสัมพันธ์ระหว่างผลผลิตเบื้องต้นสูตรที่ต่อวันเฉลี่ยทั้งสองระดับความลึกกับความลึก



ภาพประกอบ 37 ความถี่กเคลี่ยในแต่ละเดือนของจุดเก็บตัวอย่างที่ 1-4



ภาพประกอบ 38 ความลึกเฉลี่ยในแต่ละเดือนของจุดเก็บตัวอย่างที่ 5-8

ในการวิเคราะห์ทางสถิติเพื่อหาความสัมพันธ์ระหว่างความลึกกับผลผลิตเบื้องต้นของ แพลงก์ตอนพืชสุทธิต่อวันเฉลี่ยทั้งสองระดับความลึก ปรากฏว่ามีความสัมพันธ์ไปในทางตรงกันข้ามแต่น้อยมากกล่าวได้ว่าไม่มีความสัมพันธ์กัน (ภาพประกอบ 36)

5. ปริมาณของแข็งแหวนโลຍ (ภาพประกอบ 39-40)

ปริมาณของแข็งแหวนโลຍในแต่ละจุดเก็บตัวอย่างมีปฏิสัมพันธ์กับเดือน และในแต่ละจุดเก็บตัวอย่าง ในแต่ละเดือน มีความแตกต่างกันทางสถิติ (ตารางภาคผนวก 21)

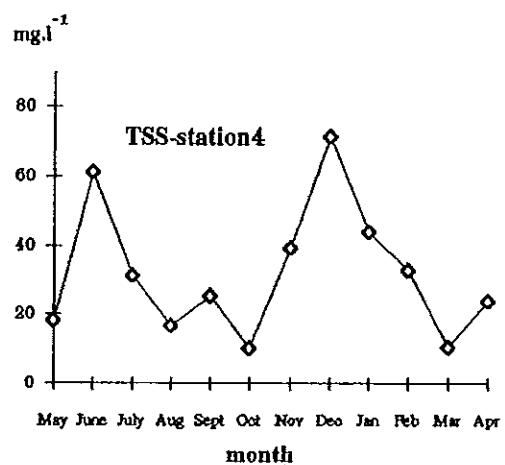
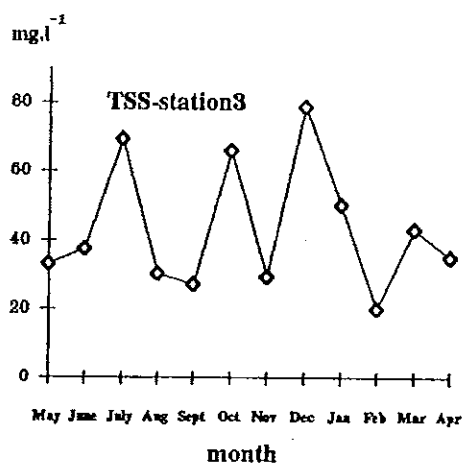
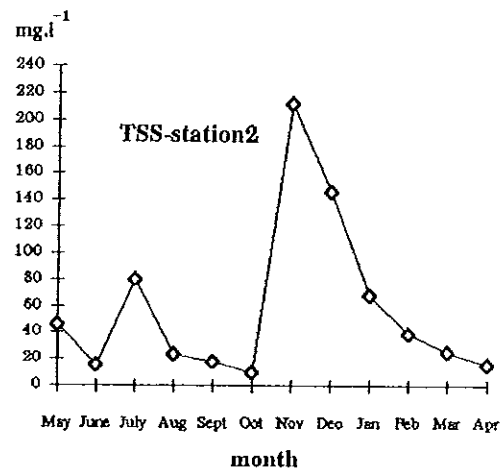
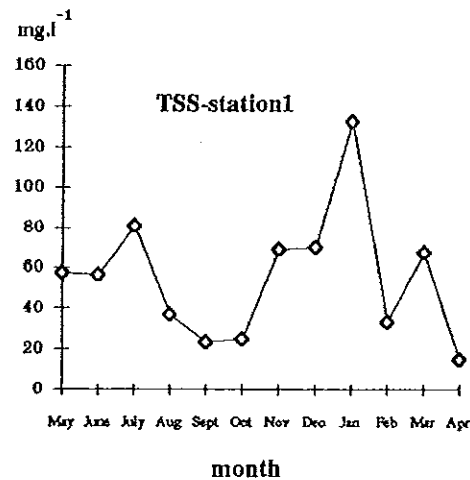
ปริมาณของแข็งแหวนโลຍในจุดเก็บตัวอย่างที่ 3 4 5 และ 6 มีค่าเฉลี่ยสูงสุดในเดือนธันวาคม จุดเก็บตัวอย่างที่ 1 มีค่าเฉลี่ยสูงสุดในเดือนมกราคม จุดเก็บตัวอย่างที่ 2 มีค่าเฉลี่ยสูงสุดในเดือนพฤษภาคม และจุดเก็บตัวอย่างที่ 7 และ 8 มีค่าเฉลี่ยสูงสุดในเดือนกุมภาพันธ์ ค่าเฉลี่ยสูงสุดในจุดเก็บตัวอย่างที่ 1 2 6 7 และ 8 มีความแตกต่างกันทางสถิติกับเดือนอื่นๆ ส่วนจุดเก็บตัวอย่างที่ 3 4 5 ไม่แตกต่างกันทางสถิติกับเดือนกุมภาพันธ์ มิถุนายน และมกราคมตามลำดับ แต่แตกต่างกันทางสถิติกับเดือนอื่นเช่นกัน ค่าเฉลี่ยทั้งปีมีค่าสูงสุดในจุดเก็บตัวอย่างที่ 2 เท่ากับ 58.08 mg.l^{-1} ต่ำสุดในจุดเก็บตัวอย่างที่ 4 เท่ากับ 32.08 mg.l^{-1} (ตารางภาคผนวก 9)

ในการวิเคราะห์ทางสถิติเพื่อหาความสัมพันธ์ระหว่างปริมาณของแข็งแหวนโลยกับผลผลิตเบื้องต้นของแพลงก์ตอนพืชสุทธิต่อวันเฉลี่ยทั้งสองระดับความลึก ปรากฏว่ามีความสัมพันธ์ไปในทางตรงกันข้ามแต่น้อยมากจนกล่าวได้ว่าไม่มีความสัมพันธ์กัน(ภาพประกอบ 41)

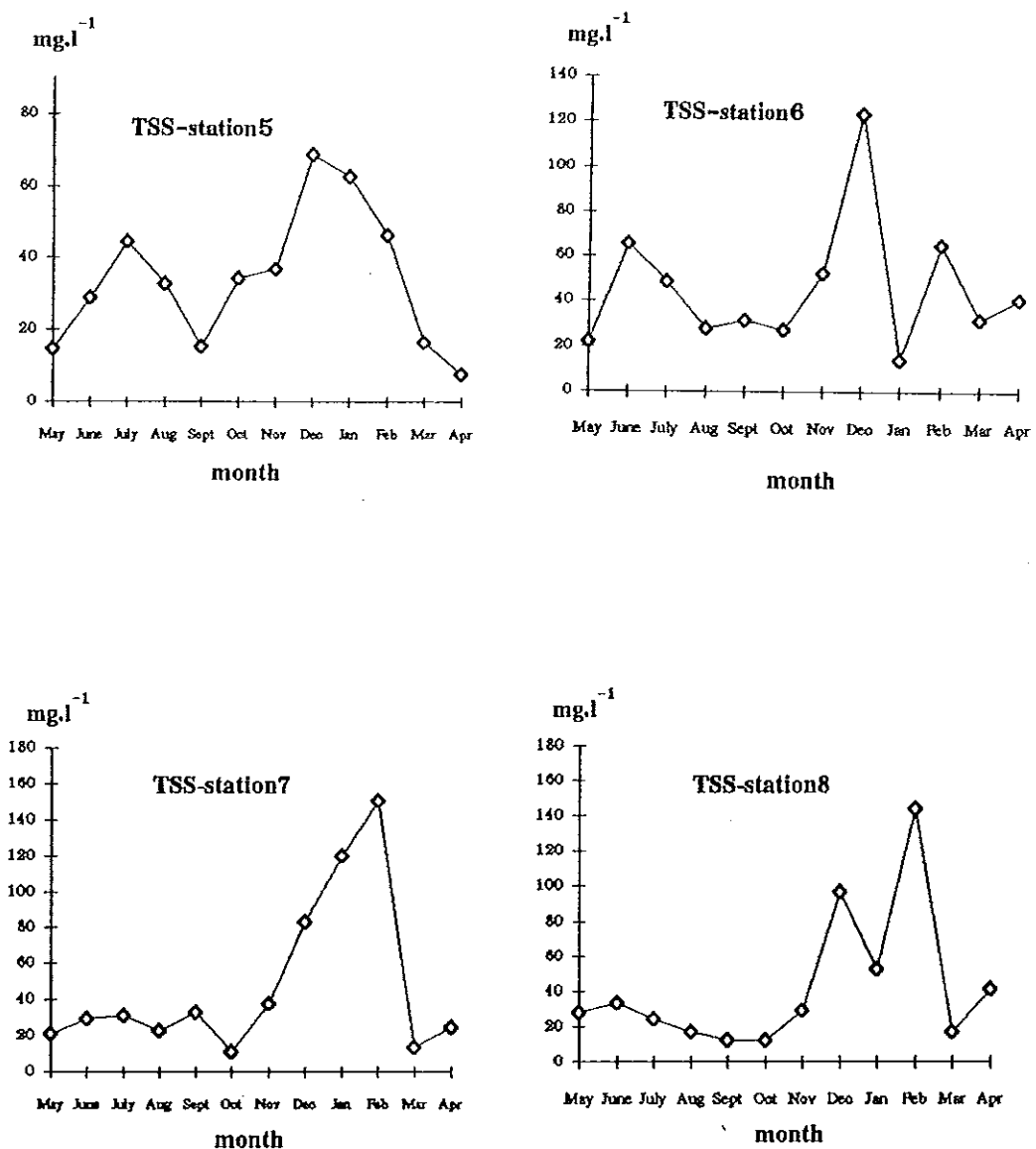
6. ปริมาณในไตรห์ (ภาพประกอบ 43-44)

ปริมาณในไตรห์ในแต่ละจุดเก็บตัวอย่างมีปฏิสัมพันธ์กับเดือน และในแต่ละจุดเก็บตัวอย่าง ในแต่ละเดือน มีความแตกต่างกันทางสถิติ (ตารางภาคผนวก 22)

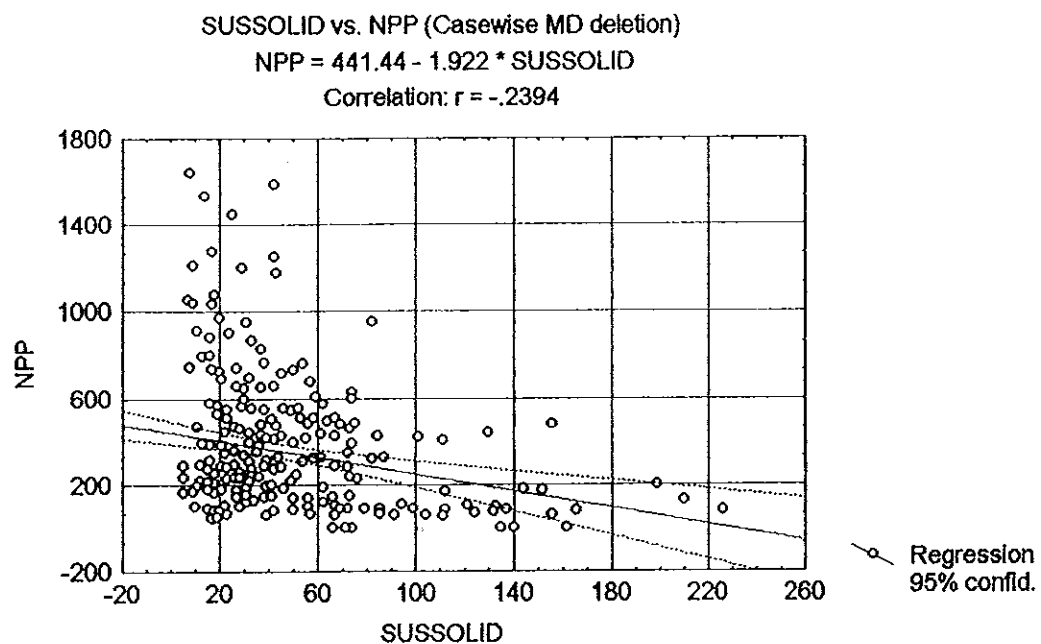
ปริมาณในไตรห์ในจุดเก็บตัวอย่างที่ 1 2 3 และ 6 มีค่าเฉลี่ยสูงสุดในเดือนธันวาคม และมีความแตกต่างกันทางสถิติกับเดือนอื่นๆ จุดเก็บตัวอย่างที่ 5 7 และ 8 มีค่าเฉลี่ยสูงสุดในเดือนกุมภาพันธ์ และมีความแตกต่างกันทางสถิติกับเดือนอื่นๆ ส่วนจุดเก็บตัวอย่างที่ 4



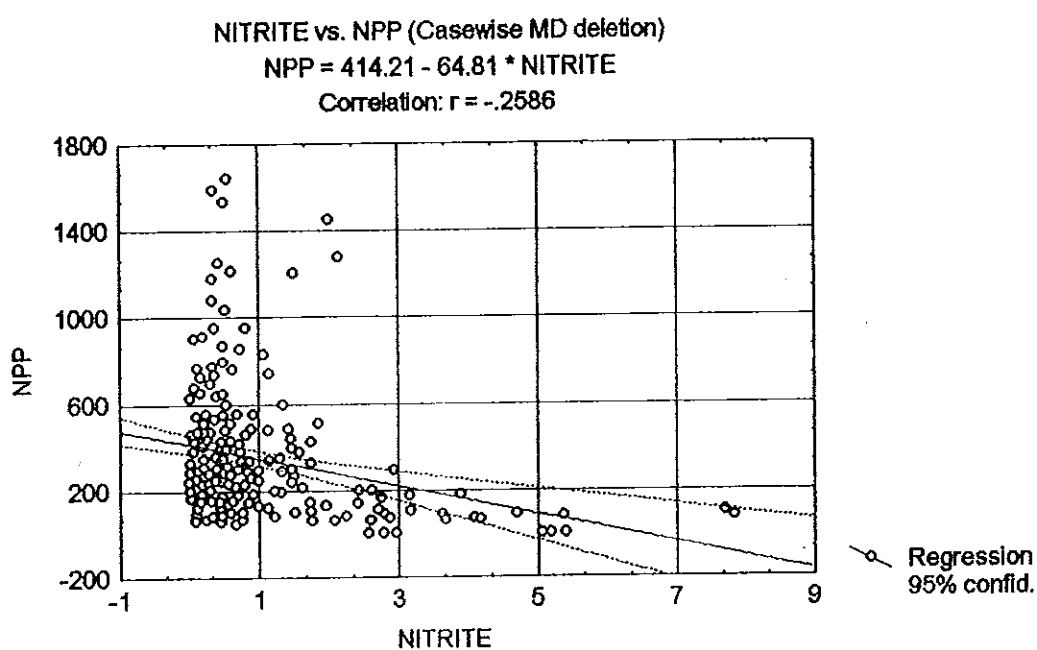
ภาพประกอบ 39 ปริมาณของแข็งแขวนลดอยเฉลี่ยในแต่ละเดือนของชุดเก็บตัวอย่างที่ 1-4



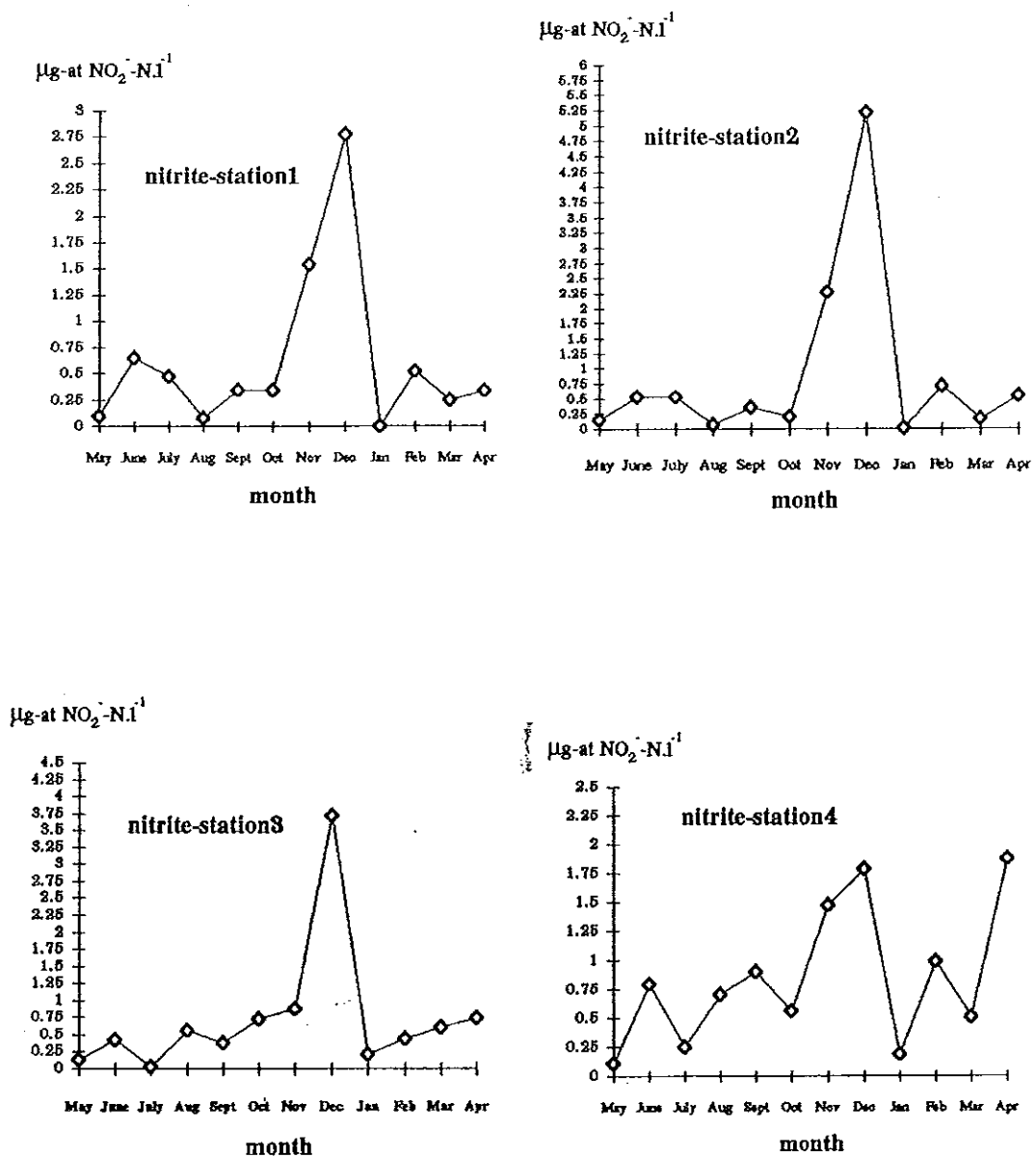
ภาพประกอบ 40 ปริมาณของแข็งแขวนโดยเฉลี่ยในแต่ละเดือนของๆดังที่ 5-8



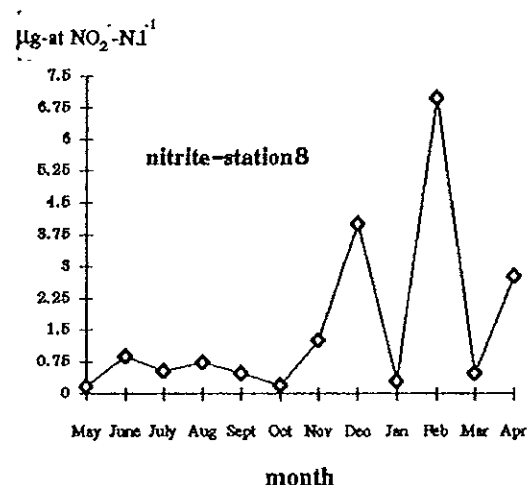
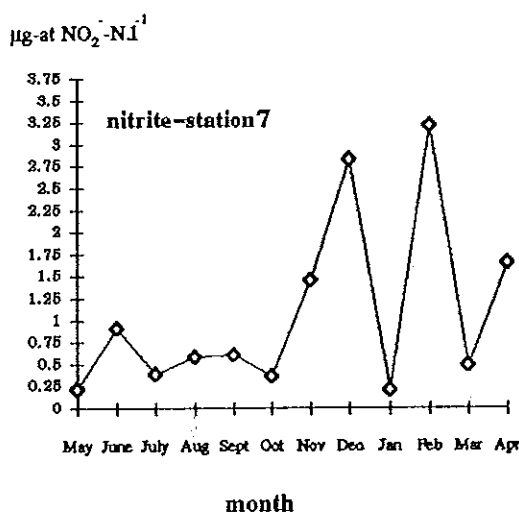
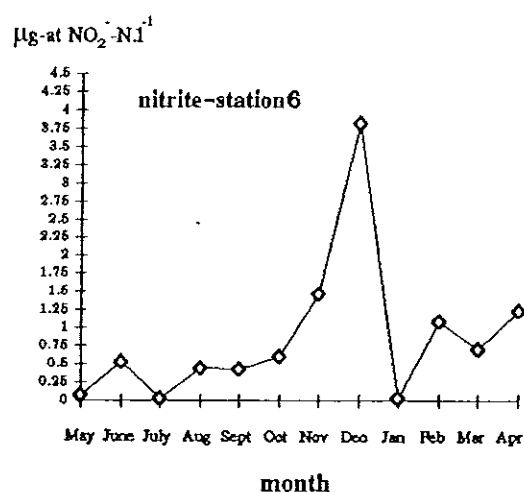
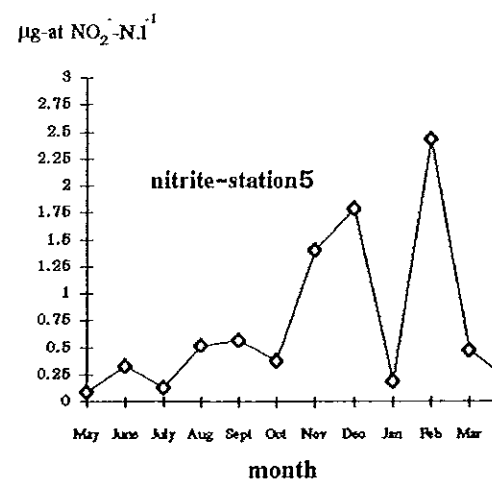
ภาพประกอบ 41 ความสัมพันธ์ระหว่างผลผลิตเบื้องต้นสุทธิต่อวันเฉลี่ยทั้งสอง
ระดับความลึกกับปริมาณของแข็งแกรนูลอย



ภาพประกอบ 42 ความสัมพันธ์ระหว่างผลผลิตเบื้องต้นสุทธิต่อวันเฉลี่ยทั้งสอง
ระดับความลึกกับปริมาณในไทรท์



ภาพประกอบ 43 ปริมาณในไครท์เฉลี่ยในแต่ละเดือนของจุดเก็บตัวอย่างที่ 1-4



ภาพประกอบ 44 ปริมาณในไครท์เฉลี่ยในแต่ละเดือนของอุคเก็บตัวอย่างที่ 5-8

มีค่าเฉลี่ยสูงสุดในเดือนเมษายน ซึ่งไม่มีความแตกต่างกันทางสถิติกับเดือนธันวาคม แต่มีความแตกต่างกันทางสถิติกับเดือนอื่นๆ ค่าเฉลี่ยทั้งปีมีค่าสูงสุดในฤดูเก็บตัวอย่างที่ 8 เท่ากับ $1.562 \text{ } \mu\text{g-at NO}_2 \cdot \text{N.I}^{-1}$ และต่ำสุดในฤดูเก็บตัวอย่างที่ 1 เท่ากับ $0.615 \text{ } \mu\text{g-at NO}_2 \cdot \text{N.I}^{-1}$ (ตารางภาคผนวก 10)

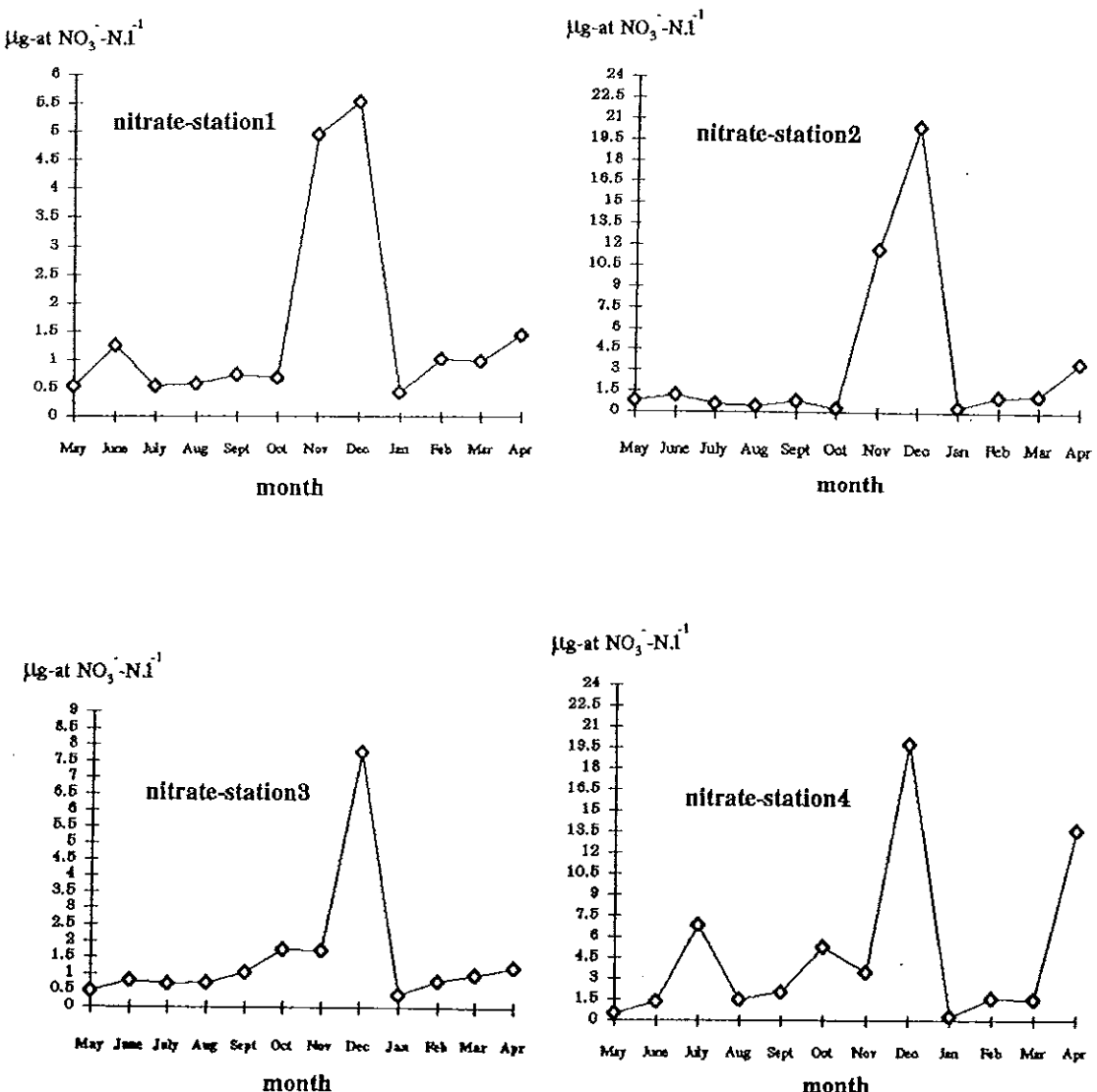
ในการวิเคราะห์ทางสถิติเพื่อหาความสัมพันธ์ระหว่างปริมาณในaire กับผลผลิตเบื้องต้นของแพลงก์ตอนพืชสุทธิต่อวันเฉลี่ยทั้งสองระดับความลึกปรากฏว่าไม่มีความสัมพันธ์กัน (ภาพประกอบ 42)

7. ปริมาณในaire (ภาพประกอบ 45-46)

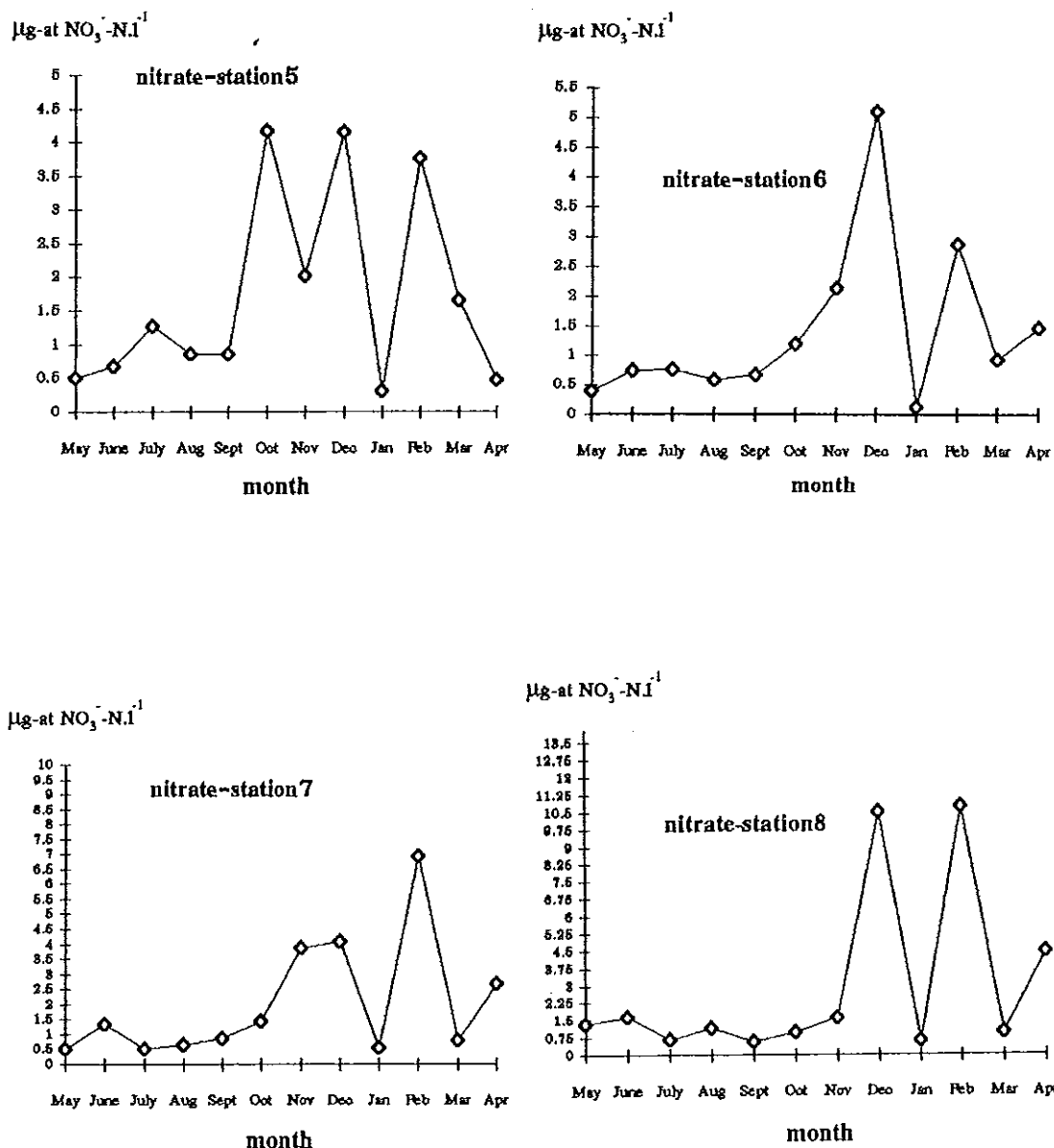
ปริมาณในaire ในแต่ละฤดูเก็บตัวอย่างมีปฏิสัมพันธ์กับเดือน และในแต่ละฤดูเก็บตัวอย่าง ในแต่ละเดือน มีความแตกต่างกันทางสถิติ (ตารางภาคผนวก 23)

ปริมาณในaire ในฤดูเก็บตัวอย่างที่ 1 2 3 4 และ 6 มีค่าเฉลี่ยสูงสุดในเดือนธันวาคม และมีความแตกต่างกันทางสถิติกับเดือนอื่นๆ ทุกเดือน ยกเว้นฤดูเก็บตัวอย่างที่ 1 ซึ่งไม่มีความแตกต่างกันทางสถิติกับเดือนพฤษภาคม ฤดูเก็บตัวอย่างที่ 7 และ 8 มีค่าเฉลี่ยสูงสุดในเดือนกุมภาพันธ์ และมีความแตกต่างกันทางสถิติกับเดือนอื่นๆ ยกเว้นฤดูเก็บตัวอย่างที่ 8 ซึ่งไม่มีความแตกต่างกันทางสถิติกับเดือนธันวาคม ส่วนฤดูเก็บตัวอย่างที่ 5 มีค่าเฉลี่ยสูงสุดในเดือนตุลาคม ซึ่งไม่มีความแตกต่างกันทางสถิติกับเดือนธันวาคม แต่มีความแตกต่างกันทางสถิติกับเดือนอื่นๆ ค่าเฉลี่ยทั้งปีมีค่าสูงสุดในฤดูเก็บตัวอย่างที่ 8 เท่ากับ $2.930 \text{ } \mu\text{g-at NO}_3 \cdot \text{N.I}^{-1}$ และต่ำสุดในฤดูเก็บตัวอย่างที่ 6 เท่ากับ $1.420 \text{ } \mu\text{g-at NO}_3 \cdot \text{N.I}^{-1}$ (ตารางภาคผนวก 11)

ในการวิเคราะห์ทางสถิติเพื่อหาความสัมพันธ์ระหว่างปริมาณในaire กับผลผลิตเบื้องต้นของแพลงก์ตอนพืชสุทธิต่อวันเฉลี่ยทั้งสองระดับความลึกปรากฏว่าไม่มีความสัมพันธ์กัน (ภาพประกอบ 47)



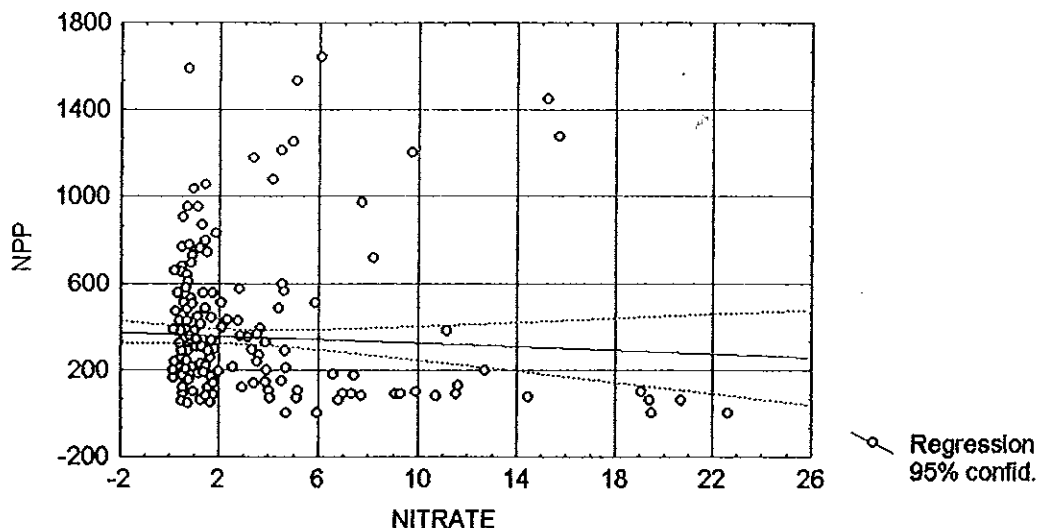
ภาพประกอบ 45 ปริมาณในเดือนเฉลี่ยในแต่ละเดือนของธาตุเก็บตัวอย่างที่ 1-4



ภาพประกอบ 46 ปริมาณในเดือนเดียวกันแต่ละเดือนของจุดเก็บตัวอย่างที่ 5-8

NITRATE vs. NPP (Casewise MD deletion)

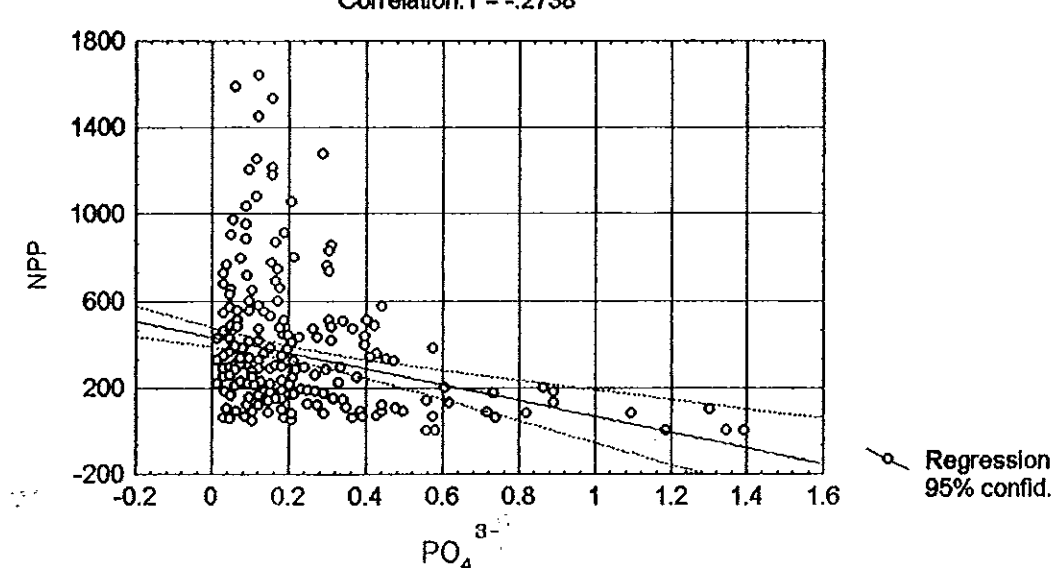
$$NPP = 365.15 - 4.102 * \text{NITRATE}$$

Correlation: $r = -.0517$ 

ภาพประกอบ 47 ความสัมพันธ์ระหว่างผลผลิตเบื้องต้นสุทธิต่อวันเฉลี่ยทั้งสอง
ระดับความลึกกับปริมาณไนโตรเจน

 PO_4^{3-} vs. NPP (Casewise MD deletion)

$$NPP = 433.56 - 366.0 * \text{PO}_4^{3-}$$

Correlation: $r = -.2738$ 

ภาพประกอบ 48 ความสัมพันธ์ระหว่างผลผลิตเบื้องต้นสุทธิต่อวันเฉลี่ยทั้งสอง
ระดับความลึกกับปริมาณฟอสฟेट

8. ปริมาณฟอสเฟต (ภาพประกอบ 49-50)

ปริมาณฟอสเฟตในแต่ละจุดเก็บตัวอย่างมีปฏิสัมพันธ์กับเดือน และในแต่ละจุดเก็บตัวอย่าง ในแต่ละเดือน มีความแตกต่างกันทางสถิติ (ตารางภาคผนวก 24)

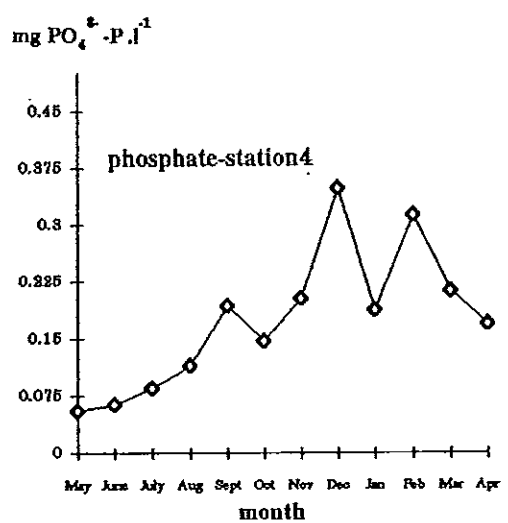
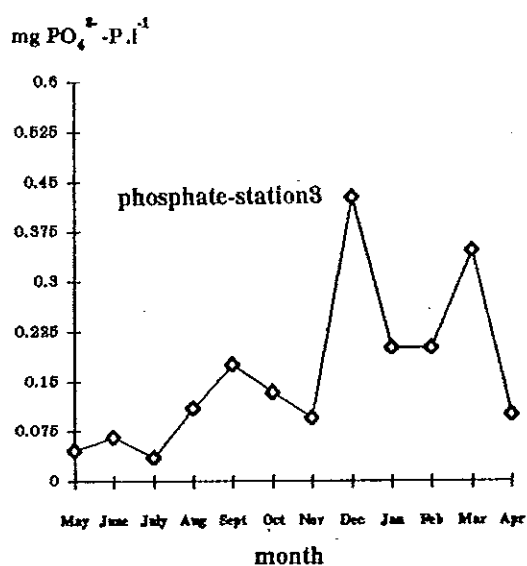
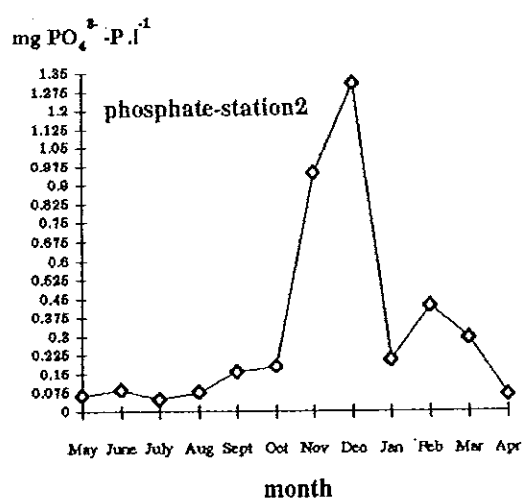
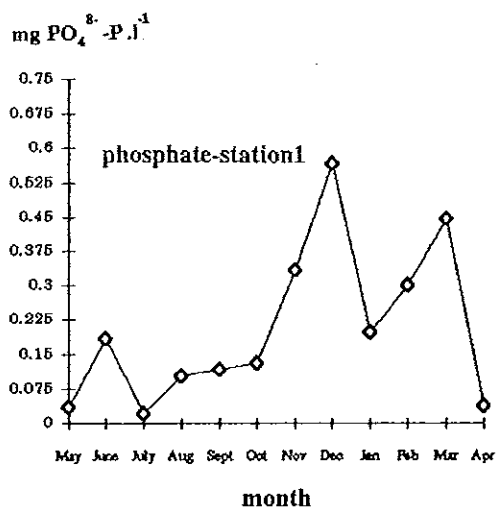
ปริมาณฟอสเฟตในจุดเก็บตัวอย่างที่ 1 2 3 4 และ 6 มีค่าเฉลี่ยสูงสุดในเดือน ธันวาคม และมีความแตกต่างกันทางสถิติกับเดือนอื่นๆทุกเดือน ยกเว้นจุดเก็บตัวอย่างที่ 3 4 และ 6 ซึ่งไม่มีความแตกต่างกันทางสถิติกับเดือนมีนาคม กุมภาพันธ์ และตามลำดับ จุดเก็บตัวอย่างที่ 5 7 และ 8 มีค่าเฉลี่ยสูงสุดในเดือนกุมภาพันธ์ ซึ่งมีความแตกต่างกันทางสถิติกับเดือนอื่นๆทุกเดือน ค่าเฉลี่ยทั้งปีมีค่าสูงสุดในจุดเก็บตัวอย่างที่ 2 เท่ากับ $0.321 \text{ mg PO}_4^{3-\text{-P.I.}^1}$ และต่ำสุดในจุดเก็บตัวอย่างที่ 5 เท่ากับ $0.160 \text{ mg PO}_4^{3-\text{-P.I.}^1}$ (ตารางภาคผนวก 12)

ในการวิเคราะห์ทางสถิติเพื่อหาความสัมพันธ์ระหว่างปริมาณฟอสเฟตกับผลผลิตเบื้องต้นของแพลงก์ตอนพืชทุกชนิดต่อวันเฉลี่ยทั้งสองระดับความลึกปรากฏว่าไม่มีความสัมพันธ์กัน (ภาพประกอบ 48)

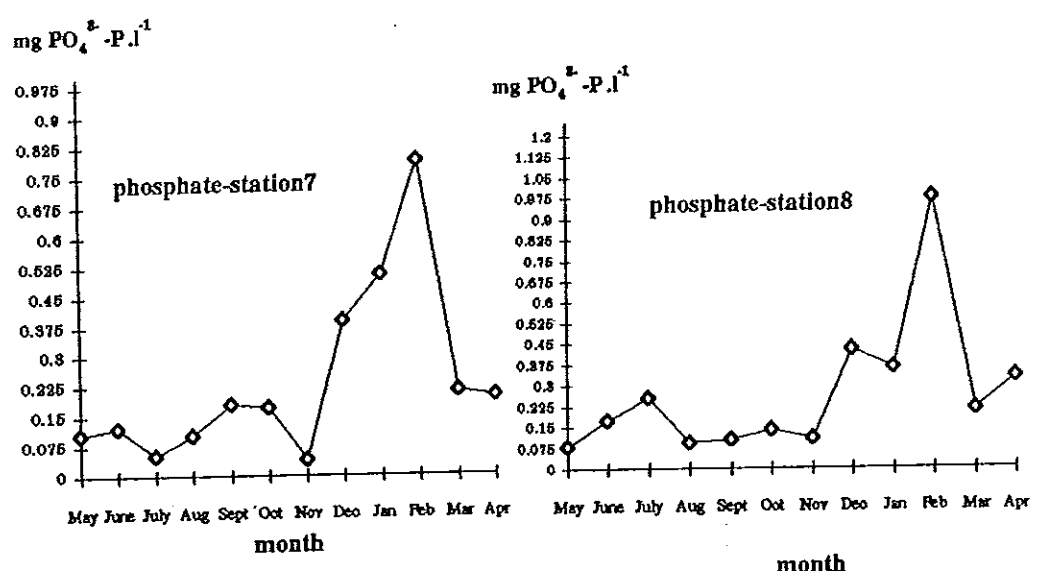
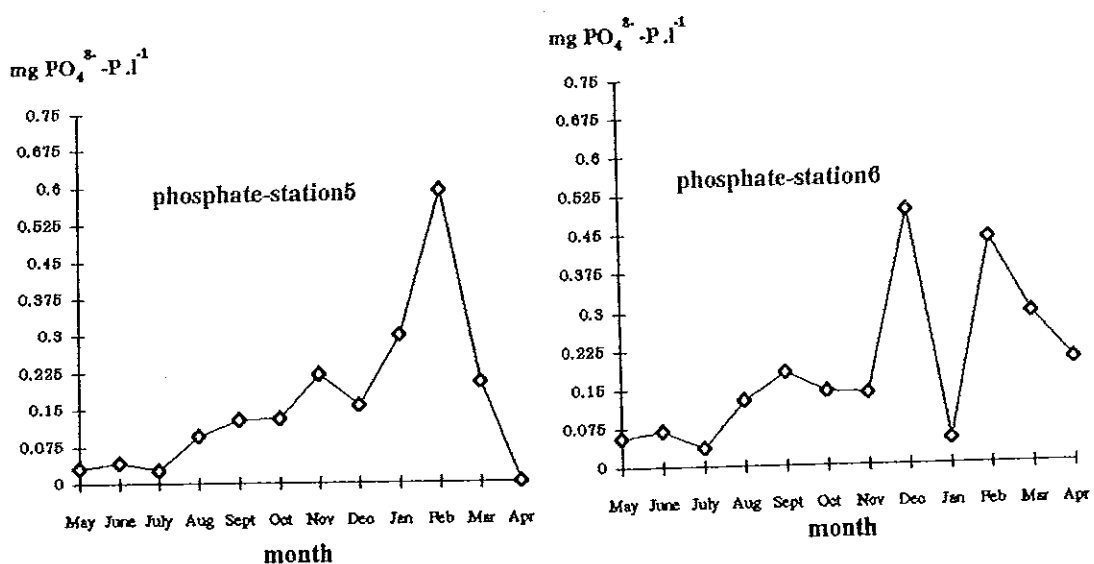
9. ปริมาณซิลิกา (ภาพประกอบ 51-52)

ปริมาณซิลิกาในแต่ละจุดเก็บตัวอย่างมีปฏิสัมพันธ์กับเดือน และในแต่ละจุดเก็บตัวอย่าง ในแต่ละเดือน มีความแตกต่างกันทางสถิติ (ตารางภาคผนวก 25)

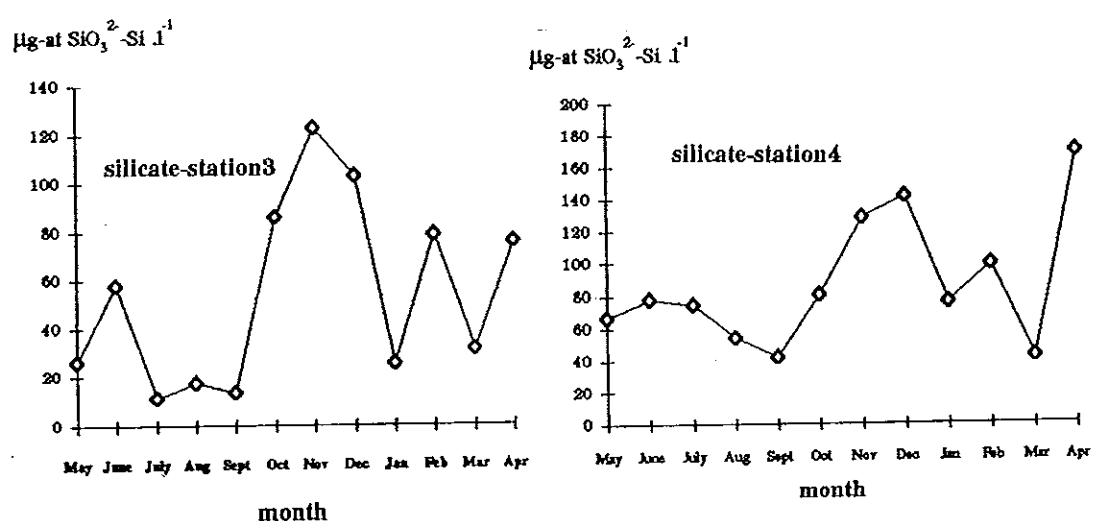
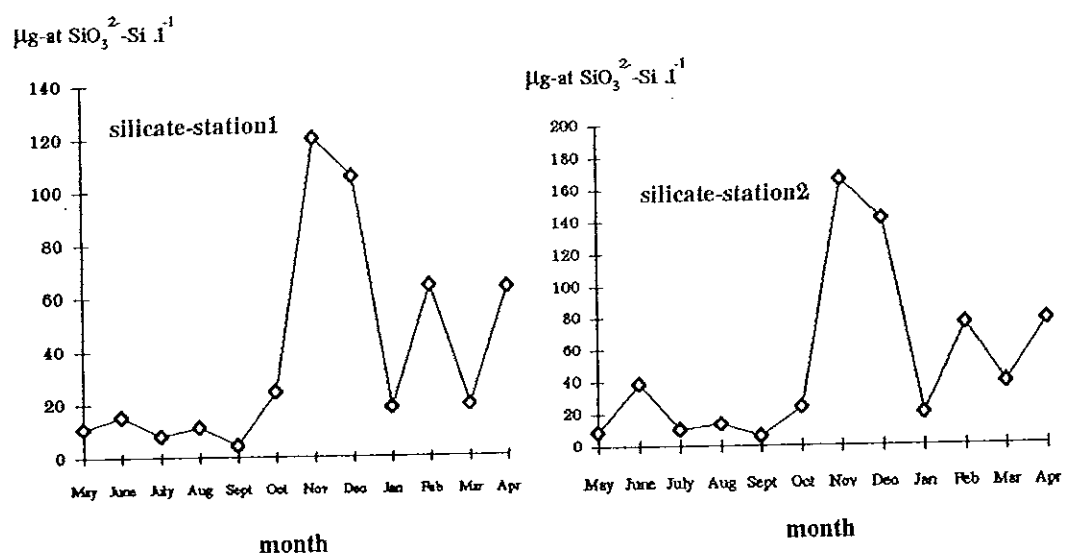
ปริมาณซิลิกาในจุดเก็บตัวอย่างที่ 1 2 3 และ 6 มีค่าเฉลี่ยสูงสุดในเดือน พฤษภาคม ซึ่งมีความแตกต่างกันทางสถิติกับเดือนอื่นๆทุกเดือน จุดเก็บตัวอย่างที่ 4 7 และ 8 มีค่าเฉลี่ยสูงสุดในเดือนเมษายน ซึ่งมีความแตกต่างกันทางสถิติกับเดือนอื่นๆทุกเดือน ยกเว้นจุดเก็บตัวอย่างที่ 7 ซึ่งไม่มีความแตกต่างกันทางสถิติกับเดือนกุมภาพันธ์ จุดเก็บตัวอย่างที่ 5 มีค่าเฉลี่ยสูงสุดในเดือนกุมภาพันธ์ ซึ่งไม่มีความแตกต่างกันทางสถิติกับเดือนเมษายน แต่มีความแตกต่างกันทางสถิติกับเดือนอื่นๆ ค่าเฉลี่ยทั้งปีมีค่าสูงสุดในจุดเก็บตัวอย่างที่ 8 เท่ากับ $99.811 \mu\text{g-at SiO}_2\text{-Si.I.}^1$ และต่ำสุดในจุดเก็บตัวอย่างที่ 1 เท่ากับ $38.734 \mu\text{g-at SiO}_2\text{-Si.I.}^1$ (ตารางภาคผนวก 13)



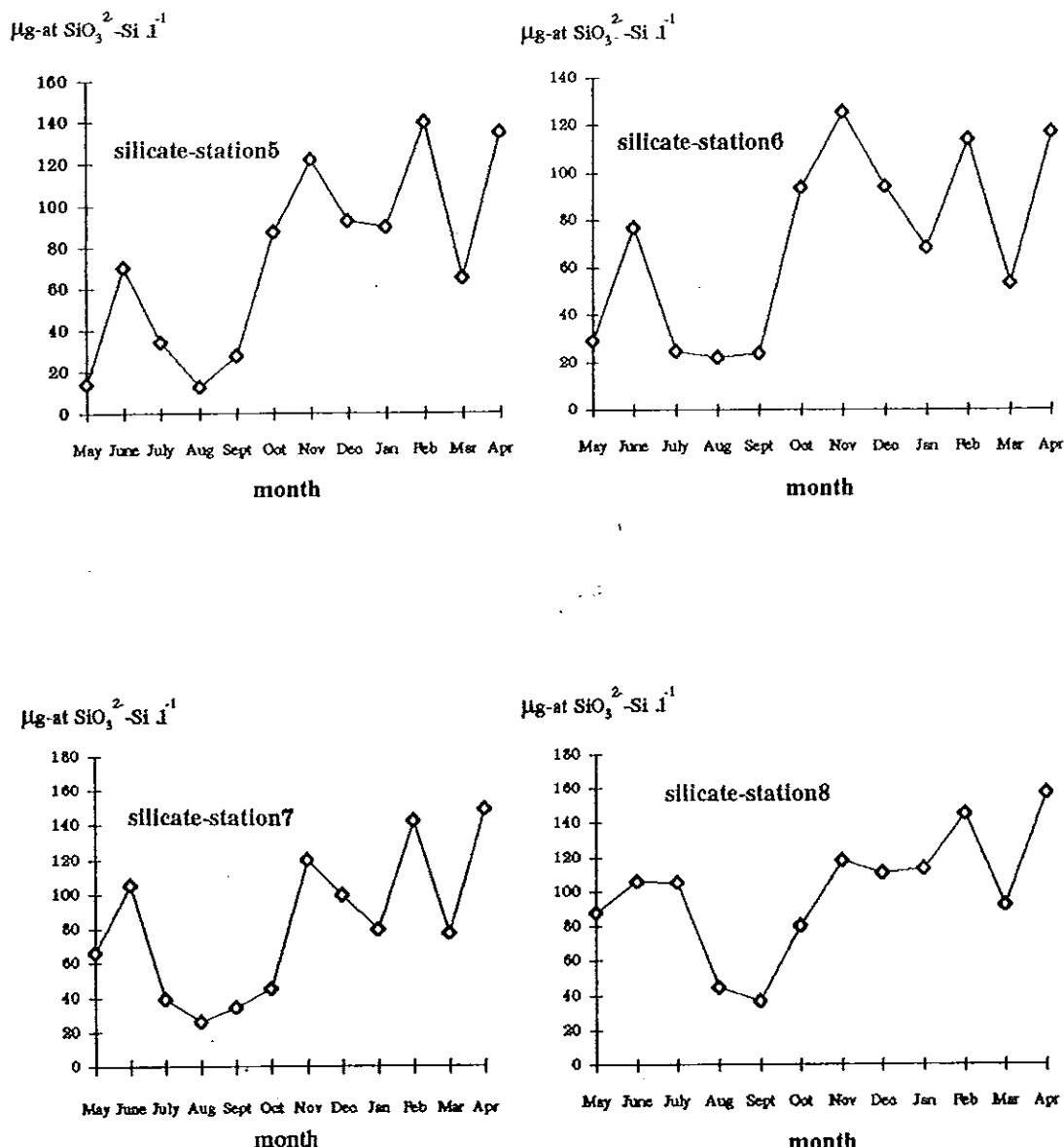
ภาพประกอบ 49 ปริมาณฟอสเฟตเฉลี่ยในแต่ละเดือนของดูดเก็บตัวอย่างที่ 1-4



ภาพประวัติ 50 ปริมาณฟอสฟอรัสเฉลี่ยในแต่ละเดือนของชุดเก็บตัวอย่างที่ 5-8



ภาพประกอบ 51 ปริมาณชิลิกะเจลี่ยในแต่ละเดือนของดูดเก็บตัวอย่างที่ 1-4



ภาพประกอบ 52 ปริมาณซิลิกาในแต่ละเดือนของจุดเก็บตัวอย่างที่ 5-8

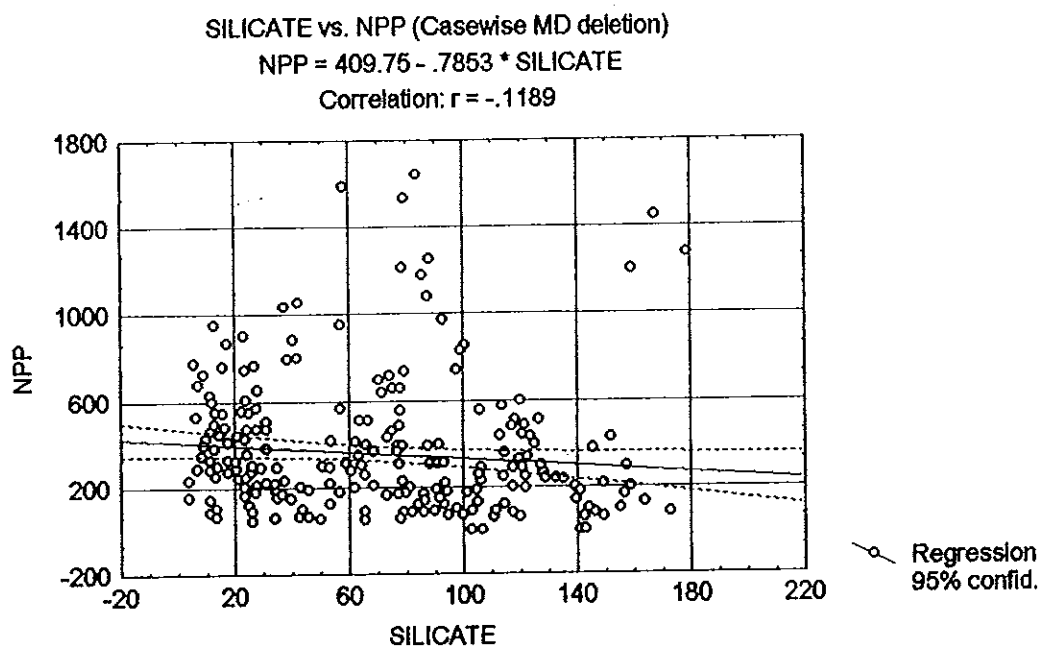
ในการวิเคราะห์ทางสถิติเพื่อหาความสัมพันธ์ระหว่างปริมาณชิลิเกตกับผลผลิตเบื้องต้นของแพลงก์ตอนพีซทูหรือต่อวันเฉลี่ยทั้งสองระดับความลึกป่าจากว่าไม่มีความสัมพันธ์กัน (ภาพประกอบ 53)

10. ปริมาณคลอร็อกซีล์ เอ (ภาพประกอบ 55-56)

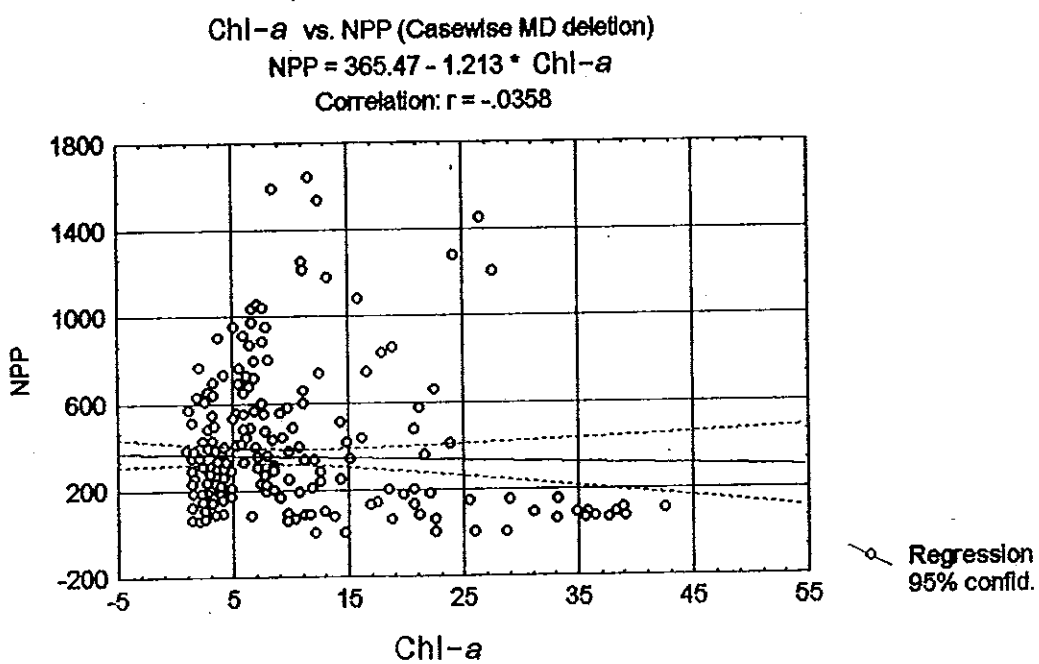
ปริมาณคลอร็อกซีล์ เอ ในแต่ละจุดเก็บตัวอย่างมีปฏิสัมพันธ์กับเดือน และในแต่ละจุดเก็บตัวอย่าง ในแต่ละเดือน มีความแตกต่างกันทางสถิติ (ตารางภาคผนวก 26)

ปริมาณคลอร็อกซีล์ เอ ในจุดเก็บตัวอย่างที่ 1 3 5 6 7 และ 8 มีค่าเฉลี่ยสูงสุดในเดือนกันยายน ซึ่งมีความแตกต่างกันทางสถิติกับเดือนอื่นๆ ทุกเดือน จุดเก็บตัวอย่างที่ 2 และ 4 มีค่าเฉลี่ยสูงสุดในเดือนพฤษภาคม และ หมายตามลำดับ ซึ่งมีความแตกต่างกันทางสถิติกับเดือนอื่นๆ ทุกเดือนเช่นกัน ค่าเฉลี่ยทั้งปีมีค่าสูงสุดในจุดเก็บตัวอย่างที่ 4 เท่ากับ $11.462 \text{ mg} \cdot \text{m}^{-3}$ และต่ำสุดในจุดเก็บตัวอย่างที่ 1 เท่ากับ $6.915 \text{ mg} \cdot \text{m}^{-3}$ (ตารางภาคผนวก 14)

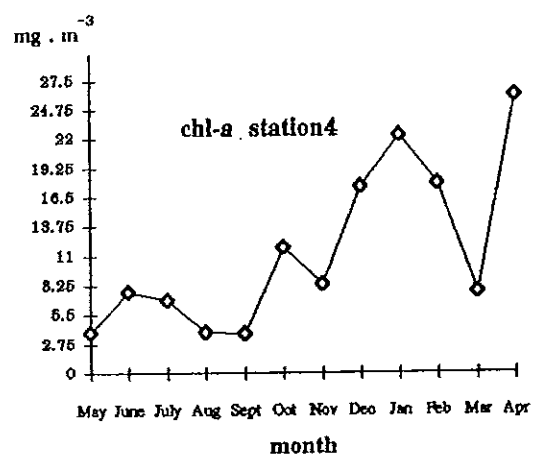
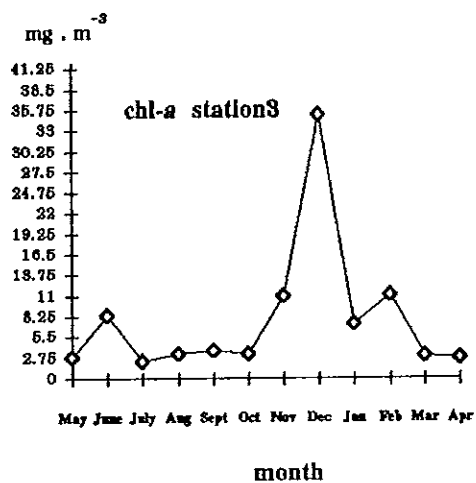
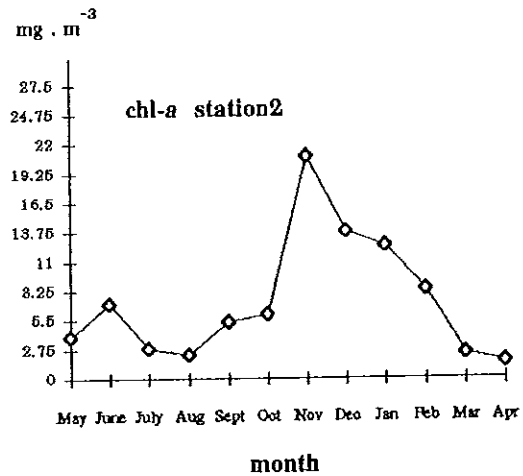
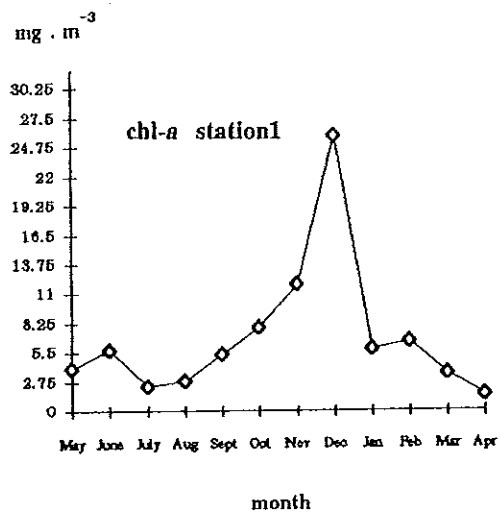
ในการวิเคราะห์ทางสถิติเพื่อหาความสัมพันธ์ระหว่างปริมาณคลอร็อกซีล์ เอ กับผลผลิตเบื้องต้นของแพลงก์ตอนพีซทูหรือต่อวันเฉลี่ยทั้งสองระดับความลึกป่าจากว่าไม่มีความสัมพันธ์กัน (ภาพประกอบ 54)



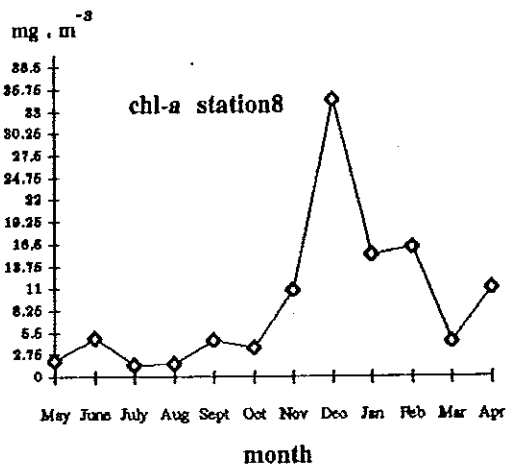
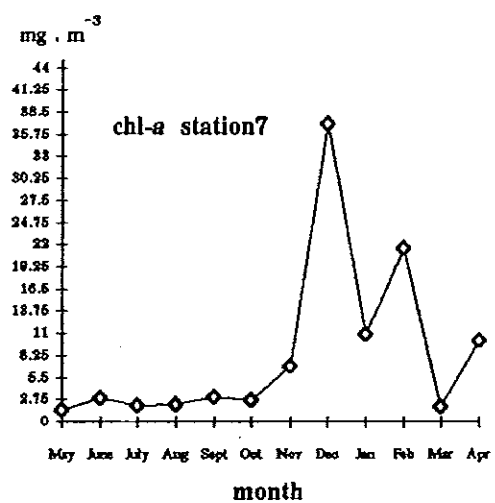
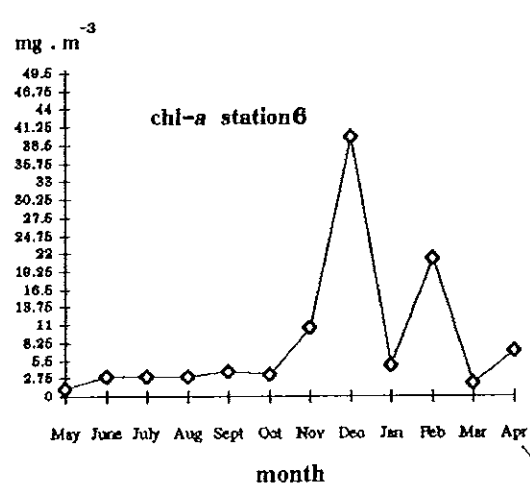
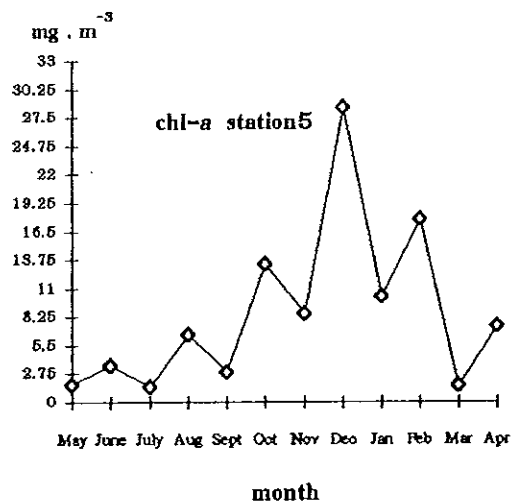
ภาพประกอบ 53 ความสัมพันธ์ระหว่างผลผลิตเบื้องต้นสุทธิต่อวันเฉลี่ยทั้งสอง
ระดับความลึกกับปริมาณซิลิกะ



ภาพประกอบ 54 ความสัมพันธ์ระหว่างผลผลิตเบื้องต้นสุทธิต่อวันเฉลี่ยทั้งสอง
ระดับความลึกกับปริมาณคลอโรฟิลล์ เอ



ภาพประคอบ 55 ปริมาณคลอโรฟิลล์ เอ เก็บในแต่ละเดือนของชุดเก็บตัวอย่างที่ 1-4



ภาพประกอบ 56 ปริมาณคลอโรฟิลล์ เอ เกลี้ยงแต่ละเดือนของจุดเก็บตัวอย่างที่ 5-8

บทที่ 4

บทวิจารณ์และสรุป

จากผลการศึกษาค่าเฉลี่ยทั้งปีของผลผลิตเบื้องต้นของแพลงก์ตอนพืชรวมต่อวันมีค่าสูงสุดในช่วงเดือนมิถุนายน รองลงมาในเดือนตุลาคมและเมษายนตามลำดับ ส่วนค่าเฉลี่ยทั้งปีของ ผลผลิตเบื้องต้นของแพลงก์ตอนพืชสูงอีกด้วย มีค่าสูงสุดในเดือนตุลาคม รองลงมาในเดือนมิถุนายนและเมษายนตามลำดับ บริเวณทะเลสาบสงขลาตอนนอกนี้เป็นบริเวณที่ได้รับอิทธิพลจากลมมรสุมตะวันตกเฉียงใต้ ตั้งแต่กลางเดือนพฤษภาคมถึงกลางเดือนตุลาคม และลมมรสุมตะวันออกเฉียงเหนือ ตั้งแต่กลางเดือนตุลาคมถึงกลางเดือนมกราคม โดยช่วงกลางเดือนกุมภาพันธ์ถึงเดือนพฤษภาคม เป็นช่วงว่างของฤดูมรสุม (กรมอุตุนิยมวิทยา, 2534 อ้างถึงใน ไชยา รัชนา, 2534 : 15-17) อิทธิพลของลมมรสุมทำให้ช่วงเวลาดังกล่าวมีปริมาณฝนตกมาก น้ำฝนที่ตกลงมาทำให้เกิดน้ำในคลบป่าพัดพาสารอาหารต่างๆ รวมทั้งน้ำเสียน้ำทึ่งจากชุมชนโดยรอบบริเวณ จากเมืองสงขลาและหาดใหญ่ จากโรงงานอุตสาหกรรม จากพื้นที่การเกษตรกรรม จากการเพาะเลี้ยงสัตว์น้ำชายฝั่งลงสู่ทะเลสาบสงขลาตอนนอก แหล่งที่มาเหล่านี้มีผลทำให้ปริมาณสารอาหารต่างๆ ที่จำเป็นต่อการเจริญเติบโตของแพลงก์ตอนพืชเพิ่มปริมาณและความเข้มข้นมากขึ้นโดยเฉพาะธาตุในต่อๆ กัน และฟอสฟอรัส(Sen, Horo and Mishra, 1992 : 141-153 ; Delgado and Camp, 1987 : 427- 441 ; Sandoval-Rojo, Flores-Verdugo and Zaragoza-Araujo, 1988 : 101-108) อิทธิพลของลมมรสุมยังทำให้มูลน้ำเกิดการหมุนเวียนมากขึ้น สารอาหารเคลื่อนย้ายจากพื้นท้องน้ำเข้าสู่ผิวน้ำได้มาก และคลื่นลมรุนแรง ซึ่งปัจจัยเหล่านี้มีผลต่อผลผลิตเบื้องต้นในเชิงทั่วไป (Mallin and Paerl, 1992 : 54 - 62 ; Janekarn and Helleberg, 1989 : 20 ; Carpenter, et al. 1986 : 21-24) ผลผลิตเบื้องต้นสูงอีกด้วยในช่วงฤดูมรสุมตะวันออกเฉียงเหนือจะมีค่าสูงกว่าในช่วงฤดูมรสุมตะวันตกเฉียงใต้เนื่องจากปริมาณฝนตกมากกว่า(ศูนย์อุตุนิยมวิทยาภาคใต้ 2534) กระแสน้ำพัดดุนแรง การผสมผasanของมวลน้ำเกิดขึ้นได้ดีกว่า และมีความเข้มแข็งที่พอเพียงตลอดวัน เช่นเดียวกับการศึกษาของจำพัน เหลือลินทร์พ์ คณิต ไชยาคำ และไหโจรน สิริมนตรากุล (2529 : 8-18) ที่ทำการศึกษาในบริเวณดียากัน พบว่า ค่าผลผลิตเบื้องต้นมีค่าสูงสุดในเดือนมกราคม ต่ำสุดในเดือนเมษายน และพบว่าอิทธิพลของลมมรสุมตะวันออกเฉียงเหนือที่มีต่อบริเวณทะเลสาบสงขลาตอนนอกมีมากกว่าลมมรสุมตะวันตกเฉียงใต้

ในการศึกษาครั้งนี้ พบร่วมกันว่าความเป็นเดือนที่มีปริมาณผ่านตกชุดในรอบปี ความลึกของน้ำในทุกชุดเก็บตัวอย่างมีค่าสูงสุด (ภาพประกอบ 37-38) ทำให้มวลน้ำมีปริมาณของแข็งแหวน ลดลง ปริมาณสารอาหารยกเว้นซิลิกาต์ และปริมาณคลอโรฟิลล์ เอ ส่วนใหญ่มีค่าสูงกว่าเดือนอื่นๆ ความเค็มของน้ำมีค่าต่ำสุดเท่ากับ 0.00 ส่วนในพันส่วนซึ่งมีสภาพเป็นน้ำจืดทั่วทั้งทะเลสาบ แต่ค่าผลผลิตเบื้องต้นในเดือนนี้มีค่าต่ำสุดในรอบปี เมื่อจะอยู่ในช่วงฤดูมรสุมตะวันออกเฉียงเหนือและมีปริมาณสารอาหารในมวลน้ำมากก้าวตาม เนื่องจากน้ำในลำปางซึ่งเกิดจากฝนที่ตกลงมาในปริมาณมาก ได้กัดเซาะและหักห_ABIยดินในพื้นที่ชั่วโมงน้ำแล้วพัดพาตะกอนดินลงสู่ทะเลสาบ มวลน้ำมีปริมาณของแข็งแหวนโดยเกิดขึ้นมาก ทำให้น้ำในเดือนนี้มีความชุ่นมากที่สุด (จำพัน เนลล์สันทรัพย์ คณิต ไชยาคำ และไฟโตรัน ศรีมนตราราภรณ์, 2529: 8)

ของแข็งแหวนโดยในน้ำมีผลให้คุณสมบัติทางเคมีของน้ำเปลี่ยนไป อุณหภูมิของน้ำลดลง ความชุ่นของน้ำเพิ่มขึ้น มีผลให้ผลผลิตเบื้องต้นลดลง ทั้งยังลดความหนาแน่น และเปลี่ยนแปลงโครงสร้างประชากของ benthic diatom (Ryan, 1991 : 207-221; Guildford, Healey and Hecky, 1987 : 1408-1417) น้ำที่มีความชุ่นสูงจะทำให้การส่องทะลุของแสงลงสู่ชั้วน้ำ (light penetration)ลดน้อยลง ความโปร่งแสงมีค่าต่ำ (low transparency) (Cederwall and Elmgren, 1990 : 109-112) ซึ่งความโปร่งแสงของน้ำเป็นปัจจัยจำกัดที่สำคัญต่อผลผลิตเบื้องต้นบริเวณเอสทูรี แต่ไม่มีผลต่อปริมาณคลอโรฟิลล์ เอ ปริมาณสารอาหารในน้ำจะมีผลกระทบต่อปริมาณคลอโรฟิลล์ เอ มากกว่าผลผลิตเบื้องต้น (Shen, 1993 : 47-51) เมื่อร่วมกันน้ำในเดือนอันวัฒน์มีปริมาณสารอาหารและคลอโรฟิลล์ เอ มากที่สุด แต่ให้ค่าผลผลิตเบื้องต้นต่ำสุด คาดว่าความชุ่นของน้ำหรือปริมาณของแข็งแหวนโดยที่มากในมวลน้ำ จะทำให้แสงส่องทะลุลงสู่มวลน้ำได้น้อยลง การสังเคราะห์แสงของแพลงก์ตอนพืชจึงเกิดได้น้อย (De, et al. 1987 : 39) ทั้งความเค็มของน้ำที่ลดลงอย่างมากเป็นปัจจัยสำคัญที่ควบคุมการแพร่กระจายจำนวนประชากรของแพลงก์ตอนพืชและผลผลิตเบื้องต้น (Devassy and Goes, 1989 : 485-501)

ส่วนปริมาณคลอโรฟิลล์ เอ ซึ่งมีค่าสูงน้ำ คาดว่าในสภาพที่มีแสงจำกัดแพลงก์ตอนพืชอาจสร้างเม็ดคลอโรพลาสต์เพิ่มขึ้นแต่สังเคราะห์แสงได้น้อย(Brewster and Reeder, 1993 : 49) หรือมวลน้ำเกิดการหมุนเวียนได้ดีขึ้นเนื่องมาจากกระแสลมอุ่นแรง ทำให้ตะกอนจากพื้นท้องน้ำแข็งแหวนโดยในมวลน้ำมาก เพราะระดับน้ำไม่ลึกนัก จึงมีประชากร benthic diatom

ติดมากับตะกอนในมวลน้ำมาก (Shaffer and Sullivan, 1988 : 132-140) และการเก็บตัวอย่างเพื่อทำการวิเคราะห์น้ำไม่ได้กรองเอาตะกอนออกก่อน

จุดเก็บตัวอย่างที่ทำการศึกษาทั้ง 8 จุดนั้น บริเวณที่มีค่าผลผลิตเบื้องต้นสูงมาก เป็นบริเวณที่ได้รับผลกระทบจากน้ำเสียน้ำทิ้ง ของเสียต่างๆ (Antoine, 1987 : 69-82) ทั้ง จากโรงงานอุตสาหกรรม จากชุมชนเมืองสองข้าง หาดใหญ่ จากพื้นที่เกษตรกรรม และ บริเวณ ปากคลองหรือลำน้ำต่างๆ ที่ในลุ่มน้ำทิ้ง เสื่อม จุดเก็บตัวอย่างที่ 4 ที่ 3 ที่ 2 และที่ 1 โดยจุดเก็บตัวอย่างที่ 4 มีค่าผลผลิตเบื้องต้นเฉลี่ยทั้งปี ที่ระดับความลึก 0.5 เมตรสูงสุด และที่ระดับความลึก 1.0 เมตร มีค่าของลงมาจากการเก็บตัวอย่างที่ 3 เนื่อง จากบริเวณจุดเก็บตัวอย่างที่ 4 ตั้งอยู่บริเวณหน้าแหลมโพธิ์ซึ่งอยู่ใกล้กับปากคลองอุตสาหกรรม คาดว่าได้รับอิทธิพลจากน้ำเสียน้ำทิ้งของชุมชนเมืองหาดใหญ่ ในงานอุตสาหกรรม ที่ ระบายน้ำลงสู่ลำคลอง หรือน้ำในลุ่มน้ำที่พัดพาสารอาหารจากพื้นดิน และแหล่งเกษตรกรรมลง สู่ลำคลอง ทำให้สารอาหารในน้ำมีปริมาณมาก โดยเฉพาะในฤดูมีค่าเฉลี่ยทั้งปีสูงสุด (ตารางภาคผนวก 11) เสื่อมเนื่องจาก การศึกษาบริเวณปากคลองบางใหญ่และคลองท่าจีน จังหวัดภูเก็ต ซึ่งเป็นแหล่งรองรับน้ำเสียน้ำทิ้งจากแหล่งต่างๆ ในเมืองภูเก็ต (สากัด ฐินะกุล, 2524 : 36 - 37) และบริเวณปากแม่น้ำแยงซีในประเทศไทย (Zhu, et al. 1993 : 38 - 51) พบ ว่าบริเวณเหล่านี้ผลผลิตเบื้องต้นมีค่าสูง

บริเวณจุดเก็บตัวอย่างที่ 2 นอกจากอิทธิพลของลงมาสูมตะวันตกเฉียงใต้ และลง มาสูมตะวันออกเฉียงเหนือ เช่นเดียวกับจุดเก็บตัวอย่างอื่นๆ แล้ว คาดว่าอิทธิพลจากน้ำที่ แหลมจากคลองชวางและคลองพะวง ซึ่งเป็นแหล่งรองรับน้ำเสียน้ำทิ้งจากชุมชนเมือง สองข้าง จากท่าเที่ยบเชื่อประมงสองข้าง บ้านท่าสะอ้าน จากโรงงานอุตสาหกรรม และ อิทธิพลของน้ำเขื่อนน้ำลังจากน้ำทะเลในอ่าวไทย มีผลทำให้ปริมาณสารอาหารในน้ำมีมาก โดยเฉพาะปริมาณฟอสเฟต มีค่าเฉลี่ยทั้งปีสูงกว่าทุกจุดเก็บตัวอย่าง (ตารางภาคผนวก 12) และปริมาณในฤดูมีค่าเฉลี่ยทั้งปีของลงมาจากการเก็บตัวอย่างที่ 4 (ตารางภาคผนวก 11)

จุดเก็บตัวอย่างที่ 3 บ้านสวนใหม่ ต.กาภยอ เป็นบริเวณที่มีการดึงปลากะพง ชาวในกระชังจำนวนมาก คาดว่าเป็นสาเหตุหนึ่งที่ทำให้มวลน้ำมีปริมาณสารอินทรีย์มาก และสลายตัวปลดปล่อยสารอาหารแก่แพลงก์ตอนพืช มีผลให้จำนวนประชากรแพลงก์ตอน พืชเพิ่มมากขึ้น ผลผลิตเบื้องต้นจึงมีค่าสูง (Diana, Lin ; and Schneeberger, 1991 : 323 - 341) โดยเฉพาะอย่างยิ่งในเดือนมิถุนายน ค่าผลผลิตเบื้องต้นรวมต่อวันมีค่าสูงสุด โดยที่ ระดับความลึก 0.5 เมตรมีค่าเท่ากับ $3793.4 \text{ mgC.m}^{-3}.\text{d}^{-1}$ และ ที่ระดับความลึก 1.0 เมตรมี

ค่าเท่ากับ $3378.23 \text{ mgC.m}^{-3}.\text{d}^{-1}$ แต่ค่าผลผลิตเบื้องต้นสูงอีกต่อวัน ที่ระดับความลึก 0.5 เมตร มีค่าน้อยกว่าจุดเก็บตัวอย่างที่ 2 ซึ่งเป็นบริเวณที่มีค่าสูงสุดในเดือนนี้ (ภาพประกอบ 7) คาดว่าอัตราการใช้ออกซิเจนในการหายใจมีอัตราสูง เนื่องจากมีสิ่งมีชีวิตในน้ำทั้งแพลงก์ตอนพืช แพลงก์ตอนสัตว์ แบคทีเรีย และสิ่งมีชีวิตอื่น ๆ อยู่มาก

ในเดือนธันวาคม จุดเก็บตัวอย่างที่ 1 และที่ 2 เป็นบริเวณที่มีค่าผลผลิตเบื้องต้นรวมต่อวัน ที่ระดับความลึก 0.5 เมตร และ 1.0 เมตร ค่าสูงเท่ากับ 92.79 และ $59.86 \text{ mgC.m}^{-3}.\text{d}^{-1}$ ตามลำดับ และผลผลิตเบื้องต้นสูงอีกต่อวัน เท่ากับ $0 \text{ mgC.m}^{-3}.\text{d}^{-1}$ ทั้งสองระดับความลึก อนิบาลัยได้ว่าปริมาณออกซิเจนในน้ำที่แพลงก์ตอนพืชสร้างขึ้นจากการสังเคราะห์แสง ถูกใช้ไปในการหายใจเท่ากับปริมาณออกซิเจนที่สร้างขึ้น (อัตราการสร้างเท่ากับอัตราการใช้) จึงทำให้ผลผลิตเบื้องต้นสูงอีกต่อวัน เท่ากับ $0 \text{ mgC.m}^{-3}.\text{d}^{-1}$

จุดเก็บตัวอย่างที่ 2 เป็นบริเวณที่มีปริมาณของแสงแพร่กระจายโดยในเดือนธันวาคม มากที่สุดเมื่อเปรียบเทียบกับจุดเก็บตัวอย่างอื่น ๆ และมีค่าเฉลี่ยทั้งปีสูงสุด (ตารางภาคผนวก 9) และเป็นบริเวณที่วัดค่าในวันเดียวกันกับจุดเก็บตัวอย่างที่ 1 ซึ่งความเข้มของแสง ในวันที่วัดค่าผลผลิตเบื้องต้นทั้งสองบริเวณนี้ ต่ำกว่าทุกบริเวณและทุกเดือนที่วัด (ภาพประกอบภาคผนวก 1-12) เนื่องจากในวันที่วัดค่านี้ ห้องพ้ามีเมฆปกคลุมมาก แสงแดด ส่องผ่านลงมาได้ไม่ติด แม้ว่าจุดเก็บตัวอย่างที่ 1 ปริมาณของแสงแพร่กระจายมีค่าต่ำกว่าจุดเก็บตัวอย่างที่ 2 แต่บนน้ำมีความชุ่มสูงอันเกิดจากคลื่นลมแรงเพราะอยู่ใกล้กับช่องเปิดออกสู่อ่าวไทย จึงได้รับกระแสลมเต็มที่ การส่องทะลุผ่านของแสงลงสู่น้ำเกิดขึ้นได้น้อย มีผลให้อัตราการสังเคราะห์แสงมีค่าต่ำ (*Li, et al. 1989 : 71 - 77*)

จุดเก็บตัวอย่างที่ 7 มีค่าเฉลี่ยผลผลิตเบื้องต้นรวมและสูงอีกต่อวันต่อไป อนิบาลัยได้ว่า บริเวณนี้เป็นบริเวณที่มีระดับน้ำตื้น ความลึกเฉลี่ยในแต่ละเดือนส่วนใหญ่ต่ำกว่าจุดอื่น ๆ กระแสน้ำ กระแสน้ำและคลื่น ทำให้มวนน้ำหมุนเวียนได้ดี ตะกอนจากพื้นน้ำถูกทำให้พุ่งกระชาญสูมวนน้ำมากขึ้น โดยเฉพาะอย่างยิ่งในช่วงฤดูหนาวของเดือนธันวาคม ลักษณะนี้สังเกตได้ในเดือนมกราคมและเดือนกุมภาพันธ์ ปริมาณของแสงแพร่กระจายมีค่าสูง (ภาพประกอบ 40) ส่งผลให้漫น้ำมีความชุ่มสูง แสงส่องผ่านลงสู่น้ำได้น้อย การสังเคราะห์แสงของแพลงก์ตอนพืชเกิดขึ้นได้น้อย (*De, et al. 1987 : 39*) นอกจากนั้นล้าน้ำธรรมชาติที่ไหลลงสู่ทะเลสาบบริเวณนี้อาจพัดพาสารอาหารมาในปริมาณน้อย โดยเฉพาะปริมาณในตระหะแม้ในเดือนธันวาคมที่มีน้ำไหลบ่ำมาก (ตารางภาคผนวก 11) คาดว่าล้าน้ำเหล่านี้ได้เป็นแหล่งรองรับน้ำเสียน้ำทิ้งจากชุมชนเมืองขนาดใหญ่ เช่น สงขลาและหาดใหญ่ หรือจาก

โรงงานอุตสาหกรรม ดังเช่น คลองชูตะนาวหรือคลองพะวง แหล่งที่มาของสารอาหารในมวลน้ำอาจมาจากพื้นดินและสารเคมีที่ใช้ในการเกษตรเป็นส่วนใหญ่ ส่วนบริเวณดูดเก็บตัวอย่างที่ 8 มีค่าเฉลี่ยทั้งปีของผลผลิตเบื้องต้นสูงขึ้นกว่าตัวอย่างที่ 7 แต่มีค่าผลผลิตเบื้องต้นสูงขึ้นกว่าตัวอย่างที่ 25 อย่างมาก คาดว่าสาเหตุของการเพิ่มขึ้นนี้อาจมีสาเหตุจากการเพิ่มปริมาณการผลิตสูงกว่า อาจเป็นเพราะว่าประชากรของสิ่งมีชีวิตในน้ำทั้งแพลงก์ตอนพืช แพลงก์ตอนสัตว์ แบคทีเรีย และสิ่งมีชีวิตอื่น ๆ ที่ระดับความลึก 1.0 เมตร มีน้อยกว่าที่ระดับความลึก 0.5 เมตร สังเกตได้จากค่าเฉลี่ยทั้งปีของผลผลิตเบื้องต้นรวมต่อวัน ที่ระดับความลึก 0.5 เมตร มีค่าสูงกว่าในดูดเก็บตัวอย่างที่ 7 นอกจากนี้ความลึกเฉลี่ยในบริเวณดูดเก็บตัวอย่างที่ 8 ส่วนใหญ่มีค่าสูงกว่าความลึกเฉลี่ยในดูดเก็บตัวอย่างที่ 7 (ภาพประกอบ 38) และปริมาณของแข็งแหวนลอยในเดือนมกราคมและเดือนกุมภาพันธ์มีค่าต่ำกว่า (ภาพประกอบ 40)

การวิเคราะห์ทางสถิติเพื่อหาความสัมพันธ์ระหว่างปัจจัยทางสภาวะแวดล้อมกับผลผลิตเบื้องต้นสูงขึ้นเฉลี่ยทั้งสองระดับความลึกทดลองครรภะเวลากลางวัน (พฤษภาคม 2536 - เมษายน 2537) นั้น อุณหภูมิของน้ำและความเป็นกรด-เบส ในมีความสัมพันธ์กับตระหง่านกับผลการศึกษาความสัมพันธ์ของปัจจัยทางกายภาพและเคมีกับผลผลิตเบื้องต้นบริเวณช่วงน้ำ Danmukunpur, Orissa ประเทศอินเดีย พบว่าอุณหภูมิและความเป็นกรด-เบสมีความสัมพันธ์ไปในทางเดียวกันกับผลผลิตเบื้องต้นสูงและผลผลิตเบื้องต้นรวม (Verma and Mohanty, 1994 : 625 - 629)

ผลผลิตเบื้องต้นสูงขึ้นเฉลี่ยทั้งสองระดับความลึกมีความสัมพันธ์กับความลึกของมวลน้ำและปริมาณของแข็งแหวนลอยไปในทางตรงกันข้ามน้อยมากกล่าวได้ว่าไม่มีความสัมพันธ์กัน ($r = -.17$ และ $r = -.24$) (ภาพประกอบ 36 และ 41) โดยทั่วไปผลผลิตเบื้องต้น จะมีความสัมพันธ์ไปในทางตรงกันข้ามกับระดับความลึกของมวลน้ำ (Ahmad, 1990 : 1-6) และปริมาณของแข็งแหวนลอย (De, Jana and Choudhury, 1990 : 98-103) เนื่องจากความเข้มของแสงจะลดลงตามระดับความลึกและปริมาณของแข็งแหวนลอยที่เพิ่มขึ้น แต่การศึกษาครั้งนี้ความลึกของมวลน้ำโดยเฉลี่ยไม่สูงมากนักและปริมาณของแข็งแหวนลอยส่วนใหญ่มีค่าไม่สูงนัก ยกเว้นในช่วงเดือนพฤษภาคมและมิถุนายน (ตารางภาคผนวก 8 และ 9)

ผลผลิตเบื้องต้นสุทธิต่อวันเฉลี่ยทั้งสองระดับความลึกไม่มีความสัมพันธ์กับปริมาณสารอาหารในไตรท์ และฟอสเฟต (ภาพประกอบ 42 และ 48) เมื่อว่าสารอาหารในน้ำจะเป็นปัจจัยควบคุมการเจริญเติบโตของแพลงก์ตอนพืชและเม็ดถูกน้ำไปใช้ปริมาณสารอาหารที่จะลดลง คือมีความสัมพันธ์ไปในทางตรงกันข้าม (Kuenzler, Belenz and Rudek, 1986 : abstract) แต่ปัจจัยที่ควบคุมผลผลิตเบื้องต้นไม่ใช้ปริมาณในไตรท์ ปริมาณฟอสเฟตหรือปริมาณสารอาหารอย่างโดย平均หนึ่งเพียงอย่างเดียว การที่มีสารอาหารชนิดใดชนิดหนึ่งในปริมาณมากอาจทำให้โครงสร้างชุมชนของแพลงก์ตอนพืชเปลี่ยนแปลง แต่ผลผลิตเบื้องต้นโดยรวมไม่เปลี่ยนแปลง (Dodds, Johnson and Priscu, 1988 : 44) ผลผลิตเบื้องต้นสุทธิต่อวันเฉลี่ยทั้งสองระดับความลึกมีความสัมพันธ์กับปริมาณในไตรท์ไปในทางตรงกันข้ามน้อยมากจนกล่าวได้ว่าไม่มีความสัมพันธ์กัน (ภาพประกอบ 47) อันนี้ได้ร่วมในบางสภาวะการเจริญเติบโตของแพลงก์ตอนพืชถูกจำกัดโดยฟอสฟอรัสมากกว่าในไตรเจน (Harrison, et al. 1990 : 79 - 87) หรือแพลงก์ตอนพืชใช้อาตุในไตรเจนในรูปอิ่มมากกว่าในไตรท และปัจจัยที่สำคัญที่สุดต่อผลผลิตเบื้องต้นคือ แสง ถึงแม้ว่าในกรณีจะมีปริมาณในไตรทและสารอาหารอื่น ๆ มากก็ตาม (Antoine, 1987 : 69-82 ; Fabiano, 1984 : 43-58 ; Bhargava and Saxena, 1987 : 455 - 461)

ปริมาณคลอร์ฟิลล์ เอ ไม่มีความสัมพันธ์ผลผลิตเบื้องต้นสุทธิต่อวันเฉลี่ยทั้งสองระดับความลึกเข่นเดียวกับในไตรท (ภาพประกอบ 55) อาจเป็นเพราะว่าคลอร์ฟิลล์ เอ มีการสลายตัวไปเป็นพีโอลไฟทินในขณะที่ทำการสกัดได้ง่าย ทำให้ค่าที่รอดได้ต่ำกว่าความเป็นจริง (Lawrenzen, 1967 : 343 - 346 ข้างถัดในศิริเทียน ศรีราษฎร์, 2520 : 4) การวิเคราะห์ในห้องปฏิบัติการไม่มีเครื่องมือที่มีประสิทธิภาพสูง คือ Spectrofluorometer และในบางช่วงเวลาปริมาณคลอร์ฟิลล์ เอ อาจมีความแปรผันได้เนื่องจากแพลงก์ตอนพืชสร้างคลอร์โพรพลาสต์เพิ่มมากขึ้นในสภาพที่มีแสงจำกัด (Brewster and Reeder, 1993 : 49) แต่เมื่อวิเคราะห์ความสัมพันธ์กับผลผลิตเบื้องต้นสุทธิต่อวันเฉลี่ยทั้งสองระดับความลึกในแต่ละเดือน (จำนวนตัวอย่าง 24 ตัวอย่าง) พบว่าในเดือนกรกฎาคม สิงหาคม ตุลาคม มีนาคม และเมษายนมีความสัมพันธ์ไปในทางเดียวกันอย่างมากกับปริมาณคลอร์ฟิลล์ เอ (ตาราง 3)

ตาราง 3 ค่าสัมประสิทธิ์สหสัมพันธ์(correlation coefficient, r) ในแต่ละเดือน

ในการวิเคราะห์ความสัมพันธ์ระหว่างผลผลิตเบื้องต้นสุทธิต่อวัน
เฉลี่ยทั้งสองระดับความลึกกับปริมาณคลอรีฟิลล์ เอ

เดือน	ค่า r	เดือน	ค่า r
พฤษภาคม	.4053	พฤษภาคม	-.3467
มิถุนายน	.5247*	ธันวาคม	.4912*
กรกฎาคม	.7648**	มกราคม	.2726
สิงหาคม	.8741**	กุมภาพันธ์	-.2833
กันยายน	.4782*	มีนาคม	.9364**
ตุลาคม	.8876**	เมษายน	.8037**

หมายเหตุ * ระดับนัยสำคัญ .01 ** ระดับนัยสำคัญ .001

ในการวัดค่าผลผลิตเบื้องต้นในทะเลสาบสงขลาตอนอกตั้งแต่เดือนพฤษภาคม 2536 - เดือนเมษายน 2537 ผลผลิตเบื้องต้นรวมต่อวัน ที่ระดับความลึก 0.5 เมตร มีค่าอยู่ ในช่วง 59.86 - 3793.4 mgC.m⁻³.d⁻¹ โดยมีค่าเฉลี่ยสูงสุด 1307.59 mgC.m⁻³.d⁻¹ และที่ระดับความลึก 1.0 เมตรมีค่าอยู่ในช่วง 59.86 - 3378.23 mgC.m⁻³.d⁻¹ โดยมีค่าเฉลี่ยสูงสุด 1032.9 mgC.m⁻³.d⁻¹

ผลผลิตเบื้องต้นสุทธิต่อวัน ที่ระดับความลึก 0.5 เมตร มีค่าอยู่ในช่วง 0 - 1981.34 mgC.m⁻³.d⁻¹ โดยมีค่าเฉลี่ยสูงสุด 753.01 mgC.m⁻³.d⁻¹ และที่ระดับความลึก 1.0 เมตร มีค่าอยู่ในช่วง 0 - 1011.21 mgC.m⁻³.d⁻¹ โดยมีค่าเฉลี่ยสูงสุด 491.25 mgC.m⁻³.d⁻¹ ซึ่งค่าผลผลิตเบื้องต้นที่วัดได้นี้มีค่าค่อนข้างสูง จดได้ว่าทะเลสาบสงขลาตอนอกเป็นแหล่งน้ำที่มีความชุ่มสมบูรณ์แหน่งหนึ่ง และเมื่อเปรียบเทียบค่าผลผลิตเบื้องต้นกับบริเวณอื่นๆ ที่ทำการวัดด้วยวิธีเดียวกัน พบร่วมมีค่าสูงกว่าบริเวณอื่นๆ เช่น ปักกอกของบางใหญ่และปักกอกของท่าจีน(สาการ สุนະกุล, 2524 : บทคัดย่อ) และบริเวณอ่าว Vizhinjam ประเทศอินเดีย (Jacob and Kumar, 1987 : 1-20) (ตาราง 4) ยังเนื่องมาจากการความแตกต่างทางสภาพภูมิศาสตร์ ฉนวนกุ้มของน้ำ ความเข้มแสง ปริมาณสารอาหาร ปัจจัยทางสภาวะแวดล้อมอื่นๆ ชนิดและการแพร่กระจายของ โครงสร้างของชุมชน และลักษณะทางนิเวศของแพลงก์ตอนพืช (Huang, Chen and Yuan, 1989 : 126 ; Boston, Adams and Madsen, 1989 : 27-57) ส่วนบริเวณอื่นที่ไม่ได้วัดค่าผลผลิตเบื้องต้นด้วยวิธีนี้ไม่สามารถเปรียบเทียบค่าได้เนื่องจาก

ความแตกต่างในวิธีการวัด เพียงแต่ต้องการแสดงให้ทราบค่าที่ได้ทำการศึกษามาแล้วว่ามีปริมาณเพียงใด

ตาราง 4 ค่าผลผลิตเบื้องต้นจากการศึกษาที่ผ่านมาในบริเวณต่างๆ

สถานที่ศึกษา	ผลผลิตเบื้องต้น	วิธีการวัด	ที่มา
ทะเลสาบสงขลาตอนนอก	GPP 59.86 - 3793.4 mgC.m ⁻² .d ⁻¹ (0.5 m) 59.86 - 3378.23mgC.m ⁻² .d ⁻¹ (1.0 m) NPP 0 - 1981.34mgC.m ⁻² .d ⁻¹ (0.5 m) 0 - 1011.21mgC.m ⁻² .d ⁻¹ (1.0 m)	light and dark bottle	การศึกษาครั้งที่
ทะเลสาบสงขลาตอนนอก	1977.4 mgC.m ⁻² .d ⁻¹	Chlorophyll analysis	สำนัก เทคโนโลยีทรัพยากรด ศูนย์ วิทยาศาสตร์และ ไฮบริด ศูนย์นวัตกรรม (2529 : 7)
ช่องเม็ก	1099 mgC.m ⁻² .d ⁻¹	light and dark bottle	สถาบัน วิจัยฯ (2524)
ปากคลองบางไผ่	2897 mgC.m ⁻² .d ⁻¹		
ปากคลองท่าchein	3217 mgC.m ⁻² .d ⁻¹		
ช่องทางสุรินทร์	85 mgC.m ⁻² .d ⁻¹	¹⁴ C technique	Wium-Anderson (1977 : 1-4)
บริเวณนอกช่องออกไป 24 กม.	690 mgC.m ⁻² .d ⁻¹		
ช่อง Vizhinjam อินเดีย	GPP 114 -672 mgC.m ⁻² .d ⁻¹	light and dark bottle	Jacob and Kumar (1984 : 66-70)
ทะเลเปิดบริเวณใกล้เคียง	NPP 32 -429 mgC.m ⁻² .d ⁻¹ GPP 185 -739 mgC.m ⁻² .d ⁻¹ NPP 114 -411 mgC.m ⁻² .d ⁻¹		

จากการศึกษาผลผลิตเบื้องต้นของแพลงก์ตอนพืชในบริเวณที่ได้รับอิทธิพลหรือผลกระทบจากน้ำเสียทึ่งที่ระบายน้ำออกจากชุมชนโดยรอบ จัดเรียงงานอุดสานกรร姆 แหล่งเกษตรกรรwm จากนาถึงและกางเพาะเลี้ยงสัตว์น้ำชายฝั่งจะมีค่าสูง เช่น บริเวณปากคลอง

ชุ่ะเกา บริเวณบ้านท่าสะอ้าน บริเวณปากอ่าวและเกาะยอ บริมฝั่นชายหาดที่มีอยู่มากในน้ำเป็นปัจจัยสำคัญต่อการเจริญเติบโตของแพลงก์ตอนพืช แต่ปัจจัยที่สำคัญที่สุดที่มีต่อผลผลิตเบื้องต้นคือ แสง การส่องผ่านของแสงลงสู่ชั้นน้ำเกี่ยวข้องกับการเปลี่ยนแปลงชั้นลงในแต่ละเดือนของผลผลิตเบื้องต้น (Singh, 1984 : 90-92) ความเข้มของแสงที่มีมากเพียงพอย่อมส่งผลโดยตรงให้อัตราการสังเคราะห์แสงเพิ่มขึ้น ถ้าหากแสงถูกสกัดกั้นทำให้ส่องผ่านลงสู่ชั้นน้ำได้น้อยลงหรือมีความเข้มของแสงน้อยเนื่องจากห้องฟ้ามีเมฆมากบดบังดวงอาทิตย์ไว้ หรือมีปริมาณของเมฆแพร่กระจายในน้ำมาก ทำให้มวลน้ำมีความชุ่นสูงย่อมส่งผลให้อัตราการสังเคราะห์แสงลดลง ผลผลิตเบื้องต้นจึงมีค่าต่ำ ถึงแม้ว่าจะมีปัจจัยทางสภาพแวดล้อมอื่นที่จำเป็น เช่นสารอาหาร อุณหภูมิ คลอรอฟิลล์ เอ ฯลฯ เครื่องหมายก็ตาม

อิทธิพลของลมมรสุมตะวันตกเฉียงใต้และมรสุมตะวันออกเฉียงเหนือส่งผลให้เกิดการเปลี่ยนแปลงตามฤดูกาลของผลผลิตเบื้องต้น ปริมาณฝนที่ตกลงมามากในฤดูมรสุมทำให้เกิดน้ำไหลบ่าพัดพาสารอาหารจากแหล่งต่างๆลงสู่ทะเลสาบ แต่เดือนที่มีฝนตกมากที่สุดในรอบปีคือเดือนธันวาคม มีค่าผลผลิตเบื้องต้นต่ำสุด เมื่อว่าปริมาณสารอาหารจะมีค่าสูงสุดก็ตาม คาดว่าเกิดจากปริมาณของเมฆแพร่กระจายในมวลน้ำมีความชุ่นสูง แสงส่องผ่านลงสู่ชั้นน้ำได้น้อย ทั้งความเค็มของน้ำที่ลดลงจนมีค่าเท่ากับ 0.00 ส่วนในพันส่วนร้อยมีสภาพเป็นน้ำจืด เป็นปัจจัยสำคัญที่ควบคุมการแพร่กระจายจำนวนปะชากรแพลงก์ตอนพืชและผลผลิตเบื้องต้น (Devassy and Goes, 1989 : 485-501)

ฤดูมรสุมตะวันออกเฉียงเหนือเป็นช่วงเวลาที่มีค่าผลผลิตเบื้องต้นสูงกว่าฤดูมรสุมตะวันตกเฉียงใต้เนื่องจากความรุนแรงของกระแสลมที่พัดเข้าสู่บริเวณทะเลสาบอย่างเต็มที่ ไม่มีทิวเชาสกัดกั้น เพาะะอยู่ทางทิศตะวันออก คลื่นลมรุนแรงส่งผลให้มวลน้ำเกิดการหมุนเวียนได้ดี สารอาหารต่างๆจากพื้นน้ำเข้าสู่ผิวน้ำมากขึ้น มีฝนตกมากกว่า ปริมาณฝนที่ตกลงมาทำให้สารอาหารในมวลน้ำเพิ่มมากขึ้น

ปัจจัยทางสภาพแวดล้อมที่เกี่ยวข้องหรือมีความสัมพันธ์กับผลผลิตเบื้องต้นของแพลงก์ตอนพืชมีทั้งปัจจัยทางกายภาพและทางเคมี โดยปริมาณของเมฆแพร่กระจายมีความสัมพันธ์กับการส่องผ่านของแสงลงสู่ชั้นน้ำในทางตรงกันข้ามและส่งผลต่อการสังเคราะห์แสงมากที่สุด (De, Jana and Choudhury, 1990 : 98-103 ; Mallin and Paerl, 1992 : 54-62)

ส่วนสารอาหารนั้น "ไม่มีชนิดใดชนิดหนึ่งที่ควบคุมผลผลิตเบื้องต้น สารอาหารหลายชนิดที่มีปริมาณมากพอยังจะทำให้ผลผลิตเบื้องต้นโดยรวมเพิ่มขึ้น" (Dodds, Johnson and Priscu, 1988 : 44)

ในอนาคตแหล่งน้ำแหล่งนี้จะได้รับผลกระทบจากการพัฒนาด้านต่างๆมากขึ้นกว่าเดิม โดยเฉพาะโครงการที่ส่งผลกระทบอย่างมากต่อระบบบินิเวศของแหล่งน้ำ เช่น โครงการสร้างคันกันน้ำเค็มทะเลสาบสงขลาที่อยู่ในระหว่างการศึกษาความเป็นไปได้ โครงการชุดยุ่งค์ลดตระเตรียมสาบสงขลาฯ การศึกษาครั้งนี้เป็นเพียงข้อมูลพื้นฐานส่วนหนึ่งเท่านั้น กับระบบนิเวศในด้านห่วงโซ่ออาหาร เป็นตัวชี้วัดให้ทราบถึงการเปลี่ยนแปลงของสภาวะแวดล้อมโดยเฉพาะป্রากภูภารณ์ eutrophication และเป็นข้อมูลในการประเมินศักยภาพ ความอุดมสมบูรณ์ของแหล่งน้ำ ซึ่งมีข้อจำกัดในด้านงบประมาณและวัสดุอุปกรณ์ที่จำเป็น จึงไม่สามารถใช้วิธีการบอน-14 ที่ได้รับการยอมรับว่าถูกต้องแม่นยำในการวัดค่าผลผลิตเบื้องต้น นอกจ้านั้นในด้านความแตกต่างของสภาพดินฟ้าอากาศในวันที่ทำการวัดค่าทั้ง 4 วัน เนื่องจากมีจำนวนน้ำดูดเก็บตัวอย่างทั้งหมด 8 จุด จึงไม่สามารถดำเนินการให้ครบถ้วน จุดได้ภายในวันเดียว แต่จะต้องใช้เวลาในการ incubate ถึง 4 ชั่วโมงและเสียเวลาในการเดินทางค่อนข้างมาก โดยเฉพาะอย่างยิ่งในช่วงฤดูมรสุมตะวันออกเฉียงเหนือสภาพดินฟ้าอากาศมีความแปรปรวนมาก ฝนตกชุกบางครั้งเกือบตลอดวัน คลื่นลมแรง ในการศึกษาครั้งต่อไปควรใช้วิธีการบอน-14 เป็นวิธีวัดค่าผลผลิตเบื้องต้น ของแพลงก์ตอนพืชเพื่อเป็นข้อมูลเบริญบเทียบกับแหล่งน้ำอื่นๆ เพราะเท่าที่ผ่านมาในทะเลสาบสงขลาตอนอกนี้ยังไม่มีการศึกษาด้วยวิธีดังกล่าว และป্রากภูภารณ์ในเดือนธันวาคม ที่เกิดขึ้น คือ บริษัทสาขาวนาร่องต่างๆ ส่วนใหญ่มีค่าสูง บริษัทคลอริฟิลล์ เอ มีค่าสูงสุด แต่ให้ค่าผลผลิตเบื้องต้นรวมและสูงต่ำสุดในรอบปี เป็นป្រากภูภารณ์ที่นำเสนอในและควรศึกษาต่อไป

บรรณานุกรม

ไชยา รัชนีย์. 2534. “แนวโน้มคุณภาพน้ำในทะเลสาบสงขลาตอนนอก”, วิทยานิพนธ์ปริญญา
มหาบัณฑิต สาขาวิชาการจัดการสิ่งแวดล้อม บัณฑิตวิทยาลัย มหาวิทยาลัยสงขลา-
นครศรีธรรมราช (สำเนา)

ณรงค์ ณ เชียงใหม่. 2525. “ปัญหาสภาพแวดล้อมทะเลสาบสงขลา”, วารสารสงขลานครินทร์
4, 3 (กรกฎาคม-กันยายน 2525), 243-256.

เบี่ยงศักดิ์ เมนะเศวต. 2534. แหล่งน้ำกับปัญหามลพิษ. พิมพ์ครั้งที่ 4. กรุงเทพฯ :
ฯพ.ล.งกรณ์มหาวิทยาลัย.

เพราพรหม แสงสกุล. 2529. “การเปลี่ยนแปลงตามฤดูกาลของฟอสฟอรัสที่สิ่งมีชีวิตนำไปใช้ได้
ในทะเลสาบสงขลา”, วิทยานิพนธ์ปริญญามหาบัณฑิต สาขาวิทยาศาสตร์ทางทะเล
บัณฑิตวิทยาลัย ฯพ.ล.งกรณ์มหาวิทยาลัย. (สำเนา)

ไฟโจรน์ สิริมนตรภรณ์, ไกษัชย์ แซ่สู, สิริ ทุกเรียนศ และเพิ่มศักดิ์ เพ็งมาก. 2528. การ
สำรวจผลเก็บเกี่ยวของสตอร์น้ำและคุณภาพของน้ำในทะเลสาบสงขลา. เอกสารวิชาการ
ฉบับที่ 34/2528. สงขลา : สถาบันเพาะเลี้ยงสตอร์น้ำชายฝั่งแห่งชาติ จังหวัดสงขลา.

ไฟโจรน์ สิริมนตรภรณ์. 2533. “พันธุ์ปลาในทะเลสาบสงขลา (เพิ่มเติม)”, ใน รายงานการ
สัมมนาวิชาการประจำปี 2533. หน้า 386-453. กรุงเทพฯ : กรมป่าไม้.

มนูตี้ หังสพฤกษ์. 2532. อนุพลอยางย้อมเคมี. กรุงเทพฯ : ฯพ.ล.งกรณ์มหาวิทยาลัย.

เงินชัย ตันสกุล. 2535. “ทะเลสาบสงขลาและศักยภาพในการพัฒนา”, วารสารทักษิณคดี
3 (ตุลาคม 2535-มีนาคม 2536), 39-51.

กุณิรชย เจนกา. 2535. “ผลผลิตเบื้องต้น”. ภูเก็ต : สถาบันวิจัยชีววิทยาและปะมงทะเล.
(สำเนา)

ศิริเพ็ญ ตรัยไชยพร. 2520. “การตอบสนองของแพลงก์ตอนพืชทะเลแบบชนิดต่อการเพิ่มระดับอุณหภูมิ”, วิทยานิพนธ์ปริญญาบัณฑิต สาขาวิชาชีววิทยาศาสตร์ทางทะเล
บัณฑิตวิทยาลัย จุฬาลงกรณ์มหาวิทยาลัย. (สำเนา)

สากต สุนະกุล. 2534. “ผลผลิตขั้นต้นบริเวณอ่าวภูเก็ต”, ปัญหาพิเศษปริญญาชีววิทยาศาสตร์
บัณฑิต ภาควิชาชีววิทยา คณะวิทยาศาสตร์ มหาวิทยาลัยสงขลานครินทร์. (สำเนา)

สมารี พิตรากุล. 2532. นิเวศวิทยา เอกสารวิชาการฉบับที่ 24. กรุงเทพฯ : กรมการฝึกหัดครุ.
คำพัน เหลือสินทรัพย์. 2524. “ผลผลิตขั้นต้นในอ่าวไทย”, วารสารวิชาปะมง. 34, 2 (2524),
185-199.

_____ 2528. “วิธีการประเมินปริมาณผลผลิตขั้นต้นของทะเลไทย”, ใน เอกสาร
เผยแพร่องค์กรที่ 20. หน้า 1-118. กรุงเทพฯ : ฝ่ายสถานวิจัยปะมงทะเล
กองปะมงทะเล กรมปะมง.

คำพัน เหลือสินทรัพย์, คณิต ไวยคำ และไฟโตรัน สิริมนตรากุล. 2529. “การประเมิน
ผลผลิตขั้นต้น เพื่อประเมินศักยภาพผลิตทรัพยากรสัตว์น้ำในทะเลสาบสงขลา”, ใน
รายงานวิชาการที่ สจ/28/2. หน้า 1-45. กรุงเทพฯ : สถาบันวิจัยปะมงทะเล
กองปะมงทะเล กรมปะมง.

Adeniji, H.A. 1983. “Study of the Pelagic Primary Production in ASA Lake”, Annu. Rep.
Kainji Lake Res. Inst. (1982), 33-35.

Ahmad, S.S. 1990. "Primary Productivity in a Tropical Pond at Darbhanga", J. Nat. Conserv., 2, 1 (1990), 1-6.

American Public Health Association. 1989. Standard Methods for the Examination of Water and Wastewater. 17th ed. Washington, D.C. : APHA-AWWA-WPEF.

Antoine, S.E. 1987. "Phytoplankton Population Dynamics and Chemical Characteristics of the Sediments of the Salihiyah River, Basrah, Iraq", Limnologica. 18, 1 (1987), 69-82.

Banse, K. 1977. "Determining the Carbon-to-Chlorophyll Ratio of Natural Phytoplankton", Mar. Biol. 41 (1977), 199-212.

Berger, C. 1989. "In situ Primary Production, Biomass and Light Regime in the Wolderwijd, the most Stable Oscillatoria agardhii Lake in the Netherlands", Hydrobiologia. 185,3 (1989), 233-244.

Bhargava, S.C. and Saxena, M.M. 1987. "Studies on Primary Productivity and Certain Factors in an Indian Desert Reservoir", In Sustainable Clean Water. Proceeding of the Regional Workshop on Limnology and Water Resources Management in the Developing Countries of Asia and The Pacific, 29 November-5 December 1982, University of Malaya, Kuala Lumpur, Malaysia. no. 28, pp. 455-461. Lim, R.P. ; Viner, A.B. ; Lim, L.H.S. and Furtado, J.I. eds.

Boston, H.L., Adams, M.S. and Madsen, J.D. 1989. "Photosynthetic Strategies and Productivity in Aquatic Systems", Aquat. Bot. 34, 1-3 (1989), 27-57.

Brewster, D.V. and Reeder, B.C. 1993. "Comparison of Three Methods of Measuring Water Column Primary Productivity in Old Woman Creek Estuary", Ohio J. Sci. 93, 2 (1993), 49.

Carpenter, K.E., Fast, A.W., Corre, V.L., Woessner, J.W. and Janeo, R.L. 1986. "The Effects of Water Depth and Circulation on the Water Quality and Production of *Penaeus monodon* in Eastern Ponds", In The First Asian Fisheries Forum, Manila, Philippines, 26-31 May 1986. pp. 21-24. Maclean, J.L. ; Dizon, L.B. and Hosillos, L.V. eds.

Cederwall, H. and Elmgren, R. 1990. "Biological Effects of Eutrophication in the Baltic Sea, Particularly the Coastal Zone", Ambio. 19, 3 (1990), 109-112.

De, T.K., Ghosh, S., Mal, T.K., Jana, T.K. and Choudhury, A. 1987. "The Physico-Chemical Conditions and Primary Production in Water around Lower Long Sands, Sunderbans, India", In Symposium on the Impact of Current Land Use Pattern and Water Resources Development on Riverine Fisheries April 25-27 1987, Abstracts. pp. 39.

De, T.K., Jana, T.K. and Choudhury, A. 1990. "Control of Primary Productivity by Suspended Particulate Matter in the Hooghly Estuary, India", Trop. Ecol. 31, 2 (1990), 98-103.

Delago, M. and Camp, J. 1987. "Abundance and Distribution of Dissolved Inorganic Nutrients in the Ebro Delta Bays", Invest. Pesq. Barc. 51, 3 (1987), 427-441.

Devassy, V.P. and Goes, J.I. 1989. "Seasonal Patterns of Phytoplankton Biomass and Productivity in a Tropical Estuarine Complex (West Coast of India)", Proc. Indian Acad. Sci. Plant Sci. 99, 5 (1989), 485-501.

Diana, J.S., Lin, C.K., and Schneeberger, P.J. 1991. "Relationships among Nutrient Inputs, Water Nutrient Concentrations, Primary Production, and Yield of *Oreochromis niloticus* in Ponds", Aquaculture. 92, 4 (1991), 323-341.

Dodds, W.K., Johnson, K.R. and Priscu, J.C. 1988. "Simultaneous Nitrogen and Phosphorus Deficiency in Phytoplankton : Theory, Empirical Evidence, and Implications for Lake Management", In Annual International Symposium on Lake and Watershed Management. pp. 44

Dugdale, R.C. and Goering, J.J. 1967. "Uptake of New and Regenerated Forms of Nitrogen in Primary Productivity", Limnol. Oceanogr. 12, 196 , quoted in Levinton, J.S. 1982. Marine Ecology. Englewood Cliffs, N.J. : Prentice-Hall.

Eloranta, P.V. and Salminen, R. 1984. "Phytoplankton Primary Production in a Eutrophic Cooling Water Pond", Hydrobiologia. 118, 3 (1984), 267-274.

EL-Shoarawi, A. and Munawar, M. 1978. "Statistical Evaluation Biomass, Chlorophyll a, and Primary Production in Lake Superior", J. Great Lakes Res. 4, 3-4 (1978), 443-455.

Eppley, R.W. 1972. "Temperature and Phytoplankton Growth in the Sea", Fish. Bull. 70 (1977), 1063-1085.

Fabiano, M. 1984. "Production of the Ligurian Coastal Waters. 2. Primary Production", Mem. Biol. Oceanogr. 14, 1-2 (1984), 43-58.

Fraleigh, P.C., Ocevski, B.T., Cado, I.E. and Allen, H.L. 1981. "Primary Production (Oxygen) and Chlorophyll Relationship in Lake Ohrid, Yugoslavia", In Proceedings of Congress in Japan 1980. 21, 3 pp. 492-499.

Gianesella-Galvao, S.M.F. 1985. "Primary Production in Ten Reservoirs in Southern Brazil", Hydrobiologia. 122, 1(1985), 81-88.

Gross, M.G. 1977. Oceanography. A View of the Earth. Eaglewood Cliffs : Prentice- Hall Inc.

Guildford, S.J., Healey, F.P. and Hecky, R.E. 1987. "Depression of Primary Production by Humic Matter and Suspended Sediment in Limnocoral Experiments at Southern Indian Lake, Northern Manitoba", Can. J. Fish. Aquat. Sci. 44 (1987), 1408-1417

Harrison, P.J., Hu, M.H., Yang, Y.P. and Lu, X. 1990. "Phosphate Limitation in Estuarine and Coastal Waters of China", J. Exp. Mar. Biol. Ecol. 140, 1-2 (1990), 79-87.

Henry, R., Kino, K., Gentil, J.G. and Tundisi, J.G. 1985. "Primary Production and Effects of Enrichment with Nitrate and Phosphate on Phytoplankton in the Barra Bonita Reservoir (State of Sao Paulo, Brazil)", Int. Rev. Gesamt. Hydrobiol. 70,4 (1985), 561-573.

Huang, L., Chen, Q., and Yuan, W. 1989. "Characteristics of Chlorophyll Distribution and Estimation of Primary Productivity in Daya Bay", Asian Marine Biology. 6 (1989), 115-128.

Jacob, R.M. and Kumar, R.V. 1984. "Primary Productivity in the Nearshore Waters of Vizhinjam, Trivandrum", J. Mar. Biol. Assoc. India. 26, 1-2 (1984), 66-70

Janekarn, V. and Hylleberg, J. 1989. "Coastal and Offshore Primary Production along the West Coast of Thailand (Andaman Sea) with notes on Physical-Chemical Variables", Phuket Marine Biological Center Research Bulletin. 51 (1989), 1-20.

John Taylor and Sons. 1985. Songkhla Lake Basin Planning Study Sector Papers : Basin Water Resources. Thailand.

Kennish, M.J. 1989. Practical Handbook of Marine Science. Boca Raton, Fl.: CRC Press.

Khan, I.A., Khan, A.A. and Haque, N. 1988. "Primary Production in Sheikla Theel at Aligarh", Environ. Ecol. 6,4 (1988), 858-862.

Khatavkar, S.D., Kulkarni, A.Y. and Goel, P.K. 1988. "Effect of Short Term Enrichment of Phosphorus on Phytoplanktonic Primary Production", Indian J. Ecol. 15, 1 (1988), 92-98.

Kilfe, D. and Belay, A. 1990. "Seasonal Variation in Phytoplankton Primary Production in Relation to Light and Nutrients in Lake Awasa Ethiopia", Hydrobiologia. 196, 3 (1990), 217-227.

Kimmel, B.L. and Groeger, A.W. 1983. "Factors Controlling Primary Production in Lakes and Reservoirs : A Perspective", Can. Tech. Rep. Fish. Aquat. Sci. (1983), 1-22 .

Kuenzler, E.J., Belensz, A.J. and Rudek, J. 1986. "Nutrients Cycling and Productivity of a North Carolina Piedmont Reservoir", Rep. N. C. Univ. Water Resour. Res. Inst. (Abstract)

Levinton, J.S. 1982. Marine Ecology. Englewood Cliffs : Prentice-Hall Inc.

Li, W., Guo, L., Wang, X., Hong, L. and Qiu, Y. 1989. "The Study of the Relationship between Primary Productivity and Factors in the Ecological Environment in Luoyuan Bay", J. Xiamen. Univ. Nat. Sci. Xiamen Daxue Xuebao. 28 (1989), 71-77.

Mallin, M.A. and Paerl, H.W. 1992. "The Effects of Variable Irradiance on Phytoplankton Productivity in Shallow Estuaries", Limnol. Oceanogr. 37, 1 (1992), 54-62.

Millard, E.S. and Johnson, M.G. 1986. "Effect of Decreased Phosphorus Loading on Primary Production, Chlorophyll a, and Light Extinction in the Bay of Quinte, Lake Ontario, 1972-82", Can. Spec. Publ. Fish. Aquat. Sci. 86 (1986), 100-113.

Nicklisch, A. and Kohl, J.G. 1989. "The Influence of Light on the Primary Production of Two Planktic Blue-Green Algae", In Proceedings of the International Conference on Reservoir Limnology and Water Quality, no. 33. p 451-455.

Okino, T. and Lim, R.P. 1982. "Primary Production. Photosynthetic Production. Phytoplankton", Monogr. Biol. 47 (1982), 256-258.

Parsons, T.R., Maita, Y. and Lalli, C.M. 1984. A Manual of Chemical and Biological Methods for Seawater Analysis. Oxford : Pergamon Press.

Parson, T.R., Takahashi, M. and Hargrave, B. 1984. Biological Oceanographic Processes. 3 rd ed. Oxford : Pergamon Press.

Patra, A.K., Nayak, L.D. and Patnaik, E. 1984. "Seasonal Primary Production of River Mahanadi at Sambalpur in Orissa", Prop. Ecol. 25,2 (1984), 153-157.

Robarts, R.D. 1984. "Factors Controlling Primary Production in a Hypertrophic Lake (Hartbeespoort Dam, South Africa)", J. Plankton Res. 61 (1984), 91-105.

Ryan, P.A. 1991. "Environmental Effects of Sediment on New Zealand Streams : A Review", N.Z. J. Mar. Freshwat. Res. 25, 2 (1991), 207-22.

Rybäk, M. 1988. "The Effect of Agriculture on the Primary Production in Lake Beskid (Poland) as Recorded in the Stratigraphy of Fossil Pigments", Hydrobiologia, 157, 1 (1988), 21-26.

Sandoval-Rojo, L.C., Flores-Verdugo, F.I. and Zaragoza-Araujo, U. 1988. "Phytoplankton Productivity in the Barra De Navidad Coastal Lagoon on the Pacific Coast of Mexico", Rev. Hydrobiol. Trop. 21, 2 (1988), 101-108.

Schanz, F. and Kiefer, B. 1990. "Limnology of Prealpine Pump-storage Reservoir : 1 Influence of Water Management on Biomass Development and Primary Production", In Proceedings of the International Conference on Reservoir Limnology and Water Quality, no 33. p. 947.

Schmidt, G.W. 1982. "Primary Production of Phytoplankton in the Three Types of Amazonian Waters", Amazoniana. 7, 3 (1982), 335-348.

Sen, N.S., Horo, P. and Mishra, V.K. 1992. "Physio-Chemistry, Nutrient Budget and the Factors Influencing Primary Production in a Tropical Lake", J. Freshwat. Biol. 4, 2 (1992), 141-153.

Shaffer, G.P. and Sullivan, M.J. 1988. "Water Column Productivity Attributable to Displaced Benthic Diatoms in Well-mixed Shallow Estuaries", J. Phycol. 24, 2 (1988), 132-140.

Shellito, G.A. and Decosta, J. 1981. "Primary Production in a Eutrophic Acid Lake", Water Air Soil Pollut. 16, 4 (1981), 415-431.

Shen, Z. 1993. "The Effects of the Physico-Chemical Environment on the Primary Productivity in the Yangtze River Estuary", Trans. Oceanol. Limnol. Haiyang Huziao Tongbao. 1 (1993), 47-51

Singh, R.H. 1984. "Observations on Primary Productivity and Fish Production in a Perennial Inland Freshwater Fish Pond", Matsya. 9-10 (1984), 90-92.

Smayda, T.J. 1970. "The Suspension and Sinking of Phytoplankton in the Sea", Oceanogr. Mar. Biol. Ann. Rev. 8, (1970), 353-414.

Strickland, J.H. and Parsons, T.R. 1972. A Practical Handbook of Seawater Analysis. 2nd ed. Ottawa : Fisheries Research Board of Canada.

Takamura, N., Iwakuma, T. and Yasuno, M. 1987. "Primary Production in Lake Kasumigaura, 1981-1985", Jap. J. Limnol./Rikusuzatsu. 48 (1987), s13-s38

Valiela, I. 1984. Marine Ecological Processes. New York : Springer-Verlag.

Vaquer, A. and El Hafa, M. 1991. "Primary Production of Phytoplankton in an Oligomesotrophic Lake", Arch. Hydrobiol. 121,2 (1991), 203-217.

Verma, J.P. and Mohanty, R.C. 1994. "Primary Productivity and its Correlation with Certain Selected Physio-Chemical and Biocommunity Parameters", Environ. Ecol. 12,3 (1994), 625-629.

Vijaykumar, K., Paul, R. and Kadadevaru, G. 1991. "Primary Production of Nuggikeri Tank at Dharwad", J. Nat. Conserv. 3,1 (1991), 38-41.

Watanabe, T., Kumanó, S. and Ikusima, I. 1982. "Primary Production. Photosynthetic Production. Epiphytic Algae", Monogr. Biol. 47 (1982), 259-262.

Weisberg, J. and Parish, H. 1974. Introductory Oceanography. New York : McGraw-Hill.

Welch, H.E., Legault, J.A. and Kling, H.J. 1989. "Phytoplankton, Nutrients, and Primary Production in Fertilized and Natural Lakes at Saqvaqjuac, N.W.T.", Can. J. Fish. Aquat. Sci. 46, 1 (1989), 90-107.

Werner, D. 1977. "Silicate Metabolism", In The Biology of Diatoms, 110. Werner, D., ed. Blackwell Scientific : Oxford.

Wetzel, R.G. 1975. Limnology. Philadelphia : W.B. Sauanders.

Wetzel, R.G. and Likens, G.E. 1979. Limnological Analysis. Philadelphia : W.B. Sauanders.

Wium-Anderson, S. 1977. "Primary Production in Waters around Surin Islands off The West Coast of Thailand", Phuket Marine Biological Center Research Bulletin. 16 (1977), 1-4.

Zdanowski, B. 1988. "Long-term and Seasonal Changes in the Primary Production and Destruction in Heated Lakes Near Konin (Poland)", Ekol. Pol. 36,1-2 (1988), 79-95.

Zhu, M., Mao, X., Lu, R. and Sun, M. 1993. "Chlorophyll a and Primary Productivity in the Yellow Sea", J. Oceanogr. Huanghai Bohai Seas Huangbohai Haiyang. 11, 3 (1993), 38-51.

ภาคผนวก

ตารางภาระเมล็ด ผลผลิตเบี้ยงต้นนานา (GPP) ต่อวันเฉลี่ยของพืชฯ ที่เก็บด้วยปั่นในรอบปี (พฤษภาคม 2536 - เมษายน 2537)

เดือน (M)	รุ่คเก็บตัวอย่าง (S)							
	S1	S2	S3	S4	S5	S6	S7	S8
D1=0.5m								
พ.ค. 36	815.86 a-d	842.56 b	883.86 b	358.36 e	388.77 d	851.92 a	917.23 a	450.88 ab
มิ.ย. 36	1207.27 a	1588.88 a	3793.40 a	627.44 de	1335.62 ab	701.78 abc	312.06 b	894.28 a
ก.ค. 36	612.29 b-e	746.72 b	711.33 bc	1275.53 bc	229.74 d	586.77 abc	318.26 b	386.20 ab
ส.ค. 36	305.93 de	163.21 cd	437.12 bc	552.90 de	920.04 bc	274.27 bc	150.29 b	160.32 b
ก.ย. 36	427.26 cde	802.85 b	550.11 bc	620.73 de	359.89 d	269.28 bc	270.06 b	274.11 b
ต.ค. 36	870.24 abc	1577.44 a	248.11 c	2252.09 a	1779.06 a	304.16 bc	301.68 b	268.77 b
พ.ย. 36	1023.43 ab	444.34 bcd	555.73 bc	559.68 de	649.65 cd	681.13 abc	544.79 ab	514.76 ab
ธ.ค. 36	92.78 e	59.86 d	305.44 c	229.87 e	290.43 d	161.90 c	186.32 b	162.59 b
ม.ค. 37	589.49 b-e	802.41 b	631.16 bc	987.31 cd	529.34 cd	470.68 abc	171.68 b	616.73 ab
ก.พ. 37	694.18 a-d	662.44 bc	892.94 b	1203.71 bc	357.16 d	727.67 ab	320.94 b	188.97 b
มี.ค. 37	467.53 cde	338.20 bcd	576.85 bc	1638.40 b	107.68 d	244.16 bc	171.56 b	433.02 ab
เม.ย. 37	402.93 cde	555.25 bcd	490.00 bc	2220.86 a	309.80 d	464.40 abc	568.01 ab	482.40 ab
ค่าเฉลี่ย	625.77	715.34	839.67	1043.91	604.76	478.18	361.9	402.76
D2=1.0m								
พ.ค. 36	796.24 ab	713.07 a-d	1550.40 b	418.72 c	519.68 bc	788.14 a	1265.04 a	533.07 a
มิ.ย. 36	1164.83 a	950.27 ab	3378.23 a	517.63 bc	594.98 abc	658.21 ab	413.97 b	585.13 a
ก.ค. 36	694.55 abc	511.51 a-e	737.44 c	614.43 bc	417.43 bc	607.07 ab	260.13 b	354.77 a
ส.ค. 36	359.55 bcd	480.45 b-e	400.60 cd	375.63 c	704.82 ab	328.82 ab	226.66 b	110.27 a
ก.ย. 36	183.41 cd	754.57 abc	466.06 cd	310.23 c	340.22 bc	268.59 ab	184.22 b	338.41 a
ต.ค. 36	565.49 bcd	1029.43 a	247.91 cd	1202.98 a	1057.76 a	283.96 ab	229.96 b	285.56 a
พ.ย. 36	480.28 bcd	176.20 de	391.16 cd	179.86 c	458.82 bc	461.28 ab	272.84 b	210.13 a
ธ.ค. 36	92.78 d	59.86 e	122.18 d	125.32 c	145.22 c	138.90 b	161.90 b	122.18 a
ม.ค. 37	536.12 bcd	321.25 cde	685.95 c	650.25 bc	295.72 bc	416.64 ab	172.16 b	340.00 a
ก.พ. 37	569.61 bcd	594.93 a-e	669.88 c	629.23 bc	133.89 c	263.31 ab	142.26 b	148.16 a
มี.ค. 37	358.94 bcd	179.74 de	390.90 cd	552.48 bc	179.43 bc	142.72 b	152.93 b	415.07 a
เม.ย. 37	423.72 bcd	426.97 b-e	437.05 cd	957.76 ab	309.03 bc	292.53 ab	347.31 b	143.55 a
ค่าเฉลี่ย	518.79	516.44	789.81	536.21	429.76	386.59	319.7	298.86

หมายเหตุ ตัวอักษรภาษาอังกฤษที่เหมือนกันในแนวตั้งไม่มีความแตกต่างกันทางสถิติ ที่ระดับความเชื่อมั่น 95%

จากตารางที่ 9 ของ DMRT

ตารางภาระหนัก 2 ผลผลิตเบื้องต้นสูตรชี (NPP) ต่อวันเฉลี่ยของแต่ละอุคเก็บตัวอย่างในรอบปี (พฤษภาคม 2536 - เมษายน 2537)

เดือน (M)	อุคเก็บตัวอย่าง (S)							
	S1	S2	S3	S4	S5	S6	S7	S8
D1=0.5m								
พ.ค. 36	625.44 bc	679.14 b	539.18 bc	121.88 f	257.86 de	416.26 ab	477.32 a	286.94 a-d
มิ.ย. 36	899.62 a	1276.05 a	984.70 a	439.74 e	802.53 b	415.30 ab	176.70 bc	370.92 abc
ก.ค. 36	366.2 c-f	444.87 bc	543.65 bc	1161.30 c	104.46 e	424.73 ab	100.90 c	89.32 d
ส.ค. 36	151.08 fg	87.11 de	346.08 cde	201.56 f	643.64 bc	201.12 bc	60.64 c	97.81 d
ก.ย. 36	354.29 def	690.69 b	383.83 cd	465.52 e	280.00 de	202.38 bc	203.22 bc	177.38 bcd
ต.ค. 36	594.03 bcd	1183.80 a	133.78 de	1981.34 a	1567.92 a	182.01 bc	213.31 bc	167.99 cd
พ.ย. 36	786.54 ab	182.75 de	390.94 cd	459.77 e	458.24 cd	529.07 a	428.26 ab	438.60 ab
ธ.ค. 36	0.000 g	0.00 e	122.18 e	84.59 f	194.49 e	92.45 c	93.86 c	101.50 d
ม.ค. 37	455.33 cde	481.77 bc	378.27 cd	731.29 d	166.43 e	334.45 abc	76.57 c	511.31 a
ก.พ. 37	449.00 cde	435.36 bc	727.78 b	1084.69 c	245.53 de	551.02 a	218.06 bc	103.18 d
มี.ค. 37	377.31 c-f	278.29 cd	483.78 bc	1472.74 b	53.84 e	182.96 bc	114.13 c	381.09 abc
เม.ย. 37	314.08 ef	479.57 bc	437.52 c	1943.33 a	243.58 de	369.34 ab	474.49 a	392.51 abc
ค่าเฉลี่ย	447.74	518.22	455.970	845.64	418.2	325.09	219.79	259.88
D2=1.0m								
พ.ค. 36	474.56 b	488.52 ab	1011.21 a	149.83 efg	296.18 c	416.26 ab	245.30 a	205.45 ab
มิ.ย. 36	821.94 a	637.97 ab	916.42 a	406.45 cde	330.58 bc	369.79 ab	186.31 a	361.66 a
ก.ค. 36	369.13 bcd	320.24 bc	401.28 bcd	338.34 c-f	166.89 c	445.15 a	60.98 a	147.20 ab
ส.ค. 36	190.99 cde	59.39 cd	327.61 b-e	260.35 d-g	551.42 ab	255.68 abc	106.12 a	62.51 b
ก.ย. 36	109.70 de	642.45 a	365.83 b-e	77.63 fg	139.22 c	200.99 abc	100.01 a	209.53 ab
ต.ค. 36	324.77 bcd	396.91 ab	133.45 ef	948.70 a	776.41 a	163.51 bc	88.06 a	218.37 ab
พ.ย. 36	276.73 bcd	88.10 cd	226.36 def	79.95 fg	250.26 c	351.99 ab	214.44 a	114.39 ab
ธ.ค. 36	0.00 e	0.00 d	61.09 f	62.67 g	72.61 c	69.44 c	69.44 a	61.09 b
ม.ค. 37	428.70 bc	80.26 cd	507.11 bc	292.27 c-g	62.67 c	165.06 bc	76.23 a	223.47 ab
ก.พ. 37	427.54 bc	412.11 ab	587.98 b	531.86 bc	66.94 c	151.32 bc	60.54 a	68.69 b
มี.ค. 37	287.13 bcd	80.65 cd	316.57 cde	460.46 bcd	89.79 c	81.51 c	95.50 a	312.02 ab
เม.ย. 37	246.44 b-e	277.27 bc	367.13 b-e	679.27 b	219.94 c	196.26 abc	204.88 a	63.65 b
ค่าเฉลี่ย	329.72	281.99	435.09	357.31	261.82	238.83	125.65	169.83

หมายเหตุ ตัวอักษรภาษาอังกฤษที่เหมือนกันในแนวตั้งไม่มีความแตกต่างกันทางสถิติ ทั้งตัวบ่งความเชื่อมั่น 95%

จากตารางทาง統計 DMRT

ตราสัณฐานการคัดเลือก 3 ผู้ผลิตเม็ดฟลักซ์แม่พิมพ์ (GMP) ต่อชั้นในและต่อชั้นภายนอก (พากะภายนอก 2536 - เมษายน 2537) ของยาสูบดูเป็นยาเสื่อม

ตัวอย่าง (M)									
รายการทั่วไป (S)	พ.ศ. 36	ป.ศ. 36	ก.ศ. 36	ส.ศ. 36	ก.ญ. 36	ก.ก. 36	ก.พ. 36	ก.ม. 36	ก.ก. 37
D1=0.5cm									
S1	815.86 ab	1207.27 bc	612.29 b	305.93 b	427.26 a	870.24 c	1023.43 a	92.79 a	589.49 ab
S2	842.56 ab	1588.88 b	746.71 b	163.21 b	802.85 a	1577.44 b	444.34 b	59.86 a	802.41 a
S3	883.86 ab	3793.40 a	711.33 b	437.12 ab	550.11 a	248.11 d	555.73 ab	305.44 a	651.16 ab
S4	358.36 b	627.44 cd	1275.53 a	552.30 ab	620.73 a	2252.09 a	589.68 ab	229.87 a	987.31 a
S5	388.77 ab	1335.62 bc	229.74 b	920.04 a	353.89 a	1779.05 b	649.65 ab	290.43 a	529.34 ab
S6	851.92 ab	701.78 de	586.77 b	274.27 b	269.28 a	304.16 d	631.13 ab	161.90 a	470.68 ab
S7	917.23 a	312.06 e	318.25 b	150.29 b	270.06 a	301.68 d	544.78 ab	186.32 a	171.68 b
S8	450.88 ab	894.28 cd	386.20 b	160.32 b	274.11 a	268.77 d	514.75 ab	162.59 a	616.73 ab
ค่าเฉลี่ย	688.68	1307.59	608.35	370.51	446.79	950.19	621.69	186.15	599.85
D2=1.0cm									
S1	796.24 bc	1164.83 b	694.55 a	359.55 ab	183.42 b	565.49 b	480.28 a	92.79 a	536.12 a
S2	713.07 c	950.27 bc	511.51 a	480.45 ab	754.57 a	1029.43 a	176.20 a	59.86 a	321.25 a
S3	1550.40 a	3378.23 a	737.43 a	400.60 ab	466.06 ab	247.91 b	391.16 a	122.18 a	685.95 a
S4	418.72 c	517.63 cd	614.43 a	375.63 ab	310.23 ab	1202.98 a	179.86 a	125.32 a	550.25 a
S5	519.68 c	594.98 cd	417.43 a	704.82 a	340.22 ab	1057.76 a	458.82 a	145.22 a	295.72 a
S6	788.14 bc	658.21 cd	607.07 a	328.82 ab	268.59 ab	283.96 b	461.28 a	138.90 a	415.84 a
S7	1265.04 ab	413.97 d	260.13 a	225.65 ab	184.22 b	239.96 b	272.84 a	161.90 a	172.16 a
S8	533.07 c	585.13 cd	354.77 a	110.27 b	338.41 ab	285.56 b	210.13 a	122.18 a	340.00 a
ค่าเฉลี่ย	823.05	1032.91	524.67	373.23	355.71	612.88	328.82	121.04	414.61
									392.66
									296.53
									417.11

ค่าทางกายภาพทั่วไปของยาสูบในแต่ละชั้นภายนอก ที่ระดับปีรุ่มเมืองไทย สำหรับยาสูบ 95% ของยาสูบจะต้องอยู่ต่ำกว่า DMRT

ପ୍ରଦୀପ କାମାନ୍ଦୁଗା 4 ଅଧ୍ୟେତ୍ରୀ ପ୍ରଦୀପ କାମାନ୍ଦୁଗା (NRP) ନିର୍ଣ୍ଣୟମାତ୍ରାଙ୍କ ନିଯମଗୀତିକୁ (ଅଧ୍ୟେତ୍ରମ 2536 - ମେଘାଯନ 2537) ପାରିବାରି କରିବାକୁ ପରିଚୟ ପାଇଲା

សំណង់ (M)		ក.រ. 36	វ.រ. 36	ក.រ. 37	វ.រ. 37	ក.រ. 37	មុខ. 37												
D1=0.5m																			
S1		625.44	ab	899.62	b	366.20	b	151.08	bc	354.29	bc	594.03	d	786.54	a	0.00	a	455.33	b
S2		679.14	a	1276.05	a	444.87	b	87.11	bc	690.69	a	1183.80	c	182.75	c	0.00	s	481.77	b
S3		539.18	ab	984.70	b	543.65	b	346.08	b	383.83	bc	133.78	e	390.94	bc	122.18	s	378.27	bc
S4		121.88	d	439.74	c	1161.30	a	201.56	bc	465.52	ab	1981.34	a	459.77	b	84.59	a	731.29	a
S5		257.86	cd	802.53	b	104.46	c	643.64	a	280.00	bc	1567.82	b	458.24	b	194.48	a	166.43	cd
S6		416.26	bc	415.30	cd	424.73	b	201.12	bc	202.38	c	182.01	e	529.07	b	92.45	a	334.45	bc
S7		477.32	abc	176.70	d	100.90	c	60.64	c	203.22	c	213.31	e	428.25	b	93.86	a	76.57	d
S8		286.94	cd	370.92	cd	89.32	c	97.81	bc	177.38	c	167.99	e	438.60	b	101.50	a	511.31	ab
គោរពស្តី		425.5	670.79	404.43	223.63	344.66	753.01	459.27	86.13	381.93	478.83	418.02	581.8						
D2=1.0m																			
S1		474.56	b	821.94	a	369.13	ab	190.99	bc	109.70	bc	324.77	bc	276.73	ab	0.00	a	428.70	ab
S2		488.52	b	537.97	b	320.24	ab	59.39	c	642.45	a	396.91	b	88.10	ab	0.00	s	38.26	c
S3		1011.21	a	915.42	a	401.28	ab	327.61	ab	365.83	b	133.45	c	226.36	ab	61.09	s	507.11	a
S4		149.83	d	406.46	bc	338.34	ab	260.35	bc	77.68	c	948.70	a	79.95	b	62.67	a	292.27	abc
S5		296.18	bcd	330.58	bc	166.89	bc	551.42	a	139.22	bc	775.41	a	260.26	ab	72.61	a	62.67	c
S6		416.26	bc	369.79	bc	446.15	a	255.68	bc	200.99	bc	163.51	bc	351.98	a	69.44	a	165.06	c
S7		245.3	bcd	186.31	c	60.98	c	106.12	bc	100.01	c	88.06	c	214.44	ab	69.44	s	76.23	c
S8		205.45	cd	361.55	bc	147.20	bc	62.51	c	299.53	bc	218.37	bc	114.39	ab	51.09	a	223.47	bc
គោរពស្តី		410.91	491.25	281.15	226.76	230.76	381.15	200.28	49.54	229.47	288.37	215.45	280.36						

မြန်မာနိုင်ငံရှိ အကျဉ်းချုပ်မှု အသေးစိတ်များ မြန်မာနိုင်ငံ၏ လူ့လုပ်မှု နည်းလမ်းများ ဖြစ်ပါသည်။

ตารางภาคผนวก 5 อุณหภูมิเฉลี่ย ($^{\circ}\text{C}$) ของแต่ละฤดูกาลเก็บตัวอย่างในรอบปี

เดือน (M)	อุคเก็บตัวอย่าง (S)							
	S1	S2	S3	S4	S5	S6	S7	S8
พ.ค. 36	29.3 a	29.0 b	29.7 b	28.5 a	29.7 ab	29.17 a	28.67 ab	28.50 bc
มิ.ย. 36	29.7 a	30.3 a	31.0 a	28.8 a	29.5 a	29.2 a	29.5 a	30.2 a
ก.ค. 36	27.7 b	28.2 b	28.3 c	29.3 a	28.3 b	28.0 b	28.0 bc	29.3 ab
ส.ค. 36	26.7 c	26.0 cd	27.3 de	26.5 bcd	25.8 e	26.2 c	25.3 de	26.2 de
ก.ย. 36	26.2 c	26.7 cd	26.0 f	26.3 cd	26.7 de	26.2 c	26.7 d	26.3 d
ต.ค. 36	26.5 c	25.8 cd	26.8 fg	26.3 cd	25.3 ef	25.5 cde	25.3 de	26.0 de
พ.ย. 36	26.3 c	25.5 d	25.7 fg	26.8 d	25.3 ef	25.2 de	26.0 d	26.0 de
ธ.ค. 36	26.0 d	25.3 d	26.0 gh	23.3 f	23.7 g	26.0 cd	26.0 d	25.3 ef
ม.ค. 37	26.0 d	25.3 d	24.3 h	24.7 e	24.8 f	24.7 e	24.7 e	24.7 f
ก.พ. 37	26.3 c	26.5 c	25.8 fg	26.8 bc	26.7 de	25.7 de	25.8 d	26.0 de
มี.ค. 37	26.8 bc	26.5 c	26.5 ef	27.2 bc	27.0 cd	26.3 c	26.2 d	26.8 d
เม.ย. 37	27.0 bc	26.8 cd	28.0 cd	27.3 b	27.7 c	26.3 c	27.2 c	28.2 c
ค่าเฉลี่ย	26.9	26.7	26.9	26.7	26.5	26.5	26.5	26.9

หมายเหตุ ตัวอักษรภาษาอังกฤษที่เนื่องกันในแนวดังนี้มีความแตกต่างกันทางสถิติ ที่ระดับความเชื่อมั่น 95%

จากการทดสอบโดยวิธี DMRT

ตารางภาคผนวก 6 ความเป็นกรด-แอลкалีของแต่ละฤดูกาลเก็บตัวอย่างในรอบปี

เดือน (M)	อุคเก็บตัวอย่าง (S)							
	S1	S2	S3	S4	S5	S6	S7	S8
พ.ค. 36	7.66 abc	7.39 bcd	7.61 a-d	7.73 bc	7.14 de	7.45 c	7.99 a	7.60 bc
มิ.ย. 36	8.02 a	8.13 a	7.72 abc	7.42 cd	8.27 a	8.24 a	7.10 cde	7.92 b
ก.ค. 36	7.79 ab	7.49 bc	7.36 cd	7.14 de	7.03 e	7.74 bc	6.78 e	6.74 f
ส.ค. 36	7.23 de	6.85 e	7.22 d	8.51 a	7.37 cde	7.90 ab	7.22 bcd	8.34 a
ก.ย. 36	7.44 bcd	7.37 bcd	7.49 bcd	7.75 bc	7.86 b	7.55 bc	6.92 de	7.38 cd
ต.ค. 36	7.75 ab	7.75 b	7.73 abc	7.56 bc	7.55 bc	7.44 c	7.04 cde	6.93 ef
พ.ย. 36	6.94 e	7.19 cde	7.44 bcd	6.86 e	7.03 e	6.97 d	7.42 bc	7.05 def
ธ.ค. 36	7.34 cd	7.09 de	7.36 cd	6.99 e	7.06 de	7.46 c	7.22 bcd	7.21 cde
ม.ค. 37	6.28 f	6.18 f	7.96 a	7.77 bc	7.54 bc	7.78 bc	7.42 bc	7.43 cd
ก.พ. 37	7.78 ab	7.45 bcd	7.69 abc	7.42 cd	7.45 cd	7.62 bc	7.54 b	7.43 cd
มี.ค. 37	7.93 a	7.64 b	7.65 abc	7.59 bc	7.59 bc	7.63 bc	7.58 b	7.31 cde
เม.ย. 37	7.84 ab	7.69 b	7.83 ab	7.94 b	7.07 de	7.63 bc	7.56 b	7.11 def
ค่าเฉลี่ย	7.50	7.35	7.59	7.56	7.41	7.62	7.32	7.37

หมายเหตุ ตัวอักษรภาษาอังกฤษที่เนื่องกันในแนวดังนี้มีความแตกต่างกันทางสถิติ ที่ระดับความเชื่อมั่น 95%

จากการทดสอบโดยวิธี DMRT

ตารางภาคผนวก 7 ความเค็มเฉลี่ย (ppt)ของแต่ละฤดูกาลเก็บตัวอย่างในรอบปี

เดือน (M)	ฤดูกาลเก็บตัวอย่าง (S)							
	S1	S2	S3	S4	S5	S6	S7	S8
พ.ค. 36	27.33 f	23.33 e	14.00 e	3.67 gh	9.67 e	5.33 g	0.00 f	0.33 fg
มิ.ย. 36	30.67 de	18.67 f	10.00 f	4.67 g	5.00 g	4.00 h	0.00 f	0.00 g
ก.ค. 36	30.00 e	30.67 b	23.67 c	9.33 e	24.00 b	24.67 b	13.33 c	4.33 d
ส.ค. 36	36.00 a	35.00 a	34.33 a	28.67 a	31.00 a	31.00 a	27.67 a	21.67 a
ก.ย. 36	34.67 b	34.67 a	33.33 a	26.33 b	25.00 b	32.00 a	22.67 b	20.67 a
ต.ค. 36	23.00 g	19.33 f	16.00 d	11.67 d	12.00 d	14.67 d	12.67 c	11.33 b
พ.ย. 36	2.00 j	1.00 i	2.67 h	2.67 h	2.00 h	1.33 i	1.00 ef	1.67 e
ธ.ค. 36	0.00 k	0.00 i	0.00 i	0.00 i	0.00 i	0.00 j	0.00 f	0.00 g
ม.ค. 37	32.67 c	24.67 d	13.67 e	8.00 f	8.00 f	9.33 e	9.67 d	3.33 d
ก.พ. 37	12.67 i	9.33 h	6.33 g	3.00 h	1.00 hi	3.00 h	1.67 e	0.00 g
มี.ค. 37	31.33 d	26.00 c	26.67 b	16.00 c	15.67 c	20.33 c	9.33 d	8.00 c
เม.ย. 37	15.33 h	11.33 g	14.33 e	2.67 h	5.00 g	6.67 f	2.00 e	1.33 ef
ค่าเฉลี่ย	22.97	19.50	16.26	9.72	11.53	12.69	8.33	6.06

หมายเหตุ ตัวอักษรภาษาอังกฤษที่เหมือนกันในแผนตั้งไม่มีความแตกต่างกันทางสถิติ ที่ระดับความเชื่อมั่น 95%

จากการทดสอบโดยวิธี DMRT

ตารางภาคผนวก 8 ความกรดเฉลี่ย(m)ของแต่ละฤดูกาลเก็บตัวอย่างในรอบปี

เดือน (M)	ฤดูกาลเก็บตัวอย่าง (S)							
	S1	S2	S3	S4	S5	S6	S7	S8
พ.ค. 36	1.28 f	1.27 e	1.27 e	1.28 d	1.32 fg	1.22 ef	1.10 ef	1.78 b
มิ.ย. 36	1.47 de	1.43 cd	1.27 e	1.08 e	1.07 h	1.00 g	1.00 f	1.20 f
ก.ค. 36	1.37 ef	1.10 f	1.35 de	1.10 e	1.20 gh	1.10 fg	1.00 f	1.48 de
ส.ค. 36	1.42 ef	1.53 bc	1.38 cde	1.42 cd	1.35 ef	1.33 de	1.15 ef	1.62 de
ก.ย. 36	1.60 cd	1.45 c	1.35 de	1.43 cd	1.40 def	1.35 de	1.13 ef	1.40 e
ต.ค. 36	1.42 ef	1.50 bc	1.57 b	1.63 b	1.68 b	1.54 bc	1.45 bc	1.57 cd
พ.ย. 36	1.68 bc	1.29 de	1.57 b	1.60 b	1.63 bc	1.59 b	1.48 b	1.59 cd
ธ.ค. 36	2.74 a	1.78 a	1.77 a	2.15 a	2.18 a	1.83 a	1.82 a	2.08 a
ม.ค. 37	1.50 de	1.65 ab	1.50 bcd	1.63 b	1.73 b	1.51 bc	1.32 cd	1.72 bc
ก.พ. 37	1.50 de	1.27 e	1.32 e	1.51 bc	1.63 bc	1.41 cd	1.21 de	1.50 de
มี.ค. 37	1.67 bc	1.42 cd	1.41 cde	1.51 bc	1.53 cd	1.46 bcd	1.21 de	1.47 de
เม.ย. 37	1.80 b	1.53 bc	1.53 bc	1.42 cd	1.49 cde	1.40 cd	1.18 de	1.60 cd
ค่าเฉลี่ย	1.62	1.43	1.44	1.48	1.62	1.39	1.26	1.56

หมายเหตุ ตัวอักษรภาษาอังกฤษที่เหมือนกันในแผนตั้งไม่มีความแตกต่างกันทางสถิติ ที่ระดับความเชื่อมั่น 95%

จากการทดสอบโดยวิธี DMRT

ตารางภาคผนวก 9 ปริมาณของแข็งแหวนลดอยเฉลี่ย(mg.l^{-1}) ของแต่ละจุดเก็บตัวอย่างในรอบปี

เดือน (M)	จุดเก็บตัวอย่าง (S)							
	S1	S2	S3	S4	S5	S6	S7	S8
พ.ค. 36	57.67 c	45.67 d	33.00 cde	18.33 de	14.67 ef	22.00 f	21.33 def	28.00 def
มิ.ย. 36	56.33 c	15.33 f	37.33 cde	61.33 a	29.00 cde	65.67 b	29.33 def	33.00 de
ก.ค. 36	81.00 b	80.00 c	69.33 a	31.33 bed	44.67 c	48.67 bed	31.33 de	24.33 def
ส.ค. 36	37.00 d	23.67 ef	30.33 de	16.67 de	32.67 cde	28.00 ef	23.00 def	16.67 ef
ก.ย. 36	23.33 de	18.00 f	27.00 de	25.33 cde	15.33 ef	31.67 def	33.00 d	12.33 f
ต.ค. 36	25.00 de	10.00 f	66.00 ab	10.33 e	34.33 cd	27.33 ef	11.00 f	12.33 f
พ.ย. 36	69.00 bc	211.67 a	29.33 de	39.33 bc	37.00 c	52.67 bc	37.67 d	29.00 def
ธ.ค. 36	70.33 bc	145.67 b	78.67 a	71.33 a	68.67 a	123.67 a	83.00 c	96.67 b
ม.ค. 37	132.33 a	67.67 c	50.00 bc	44.00 b	62.67 ab	14.00 f	120.00 b	52.67 c
ก.พ. 37	33.33 d	38.67 de	20.00 e	32.67 bed	46.33 bc	65.33 b	150.67 a	143.67 a
มี.ค. 37	67.67 bc	25.00 ef	43.00 cd	10.67 e	16.67 def	32.33 def	13.33 ef	17.00 ef
เม.ย. 37	15.00 e	15.67 f	36.00 cde	23.67 cde	7.67 f	41.33 cde	26.00 def	41.00 cd
ค่าเฉลี่ย	55.67	58.08	43.26	32.08	34.14	46.06	48.22	42.22

หมายเหตุ ตัวอักษรภาษาอังกฤษที่เหมือนกันในแนวตั้งไม่มีความแตกต่างกันทางสถิติ ที่ระดับความเชื่อมั่น 95%
จากกราฟทวารสหบัญชี DMRT

ตารางภาคผนวก 10 ปริมาณในไธอทโนเลี่ย ($\mu\text{g-atNO}_2^- \cdot \text{N.G}^{-1}$) ของแต่ละจุดเก็บตัวอย่างในรอบปี

เดือน (M)	จุดเก็บตัวอย่าง (S)							
	S1	S2	S3	S4	S5	S6	S7	S8
พ.ค. 36	0.095 de	0.155 de	0.133 ef	0.103 f	0.088 f	0.073 e	0.214 e	0.177 g
มิ.ย. 36	0.647 c	0.522 cd	0.428 cde	0.789 cd	0.325 def	0.524 d	0.916 d	0.885 e
ก.ค. 36	0.477 cd	0.533 cd	0.028 f	0.249 ef	0.126 ef	0.035 e	0.388 e	0.526 efg
ส.ค. 36	0.076 de	0.062 e	0.553 bed	0.699 cd	0.512 de	0.443 d	0.588 de	0.727 ef
ก.ย. 36	0.342 cde	0.354 cde	0.383 cf	0.897 cd	0.568 d	0.429 d	0.603 de	0.481 fg
ต.ค. 36	0.340 cde	0.204 de	0.721 bc	0.558 de	0.374 def	0.605 d	0.360 e	0.190 g
พ.ย. 36	1.543 b	2.269 b	0.871 b	1.479 b	1.393 c	1.479 b	1.462 c	1.253 d
ธ.ค. 36	2.769 a	5.221 a	3.709 a	1.785 ab	1.785 b	3.818 a	2.833 b	3.995 b
ม.ค. 37	0.000 e	0.009 e	0.211 def	0.185 ef	0.189 def	0.030 e	0.203 e	0.296 g
ก.พ. 37	0.517 c	0.715 c	0.444 cde	0.987 c	2.421 a	1.099 c	3.219 a	6.974 a
มี.ค. 37	0.245 cde	0.172 de	0.603 bed	0.510 de	0.477 def	0.715 d	0.490 e	0.477 fg
เม.ย. 37	0.330 cde	0.540 cd	0.744 bc	1.880 a	0.203 def	1.242 bc	1.649 c	2.765 c
ค่าเฉลี่ย	0.615	0.896	0.736	0.843	0.705	0.874	1.077	1.562

หมายเหตุ ตัวอักษรภาษาอังกฤษที่เหมือนกันในแนวตั้งไม่มีความแตกต่างกันทางสถิติ ที่ระดับความเชื่อมั่น 95%
จากกราฟทวารสหบัญชี DMRT

ตารางภาคผนวก 11 ปริมาณในเธรทเจลลี่ ($\mu\text{g-atNO}_3^-/\text{N/l}$) ของแต่ละดูดเก็บตัวอย่างในรอบปี

เดือน (M)	รุ่คเก็บตัวอย่าง (S)								
	S1	S2	S3	S4	S5	S6	S7	S8	
พ.ค. 36	0.538 b	0.819 d	0.496 c	0.499 gh	0.499 cd	0.391 de	0.531 d	1.313 c	
มิ.ย. 36	1.247 b	1.175 d	0.802 bc	1.361 fgh	0.666 cd	0.738 de	1.326 d	1.634 c	
ก.ค. 36	0.539 b	0.592 d	0.719 bc	6.847 c	1.270 bcd	0.764 de	0.522 d	0.686 c	
ส.ค. 36	0.570 b	0.463 d	0.730 bc	1.499 fg	0.854 cd	0.589 de	0.642 d	1.152 c	
ก.ย. 36	0.741 b	0.846 d	1.047 bc	1.998 f	0.855 cd	0.681 de	0.846 d	0.576 c	
ต.ค. 36	0.685 b	0.304 d	1.750 b	6.221 d	4.170 a	1.202 cde	1.430 d	0.989 c	
พ.ย. 36	4.942 e	11.678 b	1.725 b	3.463 e	2.021 b	2.136 bc	3.896 b	1.588 c	
ธ.ค. 36	6.517 a	20.480 a	7.803 a	19.741 a	4.162 a	6.106 a	4.087 b	10.473 a	
ม.ค. 37	0.420 b	0.372 d	0.372 c	0.266 h	0.310 d	0.143 e	0.567 d	0.611 c	
ก.พ. 37	1.010 b	1.105 d	0.785 bc	1.570 fg	3.758 a	2.877 b	6.947 a	10.698 a	
มี.ค. 37	0.971 b	1.207 d	0.988 bc	1.485 fg	1.654 bc	0.945 de	0.776 d	0.987 c	
เม.ย. 37	1.440 b	3.572 c	1.218 bc	13.671 b	0.477 cd	1.473 cd	2.669 c	4.452 b	
ค่าเฉลี่ย	1.552	3.551	1.536	4.793	1.725	1.420	2.023	2.930	

หมายเหตุ ตัวอักษรภาษาอังกฤษที่เหมือนกันในแนวตั้งไม่มีความแตกต่างกันทางสถิติ ที่ระดับความเชื่อมั่น 95%
จากกราฟตรวจสอบโดยวิธี DMRT

ตารางภาคผนวก 12 ปริมาณฟอสเฟตเจลลี่ ($\text{mgPO}_4^{3-}/\text{P.l}^1$) ของแต่ละดูดเก็บตัวอย่างในรอบปี

เดือน (M)	รุ่คเก็บตัวอย่าง (S)								
	S1	S2	S3	S4	S5	S6	S7	S8	
พ.ค. 36	0.036 f	0.063 g	0.046 d	0.055 e	0.031 ef	0.057 e	0.105 de	0.082 f	
มิ.ย. 36	0.185 e	0.085 fg	0.066 cd	0.064 e	0.041 ef	0.068 de	0.121 de	0.173 def	
ก.ค. 36	0.020 f	0.046 g	0.036 d	0.085 de	0.027 ef	0.035 e	0.050 e	0.255 cd	
ส.ค. 36	0.102 ef	0.078 fg	0.109 bcd	0.114 cde	0.097 def	0.126 cde	0.103 de	0.091 f	
ก.ย. 36	0.117 ef	0.159 efg	0.175 bc	0.193 cd	0.128 cde	0.181 cd	0.180 d	0.106 ef	
ต.ค. 36	0.131 ef	0.181 ef	0.133 bcd	0.147 cde	0.130 cde	0.143 cde	0.173 d	0.137 ef	
พ.ย. 36	0.332 c	0.950 b	0.094 bcd	0.203 cd	0.220 bc	0.139 cde	0.041 e	0.108 ef	
ธ.ค. 36	0.565 a	1.309 a	0.427 a	0.348 a	0.157 cd	0.493 a	0.390 c	0.430 b	
ม.ค. 37	0.198 de	0.205 de	0.200 b	0.187 cd	0.298 b	0.047 e	0.506 b	0.363 bc	
ก.พ. 37	0.300 cd	0.418 c	0.200 b	0.312 ab	0.594 a	0.437 a	0.789 a	0.977 a	
มี.ค. 37	0.445 b	0.289 d	0.347 a	0.212 bc	0.202 bcd	0.290 b	0.212 d	0.212 de	
เม.ย. 37	0.038 f	0.063 g	0.100 bcd	0.169 cde	0.000 f	0.200 bc	0.200 d	0.328 bc	
ค่าเฉลี่ย	0.206	0.321	0.161	0.174	0.160	0.185	0.239	0.272	

หมายเหตุ ตัวอักษรภาษาอังกฤษที่เหมือนกันในแนวตั้งไม่มีความแตกต่างกันทางสถิติ ที่ระดับความเชื่อมั่น 95%
จากกราฟตรวจสอบโดยวิธี DMRT

ตารางภาคผนวก 13 ปริมาณวิสิจเกตเจลี่ย ($\mu\text{g-at SiO}_3^{2-}\text{Si.I}^{-1}$) ของแต่ละอุดกึ่งตัวอย่างในรอบปี

เดือน (M)	จุลเก็บตัวอย่าง (S)							
	S1	S2	S3	S4	S5	S6	S7	S8
พ.ค. 36	10.871 fg	8.423 g	26.180 f	66.615 f	13.918 f	29.204 g	66.351 e	87.948 e
มิ.ย. 36	15.238 ef	38.731 d	58.048 e	78.013 e	70.190 d	76.861 d	105.274 c	106.001 d
ก.ค. 36	8.142 fg	10.212 g	11.365 g	74.571 e	33.927 e	24.529 g	39.219 fg	105.478 d
ส.ค. 36	11.294 fg	13.523 fg	17.365 g	53.619 g	12.500 f	22.076 g	26.133 h	44.774 g
ก.ย. 36	4.356 g	5.999 g	13.749 g	41.892 h	27.735 e	23.958 g	34.133 g	36.541 h
ต.ค. 36	24.444 d	24.006 e	86.229 c	80.572 e	87.205 c	93.737 c	45.151 f	80.337 f
พ.ย. 36	119.749 a	165.628 a	122.299 e	128.159 c	122.058 b	125.264 a	119.577 b	117.991 c
ธ.ค. 36	105.124 b	141.445 b	102.487 b	141.479 b	92.238 c	94.175 c	99.516 c	110.699 cd
ม.ค. 37	18.699 de	20.145 ef	25.380 f	75.554 e	89.053 c	68.116 e	79.583 d	112.917 cd
ก.พ. 37	64.075 c	75.286 c	78.611 d	98.942 d	139.362 a	114.060 b	141.899 a	145.362 b
มี.ค. 37	19.268 de	38.865 d	31.026 f	41.797 h	64.623 d	53.226 f	77.236 d	92.321 e
เม.ย. 37	63.544 c	77.884 c	75.697 d	168.582 a	134.310 b	117.295 b	148.859 a	157.366 a
ค่าเฉลี่ย	38.734	51.678	54.063	87.483	73.918	70.208	81.928	99.811

หมายเหตุ ตัวอักษรภาษาอังกฤษที่เหมือนกันในแนวตั้งไม่มีความแตกต่างกันทางสถิติ ที่ระดับความเชื่อมั่น 95%
จากกราฟที่สร้างโดยวิธี DMRT

ตารางภาคผนวก 14 ปริมาณคลอร์ไฟฟล์ล์ เอ เนลี่ย (mg . m^{-3}) ของแต่ละอุดกึ่งตัวอย่างในรอบปี

เดือน (M)	จุลเก็บตัวอย่าง (S)							
	S1	S2	S3	S4	S5	S6	S7	S8
พ.ค. 36	3.990 afg	3.963 ef	2.901 d	3.862 f	1.677 f	1.224 g	1.430 e	1.972 e
มิ.ย. 36	5.727 cde	7.085 cd	8.329 c	7.654 e	3.534 f	2.932 afg	2.968 e	4.811 d
ก.ค. 36	2.346 gh	2.855 fg	2.246 d	6.836 e	1.462 f	2.935 afg	1.939 e	1.439 e
ส.ค. 36	2.798 gh	2.256 fg	3.309 d	3.861 f	6.497 e	3.024 afg	2.134 e	1.531 e
ก.ย. 36	5.287 def	5.377 de	3.636 d	3.714 f	2.935 f	3.803 ef	3.046 e	4.673 d
ต.ค. 36	7.833 c	6.059 de	3.264 d	11.791 d	13.396 c	3.253 afg	2.665 e	3.559 de
พ.ย. 36	11.887 b	20.871 a	11.023 b	8.386 e	8.560 de	10.571 c	6.848 d	10.739 c
ธ.ค. 36	25.742 a	13.762 b	35.115 a	17.485 c	28.461 a	39.788 a	37.024 a	34.435 a
ม.ค. 37	5.808 cde	12.498 b	7.274 c	22.353 b	10.285 d	4.766 e	10.888 c	15.186 b
ก.พ. 37	6.529 cd	8.378 c	11.117 b	17.834 c	17.677 b	21.184 b	21.479 b	16.022 b
มี.ค. 37	3.507 fgh	2.331 fg	3.034 d	7.649 e	1.507 f	1.980 fg	1.835 e	4.323 d
เม.ย. 37	1.526 h	1.526 g	2.736 d	26.117 a	7.355 e	6.911 d	10.044 c	11.051 c
ค่าเฉลี่ย	6.915	7.245	7.832	11.462	8.612	8.531	8.526	9.137

หมายเหตุ ตัวอักษรภาษาอังกฤษที่เหมือนกันในแนวตั้งไม่มีความแตกต่างกันทางสถิติ ที่ระดับความเชื่อมั่น 95%
จากกราฟที่สร้างโดยวิธี DMRT

ตารางภาคผนวก 15 การวิเคราะห์ความแปรปรวนของผลผลิตเบื้องต้นรวม (GPP) ต่อวัน

SV	DF	SS	MS	F
TREATMENT	191	135659584.16	710259.60	8.52 **
DEPTH (D)	1	3610826.55	3610826.55	43.33 **
STATION(S)	7	16780209.84	2397172.83	28.77 **
MONTH (M)	11	34758520.82	3159865.53	37.92 **
DXS	7	2907784.33	415397.76	4.99 **
DXM	11	2681023.66	234638.51	2.82 **
SXM	77	69128130.01	897767.92	10.77 **
DXSXM	77	5893088.96	76533.62	<1
ERROR	384	31996742.65	83324.85	
TOTAL	575	167656326.81		

cv = 52.1%

** = แยกต่างกันทางสถิติที่ระดับความเชื่อมั่น 99%

ตารางภาคผนวก 16 การวิเคราะห์ความแปรปรวนของผลผลิตเบื้องต้นสูตร (NPP) ต่อวัน

SV	DF	SS	MS	F
TREATMENT	191	58966157.33	308723.34	14.77**
DEPTH (D)	1	3804624.17	3804624.17	182.07**
STATION(S)	7	9412209.47	1344601.35	64.35**
MONTH (M)	11	10302888.05	936626.19	44.82**
DXS	7	2689088.90	384155.56	18.38**
DXM	11	1728833.14	157166.65	7.52**
SXM	77	25410824.80	330010.71	15.79**
DXSXM	77	5617688.81	72957.00	3.49**
ERROR	384	8024151.71	20896.23	
TOTAL	575	66990309.04		

cv = 40.7%

** = แยกต่างกันทางสถิติที่ระดับความเชื่อมั่น 99%

ตาราง ภาคผนวก 17 การวิเคราะห์ความแปรปรวนของอุณหภูมิ

SV	DF	SS	MS	F
TREATMENT	95	733.5825	7.7219	26.63 **
STATION(S)	7	9.5338	1.3619	4.70 **
MONTH (M)	11	653.0512	59.3683	204.77 **
SXM	77	70.9974	0.9220	3.18 **
ERROR	192	55.6667	0.2899	
TOTAL	287	789.2491		

cv = 2.0%

** = เม Mog ต่างกันทางสถิติที่ระดับความเชื่อมั่น 99%

ตารางภาคผนวก 18 การวิเคราะห์ความแปรปรวนของความเป็นกรด-เย็น

SV	DF	SS	MS	F
TREATMENT	95	45.8019	0.4821	9.72 **
STATION(S)	7	3.3969	0.4853	9.79 **
MONTH (M)	11	11.4217	1.0383	20.94 **
SXM	77	30.9833	0.4024	8.12 **
ERROR	192	9.5194	0.0496	
TOTAL	287	55.3213		

cv = 3.0%

** = เม Mog ต่างกันทางสถิติที่ระดับความเชื่อมั่น 99%

ตารางภาคผนวก 19 การวิเคราะห์ความแปรปรวนของความเค็ม

SV	DF	SS	MS	F
TREATMENT	95	38333.3190	403.5086	769.61 **
STATION(S)	7	8427.5417	1203.9345	2296.25 **
MONTH (M)	11	25583.3194	2325.7563	4435.88 **
SXM	77	4322.4583	56.1358	107.07 **
ERROR	192	100.6667	0.5243	
TOTAL	287	38433.9861		

cv = 5.4%

** = เม Mog ต่างกันทางสถิติที่ระดับความเชื่อมั่น 99%

ตารางภาคผนวก 20 การวิเคราะห์ความแปรปรวนของความลึก

SV	DF	SS	MS	F
TREATMENT	95	20.4103	0.2148	28.17 **
STATION(S)	7	3.2586	0.4655	61.04 **
MONTH (M)	11	12.9738	1.1794	154.65 **
SXM	77	4.1779	0.0542	7.11 **
ERROR	192	1.4643	0.0076	
TOTAL	287	21.8746		

cv = 6.0%

** = มากท่ามกลางสถิติที่ระดับความเชื่อมั่น 99%

ตารางภาคผนวก 21 การวิเคราะห์ความแปรปรวนของปริมาณของแข็งแขวนโดย

SV	DF	SS	MS	F
TREATMENT	95	365743.6528	3849.9332	35.48 **
STATION(S)	7	21312.7639	3044.6806	28.06 **
MONTH (M)	11	137684.6528	12516.7866	115.35 **
SXM	77	206746.2361	2685.0161	24.74 **
ERROR	192	20834.0000	108.6104	
TOTAL	287	386577.6528		

cv = 23.2%

** = มากท่ามกลางสถิติที่ระดับความเชื่อมั่น 99%

ตารางภาคผนวก 22 การวิเคราะห์ความแปรปรวนของปริมาณในไทรท์

SV	DF	SS	MS	F
TREATMENT	95	387.5204	4.0792	85.29 **
STATION(S)	7	22.2595	3.1799	66.49 **
MONTH (M)	11	229.5619	20.8693	436.35 **
SXM	77	135.6991	1.7623	36.85 **
ERROR	192	9.1828	0.0478	
TOTAL	287	396.7033		

cv = 23.9%

** = มากท่ามกลางสถิติที่ระดับความเชื่อมั่น 99%

ตารางภาคผนวก 23 การวิเคราะห์ความแปรปรวนของปริมาณในเขต

SV	DF	SS	MS	F
TREATMENT	95	3798	40	94.32 **
STATION(S)	7	372	53	125.52 **
MONTH (M)	11	1780	162	381.82 **
SXM	77	1645	21	50.41 **
ERROR	192	81	0	
TOTAL	287			

cv = 26.7%

** = แตกต่างกันทางสถิติที่ระดับความเชื่อมั่น 99%

ตารางภาคผนวก 24 การวิเคราะห์ความแปรปรวนของปริมาณฟอกสีฟ่อ

SV	DF	SS	MS	F
TREATMENT	95	13.2	0.1	33.70 **
STATION(S)	7	0.8	0.1	29.49 **
MONTH (M)	11	6.4	0.6	141.05 **
SXM	77	5.9	0.1	18.75 **
ERROR	192	0.8	0.0	
TOTAL	287	13.9		

cv = 29.9%

** = แตกต่างกันทางสถิติที่ระดับความเชื่อมั่น 99%

ตารางภาคผนวก 25 การวิเคราะห์ความแปรปรวนของปริมาณชีลิกेट

SV	DF	SS	MS	F
TREATMENT	95	568085	5980	312.68 **
STATION(S)	7	105073	15010	784.87 **
MONTH (M)	11	365447	33222	1737.15 **
SXM	77	97564	1267	66.25 **
ERROR	192	3672	19	
TOTAL	287	571757		

cv = 6.3%

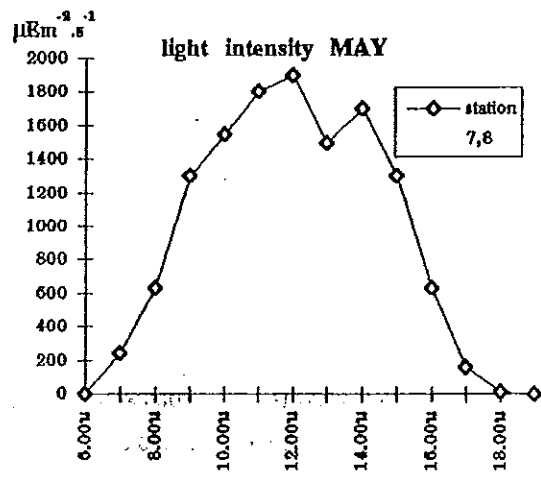
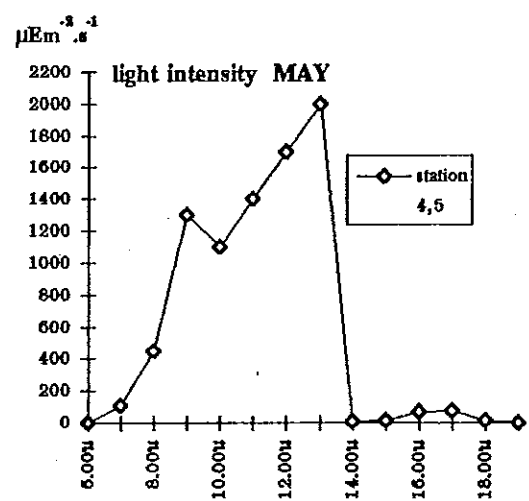
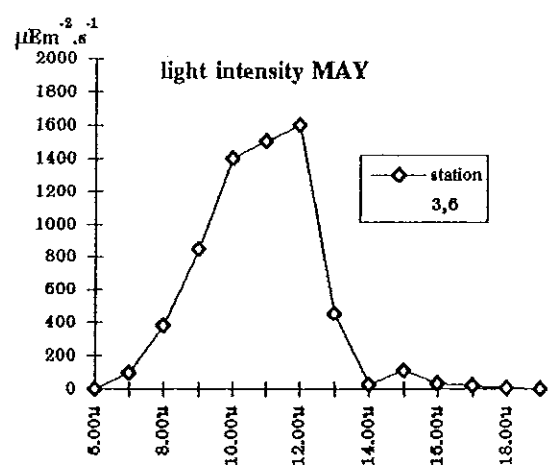
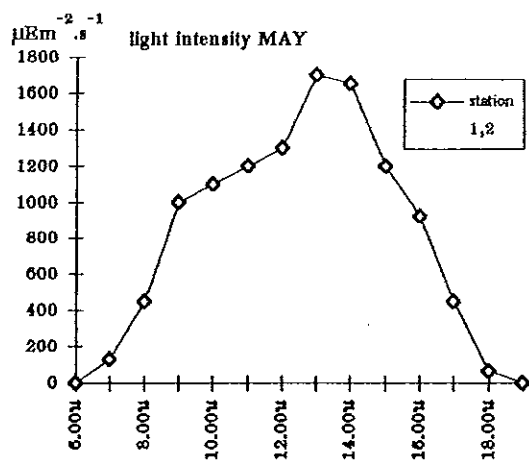
** = แตกต่างกันทางสถิติที่ระดับความเชื่อมั่น 99%

ตารางภาคผนวก 26 การวิเคราะห์ความแปรปรวนของปริมาณคลอร์ฟีลล์ เอ

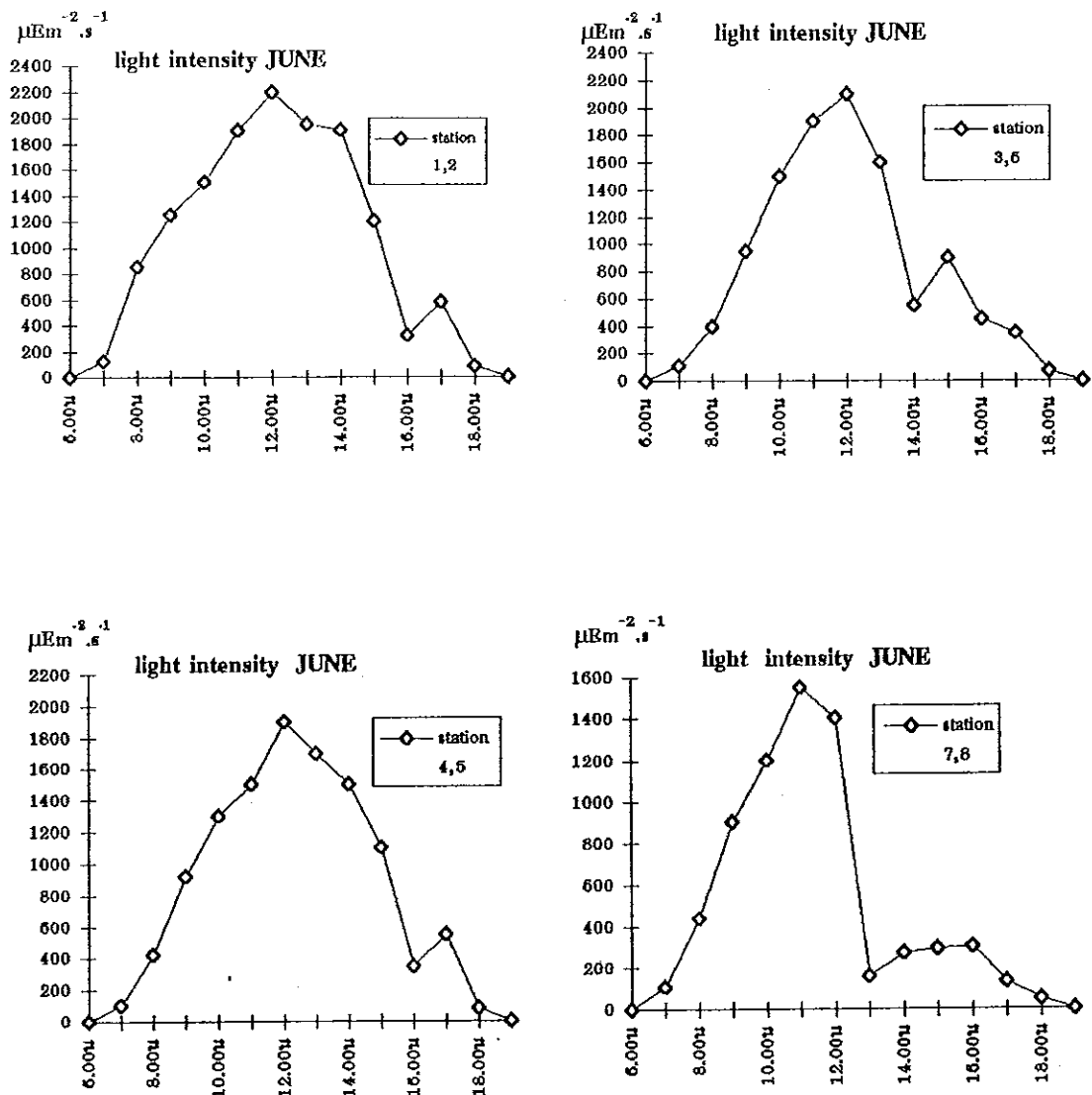
SV	DF	SS	MS	F
TREATMENT	95	20871	220	136.16 **
STATION(S)	7	494	71	43.72 **
MONTH (M)	11	15179	1380	855.24 **
SXM	77	5189	68	41.84 **
ERROR	192	310	2	
TOTAL	287	21181		

cv = 14.9%

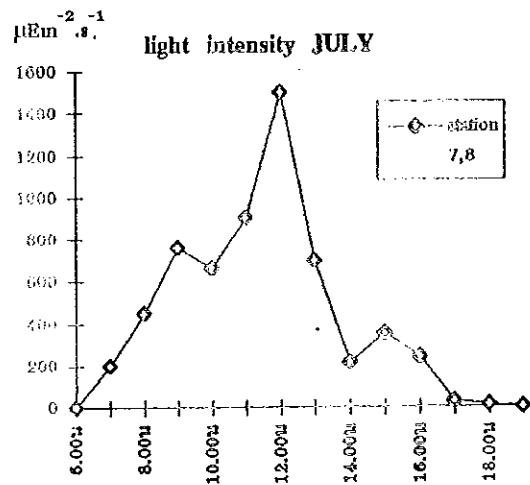
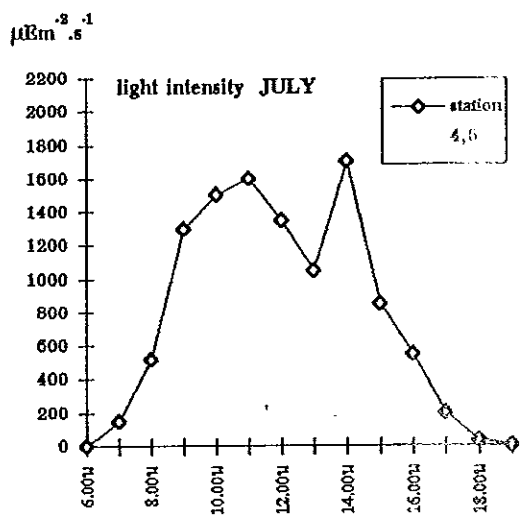
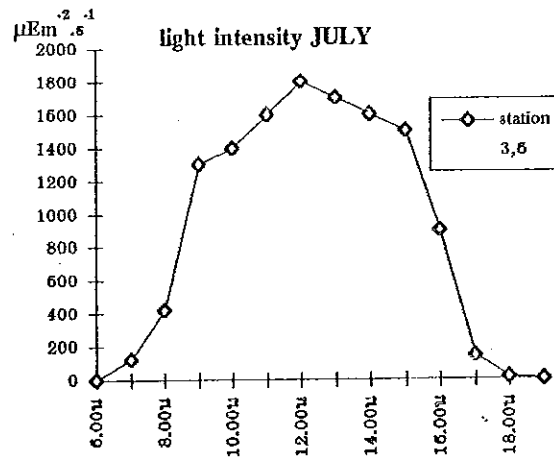
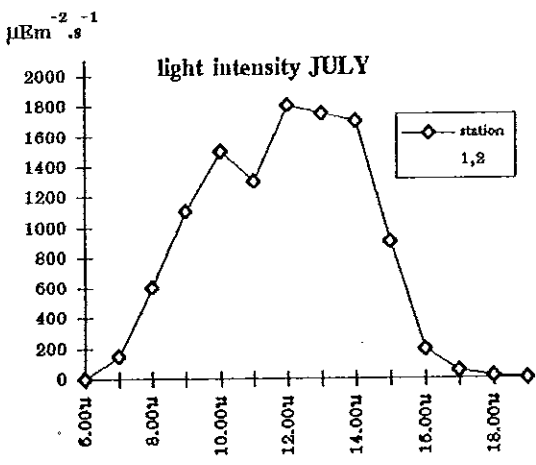
** = แตกต่างกันทางสถิติที่ระดับความเชื่อมั่น 99%



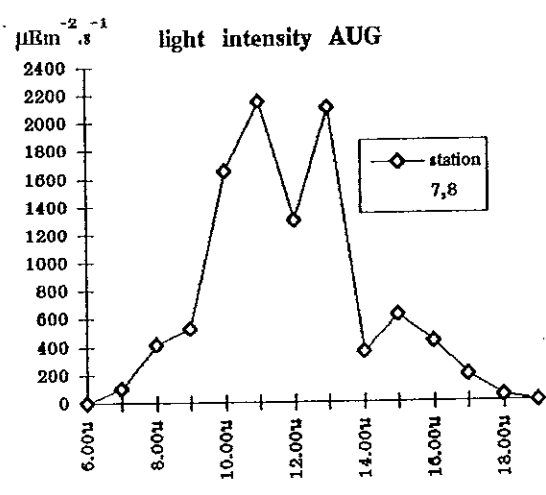
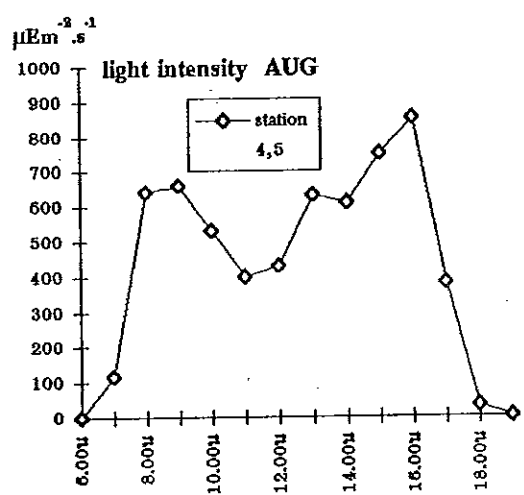
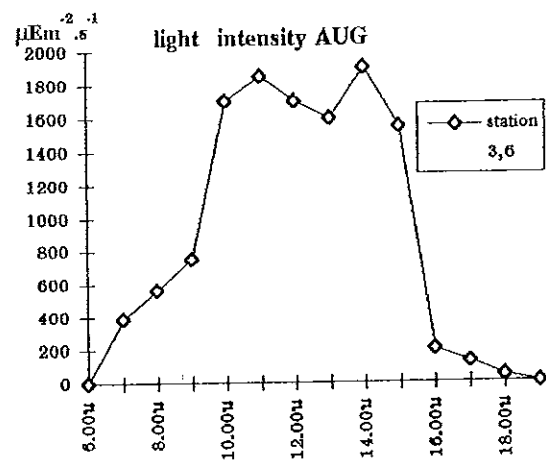
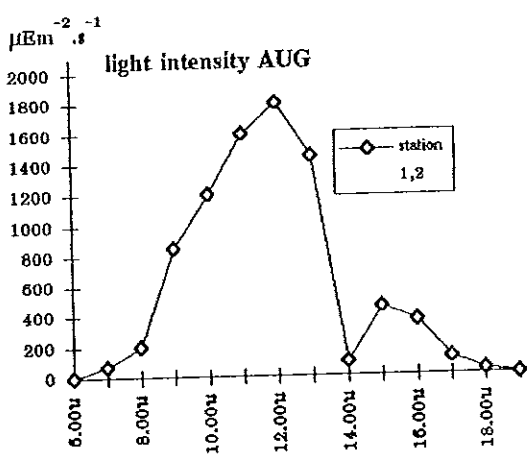
ภาพประจักษ์ภาคผนวก 1 ความเข้มของแสงในวันที่วัดค่าผลผลิตเบื้องต้น ทุกฤดูเก็บ
ตัวอย่าง ในเดือนพฤษภาคม



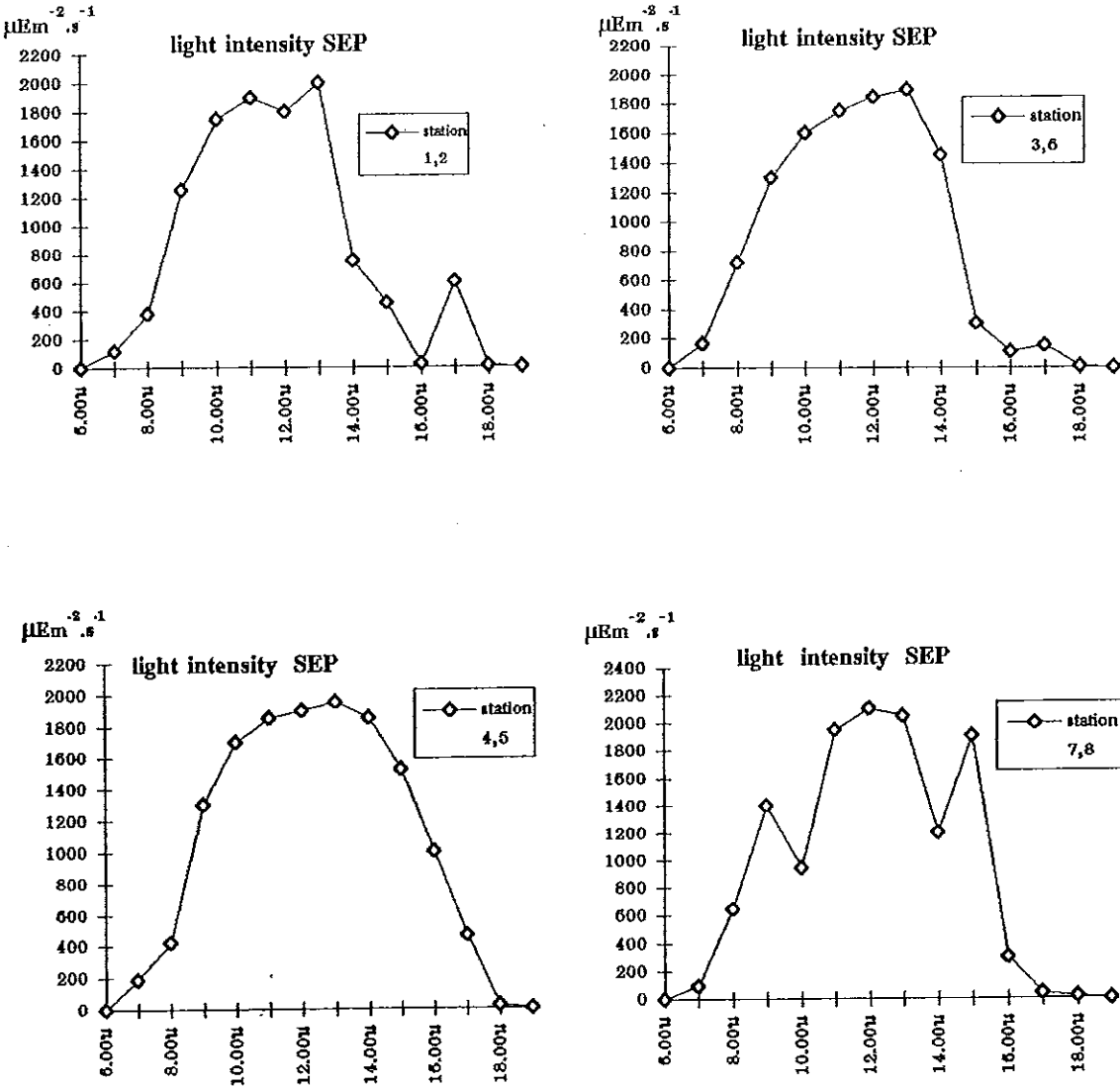
ภาพประกอบภาคผนวก 2 ความเข้มของแสงในวันที่วัดค่าผลผลิตเบื้องต้น ทุกฤดูกาล
ตัวอย่าง ในเดือนมิถุนายน



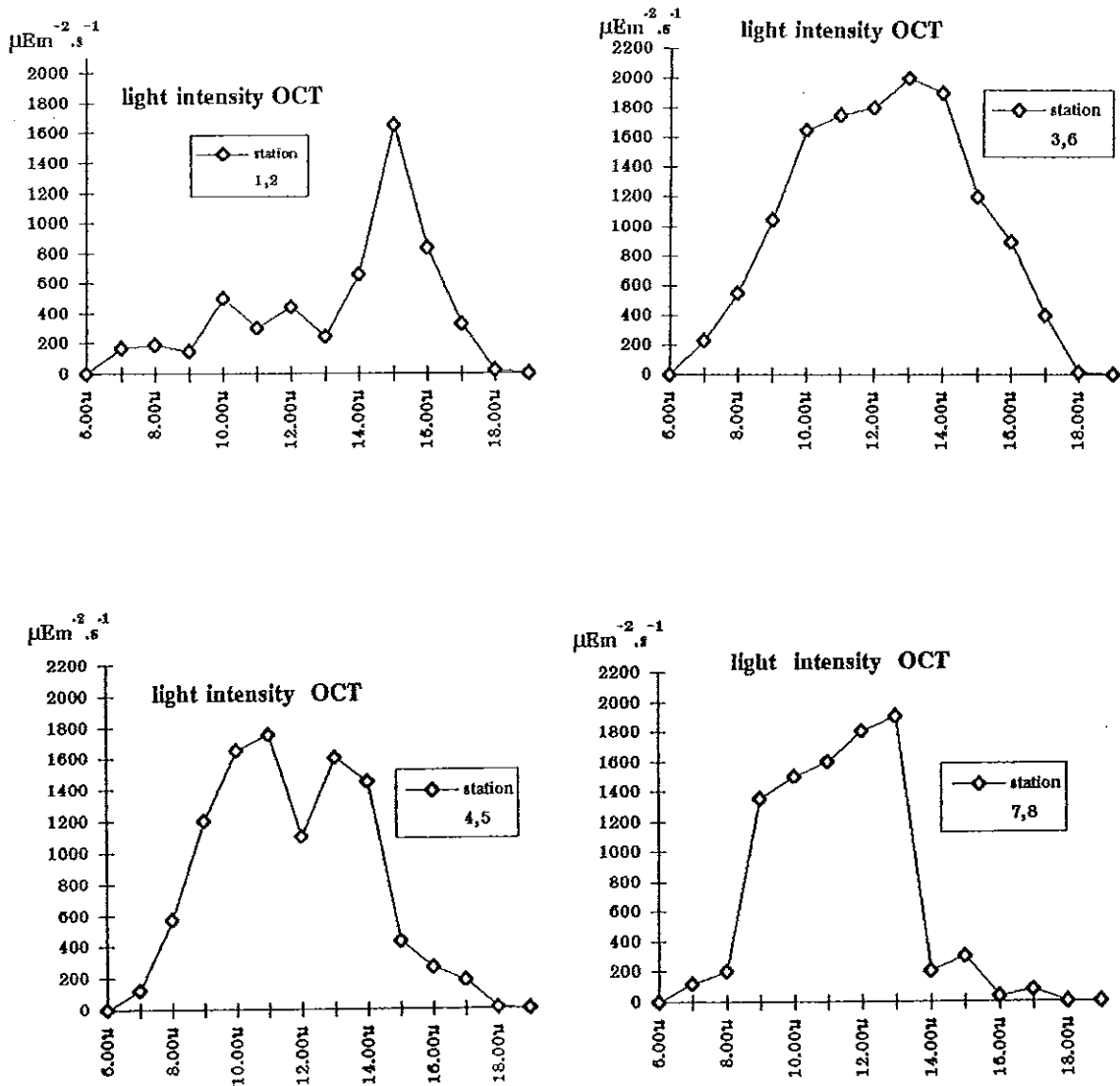
ภาพประกอบภาคผนวก 3 ความเข้มของแสงในวันที่วัดค่าผลผลิตเบื้องต้น ทุกจุดเก็บ
ตัวอย่าง ในเดือนกรกฎาคม



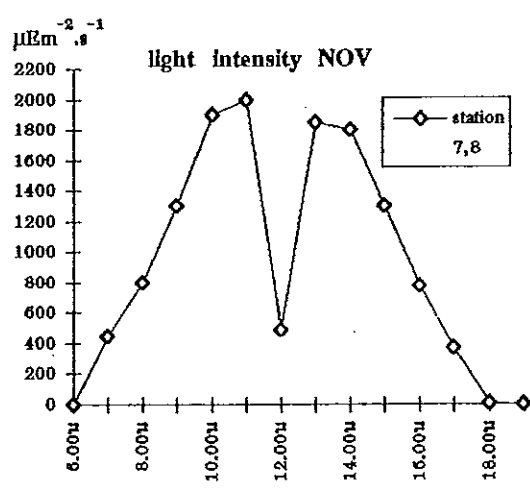
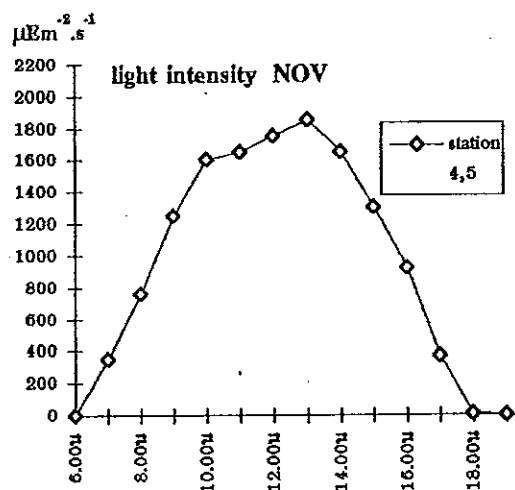
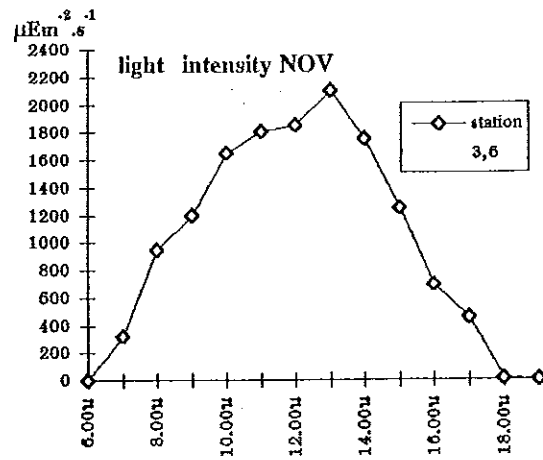
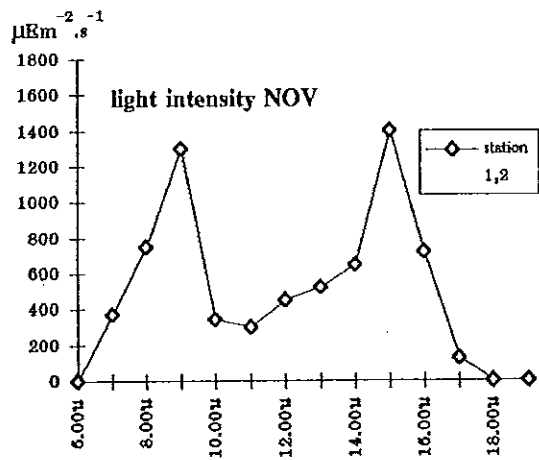
ภาพประกอบภาคผนวก 4 ความเข้มของแสงในวันที่วัดค่าผลผลิตเบื่องต้น ทุกจุดเก็บ
ตัวอย่าง ในเดือนสิงหาคม



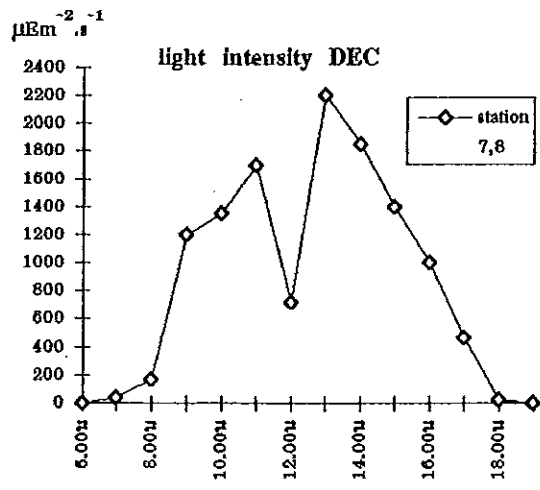
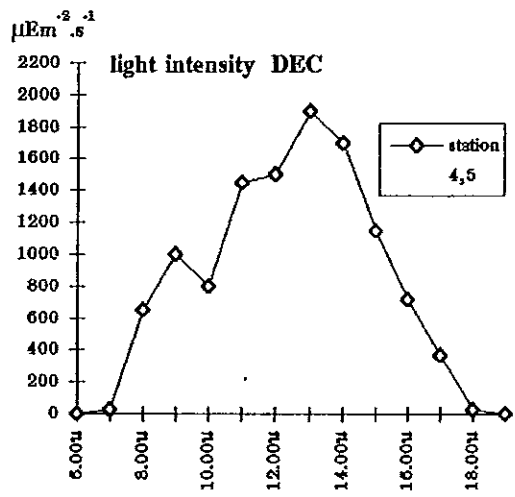
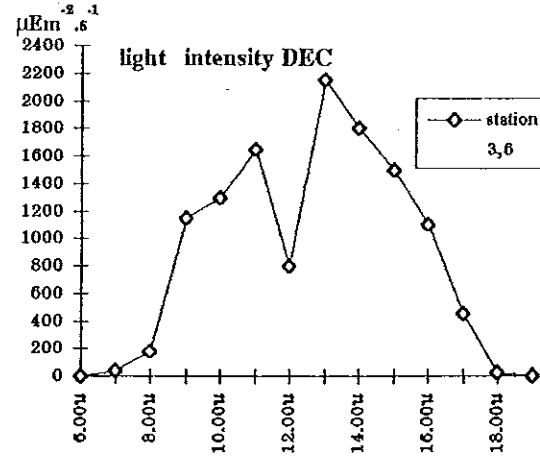
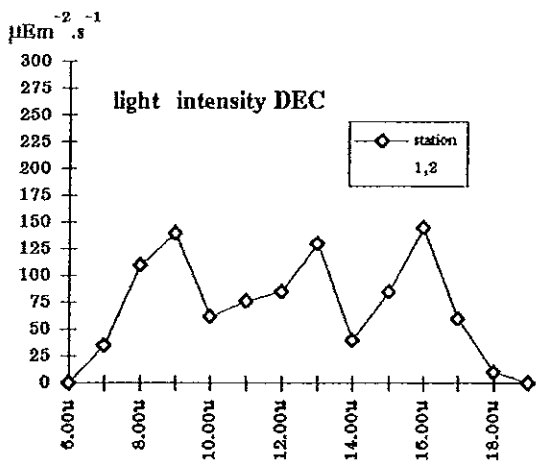
ภาพประกอบภาคผนวก 5 ความเร็วของแสงในวันที่วัดค่าผลผลิตเบื้องต้น ทุกฤดูเก็บ
ตัวอย่าง ในเดือนกันยายน



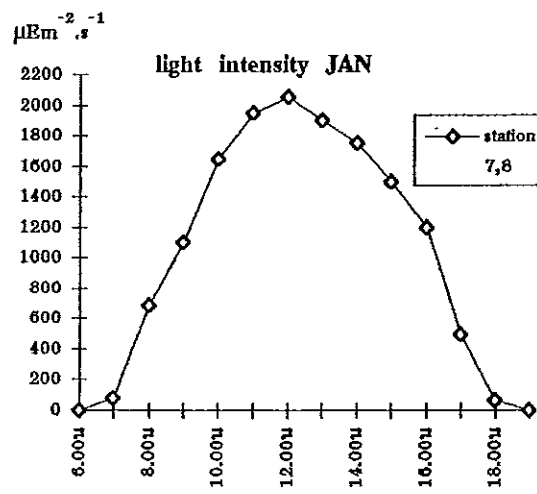
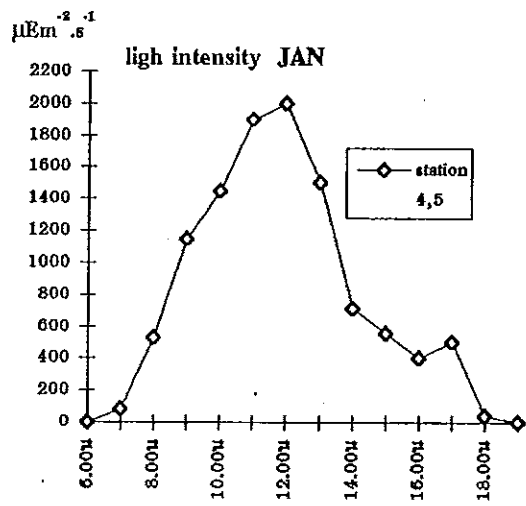
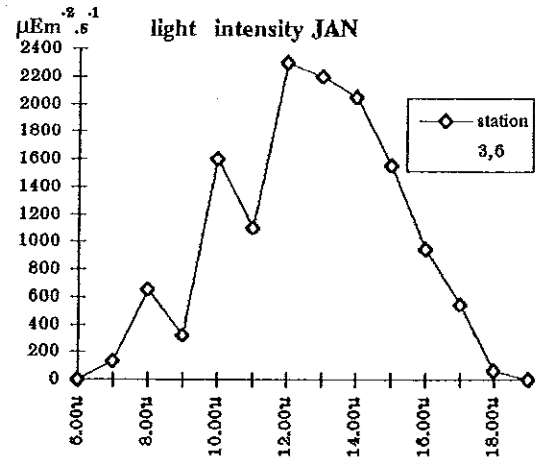
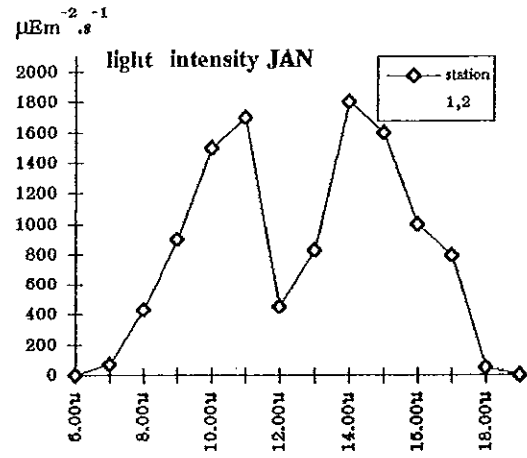
ภาพประกอบภาคผนวก 6 ความเข้มของแสงในวันที่วัดค่าผลผลิตเบื่องต้น ทุกจุดเก็บ
ตัวอย่าง ในเดือนตุลาคม



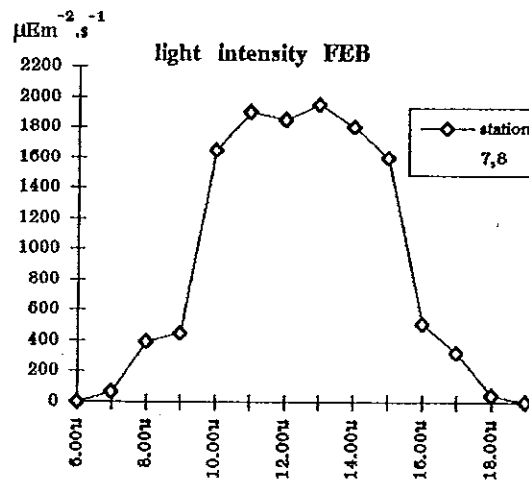
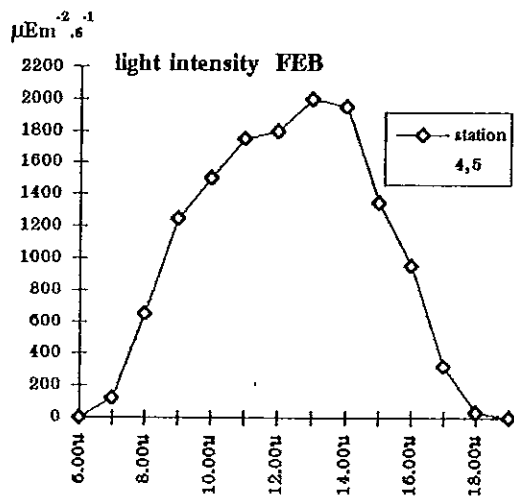
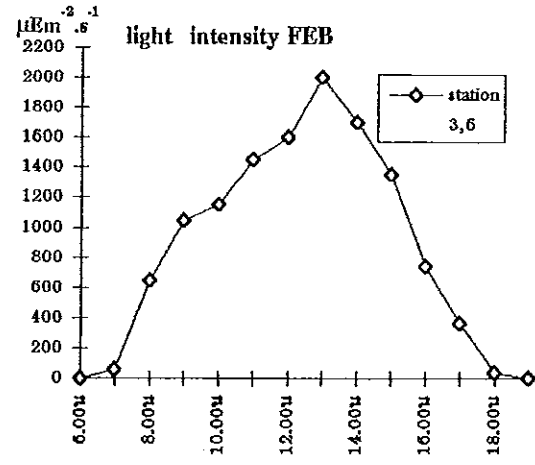
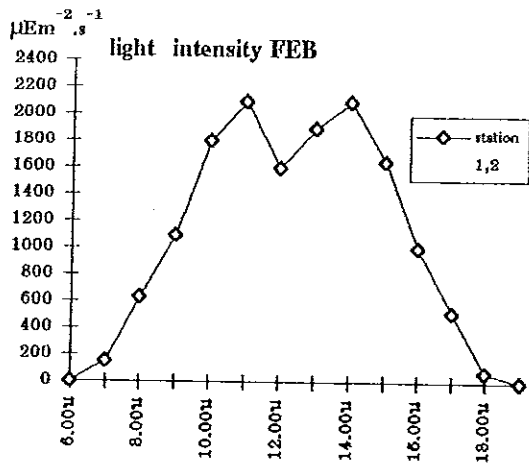
ภาพประกอบภาคผนวก 7 ความเข้มของแสงในวันที่วัดค่าผลผลิตเบื้องต้น ทุกจุดเก็บ
ตัวอย่าง ในเดือนพฤษจิกายน



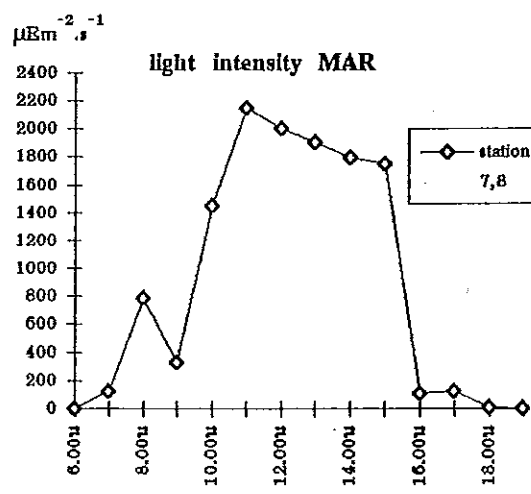
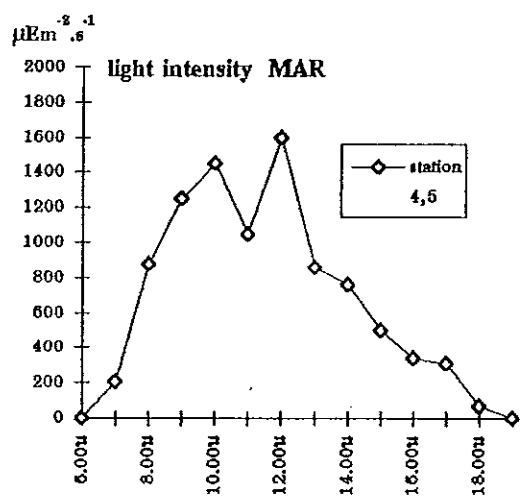
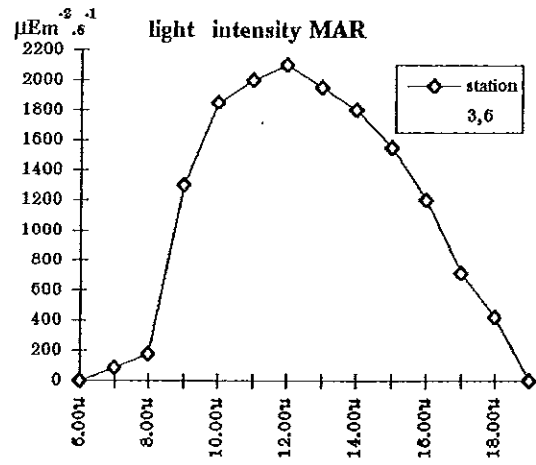
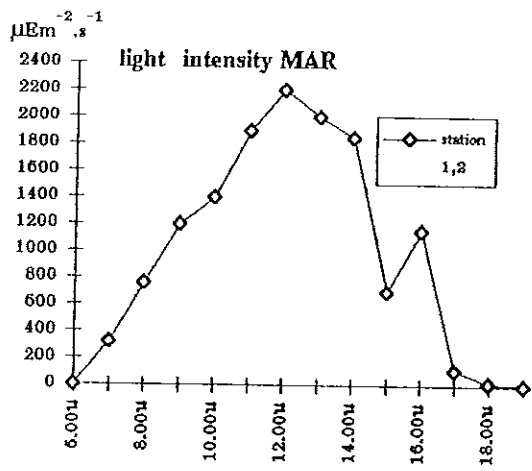
ภาพประกอบภาคผนวก 8 ความเข้มของแสงในวันที่วัดค่าผลผลิตเบื้องต้น ทุกจุดเก็บ
ตัวอย่าง ในเดือนมีนาคม



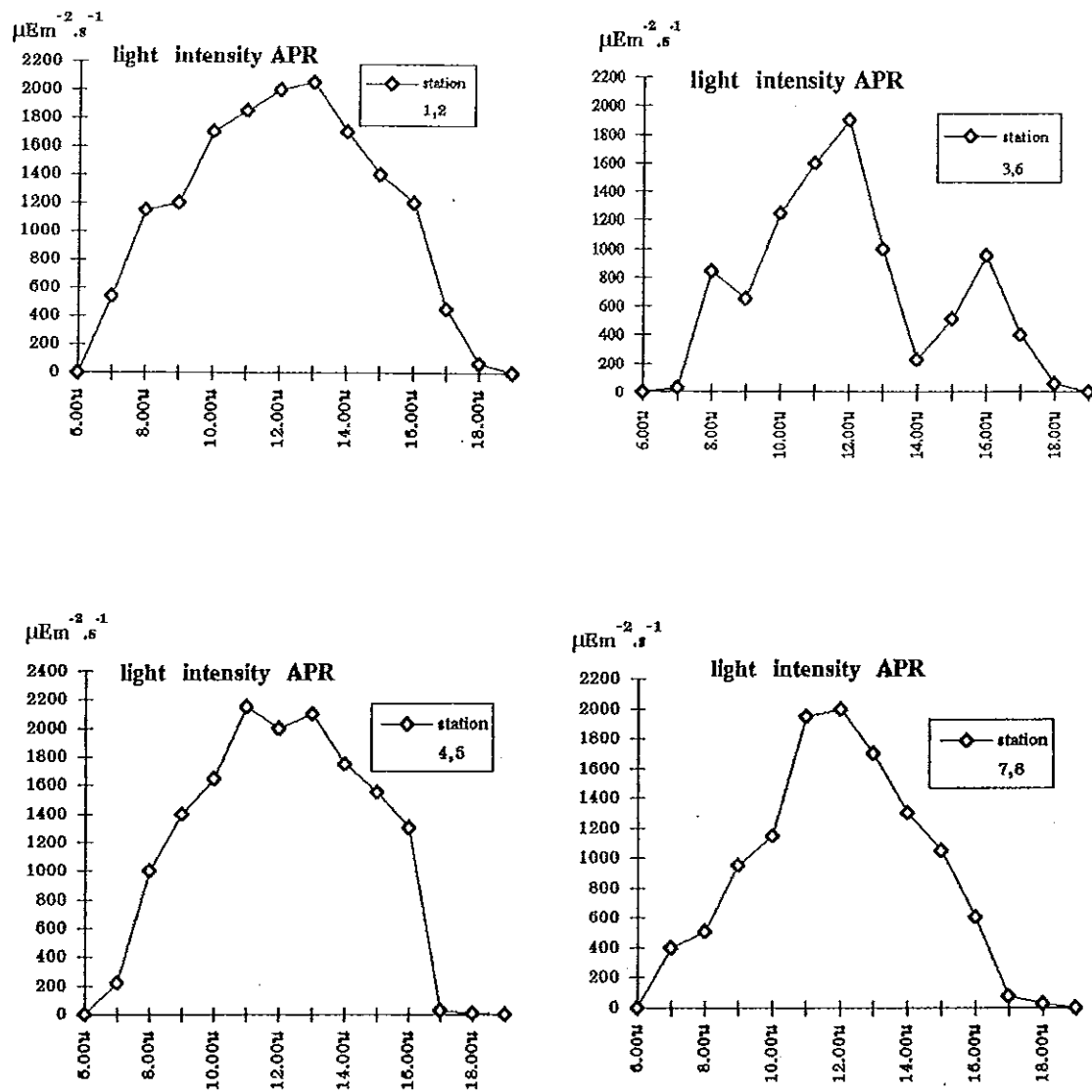
ภาพประกอบภาคผนวก 9 ความเข้มของแสงในวันที่วัดค่าผลิตเบื้องต้น ทุกจุดเก็บ
ตัวอย่าง ในเดือนมกราคม



ภาพประกอบภาคผนวก 10 ความเข้มของแสงในวันที่วัดค่าผลผลิตเบื้องต้น ทุกจุดเก็บ
ตัวอย่าง ในเดือนกุมภาพันธ์



ภาพประจักษ์ภาคผนวก 11 ความเข้มของแสงในวันที่วัดค่าผลผลิตเบื้องต้น ทุกฤดูเก็บ
ตัวอย่าง ในเดือนมีนาคม



ภาพประกอบภาคผนวก 12 ความเข้มของแสงในวันที่วัดค่าผลผลิตเบื้องต้น ทุกฤดูเก็บ
ตัวอย่าง ในเดือนเมษายน

ประวัติผู้เขียน

ชื่อ นายธีรพล ทองเพ็ชร

วัน เดือน ปีเกิด 17 มกราคม 2505

วุฒิการศึกษา

วุฒิ	ชื่อสถาบัน	ปีที่สำเร็จการศึกษา
วท.บ. (เกษตรศาสตร์) เกียรตินิยมอันดับ 2	มหาวิทยาลัย	2525
สาขาส่งเสริมการเกษตร	เกษตรศาสตร์	
นศ.บ. (การประชาสัมพันธ์) เกียรตินิยมอันดับ 2	มหาวิทยาลัย	2531
สุโขทัยธรรมชาติราช		

ตำแหน่งหน้าที่และสถานที่ทำงาน

อาจารย์ 1 ระดับ 5 วิทยาลัยอาชีวศึกษาสุราษฎร์ธานี ช.เมือง จ.สุราษฎร์ธานี 84000